

MINISTERUL EDUCAȚIEI SI ÎNVĂȚAMINȚULUI
INSTITUTUL POLITEHNIC „ TRAIAN VUIA ”
- T I M I Ș O A R A -
FACULTATEA DE MECANICĂ
inv. FIRCEA ZENG

TEZA DE DOCTORAT

CONDUCATOR STIINTIFIC
Prof.em.dr.ingr. GHEORGHE SAVII

- Timisoara 1931 -

MINISTERUL EDUCAȚIEI SI INVATAMINTULUI
INSTITUTUL POLITEHNIC „ TRAIAN VUIA ”
- TIMIȘOARA -
FACULTATEA DE MECANICA
ing. PIRCEA ZENO

STUDIU INFLUIENȚEI PARAMETRILOR ELECTRICI ASUPRA
DIMENSIUNILOR ALEZAJELOR LA PENETRAREA OTELURILOR NEALIATE
CU TUN ELECTRONIC

L U C R A R E D E D O C T O R A T

CONDUCATOR STIINTIFIC
Prof.em.dr.inz. GHEORGHE SAVII

BIBLIOTECA CENTRALĂ
UNIVERSITATEA "POLITEHNICA"
TIMIȘOARA

436.97
334 F

- Timisoara 1981 -

CAPITOLUL 1. INTRODUCERE

Programele ample de dezvoltare ale economiei românești în etapa actuală și în anii următori, adoptate de Congresul al XII-lea mobilizează oamenii de știință, cercetătorii și proiectanții la dezvoltarea tehnologică și introducerea progresului tehnic în economie.

Aceste programe au la bază aplicarea în totalitate a indicațiilor de excepțională însemnatate pentru viitorul științei și tehnologiei românești, subliniate de tovarășul Nicolae Ceaușescu, Secretar General al Partidului Comunist Român care arată: "În industrie, cercetarea trebuie să asigure dezvoltarea mai rapidă a bazei proprii de materii prime și energie, valorificarea complexă a rezervelor interne de substanțe minerale, utilizarea intensă a noilor surse de energie, asimilarea de noi produse cu caracteristici superioare, generalizarea mecanizării, automatizării și cibernetizării producției, introducerea de noi tehnologii avansate în toate ramurile producției, care să permită reducerea mai accentuată a consumurilor materiale și energetice, recuperarea și refolosirea materiilor prime și materialelor".

În condițiile unei dezvoltări vertiginioase a producției de bunuri materiale ținându-se seama mai ales de faptul că aspirațiile societății umane în mod normal sănt orientate spre ridicarea standardului de viață, se pun probleme tot mai accentuate cu privire la folosirea cât mai rațională a forțelor de muncă a mijloacelor cât și a obiectului muncii.

După cum se cunoaște, apare tot mai stringentă problema folosirii economicoase a materiei prime și materialelor, a energiilor sub diferite forme. În cadrul acestor stări, progresul științei și tehnicii poate să-și aducă un aport substanțial la rezolvarea problemelor, rezultatele cercetărilor putind conduce cel puțin parțial la acoperirea penuriilor și economisirea resurselor naturale și de utilizare într-o mai largă măsură a celor resurse care pînă în prezent au fost mai puțin vizate.

Desigur pornind de la aceste considerente în era

noastră s-a ajuns ca să se acorde științelor tehnologice cea mai mare importanță, tehnologia fiind astăzi obiectul preocupărilor multor cercetători, oameni de știință, cadre din toate domeniile de activitate în procesul de producție de bunuri, tehnologiile formând preocupări și ale politiciei economice și economiei politice. Răspândirea expresiei "tehnologie" este atât de largă, încât o întâlnim în toate domeniile de activitate. Problemele de tehnologie sunt tratate astăzi la nivelul conducerilor de state, acestea făcând obiectul multor tratate de colaborare, transferul de tehnologii fiind pe prim plan pentru eliminarea diferenței stării economice dintre state.

Această problemă își are justificarea prin faptul că în cadrul revoluției tehnico-științifice, ingineria tehnologică trebuie să-și aducă aportul la soluționarea complexelor probleme ale sistemului industrial, baza asigurării producției de bunuri materiale.

Dezvoltarea tehnicii în ultimii ani este strâns legată de utilizarea materialelor greu fuzibile la construcția mașinilor și aparatelor.

Necesitatea folosirii acestora a condus la crearea unor posibilități de prelucrare diferite de cele clasice cunoscute, care nu se pretau la prelucrarea acestor materiale, studiindu-se prelucrarea cu energii concentrate. Printre aceste sisteme aplicate cu succes ca procedeu industrial este și bombardarea pieselor cu fascicol de electroni focalizat.

Utilizarea fascicoului de electroni focalizat se evidențiază în următoarele domenii contribuind la dezvoltarea acestora :

- nuclear: la găurile unor filtre speciale necesare obținerii uraniului, la sudura unor materiale greu fuzibile;
- aero-spațial: la obținerea unor materiale greu fuzibile de puritate ridicată cât și la sudura lor;
- energetic: la prelucrarea orificiilor unor componente ale turbinelor cu gaze pentru a se asigura răcirea, injectia sau izolarea acustică;

- electronic: la sudurile fără adaus de material, la gravarea stratului depus prin evaporare cît și la metalizarea circuitelor imprimate;
- textil: la găurile filierelor pentru asigurarea firelor sintetice subțiri;
- construcția de mașini: la utilizarea unor materiale cu proprietăți fizico-mecanice ridicate greu sau imposibil de prelucrat cu tehnologia convențională.

Pe linia Programului directivă de cercetare științifică, dezvoltare tehnologică și de introducere a progresului tehnic, în perioada 1901-1990 și direcțiile principale pînă în anul 2000.

"Cercetarea științifică să contribuie nemijlocit la rezolvarea tuturor problemelor legate de înfăptuirea în bune condiții a prevederilor planului de dezvoltare economică socială a României în cincinalul 1981-1985".

Avînd în vedere dezvoltarea acestor ramuri și în țara noastră, prezenta lucrare și propune, ca pe baza experiențelor efectuate de autor cu o instalație cu fascicol de electroni la Ohio State University din SUA, să analizeze prelucrarea la dimensiune, în special a alezajelor, pentru elaborarea unor tehnologii de lucru, a unor regimuri de prelucrare cît și obținerea unor diagrame de lucru caracteristice regimurilor respective.

Analizele metalografice ale zonelor afectate de penetrarea electronilor cît și măsurarea duratăii acestora caută să evidențieze regimurile optime de prelucrare, iar măsurarea efectivă a diametrelor obținute este utilizată pentru calculul variației diametrului alezajului funcție de timpul de acționare a fascicoului pentru diferite regimuri de prelucrare.

Prelucrarea datelor experimentale cu ajutorul calculatorului electronic a putut da ecuațiile variației diametrului alezajului funcție de durata acționării fascicoului și ai parametrilor acestuia.

1.1. Scurt istoric

Se poate vorbi despre folosirea electronilor ca sursă

de energie odată cu apariția în anul 1905 a patentului D.P. 188466 al lui Marcello von Pirani care descrie aparatura executată la Siemens & Halske cu care se topea tantal sau alte materiale greu fuzibile cu ajutorul razelor catodice.

Apariția și aplicarea fascicolului de electroni în procesele tehnologice de prelucrat se datorește faptului că încă în jurul anului 1930 s-au observat deteriorări ale suprafețelor probelor ce se controlau cu ajutorul microscopelor electronice. De fapt, despre apariția tunurilor emitătoare de fascicole de electroni, se poate vorbi odată cu apariția microscopelor electronice care conțin asemenea emitătoare de fascicole de electroni. Fascicolul de electroni al microscopului electronic a fost folosit pentru prima dată de către von Ardenne la găurilea unor diafragme din materiale subțiri, în anul 1930 [13]. În prima etapă aceste emițătoare de fascicole de electroni au fost socotite ca organe auxiliare, toate eforturile fiind depuse pentru obținerea unor microscope electrice cît mai precise. Analiza fenomenelor teoretice, a condus la limitarea dezvoltării microscopelor electronice cît și la stabilirea posibilităților lor [3].

În momentul de față se poate spune că fascicolul de electroni asigură concentrare de energie 10^9 W/cm^2 .

Deoarece cercetările inițiale ale folosirii fasciculu lui de electroni erau îndreptate pentru obținerea de topiri de materiale greu fuzibile, aplicarea acestui tip de prelucrare s-a dezvoltat mai mult în acest domeniu cît și aceluia al sudurii.

Literatura îl indică pe Rudolf Ruhle ca unul dintre primii care au creat un aparat care să topească și să vaporizeze cu fascicol de electroni focalizat.

În anul 1950 Steingerwald La Zeiss sudează cu un tun electronic de final voltaj iar în 1955 I.A. Stohr de la Comisia nucleară franceză lipește metale tot cu aceiași tehnică.

După anul 1957 începe să fie făcută publică utilizarea acestui sistem de prelucrare începînd să apară o serie de

lucrări care trătau diferite probleme legate de utilizarea fascicolului de electroni [11], [15], [20], [22].

Utilizarea fascicolului de electroni focalizat pentru sudură se face pe baza legilor metalurgiei fizice fiind doar o unealtă de lucru care reușește să realizeze practic suduri care nu s-au mai făcut cu procedeele cunoscute. Astfel, cu acest procedeu se pot suda materiale diferite între ele ca: oțel cu aluminiu, oțel cu oțel de arc și multe altele.

Emisiunea de electroni în fascicol este de fapt clasificată în două grupe, funcție de scopul urmărit:

- formarea unei imagini a suprafeței, care emite sau a fost iradiată cu electroni în aşa fel ca variația în densitate a curentului din punct în punct al suprafeței să fie reproducă (cazul microscopelor și al imaginilor în tuburile electrice ale telescopului);

- focalizarea electronilor din toate punctele unei suprafețe emițătoare pe o suprafață cât mai mică posibilă (cazul tuburilor X, cinescoapelor și a razelor catodice ale osciloscoapeelor).

Ridicarea performanțelor celor două grupe se poate realiza prin existența unui sistem de focalizare corespunzătoare fără aberații și care ar putea rezolva cele două probleme.

Au fost o serie de lucrări experimentale cât și teoretice, care au studiat și au propus o serie de îmbunătățiri a sistemelor de lentile electromagnetice [4], [5], [6], [7], [8]. Rezultatele pot ajunge pînă la valori determinate de lungimea de undă a electronilor [9]. Principiile opticii fundamentale sunt limitate de asemenea de intensitatea fascicolului de electroni, demonstrîndu-se că în cazul emisiei fascicolului de electroni la tuburile catodice cinescoape, și tuburi X focalizarea este limitată practic de aberația de sfericitate și nu de lungimea de undă a electronilor [3].

Față de cele de mai sus și ținînd cont de faptul că emisia de electroni sub formă de fascicol necesară prelucrărilor, se înoadrează în grupa a două, se prezintă (tabelul 1.1) comparațiile între sursele de energie și posibilitățile de focalizare cât și densitățile de energie pe unitate de suprafa-

ță [10].

Valorile densității de energie
pentru diferite surse.

Tabelul 1.1

Sursa de energie	Suprafața minimă cm^2	Densitatea de ener- gie W/cm^2
Flacără oxiavetilenică	10^{-2}	10^4
Laser	10^{-5}	10^{21}
Fascicol de electroni	10^{-7}	10^9

Caracteristica fascicoului de electroni este concentrarea unei energii finale pe o unitate mică de suprafață printr-o focalizare corespunzătoare. Această concentrare de energie produce topiri, suduri, evaporări, găuriri, tăieri în materiale. În procesele tehnologice de topire, concentrarea de energie este mult mai mică decât la suduri, tăieri sau găuriri, unde concentrarea de energie datorită unei focalizări optime este ceea ce generează noi suprafețe de amumite precizii dimensionale. Datorită faptului că prin folosirea fascicoului de electroni, se pot obține diversificări ale proceselor tehnologice de prelucrare, în decursul timpului au apărut trei categorii de mașini:

- mașini de topit și vaporizat;
- mașini de sudat;
- mașini de prelucrat la dimensiune: găurit, frezat, tăiat.

Dezvoltarea proceselor tehnologice cu fascicoul de electroni focalizat a fost legată strâns de obținerea unor vîduri finale de ordinul a 10^{-5} bar, deoarece fascicoul de electroni poate fi creat doar în vid. În jurul anului 1968 au început să apară procese tehnologice la care obținerea fascicoului de electroni se face în vid, iar piesele de prelucrat nu se mai introduc în camera de vid. Acest procedeu este încă

în fază de experimentare, puterea fascicolului de electroni fiind mult mai mică decât a unei instalații care lucrează complet în vid, datorită ciocnirii electronilor cu particolele din aer.

Concentrarea energiei printr-o bună focalizare a fascicolului de electroni, aduce avantaje în toate aceste procese tehnologice pentru topiri, deoarece se poate obține o zonă de topire limitată care poate să fie bine controlată din punct de vedere termic, având o importanță mare pentru stabilizarea zonelor învecinate topiturii. La vaporizări de materiale este absolut necesar să se mențină cît mai stabil zona topită, în scopul obținerii unei vaporizări corespunzătoare.

Sudura este un exemplu clasic de topire locală, iar energia ce se aplică fiind foarte înaltă trebuie să asigure topirea corespunzătoare a zonei bombardate, cît și a celor alăturate, pentru a putea obține în final cordonul continuu de sudură.

Deplasarea fascicolului de electroni pe linia viitorului cordon de sudură trebuie făcută în aşa fel ca în permanentă să fie adusă o nouă zonă pentru topire, ducând la acest numitul efect de sudură în adâncime, în care presiunea electronului în baie se pare că are o influență importantă.

O creștere a energiei concentrate a fascicolului de electroni împreună cu o minimalizare a suprafeței bombardate a obiectului și aplicare pulsatorie a fascicolului crează posibilitatea de prelucrare a materialului: tăiere, frezare, găurire, etc.

CAPITOLUL 2. SISTEME DE PRELUCRAT CU FASCICOL DE ELECTRONI CONCENTRAT

2.1. Principiul de lucru al sistemelor de încălzire cu fascicol de electroni.

Aparatul realizat de Rudolf Ruhle (fig.2.1) are la bază principiul de lucru al sistemelor de încălzire cu fascicol de electroni:

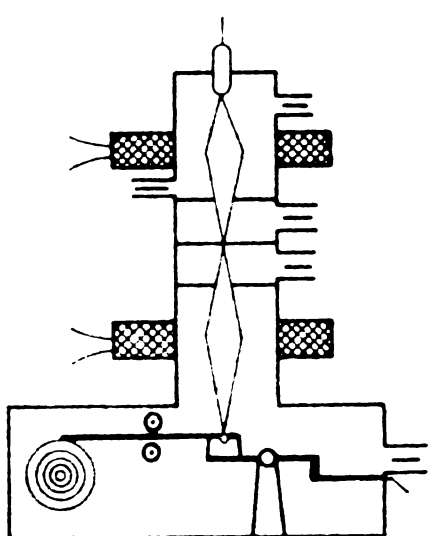


Fig.2.1. Schema aparatului lui Rudolf Ruhle.

la topirea și vaporizarea unui material în vid prin bombardarea cu fascicol de electroni focalizat.

Fascicolul de electroni obținut cu ajutorul aparatului lui Ruhle este generat în camera superioară de emițătorul de fascicol, după care trece printr-o lentilă de focalizare (bobina electromagnetică) care focalizează fascicolul pe piesă în scopul creerii densității mari de energie care asigură topirea materialului.

Schema de principiu a unui sistem ușual cu fascicol focalizat de electroni (fig.2.2), constă dintr-un tun care focalizează fascicolul în punctul P_0 și o bobină electromagnetică care are rol de lentilă proiectând densitatea de curent din punctul P_0 , pe obiect în punctul P_1 cu o mărime M . Jumătățile unghiurilor fascicoului de electroni în punctele P_0 și P_1 sunt

Acum acest aparat a fost conceput din următoarele trei părți distincte:
- camera superioară conținând emițătorul de electroni;
- camera intermediară conținând o diafragmă de limitare a fascicoului cît și sistemul de focalizare;
- camera de topire și vaporizare propriu-zisă, conținând piesa de prelucrat.

Procesul tehnologic are loc în vid final, iar rezultatele obținute pot fi socotite ca primele referitoare

\propto_0 și respectiv \propto_1 .

Suprafața de emisie circulară a catodului de raza r_e asigură densitatea emisiei – j_e și energia termică a electronilor – \mathcal{E} . Sistemul electro-no-optic este caracterizat prin mărirea $M = \frac{b}{a}$ și coeficientul aberației de sfericitate C_s .

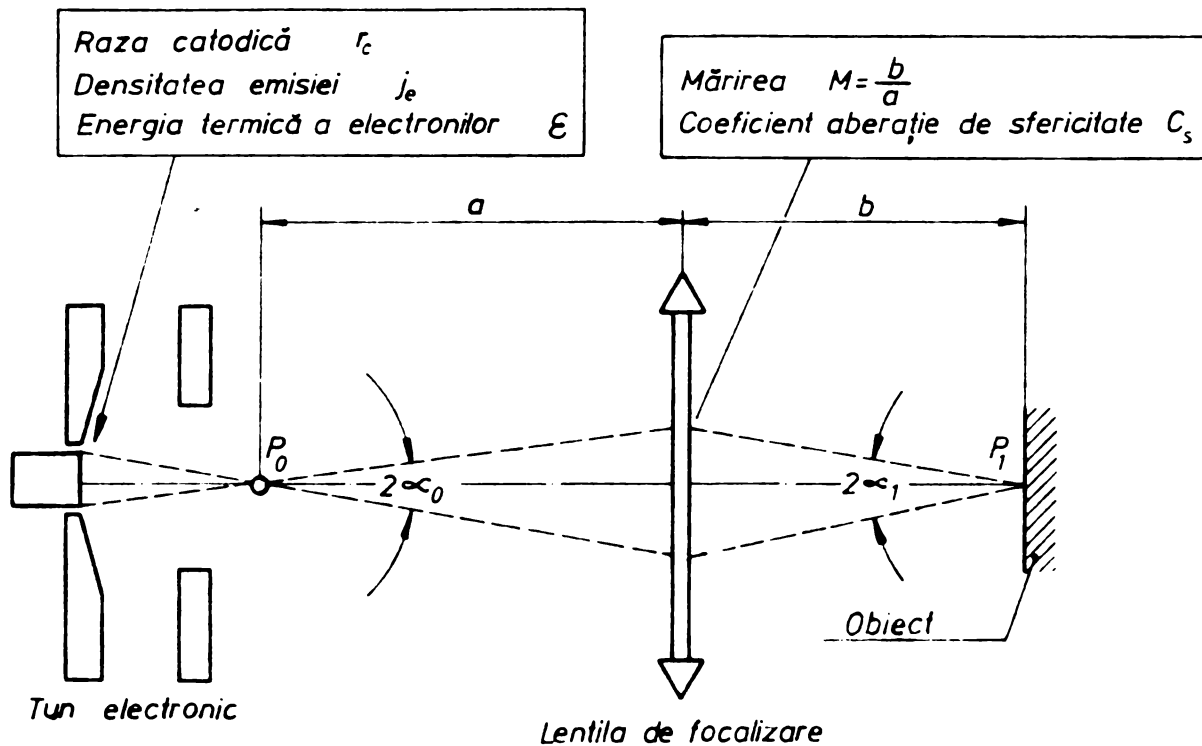


Fig.2.2. Schema de principiu a sistemului de fascicol de electroni.

Procesul de focalizare deplină are două surse de erori principale. Prima eroare ține cont că electronii au la început o viteză termică corespunzătoare părăsirii catodului cu un spectru corespunzător de distribuție a frecvenței după Maxwell.

Cea mai probabilă valoare a energiei cinetice a acestor electroni emisi termoionici este: [3]

$$\mathcal{E} = \frac{kT}{e} = \frac{T}{11600} \text{ e V} \quad [W] \quad (2.1)$$

în care: T este temperatura catodului, $^{\circ}\text{K}$;
 e – sarcina electronului, $1,6 \cdot 10^{-19} \text{ C}$;
 V – voltaj de accelerare, V;
 k – constanta lui Boltzman, $1,38 \cdot 10^{-23} \text{ J/K}$;
 A două eroare principală este datorată aberațiilor

lentilelor de focalizare și în special coeficientului aberației sferice C_s care este destul de mare. Aceste două surse de erori nu permit niciodată o focalizare ideală a fascicoului de electroni, în punctele P_0 și P_1 . Electronii nu se pot focaliza într-un punct ci se vor împrăștia pe o suprafață circulară sau mai bine zis pe un disc al aberației de o rază precisă.

Viteza termică este generatoarea spotului de aberație în punctul P_0 a cărui rază ρ_0 este [8]:

$$\rho_0 = r_e \sqrt{\left(\frac{E}{V}\right) - \frac{1}{\alpha_0}} \quad [\text{mm}] \quad (2.2)$$

în care: V - voltajul de accelerare, V;

r_e - raza suprafeței de emisie a catodului, mm;

E - energia cinetică a emisiei termoionice, J;

α_0 - semiunghiul emisiei, grade.

Distribuția curentului în punctul P_0 este dată conform curbei lui Gauss de relația [3]:

$$j_e = j_{\max} \exp\left(-\frac{r^2}{\rho_0^2}\right) \quad [\text{A} \cdot \text{m}^{-2}] \quad (2.3)$$

în care: j este emisia specifică de curent, $\text{A} \cdot \text{m}^{-2}$

Dacă în relația (2.3) se consideră $r = \rho_0$ atunci emisia specifică de curent are valoarea $j_e = j_{\max}$. Curentul total al fascicoului este atunci: [1]

$$I = j_{\max} \cdot \pi \cdot \rho_0^2 \quad [\text{A}] \quad (2.4)$$

In aceste condiții ρ_0 reprezintă raza unui cerc de focalizare fictiv în care este o emisie specifică de curent constantă j_{\max} .

Acest spot de aberație focalizat în punctul P_1 de o lentilă ideală, care nu ar avea aberația de sfericitate, aduce la o suprafață focalizată de rază ρ_1 .

$$\rho_1 = M \cdot \rho_0 = M r_e \sqrt{\left(\frac{E}{V}\right) - \frac{1}{\alpha_1}} \quad (2.5)$$

în care: M - mărirea lentilei;

α_1 - semiunghiul incidentei fascicoului pe obiectiv, grade.

In condițiile inexistenței vitezei termice a electronilor, dar lentila folosită în sistem are aberație de sfericitate, atunci focalizarea din punctul P_1 dă un spot de rază σ_1 [9].

$$\sigma_1 = (M + 1)^4 C_s \alpha_1^3 [\text{mm}] \quad (2.6)$$

în care: C_s este coeficientul aberației sferice al lentilei de focalizare.

Dacă acum ambele spoturi de aberație se suprapun, de exemplu, după legea pătratelor, raza spotului din punctul P_1 este dată de relația:

$$r_1 = \sqrt{(\rho_1^2 + \sigma_1^2)} [\text{mm}] \quad (2.7)$$

Se observă că r_1 are o valoare minimă, cind $\frac{\partial r_1}{\partial \alpha_1} = 0$ care permite valorile lui α_1 și r_1 să fie gata calculate pentru condiții optime de focalizare a fascicolului [25]:

$$(\alpha_1)_{\text{opt}} = 0,87 \frac{1}{M + 1} \frac{r_e^{1/4} \varepsilon^{1/4}}{C_s^{1/4} V^{1/8}} [\text{grade}] \quad (2.8)$$

$$(r_1)_{\text{opt}} = 1,33(M + 1) \frac{r_e^{3/4} C_s^{1/4} \varepsilon^{3/8}}{V^{3/8}} [\text{mm}] \quad (2.9)$$

Ultimale două relații caracterizează sistemul de parametri, relevant pentru realizarea unei raze de focalizare mică.

Factorii C_s și ε pot fi influențați destul de puțin, iar mărimea M este în general dată de condițiile practice. În acest fel factorii care sunt importanți și influențează relațiile (2.8) și (2.9) sunt r_e și V , ceea ce înseamnă că pentru o rază mică a focalizării trebuie să avem o rază cît mai mică a catodului și un voltaj de accelerare cît mai mare posibil.

Dacă se ia raza focalizării r_1 , atunci densitatea de putere W_1 obținută la această focalizare poate fi ușor dedusă din relația (2.9) și emisia specifică de curent j_e [26].

$$w_1 = \frac{VI}{r_1^2} = 0,47 \left[\frac{1}{(M+1)^{8/3}} \frac{r_1^{2/3}}{c_s^{2/3} \epsilon} \right] v^2 j_e \left[\text{Am}^{-2} \right] \quad (2.10)$$

În care : j_e este densitatea curentului de emisie a catodului, Am^{-2} .

Expresia inclusă între parantezele pătrate, este dată de temperatura catodului și de dimensionarea lentilelor de focalizare.

2.2. Interacțiunea dintre fascicolul de electroni și materialul de prelucrat.

Supunând acțiunii unui fascicol de electroni o piesă de otel de 10 mm grosime avînd un raport mare între suprafață și grosime s-au stabilit, conform (fig.2.3) repartitia cantităților de căldură [35].

Urmare a acțiunii fascicoului de electroni apar următoarele faze :

- încălzire pînă la punctul de topire;
- topirea materialului din zona supusă bombardamentului cu fascicol de electroni;
- evaporarea unei cantități de material;
- încălzirea restului de material care nu a fost supus bombardării fascicoului;
- încălzirea mediului înconjurător.

Conform (fig.2.3) se fac următoarele notații :

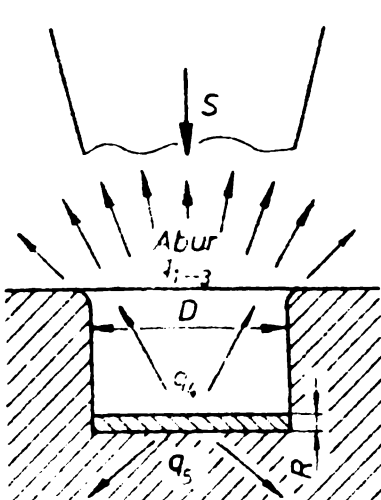


Fig.2.3. Distribuția cantității de căldură.

q_1 - cantitatea de căldură necesară vaporizării materialului degajat;

q_2 - cantitatea de căldură necesară încălzirii materialului în stratul R;

q_3 - cantitatea de căldură necesară topirii materialului încălzit peste punctul de topire;

q_4 - cantitatea de căldură disipată prin radiație;

q_5 - cantitatea de căldură disipată prin conduction.

Experimentările au început de la tem-

peratura de 2000°K care este deasupra punctului de topire a oțelului. S-a considerat suprafață $S = 0,01 \text{ mm}^2$, încălzită la temperatură T în timp ce celelalte părți sunt menținute la temperatură normală. Curbele $N_1 - N_5$ corespund cantităților de căldură $q_1 - q_5$ din procesul de topire conform (fig.2.4) [35].

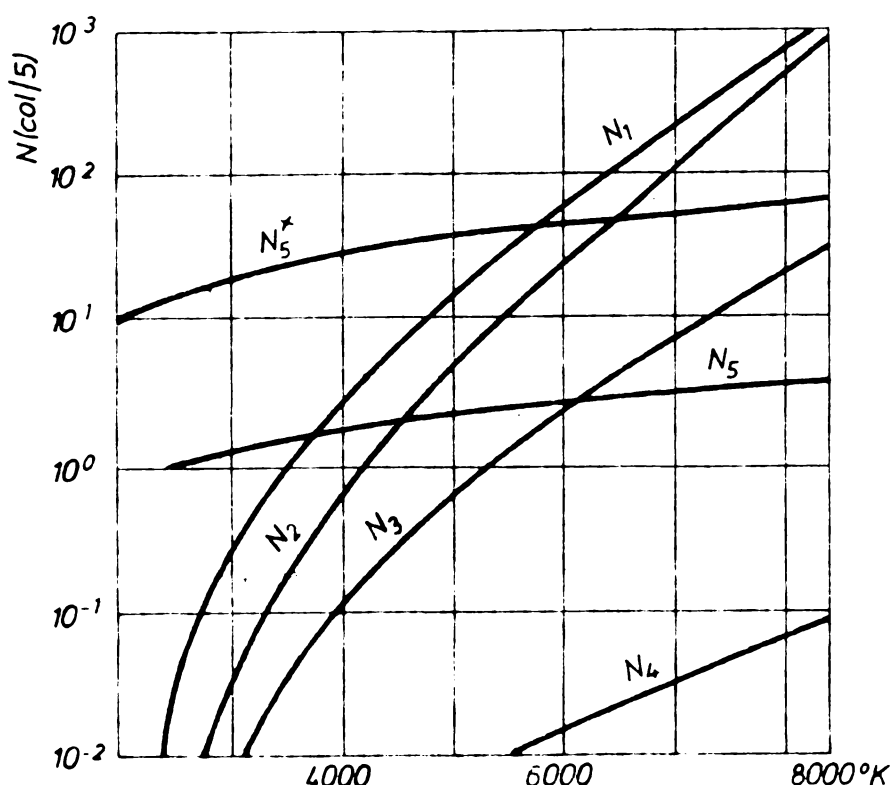


Fig.2.4. Variația cantităților de căldură.

ce la creșterea presiunii de vapori, ce variază exponențial cu temperatura, în timp ce N_5 – cantitatea de căldură disipată pe o unitate de timp prin conductie crește practic liniar cu temperatura.

Analizând din punct de vedere al detasării optime de particole de material, se observă că ea poate fi obținută doar dacă energia utilizată pentru topiri și încălziri, care se înmagazinează în material este mai mică și neglijabilă comparativ cu energia necesară vaporizării. Această idee a fost cea care a condus la folosirea fascicolului de electroni la prelucrări.

Este necesar să se folosească temperaturi suficiente de înalte pentru asigurarea vaporizării dar care să prevină efectele termice asupra piesei de prelucrat.

Valorile lui

$N_1 - N_5$ au fost obținute prin măsurare și calculare [16].

La 2000°K energia fluxului de vaporizare este mai mică decât energia pierdută prin conductie. Aici marea parte a materialului este în stare topită. Odată cu creșterea temperaturii la 3500°K apare o creștere rapidă a energiei excedente, care du-

Energia N_5 disipată prin conductie este de 10 ori mai mică decât pierderile de energie N_5^X care a fost calculată pentru cazul staționar și afirmată de condițiile ca: temperatura la distanța de $4 \mu\text{m}$ față de suprafața de lucru să nu depășească 900°K .

Conform celor de mai sus se poate demonstra că o situație de distribuție relativă a temperaturii în material nu este reală în cazurile practice pentru operațiile staționare. Pe de altă parte nu este posibil să nu excedeze temperatura critică, în afara toleranței adâncimii în material, pentru un timp scurt. Durata timpului critic este condiționată de proprietățile fascicolului de electroni cît și de calitatea materialului. Această durată critică de timp poate fi estimată într-o manieră simplă dacă se consideră că este admisibil ca fascicolul de electroni să încălzească suprafața materialului de prelucrat la o temperatură adecvată de vaporizare într-o perioadă scurtă de timp. În acest scop se cere ca densitatea de energie a fascicolului de electroni să fie foarte mare.

Energia pierdută de un fascicol de electroni este funcție de adâncimea de penetrare și ea nu este uniformă pe toată regiunea de acțiune.

Experimental s-a stabilit această energie pierdută de un fascicol de electroni de 100 kV funcție de adâncime la penetrarea tungstenului (fig.2.5) [10].

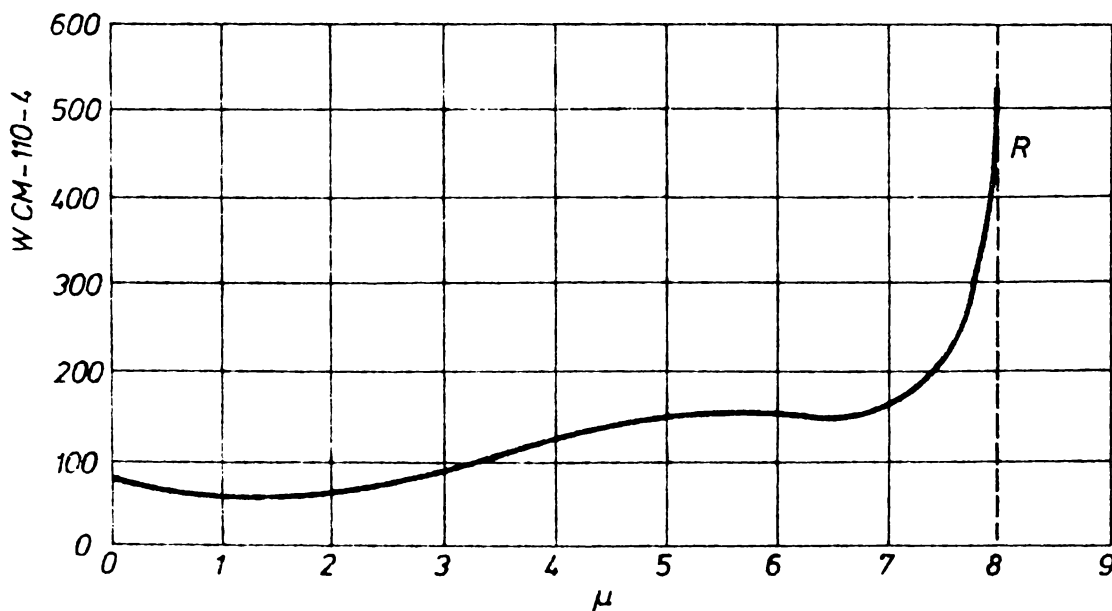


Fig.2.5. Variatia energiei la penetrarea tungstenului.

Experimentările lui Steigerwald au arătat că printr-o bună focalizare fascicolul de electroni, cu o tensiune de accelerare 100 kV și o densitate a energiei de 10^9 W/cm^2 , se poate asigura că fiecare strat în care electronii sănt absorbiți să se încălzească în aproape 10^{-8} secunde, la temperatură de topire de 3650°K , conform calculelor termice [10]. În plus s-a arătat că sursa de încălzire cu fascicol de electroni pentru tăiere este cel mai eficient ca să dea temperaturi pînă la 4000°K . La această temperatură energia folosită pentru proces este aproape 90% din energia sursei. La 2000°K doar 5% este folosită la proces, iar restul se pierde prin conductie termică, radiații etc.. Atât Stohr cît și Steigerwald au arătat că pentru a preîntîmpina efectele de conductie a căldurii este necesar un gradient de căldură foarte ascuțit, care se poate obține prin folosirea unui fascicol de electroni pulsatoriu [10]. Funcție de voltajul de accelerare al electronilor, durata pulsării va trebui să fie de mărimea cîtorva microsecunde pentru un voltaj de accelerare de 100 kV aplicat fascicolului de electroni la prelucrarea unor metale, ca de ex. fierul. Mărimea pulsării este dată de faptul că, nu are sens generarea de electroni mai mult decît cea necesară, pentru a obține cantitatea de căldură necesară topirii sau evaporării stratului de grosime egală cu adâncimea penetrării. Electronii cu o tensiune de accelerare de 100 kV realizează o adâncime de 0,03 mm la penetrarea fierului. Acești electroni își vor transmite energia, electronilor din structura materialului într-un timp de aproape 10^{-13} secunde, care este inversul frecvenței lui Debye [10]. Iar se constată experimental că acest timp de transfer al energiei electronilor fascicolului la întreaga structură a filmului de 0,03 mm este aproape de o secundă. Se poate calcula o intensitate optimă a fascicolului de electroni cu relație [26].

$$I = \alpha \rho H_{ev} / t_r \quad [A] \quad (2.11)$$

în care : α - adâncimea penetrării, mm;

ρ - densitatea materialului;

H_{ev} - căldura de evaporație a materialului;

t_r - timpul de realizare care este de ordinul microsecundelor.

La un exemplu numeric unde : $a = 0,03 \text{ mm}$;

$\rho = 3 \times 10^3 \text{ kgm}^{-3}$; $H_{cv} = 10^5 \text{ JKg}^{-1}$ și $t_r = 10^{-6} \text{ sec}$. Se obține $I = 2 \times 10^6 \text{ Wcm}^{-2}$.

Se observă, că prin mărirea densității de putere, acest numitul efect de adâncire al penetrării va crește. La intensități mai mari ca 2 MWcm^{-2} suprafața stratului încălzită inițial, va primi mai multă energie decât este necesară pentru vaporizarea sa, iar în afară de aceasta, căldura va coborî sub același suprafață și va apărea efectul de undă. Acest efect de penetrare în adâncime este evident în cazul aplicării fasciculu lui de electroni cu un voltaj de accelerare mai mare ca să se poată obține o cavitate acoperită de un film subțire de metal, lucru arătat pentru prima dată de H.Schwarz [17].

2.3. Probleme energetice ale deplasării fasciculu lui de electroni prin camera de lucru.

Electronii emiși de cátod se acceleră în cimpul electric al instalației formindu-se datorită cîmpurilor electrice și magnetice, fascicolul de electroni cu care se prelucră materialul. Acest fascicol de electroni străbate camera de lucru și atinge în final suprafața piesei de prelucrat. În drumul său prin camera de lucru fascicolul întîlneste diferiți atomi, molecule sau electroni liberi. În urmă ciocnirii electronilor fascicoului cu aceste particole, se transmite acestora o parte din energia cinetică schimbîndu-se în același timp direcția de mișcare.

Unghiul de deviație este cu atît mai mare cu cît este mai mică distanța dintre centrele electronului și partico lei în momentul ciocnirii. Deoarece diametrele atomilor și moleculelor sunt de cele mai multe ori mai mari decât diametrul electronului, direcția de mișcare a electronului după ciocnire poate să se modifice sub un unghi mai mare de 90° ajungînd pînă la 180° .

Pentru a păstra parametrii fascicoului în camera de lucru, se formează un vacuum înalt, în aşa fel ca lungimea me-

die a parcursului liber al electronilor între două ciocniri să fie mai mare decât distanța de la catod la suprafața de prelucrat.

Lungimea medie a parcursului liber al electronilor în gaze conform [18] se determină cu relația:

$$\lambda = \frac{4\sqrt{2}}{\pi n \sigma_a^2} \quad (2.12)$$

unde: n - concentrația gazului în drumul electronului;

σ_a - secțiunea efectivă a ionizării atomului ciocnit de electroni.

Conform (fig.2.6) se dău valorile secțiunii efective de ionizare pentru diferite gaze. Această mărime este funcție de viteza electronului. În gama energiei (10-100 keV) în care lucrează majoritatea emițătoarelor de electroni, secțiunea scade cu creșterea energiei electronilor.

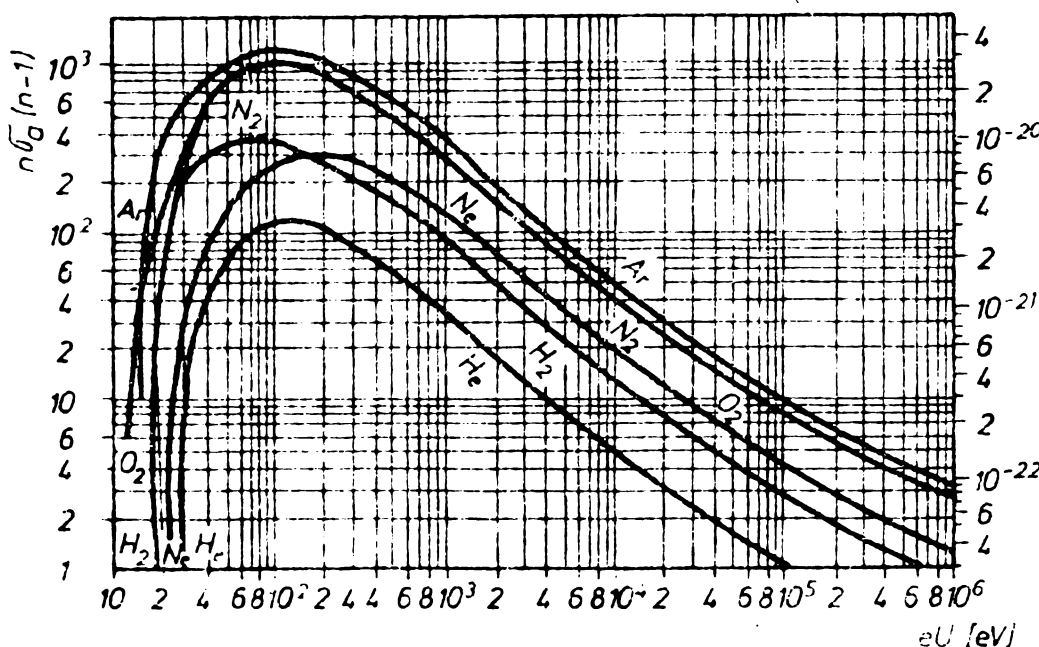


Fig.2.6. Secțiunea efectivă de ionizare.

condiții de lucru corespunzătoare unor instalații ce lucrează cu fascicol de electroni.

Trebui să arătat că numărul de particole din drumul fascicoului de electroni poate fi mai mare în zona suprafetei de prelucrat datorită acțiunii acestuia asupra materialului și a degajării de gaze și vaporii din material.

Datorită vidului final gazelor și vaporii de metal pă-

4309 X
134 X

răsesc rapid zona penetrării și se condensează pe peretii camerii de lucru.

Valorile lungimii medii a parcursului liber.

Tabelul 2.1

în cm.	Presiunea în bar
$3,5 \times 10^{-5}$	760
$2,66 \times 10^{-2}$	1
$2,66 \times 10^{-1}$	10^{-1}
2,66	10^{-2}
26,6	10^{-3}
266	10^{-4}
2660	10^{-5}

Pierderile prin ionizarea moleculelor și atomilor, a rămășițelor de gaze și vaporii care se găsesc în camera de lucru, de obicei nu sunt mari, deoarece electronii nu întâmpină rezistență mare la deplasarea lor prin vacuumul ridicat al camerei. Aceste pierderi se compun din două părți:

$$F_i = P_{ig} + P_{iv} = I_e (U_{ig} \frac{L}{\lambda_g} + U_{iv} \frac{D}{\lambda_v}) \quad (2.13)$$

unde: U_{ig} și U_{iv} - potențiale de ionizare corespunzătoare gazelor și vaporilor;

L - drumul parcurs de electroni de la tunul emițător la suprafața piesei de prelucrat;

D - diametrul suprafetei ce se vaporizează;

λ_g ; λ_v - lungimile medii ale parcursului liber al electronilor corespunzător gazelor și vaporilor de metal.

Practic datorită vidului înalt din camera de lucru la prelucrarea cu fascicol de electroni puterea absorbită pentru ionizarea gazelor P_{ig} nu atinge valoarea de 1% din puterea totală a fascicoului. Puterea consumată pentru ionizarea vaporilor P_{iv} depinde în totalitate de temperatura suprafetei piesei și de viteza de vaporizare a materialului.

Apar puteri mari consumate pentru ionizarea vaporilor de prelucrarea orificiilor adânci și la tăiere, deoarece este o temperatură înaltă de lucru și există o afloare de vaporii de

material, din această cauză fascicolul parurge un drum relativ lung într-o zonă de presiune de vaporii.

2.4. Repartiția energiei fascicolului în material.

Repartiția energiei fascicolului de electroni în materia ce se prelucrează este importantă în procesele tehnologice în care dimensiunile transversale ale fascicolului sunt comparabile cu adâncimea de penetrare a electronilor.

În aceste condiții neuniformitatea degajării în profunzime a energiei, influențează asupra propagării căldurii în materialul de prelucrat.

Cercetările făcute în ultimii ani cu fascicole electronice de mare intensitate, au arătat că legile pătrunderii lor în materie diferă de legile ce descriu pătrunderea în materie a unor electroni accelerati izolați.

În suprafața deplasării electronilor ce compun fascicolul sunt influență interacțiunea cu substanțe de prelucrat a electronilor premergători din același fascicol care au realizat impactul mai înainte.

2.4.1. Formarea fascicolului în interiorul materiei.

Când se produce impactul electronului cu materia susținută prelucrării, ciocnindu-se de particole, electronul își schimbă brusc direcția de mișcare după fiecare impact (fig.2.7).

Urmărind traectoria unui electron izolat, aceasta va apărea foarte frîntă, ceea ce provoacă o largire a fascicolului, largire care va fi destul de sensibilă dacă diametrul fascicolului este comparabil cu adâncimea de pătrundere a acestuia în materie.

Aceste traectorii frînte sunt cauza apariției electronilor reflectați care zboară de pe suprafața prelucrată a materiei și ca rezultat al multor ciocniri electronul

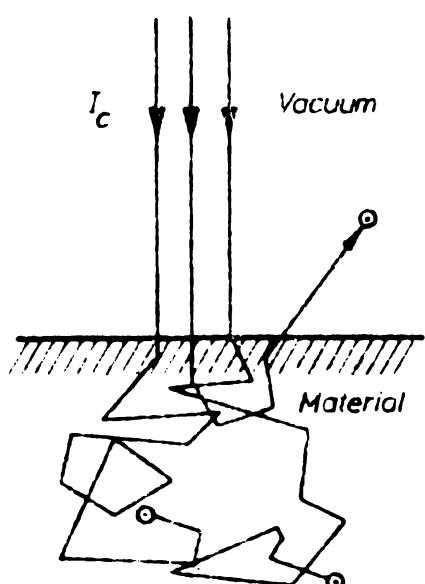


Fig.2.7. Directia de mișcare a electronului după impact.

care a pătruns în materie și poate schimba într-atâtă direcția de mișcare încât are posibilitatea să revină în spațiul camerei de lucru. Energia pe care o are în momentul ieșirii din material determină viteza lui în cameră, ea fiind energia pierdută pentru încălzire.

La penetrare, electronii se ciocnesc cu particole de masă egală sau mai mare, în acest caz unghiul de dispersie poate fi mai mare.

Tabloul acestei dispersii se poate observa vizual, trecând un fascicol paralel îngust de electroni într-un spațiu umplut cu gaz de joasă presiune. Sub influența excitării și ionizării gazului, se iluminează, determinîndu-se clar limita zonei ocupate de fascicul de electroni rapizi.

Forma acestei zone este aproape sferică, diametrul fiind determinat de viteza electronilor, de presiunea și compoziția gazului în cameră. Se poate considera că diametrul fasciculuui crește aproximativ cu o valoare egală cu adâncimea de pătrundere a electronilor în materie.

După adâncimea de pătrundere a electronilor se disting două regimuri de încălzire a substanței:

2.4.1.1. Încălzirea superficială.

Dimensiunile transversale ale fasciculuui sunt mult mai mari decât adâncimea pătrunderii lui în materie. Dimensiunile fasciculuui la trecerea prin material nu se schimbă sensibil. Problema încălzirii materialului ce se supune bombardamentului cu fascicol de electroni și a propagării căldurii se rezolvă în ipoteza degajării căldurii pe suprafață sau extremitate, într-un strat superficial subțire. Aceasta se observă în diferite cazuri de topire și prelucrare termică a metalelor, la sudarea pieselor de dimensiuni mari, la depunerea de pelicule prin vaporizare.

2.4.1.2. Încălzirea în profunzime.

Diametrul fasciculuui (de obicei în aceste procese fascicul este rotund) este comparabil sau mult mai mic decât distanța la care fascicul pătrunde în material. O mare importanță practică o au problemele variației parametrilor fasciculuui în materie, legile degajării căldurii pe traекторia fasciculuui.

Acstea condiții se realizează în instalațiile microscoapelor electronice, la tăierea și îndepărțarea unor straturi subțiri de metal, microsudarea cu fascicol electronic, la înregistrarea cu fascicol pe pelicule termoplastice.

2.4.2. Degajarea energiei din fascicolul de electroni în materia supusă bombardamentului.

Intrucit drumul electronului în materie este departe de a fi liniar, transformarea energiei cinetice a fasciculu lui în căldură se produce uniform pe adâncimea pătrunderii lui în material. Pe măsură ce pătrunde fascicolul, și mărește secțiunea, drumurile medii se abat tot mai mult de la axa fasciculu lui, electronii își pierd energia. În atingerea unei anumite adâncimi o parte din electroni se întorc spre suprafața materiei. Aceștia avind o energie cinetică destul de ridicată continuă să încălzească materialul, pe acea porțiune a adâncimii de pătrundere a fasciculu lui pe care ei deja au parcurs-o.

Pe lîngă această probabilitate a interacțiunii cu materia, transmiterea de energie către materie este diferită pentru diferite substanțe, dar maximul se află în limitele vitezelor electronilor de cîteva sute de electron-volți. Aceasta înseamnă că dacă un electron rapid s-ar deplasa liniar în substanță, atunci degajarea specifică de energie în substanță ar crește în procesul frînării electronilor pînă la o valoare maximă oarecum în funcție de profunzimea materiei, cînd energia sa se micșorează pînă la cea care corespunde maximului posibilității de interacțiune. Apoi energia specifică degajată de fascicol scade din nou intrucit scade probabilitatea de interacțiune. Numeric această probabilitate se exprimă prin valoarea secțiunii efective de ionizare a moleculelor substanței și la determinarea lungimii medii a parcursului liber al electronului în materie.

2.5. Mecanismul penetrării fasciculu lui de electroni.

Mecanismul penetrării în scopul obținerii unor orificii a fost arătată de H.Schwarz și este reprezentat schematic în (fig.2.8) [22].

În (fig.2.8.A) un fascicol de electroni de diametru

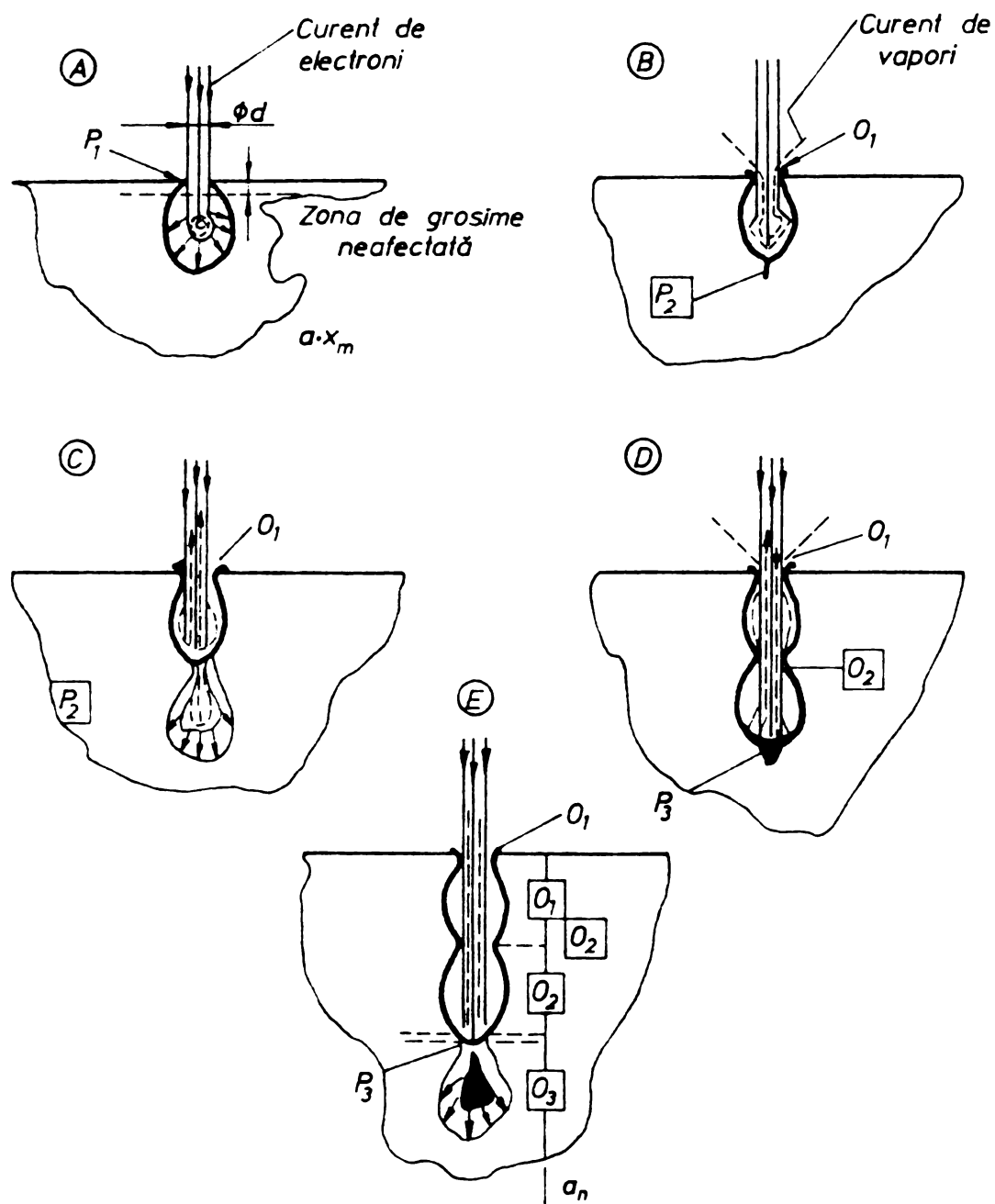


Fig.2.8. Mecanismul penetrării.

"d" și cu un voltaj de accelerare "V", penetrează suprafața de material pe o adâncime de $a \cdot X_m$ ($a < 1$ iar X_m dat de fig.4.1) cu un mic efect asupra acestei cruste care este practic transparentă pentru electronii de mare viteză. Electronii în partea inferioară crustei sănt stopați și se ciocnesc creind un volum încălzit de forma unei pere. Crusta neafectată de penetrarea electronilor se rupe ca în (fig.2.8.B). Prin această rupere se formează un orificiu O_1 care permite presiunii interioare care s-a format cît și unui curent de material evaporat să părăsească zona. Materialul care a părăsit zona servește la păstra-

rea deschisă a canalului O_1 . Asemenea rupturi au fost observate încă înainte de 1945 iar fotografia lor și o simplă prezentare s-a făcut de I.Dosse și G.Mierdel [23].

Ca rezultat al rupturii reprezentate în (fig.2.8.B) se formează în jurul orificiului un dig circular de lichid care nu permite întoarcerea înapoi a curentului de material evaporat. Acțiunea și reacțiunea forțelor rezultate din acest curent de vaporii crează o propulsie sub formă de jet care contribue la dîncirea penetrării. Deoarece aceste forțe sunt de ordin mai mare ca presiunea exercitată de electronii fascicolului care împing materiale această presiune a electronilor poate fi neglijată.

Cu descreșterea densității de vaporii, ciocnirea electronilor este mai mică și ionii vaporilor contribue la refocalizarea fascicolului de electroni pe fundul cavității formate P_2 , procesul se repetă dar de această dată el pornește din punctul P_2 (fig.2.8.C).

Fascicolul de electroni penetrând o distanță aX_m într-o zonă parțial cu lichid și parțial cu solid, încălzește următoarea zonă în formă de pară și conform celor reprezentate în (2.8.D) o parte din acest volum evaporat părăsește zona prin ruptura O_2 . Ciocnirea electronilor și focalizarea gazelor se adună la forma undei rezultate. La sfîrșitul operației cind fascicolul este oprit o parte a digului de lichid format la partea superioară a metalului de penetrat, se va întoarce înapoi în canal probabil ca rezultat al forțelor de capilaritate.

Distanța " a_n " între punctele nodale este funcție de voltajul de accelerare și material și este desigur mai mare odată cu creșterea voltajului de accelerare. Voltajul mare de asemenea descrește cantitatea ciocnirilor ceea ce permit o mărire a adâncimii față de grosime. Distanța " a_n " este de asemenea dependentă față de uniformitatea materialului și se pot vedea uneori neregularități ale orificiului din această cauză.

Aceste neregularități nu pot fi explicate doar pe baza efectului de focalizare a gazului din orificiu, neregularitățile din material dînd naștere la ciocniri neregulate. Explicațiile date aici au la bază doar ipoteze de lucru deoarece întregul proces are loc într-o situație de neechilibru mult

mai complexă.

2.6. Parametrii penetrării.

Parametrii penetrării la o instalație cu fascicol de electroni pot fi împărțiți în 2 categorii:

- a - parametrii sursei emițătoare de electroni;
- b - parametrii sistemului electrono-optic care focalizează fascicolul.

Analizând parametrii sursei emițătoare de electroni se constată următoarele:

- voltajul de accelerare este limitat de valoarea izolatorului dintre anod și catod;
- curentul anodic limitat care dă dimensiunile și caracteristicile catodului cît și parametrii geometrici ai tunului;
- conductibilitatea sau perveanța sistemului electrono-optic. Acest parametru stabilește în general construcția tunului și este legat de intensitatea și voltajul anodic al tunului.

$$G = \frac{I_a}{U_a^{3/2}} \quad (2.14)$$

Din punct de vedere fizic aceasta înseamnă că la o creștere mare a intensității curentului conform (relației 2.14), diametrul fascicolului la trecerea lui prin diafragma anodică este limitat de ea, fiind mai mare, partea periferică a fascicolului cade pe marginea diafragmei anodice. Vor crește astfel pierderile de anod iar puterea fascicolului care bombardează metalul nu se schimbă. Pentru cazuri concrete perveanța se folosește pentru calcularea puterii sau intensității emisiei catodice, la trecerea la un nou regim cu o tensiune anodică mai mică față de cea inițială. De obicei în cartea mașinii care însoțește instalația se dă perveanța pentru intensitatea maximă a curentului $I_{a \max}$ și tensiunea de accelerare maximă $U_{a \ max}$.

$$G = \frac{I_{a \ max}}{U_{a \ max}^{3/2}} \quad (2.15)$$

Limita admisibilă a intensității curentului la un regim cu un voltaj de accelerare U_a va fi [35]:

$$I_a = GU_a^{3/2} = I_{a \max} \left(\frac{U_a}{U_{a \max}} \right)^{3/2} \quad (2.16)$$

Analogic se poate scrie și valoarea puterii care se poate obține la un voltaj anodic.

Valoarea perveanței ajunge de $1 \cdot 10^{-5} \text{ A/V}^{3/2}$ pentru tunuri electronice cu fascicol axial.

Tunurile cu fascicol conic cunoscute în practică sub denumirea tip Pierce, generează fascicolul foarte condensat în aşa fel că încărcarea negativă a spațiului din fascicol crează un cîmp electric radial care crește o creștere a spotului dacă nu se iau măsuri speciale.

Metodica de calcul a unor asemenea tunuri permite să se ia în considerare sarcina spațiului în fascicolul traiectoriei electronilor. Aceste tunuri permit să se obțină densități mari ale curentului în fascicol, în comparație cu tensiunile anodice mici și densitatea reală a curentului emis de catod, folosindu-se pentru tăieri, sudări sau găuriri.

Tunurile cu distanță focală mare se folosesc pentru diametre de focalizare mici și densități de energii mari. Deoarece secțiunea fascicolului nu permite să se obțină o încărcare cu o densitate de curent mare, aceste tunuri pentru diametre mici (mai mic de 0,1 mm) cu o intensitate mică a electronilor în fascicol. Pentru păstrarea unei densități înalte de energie și pentru a măsura efectul de interacțiune a sarcinilor în traiectoria electronilor, tensiunea anodică de accelerare se ridică la 100-150 kV iar catodul se execută de dimensiuni cât mai mici posibile de obicei sub forma unui ac din tantal sau wolfram.

Borînțele de a obține puteri cât mai mari în fascicol la tensiuni joase de accelerare a condus la teoria sistemelor electro-optice cu luare în considerație a efectului interacțiunii sarcinilor în fascicol.

CAPITOUL 3. INFLUENȚA PARAMETRILOR DE LUCRU ASUPRA PRELUCRARII LA DIMENSIUNE

3.1. Probleme ale aplicării opticii electronice la tunurile emițătoare de electroni.

Depășarea electronilor în cazul unui fascicol inițial paralel cu emisia de catod se poate reprezenta conform (fig.3.1) [59].

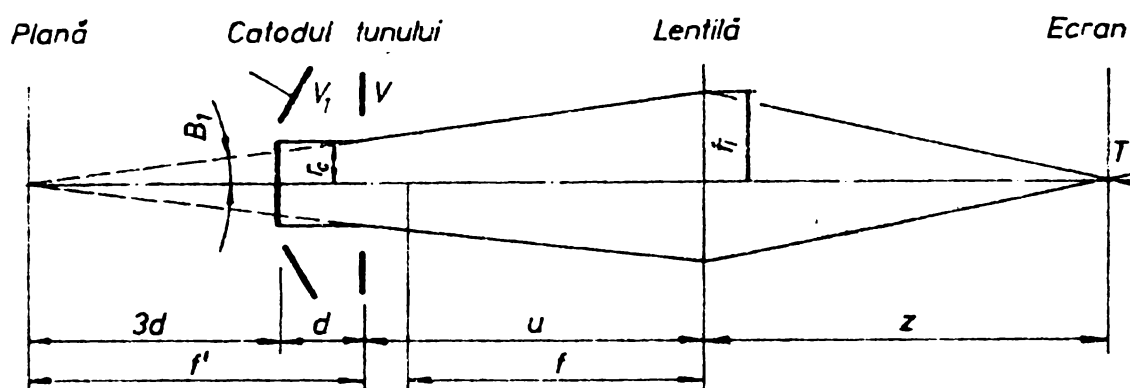


Fig.3.1. Depășarea electronilor în cazul unui fascicol emis inițial paralel.

Notând cu Z – distanța de la lentilă la piesa de lucru cu precizarea că ea nu este accesă cu distanță focală. Din punct de vedere teoretic, densitatea de energie în planul focalului ar trebui să fie infinită.

Considerind diametrul de prelucrare limitat de viteza termică a electronilor ce bombardază piesa $\sigma_T = 2 r_T$ și aplicând bine cunoscuta relație a lui Langmuir se obține [44]:

$$\rho_T = \rho_c \left\{ \frac{v}{kT} + 1 \right\} \sin^2 \gamma \quad (3.1)$$

deoarece :

$$\frac{r_T}{r_c} = \sqrt{\frac{\rho_c}{\rho_T}} = \sqrt{\frac{kT}{v}} / \sin \gamma = \sqrt{\frac{kT}{v}} \cdot \frac{Z}{r_i}$$

$$\sigma_T = 2 r_T = \frac{2 r_c}{r_i} Z \sqrt{\frac{kT}{v}} \quad (3.2)$$

Semiunghiul mediu de propagare al electronilor emisi de catod este $\alpha = \sqrt{KT/V}$, electrozii apărind la sistemul de catod din (fig.3.2) cu emanății dintr-un catod virtual I la o distanță $2d$ în stînga anodului. Distanța focală în partea anodului este măsurată aproximativ $f^1 = 4d$ care dă o imagine virtuală a catodului II de înălțimea r_c la $1,3d$ în stînga anodului cu un semiunghi mediu de propagare de $\alpha' = \frac{3}{2}\alpha$.

Raza fascicoului în lentila principală este:

$$r_f = U' r_c = \frac{U' r_c}{4d} = \frac{U + 4d}{4d} r_c \quad (3.3)$$

Conform (fig.3.2) se observă:

$$\sigma_T = 2(v - z)\gamma'' \quad (3.4)$$

$$\gamma = \frac{U' z}{U + z} \quad (3.5)$$

$$\gamma'' = \frac{\alpha U''}{V} = \frac{3}{2} \alpha'' \frac{U'}{V} \quad (3.6)$$

$$V = U'' - z(U' - z) \quad (3.7)$$

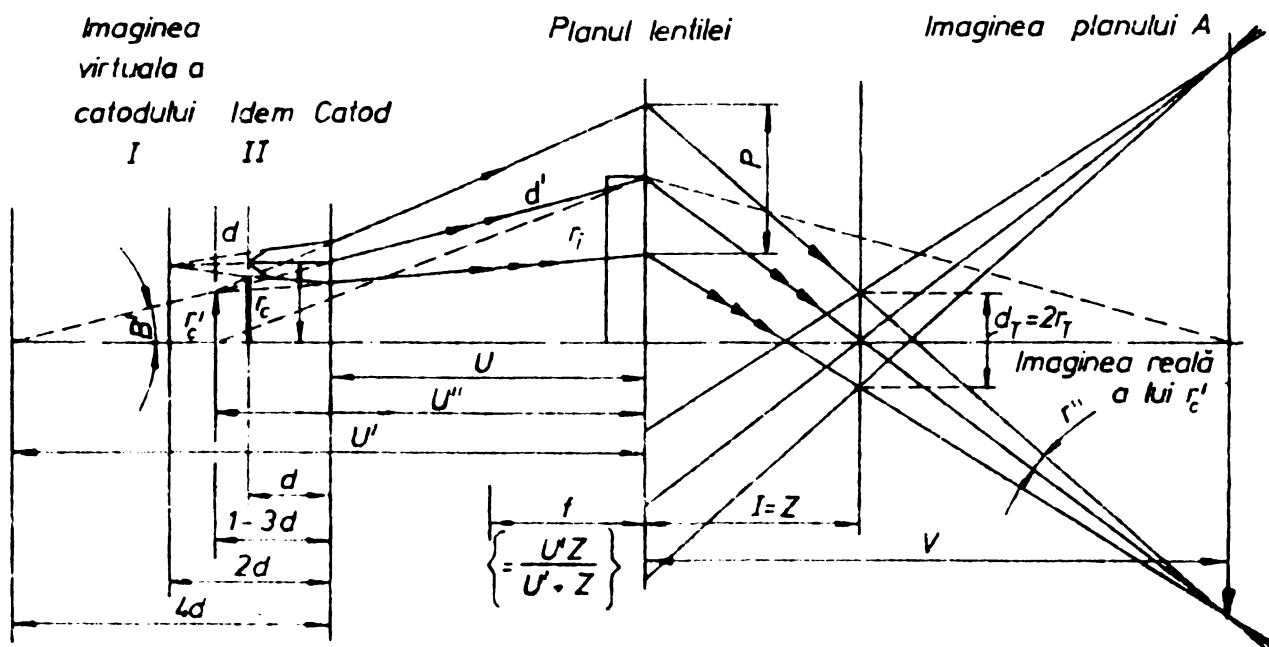


Fig.3.2 Formarea imaginii.

În grafini și rezolvînd cu ușăile de mai sus se obține relația de cercetată cu ajutorul teoremei lui Langmuir de limită a lorită vitezei termice. [10]

$$\sigma_p = 2 \cdot Z \cdot \frac{r_c}{r_i} = 2 \sqrt{\frac{kT}{V}} \cdot Z \cdot \frac{r_c}{r_i} \quad (3.2)$$

Se obține astfel diametrul minim al spotului limitat de efectul vitezei termice și exprimat în distanțe componente ale tunului electronic.

Efectul respingerii dintre electronii fascicoului la diametrul minim a fost luat în considerare de Thompson B.I. și Headrick L.B. [32],

Condițiile variază cu creșterea intensității fascicoului de la cazul ideal, curent de valoare zero conform (fig. 3.1) la situația din (fig. 3.3) care reprezintă un fascicol de intensitate mare curentul având valoarea I cind în lungul axelor nu există electroni. Diametrul minim al spotului pe piesă ($2 r_s$) este cu puțin mai mare decât fascicul minim.

Analiza amănunțită a acestui fenomen a fost făcută de Holloway care a stabilit următoarea formulă [33]:

$$r_s = \frac{1}{2} \quad \sigma_s = 5,9 \cdot 10^4 \cdot Z^{5/2} \cdot I^{5/4} \cdot V^{-15/8} \cdot r_i^{-3/2} \quad (3.9)$$

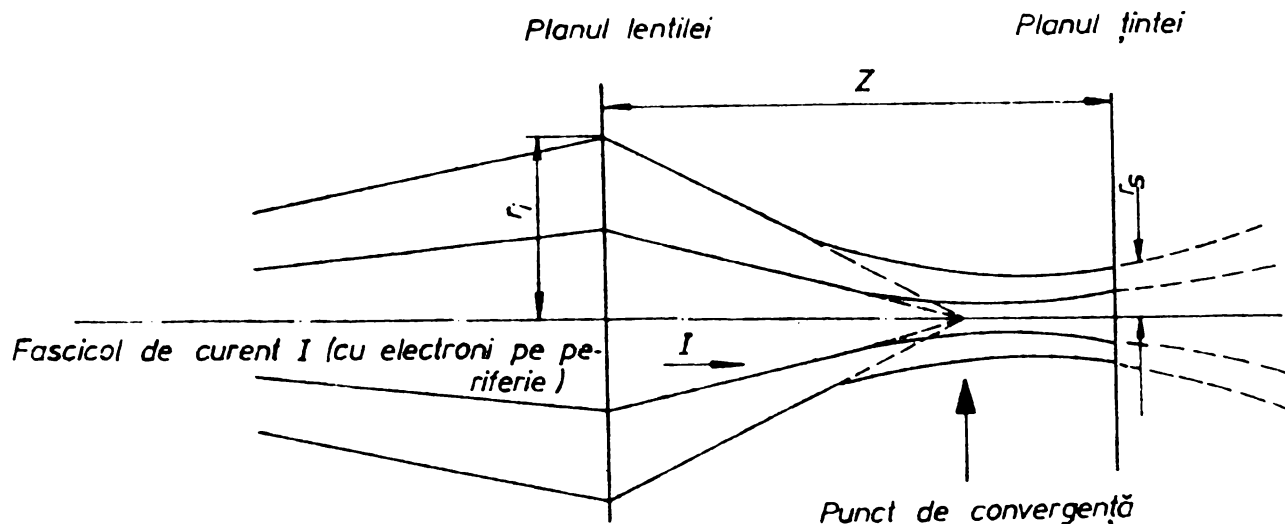


Fig.3.3. Drumul unui fascicol de intensitate mare.

Aberația de sfericitate conform (fig.3.4) rezultă din intersecția razelor marginale cu axa optică, dă în focar un spot de diametru minim, într-o zonă aflată între punctele de convergență limită marginal și paraxial.

Mărimea acestui diametru minim conform lui Haine M.E. [34]

$$\sigma_{SA(\min)} = \frac{1}{2} C_s \left(\frac{Z^4}{f^4} \right) r^3 \quad (3.10)$$

unde :

C_s - constanta aberației de sfericitate a lentilei;

r - unghiul de convergență al electronilor $r = \frac{r_i}{Z}$;

Z - distanța dintre lentilă și spotul minim;

U' - conform (fig.3.1) de la planul A la planul lentilei.

Constanta aberației de sfericitate este dată de relația aproximativă [34]

$$C_s = \frac{5 f^3}{(S+D)^2} \quad (3.11)$$

unde:

S - secțiunea fantei bobinei de focalizare;

D - diametrul orificiului bobinei de focalizare.

Luând în considerare relația (3.11) s-ar putea trage concluzia că D_s se poate obține cît mai mic prin mărirea termenului $(S+D)$ dar trebuie arătat că distanța focală minimă este funcție de $(S+D)$.

$$- f_{\min} = 0,5 (S+D) \quad (3.12)$$

Din relațiile (3.10) și (3.11) se obține următoarea relație pentru diametru minim:

$$\sigma_{SA(\min)} = 2,5 r_i \frac{Z}{f(S+D)} = 2,5 r_i^3 \left\{ \frac{U' + Z}{U'} \right\} \frac{1}{S+D} \quad (3.13)$$

Valorile pentru S și D se aleg în general în aşa fel ca maximele lor să asigure cea mai mică distanță de lucru.

Se observă că o creștere a lui "r_i" duce la o descreștere a efectului interacțiunii electronilor, dar duce la o creștere a aberației de sfericitate. Pentru a obține valori optime r_i se va admite egalarea efectului interacțiunii electronilor cu cel al aberației de sfericitate cunoșcind valoarea lui r_i se poate determina r_c din relația (3.2).

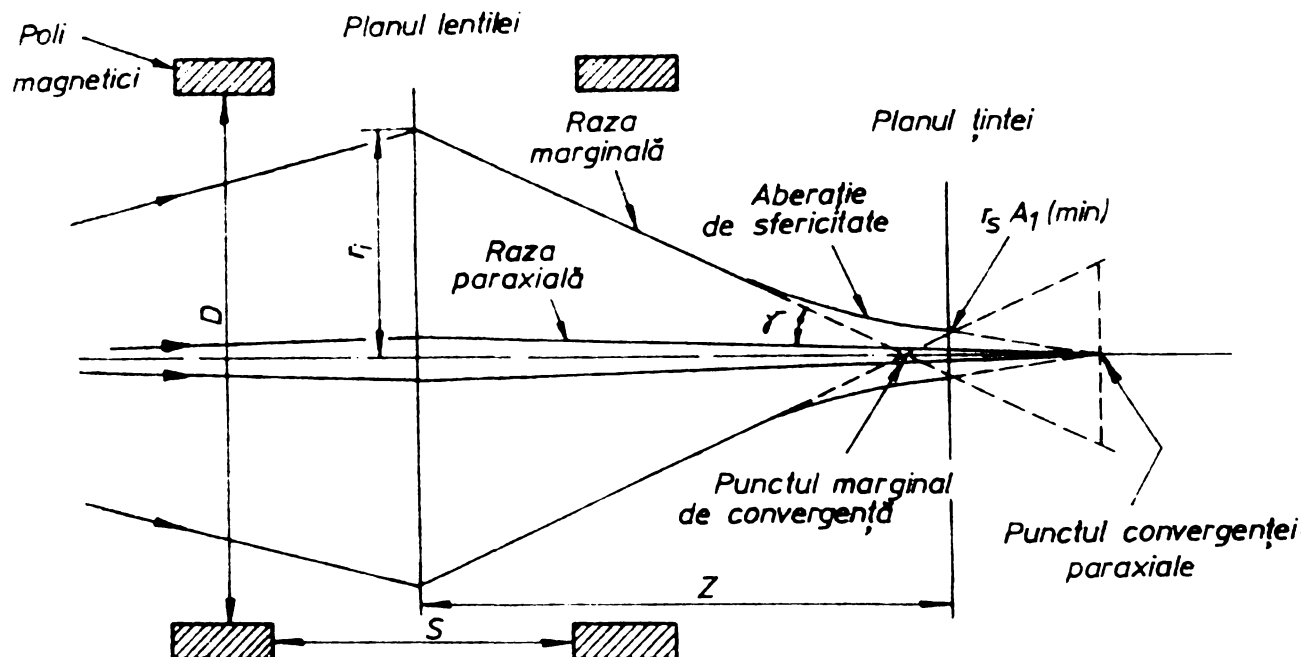


Fig.3.4. Formarea aberației de sfericitate.

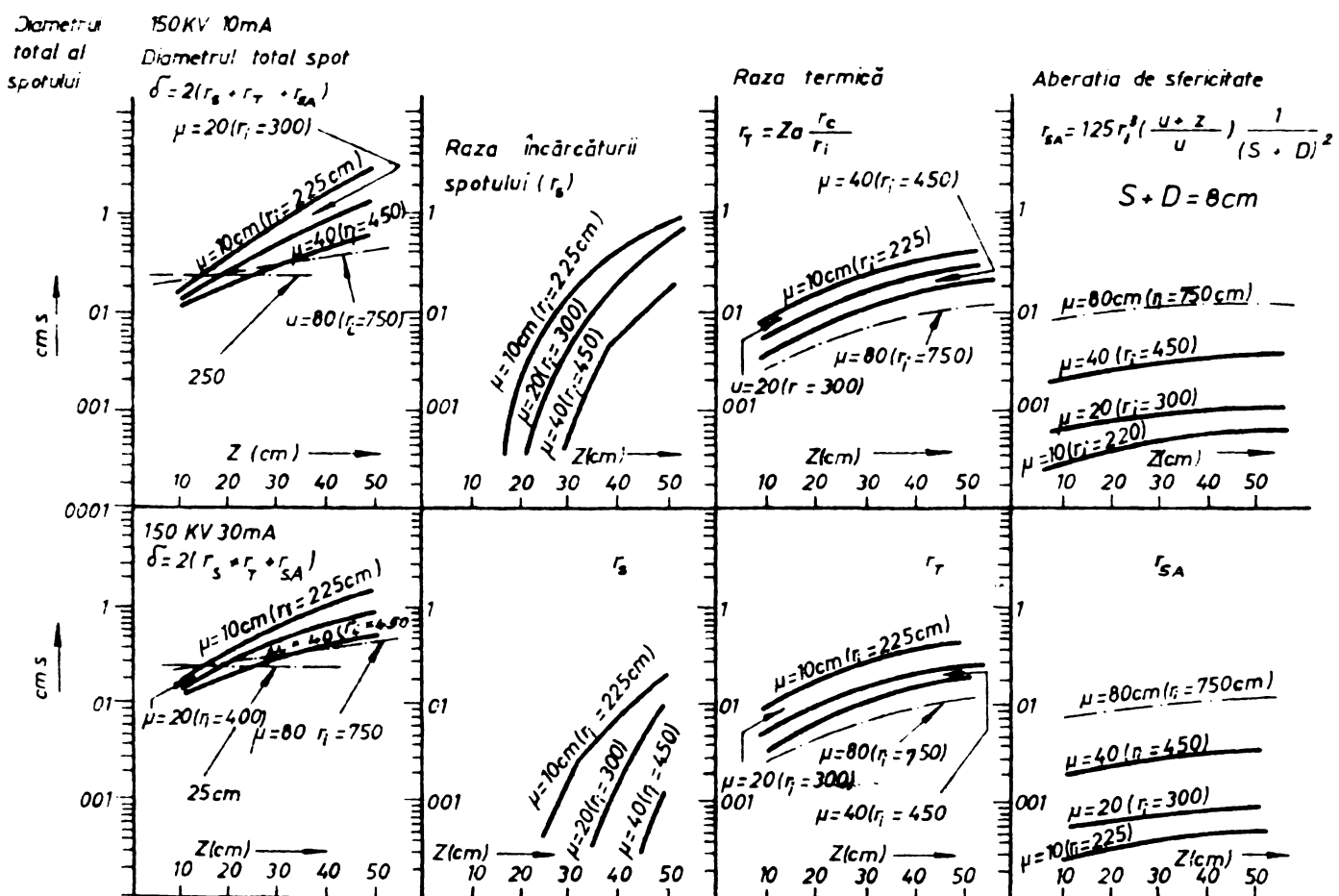


Fig.3.5. Dimensiunile teoretice ale spotului obținut cu o lentilă de focalizare pentru un fascicol de voltaj înalt al unui tun electronic cu un diametru al fascicolului $r_c = 15$ cm; $d=1,2 \cdot 10^3$; 150 kV; 70-30 mA.

Diametrul spotului și densitățile de energie accesibile au fost calculate pentru un tun tip Pierce cu un voltaj de accelerare de 150 kV și $r_c = 0,15$ cm, pentru diferite distanțe U între anod și lentilă, precum și între lentilă și piesă (Z). Variatia distanței (U) are ca efect creșterea razei fasciculu lui în lentilă (r_i) care reduce împrăștierea sarcinii în timp ce crește aberația de sfericitate. Cele trei efecte (termic, sfericitate și interacțiunii sarcinii) au fost calculate separat și adunate pentru a da dimensiunea spotului $\sigma = \sigma_T + \sigma_S + \sigma_{SA_{min}}$ pentru diferite valori ale intensității fascicoului și sunt prezentate în (fig.3.5) și (fig.3.6).

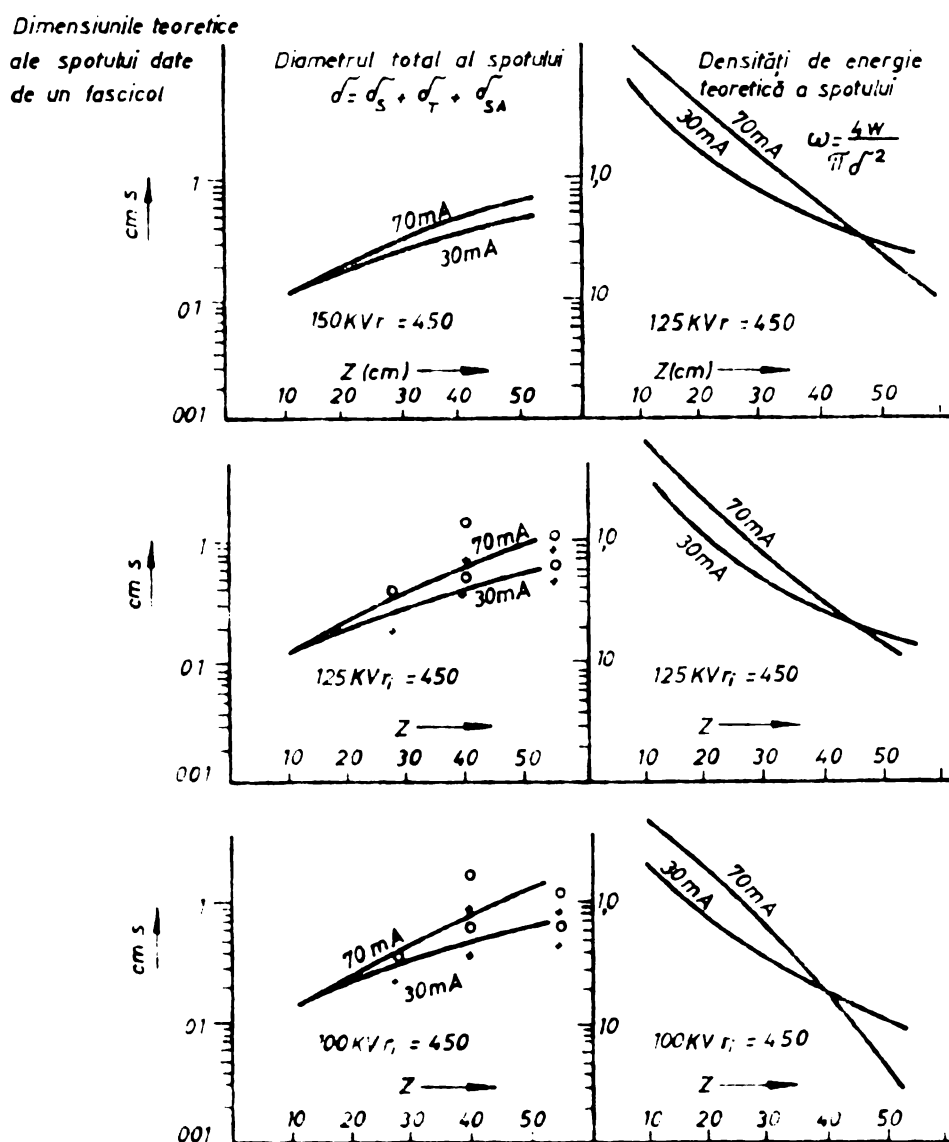


Fig.3.6. Dimensiunile spotului obținut cu o lentilă de focalizare pentru un tun de voltaj înalt cu un fascicol cilindric de 0,450 cm.

Se observă că pentru o distanță de lucru Z mică, dimensiunile spotului sunt mai mici în special datorită efectului redus de interacțiune dintre electroni.

Mărind distanța (U), efectul interacțiunii dintre electroni poate fi redus pentru distanțe în domeniul 25-50 cm corespunzînd unei valori minime a lui r_i .

Desigur (U) nu poate fi mărit din punct de vedere fizic,

efectul putând fi obținut prin creșterea inițială a divergenței fascicolului prin înclinarea sau forma profilului catodului. De asemenea o lentilă auxiliară subțire în apropierea anodului va asigura același efect și va permite controlul anodului.

Intr-un tun electronic valoarea lui "U" a fost confirmată de măsurarea profilului fascicolului la aproximativ 40 cm cu o valoare a lui $r_i = 0,45$ cm.

Dimensiunea spotului pe piesa de lucru va fi σ iar densitatea de energie $D = \frac{4 W}{\pi \sigma^2}$. Mărimea acestor valori să luăt corespunzător valorilor pentru "U" și " r_i " și anume 150 kV și 100 kV iar intensitatea curentului fascicolului de 70 mA și 30 mA reprezentate în (fig.3.6).

Pentru determinarea parametrilor fascicolului de electroni și desigur și ai tunului electronic pe baza calculului procesului energetic se calculează puterea necesară pentru regimul de lucru P_T [35].

$$P_e = \frac{1}{\gamma} P_T \quad (3.14)$$

unde :

γ - randamentul instalației și este dat cu aproximatie de 2 - 5% de relația:

$$\gamma = 1 - \frac{P_2}{P_e} = 1 - r \int_0^1 \frac{I_2}{I_{2 \text{ max.}}} d \left(\frac{U_z}{U_n} \right) \quad (3.15)$$

unde :

I_2 - intensitatea curentului electronilor de emisie două și reflectați;

U_2 - potențial determinând energia electronilor de emisie două și reflectați;

$I_{2 \text{ max.}}$ - intensitatea curentului electronilor de emisie două și reflectați care au o energie mai mare de 50 eV;

r - coeficient de reflectie dat calculat de L.N. Dobrețov conform relației (3.15) [37].

$$r = \frac{I_{2 \text{ max. reflex}}}{I_e}$$

I_e - intensitatea fascicolului.

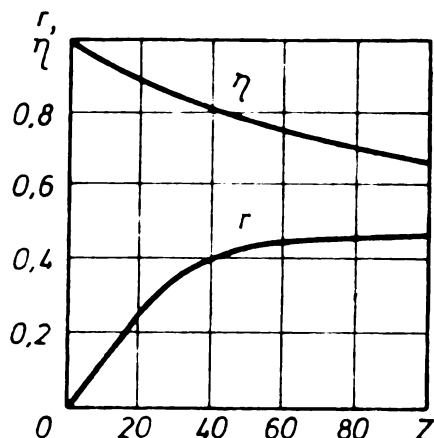


Fig.3.7. Răndamentul funcție de numărul atomic Z.

Transpunerea practică a valorilor răndamentului pe o curbă, funcție de numărul atomic Z este dată de V.V. Bașenko în (fig.3.7) [35].

Conform (fig.3.7) se observă că variația răndamentului este invers proporțională cu numărul atomic Z, variația răndamentului fiind între 65% - 90% pentru Z = 100 respectiv Z = 10.

3.2. Limitarea densității de energie ca urmare a efectului vitezei termice.

Densitatea de energie limitată de efectul vitezei termice D_a în condițiile unui reglaj corespunzător al unghiului de convergență al fascicolului a fost exprimată [22] [28].

$$D_a = S_a i^{1/2} v^{7/4} \quad (3.16)$$

unde :

$$S_a = 0,487 (Cf)^{-1/2} \left(\frac{e}{k}\right)^{3/2} \left(\frac{j}{T}\right)^{3/2} \quad (3.17)$$

În această relație diametrul spotului fascicolului pe piesă este doar limitat de viteza termică și de aberația de sfericitate.

În relația (3.16) s-au făcut următoarele notări:

i - intensitatea fascicolului; A

V - voltaj de accelerare; V

C - constanta aberației de sfericitate
a sistemului de lentile;

f - distanța focală a sistemului de lentile; m

e - sarcina electronului $1,6 \cdot 10^{-19}$; C

k - constanta lui Boltzman $1,38 \cdot 10^{-23}$; J/⁰K

j - emisie specifică de electroni (cantitatea
de electroni emisi de unitatea de supra-
față a catodului); Am⁻²

T - temperatura suprafeței catodului; ⁰K.

3.3. Limitarea densității de energie ca urmare a efectului interacțiunii dintre electronii fascicolului.

Densitatea de energie limitată de efectul de interacțiune dintre electronii fascicolului D_c , devine o funcție diferențială completă, a curentului și a voltajului de accelerare V , dacă intensitatea fascicolului într-un spot circular de diametru d pe piesa de lucru este limitată de interacțiunea dintre electroni. Dar, deoarece curentul maxim în cazul limitării datorită efectului de interacțiune dintre sarcini este o funcție transcendentă care exprimă diametrul spotului d , nu este posibil să se dea o expresie explicită a densității de energie funcție de curentul fascicolului și voltajul de accelerare V , așa cum s-a arătat mai sus, în cazul densității de energie limitată de efectul vitezei termice.

Curentul maxim al unui fascicol care poate fi forțat într-un spot de diametrul d , care este limitat de efectul interacțiunii dintre electroni a fost calculat de J.N. Schwartz și se poate exprima [28] :

$$i = \pi \epsilon \left(\frac{2e}{m} \right)^{1/2} \left(\frac{d_r}{Z} \right)^2 V^{3/2} \left\{ 1 + \sum_{n=1}^{\infty} \left[\gamma^n \pi^n (2\gamma - 1) \right] \right\}^{1/2} \quad (3.18)$$

unde :

ϵ - constantă absolută a dielectricului în vid $8,83 \cdot 10^{-12}$ F/m;

Z - distanța dintre punctul de maximă strîngere și punctul unde fascicolul are diametru " d_r " ;

m - masa electronului $9,11 \cdot 10^{-31}$ daN;

d_r - diametrul fascicolului în acțiunea imediată după părăsirea cîmpului efectiv al lentilei de focalizare;

$$d_r = 2 Z \alpha \quad (3.19)$$

unde :

α - unghiul de convergență al fascicolului sau apertura

μ - indicele celui mai mic termen al seriei semiconvergente :

$$\gamma = \left[2 \ln \left(\frac{d}{r} \right) \right]^{-1} \quad (3.20)$$

și

$$\sum_{n=1}^{\infty} \left[\gamma^n n (2\gamma - 1) \right] = \gamma + 3\gamma^2 + 15\gamma^3 + 105\gamma^4 \quad (3.21)$$

în cazul $\frac{d}{r} < 10^{-2}$ (3.22)

Eliminarea lui d_r se realizează prin introducerea relației (3.19) în relația (3.18). Voltajul de accelerare relația (3.18) este socotit a fi mărimea potențialului fascicoului în spațiul liber, dacă potențialul sursei de electroni este luat ca zero. Deoarece pentru instalațiile cu fascicol de electroni se aplică un voltaj de accelerare destul de înalt, (mai mare cu 30 kV) diferența de potențial între centrul și periferia fascicoului cît și efectul de interacțiune între electronii comprienți este foarte mică. Doar la voltajele de accelerare joase și la curenti mari apare un potențial radial diferit în secțiunea fascicoului. Folosind ecuațiile lui Smith și Hartman se poate vedea că repartiția radială a potențialului nu este mai mare de $\pm 2\%$ dacă perveanța ($i v^{-3/2}$) a tunului electronic nu este mai mare conform inegalității [29]:

$$1 \cdot v^{-3/2} < 2 \cdot 10^{-7} \left[1 + 2 \ln \left(\frac{D}{d_b} \right) \right]^{-1} \quad (3.23)$$

În care:

D – diametrul interior al conductorului cilindric de potențial V prin care poate trece fascicul cu diametrul " d_b ".

Chiar în cazuri extreme factorul $\left[1 + 2 \ln \left(\frac{D}{d_b} \right) \right]^{-1}$ nu va schimba pentru perveanță mai mult cu un ordin de mărime. Practic toate cazurile de deviație de la rezultatele asumate duc la o creștere a spotului aşa că toate ecuațiile ce se vor prezenta în această lucrare determină valorile limită superioare și inferioare ale densității optime de energie și respectiv a dimensiunilor minime a spotului.

3.4. Influența aberației de sfericitate asupra sistemului electrono-optic al tunului electronic.

Pentru valoarea dată aberației de sfericitate a unui sistem de lentile densitatea de energie maximă este obținută atunci cind unghiul de convergență este astfel ales ca diametrul minim al spotului determinat de aberația de sfericitate să fie:

$$d_e = \frac{1}{2} C f \alpha^3 \quad (3.24)$$

Relația (3.24) a fost determinată de L.P.Smith și P.L. Hartman pentru o sursă punctiformă la infinit și o mișcare monocinetică a electronilor [36].

Urmare celor de mai sus se observă că diametrul format de un sistem de lentile ideale se poate exprima ținând cont de relațiile (3.18) și (3.19) ca o funcție:

$$d = f(i; V; Z; \alpha) \quad (3.25)$$

Dacă unghiul de convergență " α " este ales mai mare decât valoarea care ar satisface relațiile (3.24) și (3.25) atunci modificarea curentului va duce doar la creșterea dimensiunilor spotului și va scădea media densității curentului. Dacă unghiul este mai mic, curentul total va descrește (fără o corespondență în descreșterea dimensiunilor spotului și a densității de curent) iar densitatea de energie va descrește mai mult.

Eliminând pe " α " din relațiile (3.24) și (3.25) se va obține în final o valoare aproximativă a densității de energie maxime pentru un spot circular limitat de condiții optime.

Unghiul de apertură maximă " α " poate fi eliminat din relația (3.19) folosind relația (3.24) așa că substituția acestei noi expresii în relația (3.18) dă curentul maxim:

$$i = 4\pi e \left(\frac{2e}{m}\right)^{1/2} \left(\frac{2d}{C_f}\right) V^{3/2} \gamma \left\{ 1 + \sum_{n=1}^{\infty} \left[\gamma^n / n (2^n - 1) \right] \right\} \quad (3.26)$$

în care:

$$\gamma = \left[2 \ln \frac{2^{1/2} z}{(C_f)^{1/2} d^{2/2}} \right]^{-1} \quad (3.27)$$

In scopul obținerii unei explicități aproximative a expresiei pentru "d" care să poată fi folosită în relația (3.25) pentru determinarea densității de energie relația (3.26) se transformă în [29]; [46]:

$$y = \frac{x}{2 \ln \frac{1}{x}} \left[1 + \frac{1}{2 \ln \frac{1}{x}} + \frac{3}{(2 \ln \frac{1}{x})^2} + \frac{15}{(2 \ln \frac{1}{x})^3} + \frac{105}{(2 \ln \frac{1}{x})^4} \right]^2 \quad (3.28)$$

în care:

$$y = \frac{I}{V^{3/2}} \frac{z^2}{\gamma \epsilon \left(\frac{2e}{m}\right)^{1/2} B^3} \quad (3.29)$$

$$B = 2^{4/3} z (C.f)^{-1/3} \quad (3.30)$$

$x = \frac{d}{d_r}$ este raportul dintre diametrul "d" al fascicoului pe piesă de lucru la diametru " d_r " al fascicoului la părăsirea lentilei de focalizare. Acesta este în general mai mic ca (3.29) și este egal cu:

$$x = d^{2/3} B^{-1} \quad (3.31)$$

Relația dintre x și y este reprezentată în relația (3.28) căror valori au fost transpusă în (fig.3.8) pentru valori a lui x între $10^{-2} - 10^{-9}$ care acoperă practic toate cazurile.

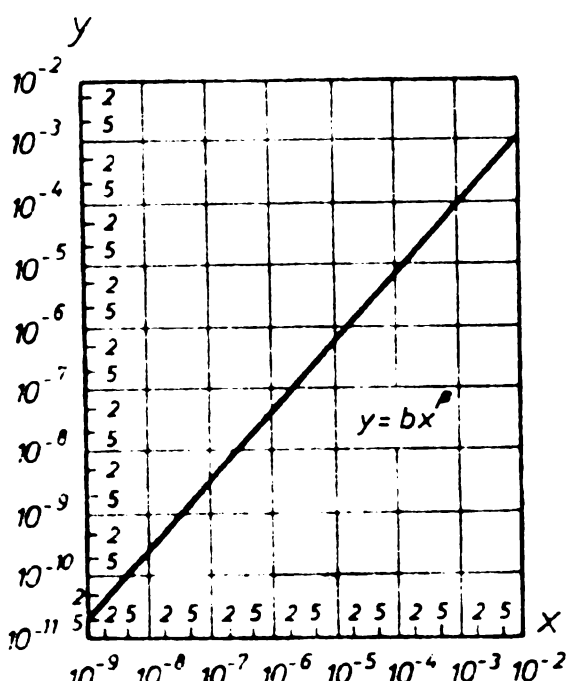


Fig.3.8. Relația între $\frac{d}{d_r}$ și $\frac{1}{r}$.

Reprezentarea conform (fig.3.8) arată că relația (3.28) poate fi înlocuită cu aproximatie :

$$y = b x^\beta \quad (3.32)$$

Combinând relațiile (3.30); (3.27) și (3.23), valoarea densității de energie poate fi ușor exprimată, ca:

$$D_C = C u^{3/\beta} i^{1-2/\beta} V^{1+9/2\beta} \quad (3.33)$$

3.5. Limitarea diametrului spotului de către parametrii electrici ai tunului electronic.

Diametrul minim al spotului în condițiile optime a curentului "i" și voltajul de accelerare. [57]

$$d = 2 (\pi c u^{3/\beta})^{-1/2} i^{3/2\beta} v^{-9/4\beta} \quad (3.34)$$

expresiile pentru u și c se determină doar de optica electronică [57].

$$u = 16\pi\epsilon b \left(\frac{2e}{m}\right)^{1/2} \cdot z (c.f)^{-1} \quad (3.35)$$

și:

$$c = c.f (4\pi Z^3)^{-1} \quad (3.36)$$

In domeniul prezentat în (fig.3.8) "b" este aproximativ 0,15 și $\beta = 1,10 \pm 0,05$ aşa că densitatea de energie pentru cazurile practice se poate calcula: [57]

$$D_c = s_c (v^{5,1 \pm 0,2} / i^{1,7 \pm 0,1}) \quad (3.37)$$

iar diametrul minim al spotului va fi:

$$d = s_c (i^{1,36 \pm 0,06} / v^{2,05 \pm 0,08}) \quad (3.38)$$

unde:

$$s_c = 6,9 \cdot 10^{-14} Z^{-0,27 \pm 0,12} (c.f)^{-1,7 \pm 0,1} \quad (3.39)$$

și

$$s_c = 2 (\pi s_0)^{-1,2}$$

$$s_c = 4,3 \cdot 10^6 Z^{0,14 \pm 0,06} (c.f)^{0,86 \pm 0,06} \quad (3.40)$$

Densitatea de energie conform relației (3.37) va rezulta în W/m^2 iar diametrul "d" conform relației (3.38) va rezulta în m.

Dacă diametrul spotului la contactul fascicolului cu suprafața piesei este dat de efectul interacțiunii dintre electroni pentru o instalație dată cu un sistem optic conform

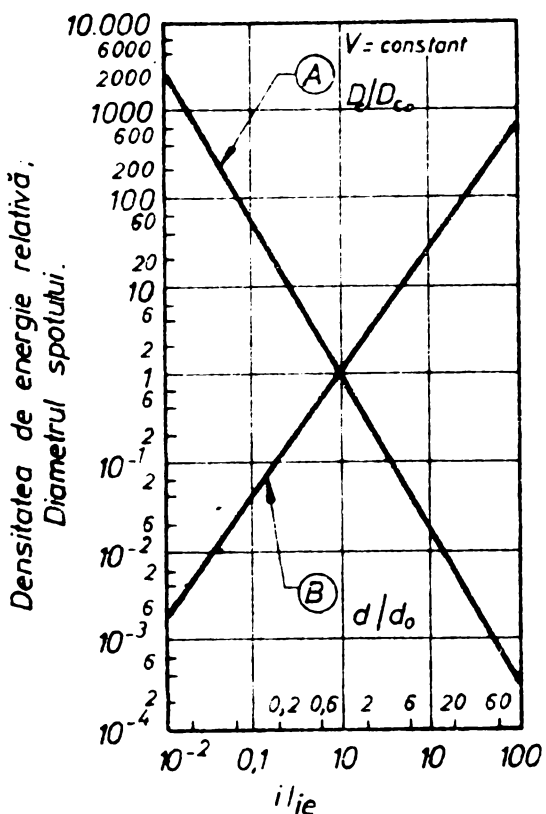


Fig. 3.9. Curbele densității de energie relativă și d/d_0 .

(fig. 3.8) atunci curbele din (fig. 3.9) reprezintă următoarele relații:

Curba A - densitatea de energie relativă D_c/D_{co} raportată la curentul relativ i/i_o cînd $V = V_o$ constant la valoarea V_o corespunzătoare curentului i_o : [57]

$$D_c/D_{co} = (i_o/i)^{1,7} \quad (3.41)$$

Curba B - proporția diametrului spotului d/d_0 raportată la proporția curentului i/i_o cînd $V = V_o$ este constant la valoarea V_o corespunzătoare lui i_o : [57]

$$d/d_0 = (i/i_o)^{1,36} \quad (3.42)$$

Conform acelorași condiții arătate mai sus se reprezintă curbele din (fig. 3.10) reprezentînd următoarele relații [18]; [22]:

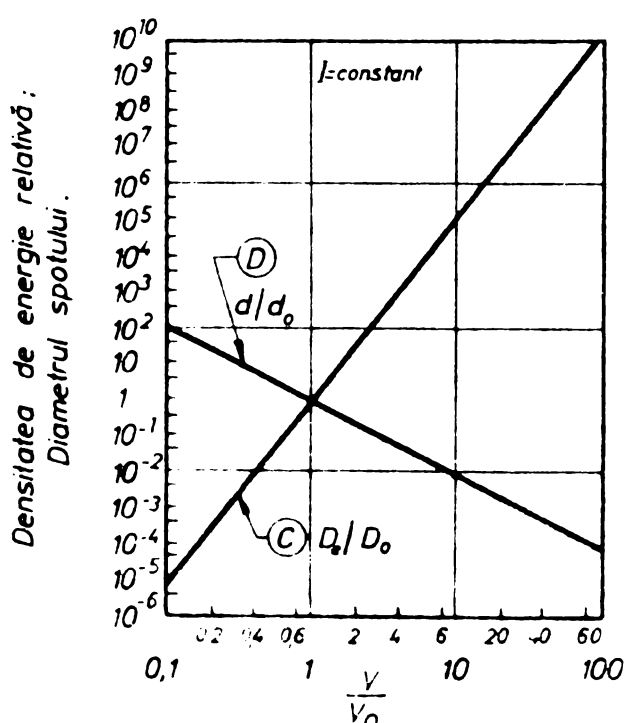


Fig. 3.10. Curbele proporției densității D/D_o și d/d_0 .

Curba C - proporția densității de energie D_c/D_{co} raportată la proporția voltajului V/V_o cînd $i = i_o$ păstrat constant la valoarea lui i_o corespunzătoare voltajului V_o :

$$D_c/D_{co} = (V/V_o)^{5,1} \quad (3.43)$$

Curba D - proporția diametrului spotului d/d_0 raportată la voltajul V/V_o cînd $i = i_o$ păstrat constant la valoarea lui i_o corespunzătoare voltajului V_o :

$$\frac{d}{d_{\infty}} = \left(\frac{v_c}{v}\right)^2,1 \quad (3.44)$$

Conform relației (3.37) curba A (fig.3.9) și curba C (fig.3.10) în condițiile limitării diametrului spotului datorită interacțiunii electronilor densitatea de energie crește cu voltajul la puterea cincă și descrește cu curentul la puterea 7/4.

Dacă de exemplu la aceeași instalație cu fascicol de electroni se păstrează constant voltajul de accelerare și se dublează curentul, se va obține o densitate de energie de 3,3 ori mai mică decât cea care s-a obținut cu datele inițiale.

In condițiile păstrării constante a curentului și dublind voltajul de accelerare se va obține o densitate de energie de 34 ori mai mare decât cea care s-a obținut cu datele inițiale. Cu toate că în ambele cazuri puterea fascicoului s-a dublat totuși densitățile de energie așa după cum s-a arătat, au avut valori diferente.

Deasemenea se menționează, că nu apar modificări ale densității de energie în regiunea limitată de efectul interac-

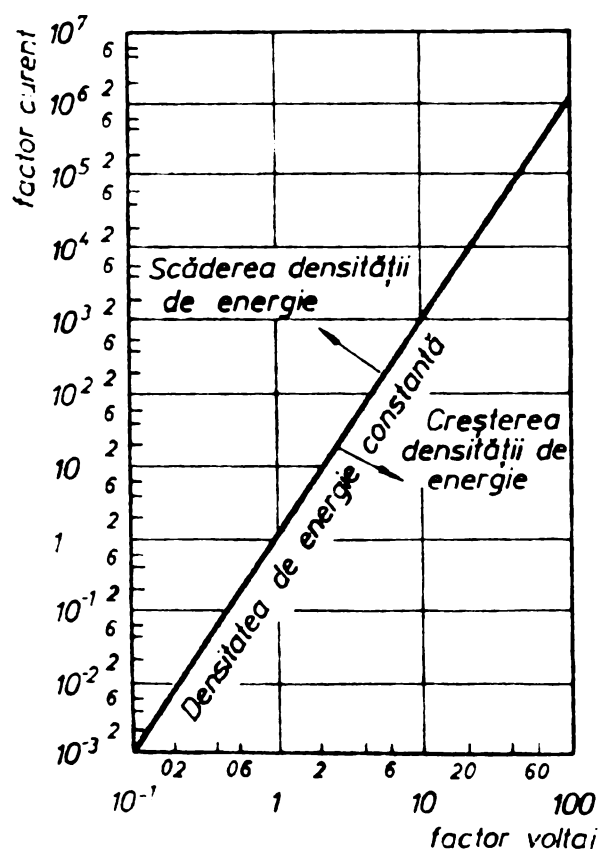


Fig.3.11. Variația lui γ_0 .

țiunii. Pentru o instalație la care puterea crește cu un factor $\gamma = \gamma_0 \varphi_0$ (unde γ_0 - factorul de creștere a curentului și φ_0 - factorul de creștere a voltajului) alegînd astfel cei doi factori ca să corespundă ecuației:

$$\gamma_0^{2\beta + 9} = \varphi_0^{2(3-\beta)} \quad (3.45)$$

Conform ordinului de mărime stabilit în (fig.3.8) unde $\beta = 1,1$, relația (3.45) conduce la:

$$\gamma_0 = \varphi_0^{3,0 \pm 0,1} \quad (3.46)$$

Această funcție reprezintă în (fig.3.11) dă un criteriu

din care se deduce că dacă într-o zonă limitată de efectul interacțiunii sarcinilor se vor produce modificări corespunzătoare unui factor $n = \gamma_n \cdot \varphi_n$, vor rezulta schimbări în valoarea densității de energie. Astfel conform (fig.3.11) se constată că dacă punctele γ_n (factorul de creștere a curentului) și φ_n (factorul de creștere a voltajului) sunt conținute de curba din (fig.3.11) atunci nu vor fi modificări ale densității de energie, dacă ele se află pe partea stângă a curbei (față de direcția de creștere) atunci va fi o descreștere a densității de energie cu toate că puterea totală poate să crească. Doar valoările lui γ_n și φ_n ce se află în partea dreaptă a curbei vor duce la o creștere a densității de energie cu un factor:

$$\varphi_n^{5,1} / \gamma_n^{1,7} \quad (3.47)$$

Desigur o creștere a densității de energie poate fi obținută chiar dacă puterea totală este păstrată neschimbată.

Factorul de creștere al densității de energie este atunci de :

$$D_1/D_{10} = \varphi_1^{6,8 \pm 0,3} \quad (3.48)$$

și în acest caz γ_1 este reciprocul lui φ_1 ; $\gamma_1 = \varphi_1^{-1}$

In (fig.3.12) și factorul de creștere al densității de energie relația (3.48) este reprezentat ca o creștere a factorului funcției voltajului (curba B), în condițiile că puterea totală este păstrată constantă și diametrul spotului este determinat de interacțiunea electronilor. Desigur currentul fascicolului va decrescă proporțional așa cum se observă în (fig.3.12 curba A), care reprezintă funcție hiperbolică [48]

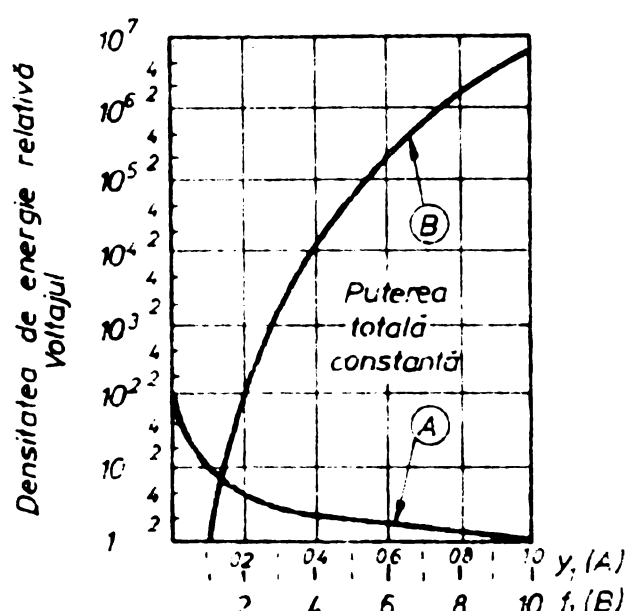


Fig.3.12. Variatia factorului de creștere al densității și al voltajului.

$$\gamma_1 \cdot \varphi_1 = 1 \quad (3.49)$$

Dacă de exemplu într-un caz unde puterea totală utilizată nu poate fi mărită, voltajul este dublat și desigur curentul se va reduce la o jumătate, densitatea de energie va crește cu un factor egal cu 114. Toate aceste valori sunt valabile dacă densitatea de energie este limitată de efectul interacțiunii electronilor.

Pentru a afla dacă în anumite condiții, densitatea de energie este limitată de interacțiunea electronilor sau de viteza termică s-a determinat următoarea expresie [22] :

$$\frac{i_c}{i_a} = \frac{KTV^{1/2} \cdot 32 \cdot \varepsilon}{(2em)^{1/2} j d^2} \left\{ 1 + \sum_{n=1}^{\infty} \left[\gamma^n \frac{n}{1} (2^\gamma - 1) \right] \right\} \quad (3.50)$$

unde:

i_c – mărimea intensității curentului limitat de efectul interacțiunii;

i_a – mărimea intensității curentului limitat de viteza termică.

Dacă într-o instalație cu fascicol de electroni în care dimensiunile spotului format de sistemul de lentile poate sau nu poate să fie limitate de aberația de sfericitate, raportul i_c/i_a din relația (3.50) (pentru orice diametru dorit "d" curent i , voltaj și caracteristicile catodului j și T) trebuie să fie mai mic decât unitatea, densitatea de energie nu este limitată de fenomenul de interacțiune atunci relația (3.14) exprimă dependența curentului și a voltajului față de densitatea de energie.

In cazul că relația (3.50) are valori mai mari ca unitate, densitatea de energie este condiționată de interacțiunea dintre electroni, iar ecuațiile arătate pentru folosirea limitării datorită efectului interacțiunii trebuie să fie folosite.

Relația (3.50) poate fi aranjată ținând seama de relația (3.26) sub forma [22]

$$\frac{i_c}{i_a} = \vartheta \frac{y}{x} \quad (3.51)$$

unde:

$$\vartheta = 32 \varepsilon KTV^{1/2} (2em)^{1/2} j \cdot d^2 \quad (3.52)$$

Prezentarea funcției $y = f(x)$ în (fig.3.8) poate fi folosită pentru simplificarea criteriului, dacă pentru orice factor de reducere :

$$x = (d^2 C \cdot f / 16)^{1/2} z^{-1} \quad (3.53)$$

Conform relației (3.28) care arată că expresia are valori mai mici ca 10^{-2} și din curba (fig.3.8) tinde să atingă pentru φ_y o valoare mai mare ca x , atunci densitatea de energie este limitată de efectul interacțiunii. Dacă φ_y este mai mic decât x , densitatea de energie este dată de limitarea vitezei termice.

Pentru a determina dacă la un voltaj de accelerare "V" și un diametru al spotului "d", curentul fascicolului este limitat de către efectul interacțiunii sarcinilor sau de limitarea efectului vitezei termice se poate scrie următoarea relație :

$$\frac{i_c}{i_a V^{1/2}} = 1,14 \cdot 10^{-9} \frac{(C \cdot f)^{2/3}}{d^{8/3}} \frac{T}{j_0} \left(\frac{dr}{z} \right)^2 (1 + \gamma + 3\gamma^2 + 15\gamma^3 + 105\gamma^4 + \dots) \quad (3.54)$$

Relația (3.54) este de fapt relația (3.50) în care s-au introdus $d_c = d_a = d$ și "d_r" al acestei funcții este dat de :

$$d_r = 2(Z - D_p) \mathcal{L} = 2 (Z + D_p) \left(\frac{2d}{C \cdot f} \right)^{1/3} \quad (3.55)$$

Ecuția (3.54) a fost calculată pentru două mașini de densitate mare de energie. Datele au fost transpusă în diagrama din (fig.3.13) pentru tăieri ("d" este dat în metri iar voltajul de accelerare în volți, reprezentându-se în același timp voltajul critic V_{cr} , funcție de diametrul spotului. Voltajul critic se definește acel voltaj "V" pentru care raportul i_c/i_a este egal cu unitatea).

Dacă se aplică un voltaj de accelerare mai mare ca " V_{cr} " și desigur mai mare decât voltajul necesar să se atragă electroni suficienți din catod, intensitatea curentului într-un

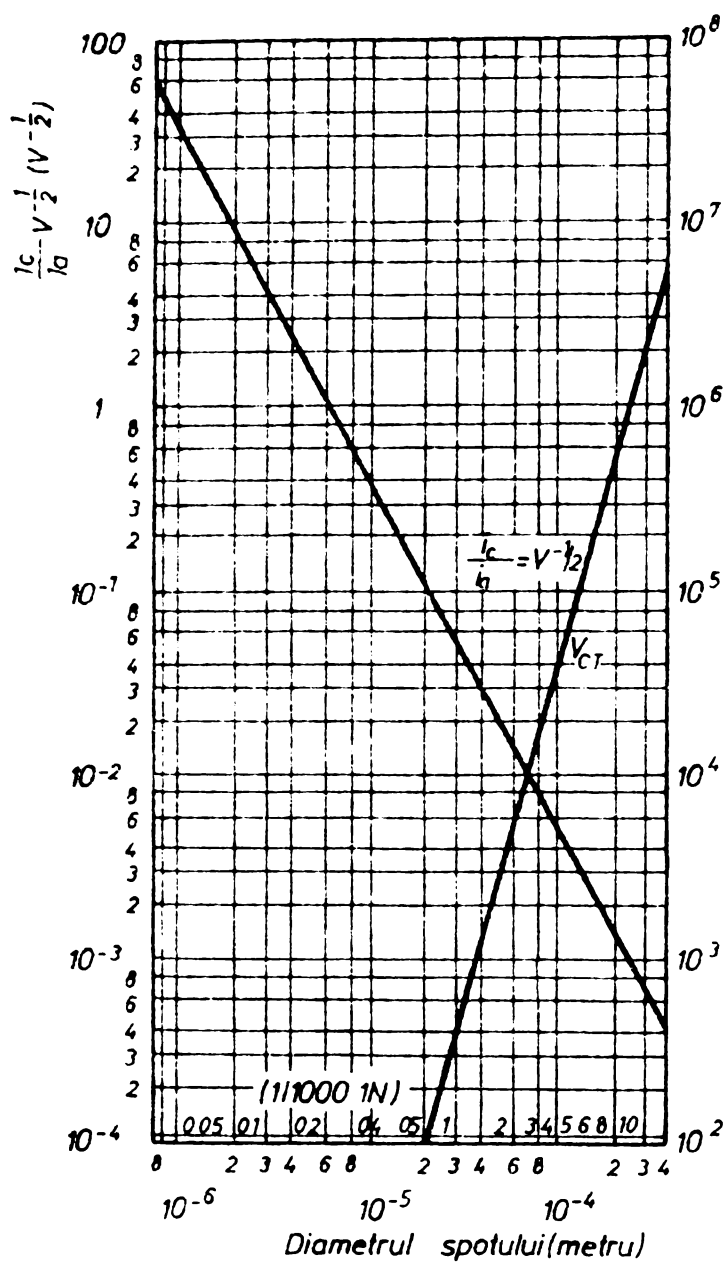


Fig.3.13. Variația diametru-lui spotului ca funcție de V_{cr} .

Diametrul spotului ca funcție a curentului fasciculu-lui "i" și voltajul de accelerare "V" poate fi ușor determinat din relația (3.54) [26]

$$d = S \left(\frac{i}{V} \right)^{3/8} \quad (3.57)$$

unde :

$$S = \left(\frac{16^{1/3} K}{\pi \epsilon_0} C^{2/3} f^{2/3} \frac{T}{j_0} \right)^{3/8} \quad (3.58)$$

Densitatea de energie va fi:

$$D = 4 \frac{iV}{\pi d^2} \quad (3.59)$$

spot dat de un diametru "d" nu este limitată de efectul interacțiunii sarcinilor.

Cu alte cuvinte instalațiile cu fascicol de electroni pot fi analizate folosind relația (3.54) care ține cont doar de efectul vitezei termice.

Valabilitatea relației (3.54) a fost stabilită experimental conform datelor din (fig.3.14) pentru o operătie de sudură cu un voltaj de acelerare $U=100000$ V. Currentul de reglare al distanței focale a fost reglat pentru a se păstra distanța focală "f" constantă.

Punctele au fost măsurate și în acord cu valorile calculate obținute prin utilizarea relației (3.54) [22]

$$i = 2,16 \cdot 10^{-2} d^{8/3} \quad (3.56)$$

unde:

"i" este măsurată în mA
iar "d" în metri.

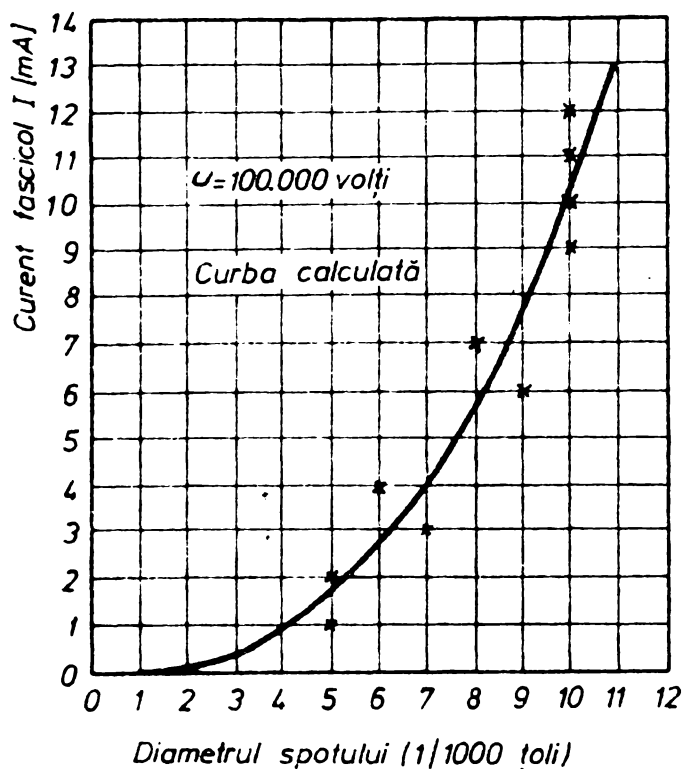


Fig.3.14. Variatia diametru-lui spotului functie de curentul de reglare si distantei focale.

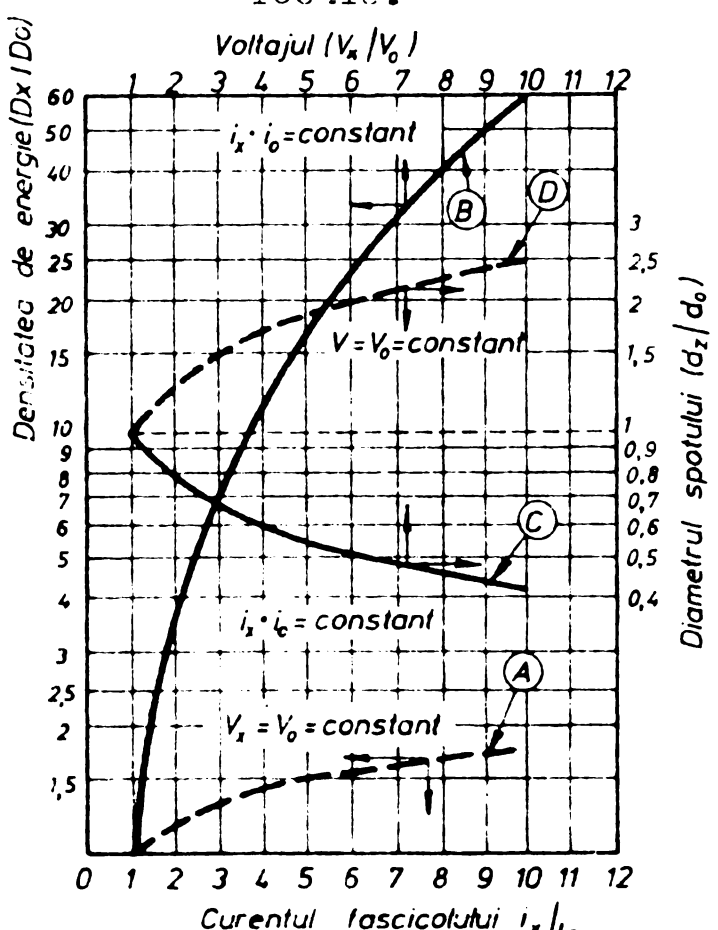


Fig.3.15. Variatia densitatii de energie.

sau cu ajutorul relatiei

(3.57) se poate scrie:

$$D = \frac{1}{\pi} \left(\frac{2}{S} \right)^2 i^{1/4} V^{7/4} \quad (3.60)$$

Expresiile (3.57) si (3.59) se transpun grafic in (fig.3.16) pentru instalatiile care folosesc tunuri electronice la prelucrari (tăieri + găuriri) pentru diferite puteri totale, fără a fi luate în considerare schimbări în optica electricnică și nici ale caracteristicilor catodului.

Graficul din (fig.3.15) reprezintă 4 curbe care ilustrează următoarele relații:

Curba A - relația densității de energie D_x / D_o raportată la relația intensității curentului i_x / i_o la un voltaj de accelerare $V = V_o$, corespunzînd unui curent i_o , constant;

Curba B - relația densității de energie D_x / D_o raportată la relația voltajului V_x / V_o pentru $i = i_o$ corespunzînd lui V_o , constant;

Curba C - relația diametrului spotului d_x / d_c raportată la relația voltajului V_x / V_o la $i = i_o$ constant;

Curba D - relația dia-

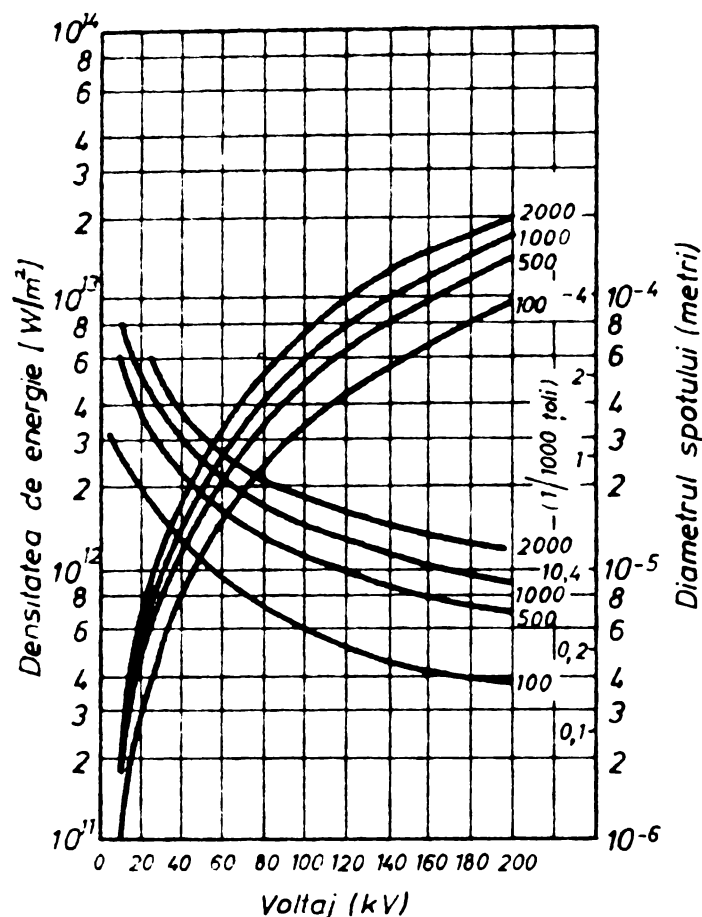


Fig.3.16. Variatia densitatii de energie si a spotului.

mativ in acelasi raport.

Toate acestea arata clar ca pentru obtinerea unor densitatii de energie mari este mai eficient sa se ridice tensiunea de accelerare.

Din relatia (3.59) se poate determina ca pentru aceeasi densitate de energie "D" se pot folosi combinari ale curentului i_1 si i_2 si a voltajului V_1 , V_2 dupa relatia:

$$\frac{i_1}{i_2} = \frac{v_2^7}{v_1^7} \quad (3.61)$$

sau pentru diferite date w_1 si w_2

$$\frac{w_1}{w_2} = \frac{v_2^6}{v_1^6} \quad (3.62)$$

portata la relatia curentului i_x/i_o pentru $V = V_o =$ constant;

Acste curbe arata in ce măsură depinde densitatea de energie mai mult de voltajul de accelerare decat de curent. Daca de exemplu voltajul de accelerare V este păstrat constant iar curentul se va dubla atunci se obtine o crestere doar de 20% a densitatii de energie, in timp ce păstrind constant curentul si dublind voltajul de accelerare se obtine o crestere a densitatii de energie de 3,4 ori. Trebuie aratat ca in același timp diametrul spotului va creste aproximativ in acelasi raport.

Relația de mai sus privind densitatea de energie funcție de efectul interacțiunii sarcinilor sau al vitezei termice prezintă rolul hotărîtor al voltajului de accelerare în obținerea unor densități mari de energie. Din punct de vedere al condițiilor tehnice fundamentale ale surselor de electroni cît și a sistemelor de focalizare, densitățile mari de energie se obțin doar cu tunuri electronice cu voltajul mare de accelerare. Conform relației (3.60) se observă că în condițiile unei densități de energie egale, curentul ar trebui să fie multiplicat cu un factor reprezentând raportul dintre volajele de accelerare, la puterea 7-a.

CAPITOLUL 4. UNELE CONSIDERATII PRIVIND ADINCIMEA DE PENETRARE.

4.1. Aspekte ale penetrării cu fascicol de electroni.

Încercările efectuate pentru a cunoaște aspecte ale penetrării în materiale în condițiile folosirii unor fascicole de electroni de densitate mare de energie, au avut ca rezultat pătrunderi la adâncimi mai mari decât în condițiile unui procedeu clasic. S-au obținut, de exemplu cu un fascicol de electroni de 150 KeV având un diametru de 0,3 mm, penetrarea unei plăci de oțel de 2,5 cm grosime în 50 de microsecunde. La aceste încercări s-a observat că după ce fascicolul a fost întrerupt, nu s-a produs o penetrare a materialului cu toate că electronii au putut fi detectați pe ambele părți ale plăcii, la energii care nu diferă aşa mult față de valoarea de la intrare. S-a găsit o modificare a structurii în zona fascicoului de electroni, iar în cazul oțelului inoxidabil a scăzut densitatea materialului pe direcția fascicoului fără a se obține orificiu.

Adâncimea de penetrare obținută este de aproape 1000 ori mai mare în cazul de mai sus, decât adâncimea maximă X_{max} , corespunzătoare spațiului parcurs de electroni la sfîrșitul căreia viteza electronilor devine zero. Conform legii lui Whiddington X_{max} se poate calcula cu [18]:

$$X_{max} = a \frac{A}{Z\rho} V^2 \quad [\mu\text{m}] \quad (4.1)$$

în care:

a - constantă

A - greutate atomică

ρ - densitatea

V - voltajul de accelerare în volți.

In cazul fierului de exemplu se obține
 $X_{max} = 3,0 \cdot 10^{-9} V^2$.

Relația între adâncimea de penetrare și potențialul de accelerare este dată în (fig.4.1). Valorile obținute din curbă multiplicate cu factorii din tabelul figurii reprezintă

penetrarea corespunzătoare în materialul respectiv.

Conform (fig.4.1) în cazul fierului se vede că electronii de 100 kV își pierd energia lor după aproximativ 30 μm .

Din această discrepanță se poate concluziona că în procesul de penetrare materialul și-a scăzut densitatea în lungul fascicolului de electroni. Acțiunea fascicolului de electroni ~ provocat în drumul parcurs, transformarea unei părți din material în vapori de joasă densitate. Cedarea energiei cinetice are loc atunci când apare impactul între electroni și material, electronii fiind stopați după ce ei au străbătut o grosime certă.

Din considerații clasice ale procesului de ciocnire, acest transfer de energie nu poate fi transmis direct rețelei atomice de masă "M" dar va fi prima dată transmis rețelei de electroni de masă "m" deoarece mărimea K de transferare a energiei, din energia inițială premergătoare ciocnirii este după M.J. Druyvesteyn și F.M. Pennigg egală cu [19]:

$$K = \frac{2 m M}{(M + m)^2} \approx \frac{2 m}{M} \quad (4.2)$$

De notat că în cazul atomilor ușori ca de exemplu la aluminiu, această mărime este doar $K = 4 \cdot 10^{-5}$, iar în cazul fierului $K = 2 \cdot 10^{-5}$, adică doar 0,002% din energia cinetică a electronilor se transmite direct rețelei. Se poate socoti totuși practic, că toată energia se va transfera electronilor rețelei, ceea ce mai mare parte a acestui transfer contribue la generarea energiei vibraționale. Din această energie electronii rețelei vor transmite o parte din energie rețelei totale. Prin mărirea amplitudinii vibrațiilor rețelei aceasta va conduce la modificarea stării termice a materialului putîndu-se atinge temperaturi foarte înalte, ajungîndu-se la temperatura de topire și chiar vaporizare. Această vaporizare permite ca penetrarea electronilor să se producă pe adîncimi mari.

Experimentările au arătat că dacă se produce o vaporizare, formîndu-se în material un canal chiar foarte mic, se poate observa creșterea adîncimii penetrării fascicolului de

electroni de densitate și energie mare. Din studiile și observațiile făcute s-a constatat că o parte din acest material, este expulzat sub acțiunea fascicolului de electroni, iar o altă parte rămîne și formează un strat marginal de o densitate mai mare a pereților poziunii penetrate.

In ce privește densitatea masei măsurate înainte și după proces confirmă de exemplu, la oțelul inoxidabil o creștere a acesteia cu aproximativ 2%.

Filmarea cu viteză mare a procesului de penetrare indică o acoperire a suprafeței cu un film de metal lichid, care se rupe la perioade precise pentru un timp scurt. Folosind măsurarea cantității evaporate, temperatura suprafeței (a filmului de metal lichid ce acoperă orificiul) temperatura la fundul orificiului a fost calculată prin ecuațea unui proces, iar evaluarea ecuației pentru experiențele făcute a condus la același ordin de mărimea temperaturii fundului.

4.1.1. Măsurarea densității masei.

Se presupune că densitatea ρ_a a zonei volumului V_a afectat de fascicol, este mai mică decât ρ_u densitatea părții de volum neafectat de fascicol. Socotind că în timpul procesului de penetrare densitatea masei de lichid și solid cuprinsă în zona din drumul fascicolului de electroni, sunt egale sau apropiat egale cu densitatea aceleiași zone neafectate deci înainte de proces, înseamnă că trebuie să existe un spațiu "gol" de volum V_e pentru fascicol.

Dacă socotim ca primă aproximatie V_e să fi un cilindru de diametru d_e și $V_a = V_u$ se poate scrie :

$$(V_u - V_e) \rho_u = V_a \rho_a \rightarrow d_e \approx d \left(1 - \frac{\rho_a}{\rho_u}\right)^{1/2} \quad (4.3)$$

Modificarea densității masei în zona afectată de fascicol este dată în tabelul 4.1 [22].

S-a constatat practic că efectul de oxidare la presiuni de 10^{-4} - 10^{-5} bar este neglijabil. Diametrul d_e calculat după regulile opticii are valoarea $1,3 \cdot 10^{-2}$ - $2,5 \cdot 10^{-2}$ cm.

Conform celor de mai sus rezultă că în procesul de penetrare electronii se comprimă de-a lungul canalului îngust

ca un gaz sub presiune. Acest lucru arată clar că nu trebuie să se considere că o parte din material a revenit în canal. Este evident că în timpul procesului se poate produce o ușoară creștere temporară a densității care să ducă la presiuni radiale și care să împingă materialul în lungul canalului format de fascicol.

Modificarea densității masei în zona afectată de fascicol [22].

Tabelul 4.1.

T	ρ_u g cm ⁻³	ρ_a g cm ⁻³	ρ_a/u	d cm	de cm
Fe	7,879	7,587	0,963	0,12	$2,3 \times 10^{-2}$
Otel inox	7,921	7,828	0,9863	0,13	$1,4 \times 10^{-2}$

4.1.2. Temperatura zonei afectate de fascicol în timpul procesului.

Acțiunea fascicoului de electroni se caracterizează printr-un proces foarte rapid ceea ce presupune că este greu de vorbit de creșteri de temperatură, dar totuși apar :

T_f - temperatura peliculei de metal, ce acoperă suprafața orificiului și care fisuriază la intervale de timp foarte scurte (mai puțin de 1/2 microsecunde).

T_b - temperatura fundului canalului.

Măsurarea temperaturii suprafeței peliculei de metal T_f este greu de realizat cu procedee clasice, dar prin determinarea cantității de vapori ce părăsește unitatea de suprafață pe unitate de timp, se poate determina valoarea temperaturii prin calcul folosind formula energiei cinetice a gazelor socotind că densitatea de vapori nu este prea mare. Numărul V de atomi ai vaporilor care părăsesc suprafață încălzită, redusă la unitate și într-un interval de timp se poate exprima [22] :

$$V = \frac{1}{4} \gamma \bar{C}_v N_v \quad (4.4)$$

în care :

\bar{C}_v - viteza termică a atomilor de vapori;

N_v - densitatea;

γ - coeficient de transmisie;

$\gamma \leq 1$ - coeficientul care ia în considerare ciocnirea vaporilor din nor. Deoarece acest coefficient este foarte aproape de unitate, se poate admite că are valoarea 1. Substituind valoarea lui C_v și N_v funcție de temperatură și presiune se obține, masa cantității evaporante pe unitate de timp și unitate de suprafață studiată.

$$R_{ev} = \left(\frac{M_v}{2 \cdot k \pi N} \right)^{1/2} \frac{P_v}{T_v^{1/2}} \quad (4.5)$$

în care :

M_v - greutatea moleculară;

k - constanta lui Boltzman;

N - nr. lui Avogadro;

P_v - presiunea vaporilor la temperatura T_v a suprafeței;

În cazurile practice pentru fier se poate scrie:

$$R_{ec} (Fe) = 5.58 \cdot 10^{-3} P_v T_v^{-1/2} \quad (4.6)$$

unde :

P_v - măsurată în bar;

T_v - măsurată în $^{\circ}$ K.

Experimentările au fost făcute pentru emisii de fasciole de electroni cu instalații Zeise și Hamilton - Standard care au aproape aceeași densitate de energie. În scopul colectării vaporilor s-a folosit sistemul din (fig.4.2) care constă dintr-o calotă sferică colectoră de vapori, care se așeză deasupra piesei. Această calotă sferică are la partea superioară practicat un orificiu de

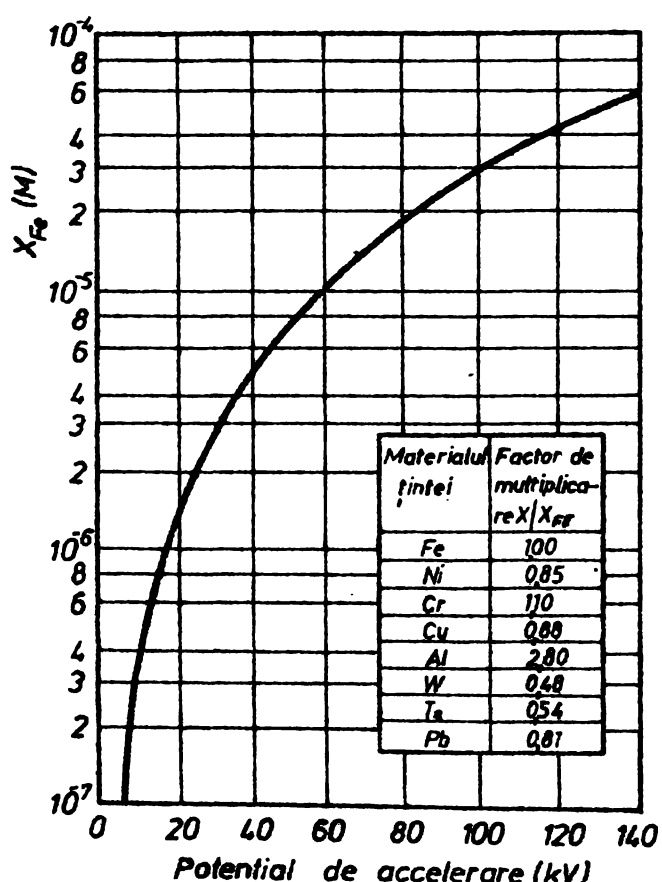


Fig.4.1. Variația adâncimii de penetrare.

dimensiuni mici care permite accesul fascicolului la piesa de prelucrat.

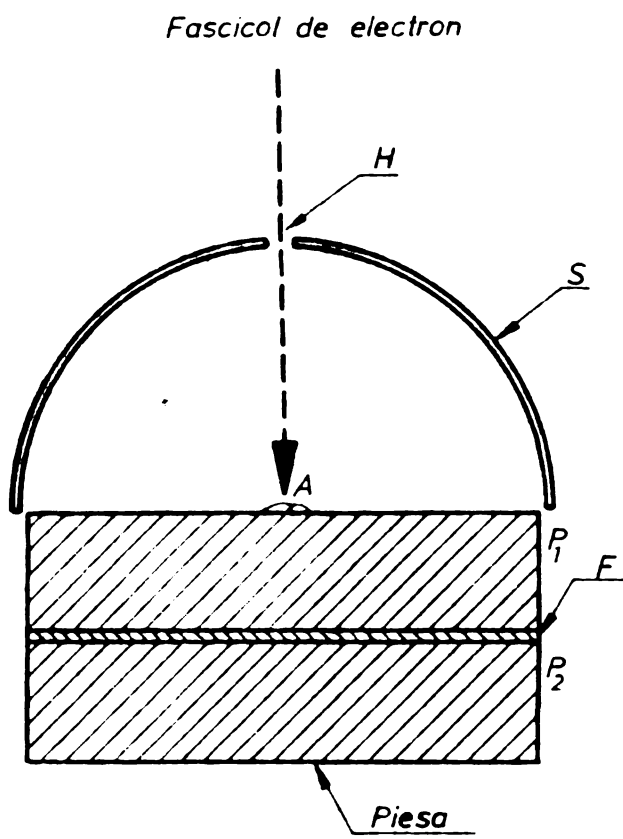


Fig.4.2. Sistem de colectare vaporii.

Experimentarea s-a făcut conform dispozitivului descris din (fig.4.2) fixându-se o foaie de cobalt de 0,5 mm grosime între 2 plăci de Fe - 99,8% puritate.

Foia de cobalt bine fixată între cele 2 plăci de fier pur, a fost supusă acțiunii fascicolului de electroni în următoarele moduri :

- penetrare incompletă 120 kV tensiune de accelerare; 10 mA intensitatea fascicolului;
- penetrare incompletă (fascicolul acționând 45 sec tensiunea de accelerare 120 kV; 8 mA intensitatea fascicolului) s-a format o cavitate mare;

c) penetrare incompletă menținându-se fascicolul pe loc 110 sec după care s-a rotit piesa în aşa fel ca spotul să genereze un cerc de 24 mm diametru, viteza de rotație fiind 21,4 mm/sec tensiunea de accelerare 120 kV și 10 mA intensitatea fascicolului.

Măsurându-se cantitatea de metal vaporizat depusă pe semisferă (excludând cantitatea corespunzătoare cavitații inițiale) s-a constatat că a fost la prima experiență mai puțin ca dublu celui colectat în experiență două cu toate că volumul acoperit de fascicolul de electroni a avut aceeași mărime în ambele experiențe și a fost de 100 ori mai mare în experiență treia decât a două. Aceasta înseamnă că materialul ocupat de volumul fascicolului în piesă rămâne și se recondensează pe pereții interiori ai canalului iar în cazul deplasării fascicolului (experiență 3) materialul se recondensează în partea

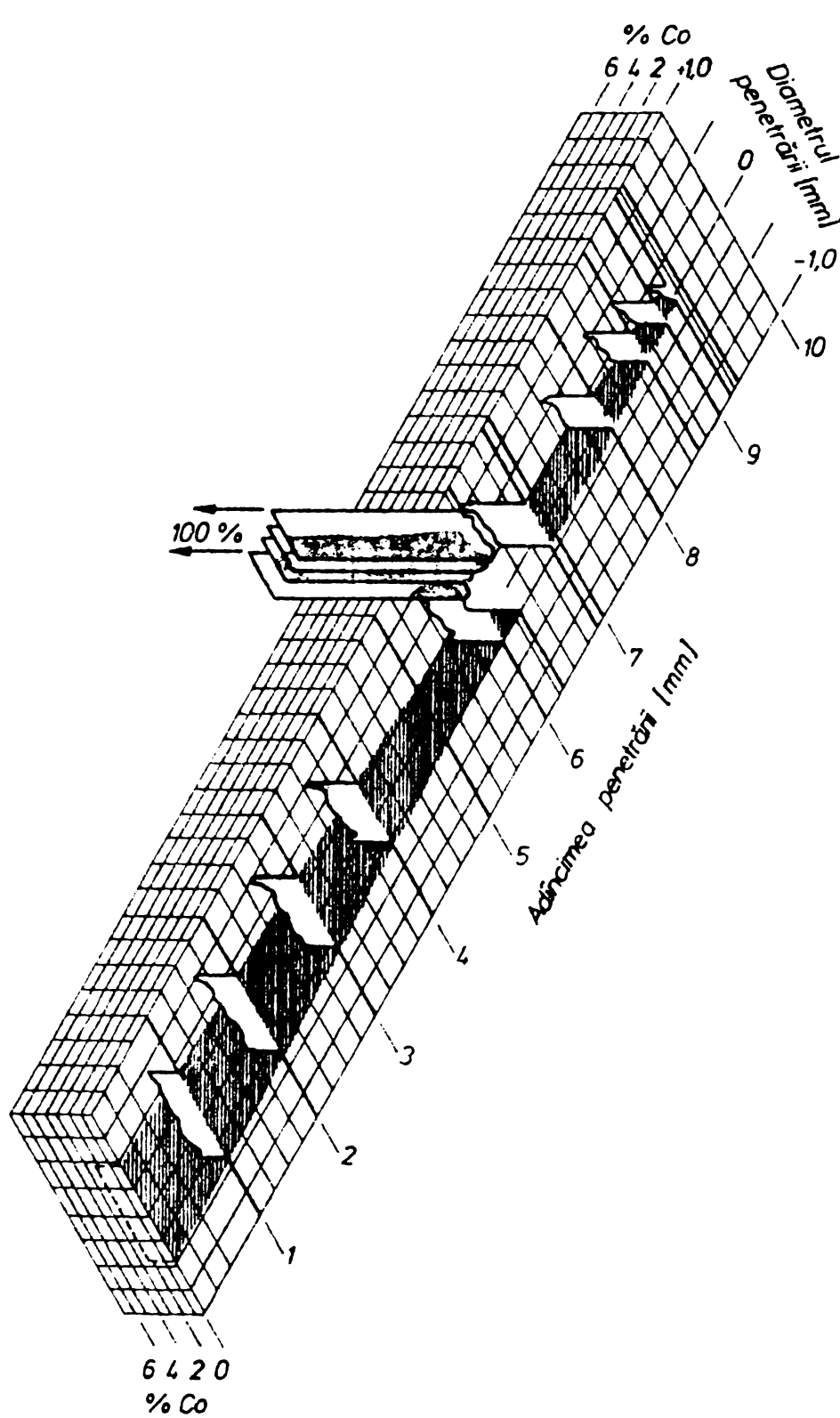


Fig.4.3. Reprezentarea tri-dimensio-
nală a penetrării cu fascicol con-
stant deplasabil cu 2,14 mm/sec.

șirului de temperaturi al suprafetei, rezultatele nu diferă foarte mult peste o mărime a șirului evaporării. Dealtfel temperaturile indicate ale suprafetei de 2700°K și 2800°K sunt destul de precise, iar această diferență de 1% între cele două

opusă mișcării
fascicoului.

Datorită tempe-
raturii de vapo-
rizare a cobaltu-
lui, s-a găsit
puțin pe emisferă
marea majoritate
de punindu-se pe
peretii orificiu-
lui.

Stratul de co-
balt depus pe pe-
reții orificiului
este arătat în
diagrama spațială
corespunzătoare
experienței 2
(fig.4.3) și res-
pectiv experiența
3 (fig.4.4).

Rezultatele ob-
ținute se prezintă
în tabelul
4.2 [22]. Tempe-
ratura a fost de-
terminată după
ordonate din
(fig.4.1).

Deoarece curba
din această figu-
ră este mai de-
grabă un pas al

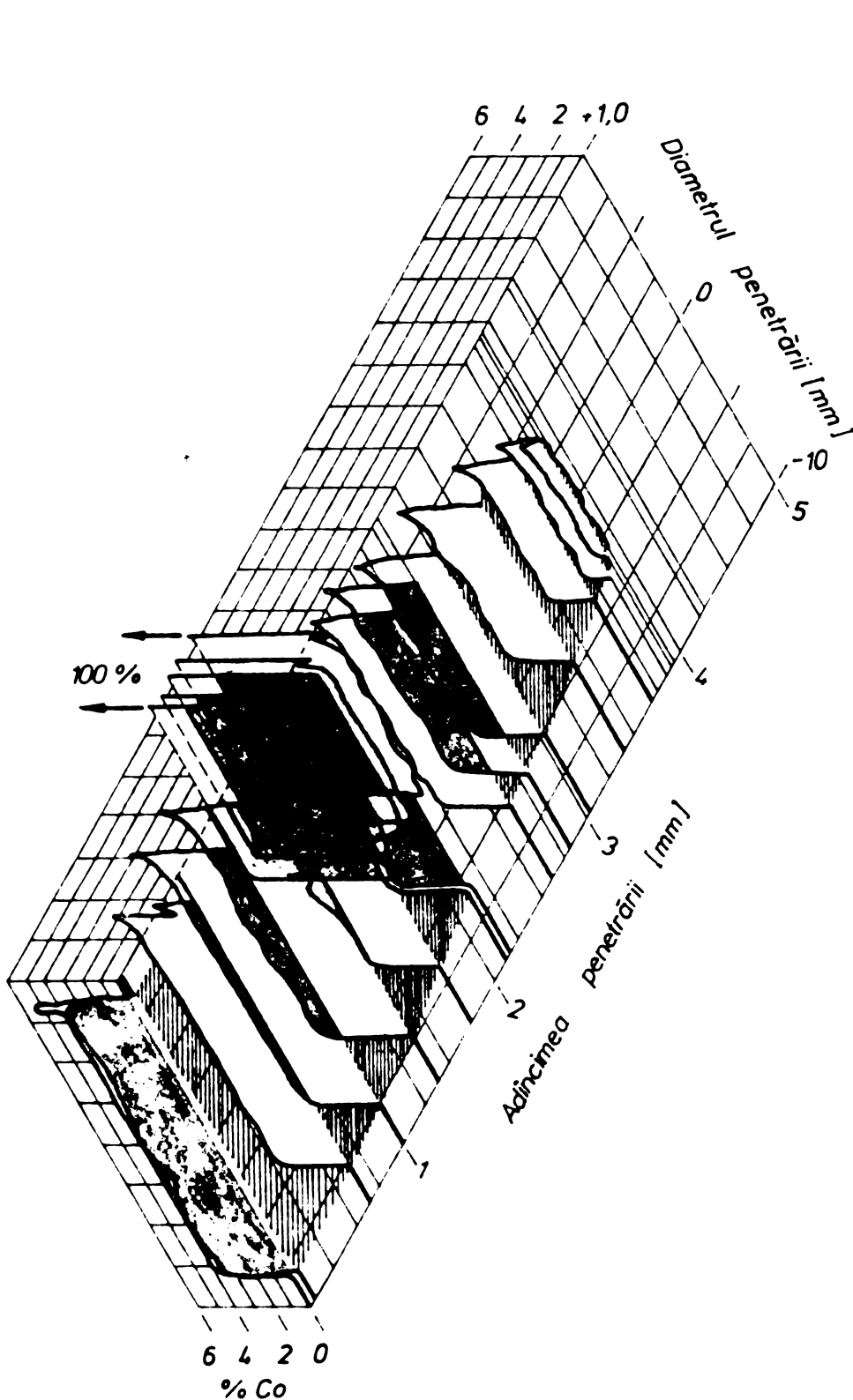


Fig.4.4. Reprezentarea tri-dimensională a penetrării cu fascicol constant.

de rupere al peliculei nu se poate vedea pe fotografii, dar el este foarte bine observat prin filmări rapide.

Datorită vitezei mari de lucru a imaginii este scăzută posibilitatea că această rupere să aibă loc între două cadre

determinări este surprin- zătoare pen- tru aceste temperaturi ridicate.

4.3.1. Tem- peratura la fundul cavi- tății T_b .

Fotografii- le făcute cu aparate de filmat de ma- re viteză (2500 cadre pe secundă) au arătat mo- mentul ruptu- rii peliculei metalice care pe o scală arbitrară aplicată fil- mului, arată că aceste rupturi s-au obținut după 72 microse- cunde, res- pectiv 220 microsecunde. Acest efect

Datele comparative ale măsurării temperaturii zonei afectate de fascicolul de electroni [20].

Tabelul 4.2.

Parametrii	U.M.	inst. Zeiss	inst. Hamilton- Standard
Curentul fascicolului	i mA	11,5	8
Voltajul de accelerare	V kV	125	120
Diametrul fascicolului	d_e cm	0,02	0,013
Diametrul zonei afectate	d_o cm	0,08	0,04
Densitatea de energie a fascicolului pe piesă	D_d Watt m^{-2}	$5 \cdot 10^{10}$	$7 \cdot 10^{10}$
Durata procesului	t sec	23,0	45,0
Cantitatea totală de vaporii condensați	G mg	58,0	44,4
Rata evaporării $R_{ev} - F_e$	g $cm^{-2} sec^{-1}$	0,5	0,79
Temperatura	T_f °K	2770	2800

În plus intervalele între două ruperi alăturate nu este egală, ele fiind de aproximativ 72 - 77 microsecunde, pentru acest caz particular.

Suprafața peliculei de material trebuie să fie foarte mică ($< 1 \mu$ deoarece mărimea penetrării electronilor este de 30μ pentru un voltaj de accelerare de 100 kV) iar măsurarea sau determinarea teoretică a grosimii se face din balanța energiei abandonate. Datorită grosimii foarte mici a peliculei se negligează energia consumată prin ciocnire între electroni, ea nejucând un rol important în balanțele energiei la procesul de penetrare cu fascicol de electroni. Se explică în parte că suprafața fundului cavității are o temperatură T_b mai mare ca temperatura suprafetei T_f datorită și faptului că energia pierdută prin ciocnirea electronilor se adaugă efectului de concentrare a undei, într-o secțiune longitudinală a fascicolului. Rupturile periodice favorizează eliberarea presiunii de vaporii

creată sub suprafața peliculei metalice formate.

Densitatea vaporilor de metal în canalul fascicolului va varia între ρ_{\min} și valoarea critică ρ_{cr} care va lărgi cel mai mult canalul. Neregularitățile vor duce la impurități în rețea și la limitarea suprafeței care conține pelicula.

Deoarece curentul de electroni de mare densitate și temperatură înaltă de ionizare a atomilor din vaporii există, va apărea efectul de focalizare a gazului în plus la ciocnirea și reflectia de pereții canalului, acestea ducind la forțarea fascicolului de electroni. Acest efect a fost cunoscut mai de mult din tubul catodic în care s-a introdus o cantitate mică de gaz inert în focalizare. Trebuie arătat că acest efect duce la o difuzie radială, care este mult mai mare ca o ionizare grea. În condiții extreme, electronii pot fi considerați ca un gaz care este forțat într-un canal îngust, iar reflectia de pereți și ciocnire sunt efecte majore, care explică acest mecanism. În cazul focalizării gazului se presupune o undă perfect uniformă în secțiunea longitudinală a fascicolului și doar ciocnirile crează neregularități orificiului.

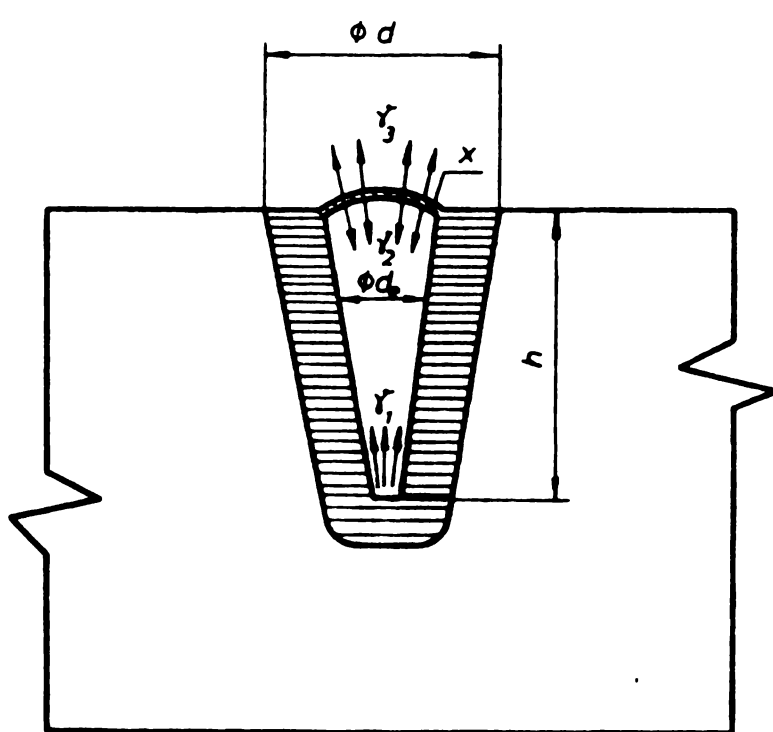


Fig.4.5. Canal cu crustă.

S-a arătat că ρ_{\min} se poate considera practic 0, iar ρ_{cr} și grosimea peliculei de metal ce acoperă canalul, notată cu X, fiind evidențiate de (fig. 4.5).

Densitatea vaporilor de metal la o valoare ρ_{cr} generează presiune critică P_{cr} care generează ruperea peliculei de metal și explozia. Înfiind condiția de echilibru

între forța generată de presiunea valorilor de metal P_{cr} și tensiunea suprafeței crustei de metal la periferia bulei se poate scrie următoarea relație:

$$P_{cr} \cdot \frac{\pi}{4} d_f^2 = \gamma \pi d_f \quad (4.7)$$

de unde:

$$P_{cr} = 4 \cdot \frac{\gamma}{d_f} \quad (4.8)$$

în care avem:

γ - coeficient de tensiune al suprafeței;

d_f - diametrul orificiului ținând seama de pelicula de lichid de pe suprafață, care trebuie să fie apropiat diametrului fascicolului de electroni ce afectează zona.

Aplicând pentru $\gamma = 1510 \text{ dyne cm}^{-1} \approx 1,5 \text{ Kg sec}^{-2}$ și socotind diametrul $d_f = 3,0 \cdot 10^{-4} \text{ m}$ (cu 15% mai mare față de diametrul fascicolului calculat din optică "d_e" rezultă $P_{cr} = 2 \cdot 10^{-4} \text{ Nm}^{-2} = 199,5 \cdot 10^{-3} \text{ bar}$ care corespunde la o densitate de vapori:

$$N_v = \frac{P_{cr}}{k T_b} = 2,7 \cdot 10^{17} \text{ cm}^{-3} \quad (4.9)$$

unde s-a luat $T_b = 5300 \text{ }^\circ\text{K}$ temperatura la fundul cavității.

Cantitatea vaporilor de masă maximă $\rho_{cr} = 2,5 \cdot 10^{-5} \text{ g.cm}^{-3}$ este aruncată ceea ce înseamnă ca pentru lungimea unui drum de 1 cm mai puțin de 1% din energia fascicolului va fi pierdută în vapori. După fiecare ruptură a crustei formate la suprafața filmului de metal se formează iarăși o crustă deoarece presiunea în interiorul canalului este mult scăzută sub valoarea critică a densității ce generează presiunea critică de vapori P_{cr} și care corespunde tensiunii superficiale a crustei. Formarea crustei va duce la un stadiu cvasi-constant al grosimii maxime uniforme, după ruptură. În momentul rupturii, mărimea netă a condensării și vaporizării devine numai decesit 0. Dacă crește grosimea crustei crește și ciocnirea în film, ceea ce duce la o creștere a vaporizării. Considerind (fig.4.5) în care s-a notat:

γ_1 - mărimea la care ajung atomii de vapori de pe fund și se condensează în film;

γ_2 - mărimea la care atomii de vapori părăsesc filmul înăuntrul canalului cu o componentă înclinată a vitezei;

γ_3 - mărimea cu care atomii vaporilor părăsesc filmul din exteriorul piesei, deoarece crusta este foarte subțire se poate considera temperatura ei uniformă la suprafața exterioară cît și la cea interioară, putîndu-se scrie $\gamma_2 = \gamma_3$, γ_3 a fost măsurată și a servit pentru determinarea temperaturii suprafeței T_f .

Căldura necesară pentru mărimea vaporizării $\gamma_2 = \gamma_3$ este dată parțial de ciocnirea electronilor cu crusta și parțial prin conductie și radiație, create pe fundul canalului unde cei mai mulți electroni ai fascicolului se disipează. Conform legii lui Whiddington la $V_0 = 100$ kV într-o folie de fier de o grosime relativă de $10000 \text{ } \mu = 1\mu$ doar 1,5% din energia totală este disipată. [18].

Pentru calculul temperaturii maxime a fundului cavitatei trebuie să se considere că în prima aproximare avem o situație de echilibru între vaporizare și condensare în crustă înainte de rupere. Aceasta este justificată de următorii factori:

a. Grosimea maximă a crustei trebuie să fie foarte mică, altfel fascicolul de electroni nu poate să asigure o penetrare adâncă și nu pot să fie detectați la o astă mică pierdere de energie după trecerea unei grosimi de 5 cm, la un material ca otelul.

b. Perioada în decursul căreia canalul este închis de crustă este mai mare ca durata penetrării.

Acești doi factori conduc la concluzia că materialul cuprins de volumul fascicolului trebuie să treacă prin 3 faze:

- evaporare din poziția originală;
- depozitare la suprafață interioară a crustei;
- reevaporarea de la suprafață exterioară a crustei.

Deoarece intervalul de timp între rupturi este mult mai mare ca durata penetrării cind fascicolul este în mișcare paralelă cu suprafața și menține impactul perpendicular, crusta va deveni groasă iar temperatura să înaltă va duce la creșterea ciocnirii electronilor. Aceasta va duce în final la creșterea vaporizării din crustă adică ea va provoca subțierea grosimii crustei pornind din nou procesul. Aceasta înseamnă în prima

aproximare un echilibru al temperaturii suprafetei care va fi atins în crustă înainte de ruptură. Ajungem astfel la un stadiu de semiechilibru cînd crusta de metal încetează să-și modifice grosimea cu timpul adică:

$$\frac{dx}{dt} = 0 \quad (4.10)$$

$$d_x = d_{x1} + d_{x2} \quad (4.11)$$

unde :

d_{x1} - funcție de temperatura fundului T_b care corespunde unei presiuni P_b ;

d_{x2} - funcție de temperatura crustei care este una și aceeași cu temperatura suprafetei T_2 care corespunde presiunii de vapori p_f . Ea este negativă deoarece conține vaporizarea de deasupra și dedesubtul ei.

$$d_{x2} = - \frac{1}{\rho_e} (\gamma_2 + \gamma_3) m_v dt. \quad (4.12)$$

ρ_e - densitatea masei de lichid și $\gamma_2 = \gamma_3$ date de numărul de atomi de vapori ce părăsesc suprafața unitară în unitatea de timp.

Din relațiile (4.5) și (4.11) se poate scrie :

$$\frac{dx}{dt} = \frac{1}{\rho_e} \left(\frac{M_v}{2 \pi k N} \right)^{1/2} \left(\alpha \frac{P_b}{T_b^{1/2}} - 2 \frac{P_f}{T_f^{1/2}} \right) \quad (4.13)$$

în care :

α - factor ce ține cont de geometria canalului care poate fi luat ca un coeficient de acomodare.

Pentru starea de echilibru avem $\frac{dx}{dt} = 0$ ceea ce duce la relația :

$$\alpha P_b T_b^{-1/2} - 2 P_f T_f^{-1/2} = 0 \quad (4.14)$$

Factorul ce ține cont de geometria canalului se poate calcula cu ajutorul legii cosinusului [20]. Această formulă

a fost obținută simplu din condițiile de echilibru. Condensarea vaporilor pe peretii cavității ca și vaporii care părăseșc acești pereti, permite expresia:

$$\mathcal{L}_o \frac{d_e^2}{h^2} \frac{P_b}{T_b^{1/2}} + bd_e \left(\frac{P_b}{T^{1/2}} + \frac{P_f}{T_f^{1/2}} \right) \int_0^h \operatorname{tg}^{-1} \frac{d_e}{x} dx - 2 \frac{P_f}{T_f^{1/2}} = 0 \quad (4.15)$$

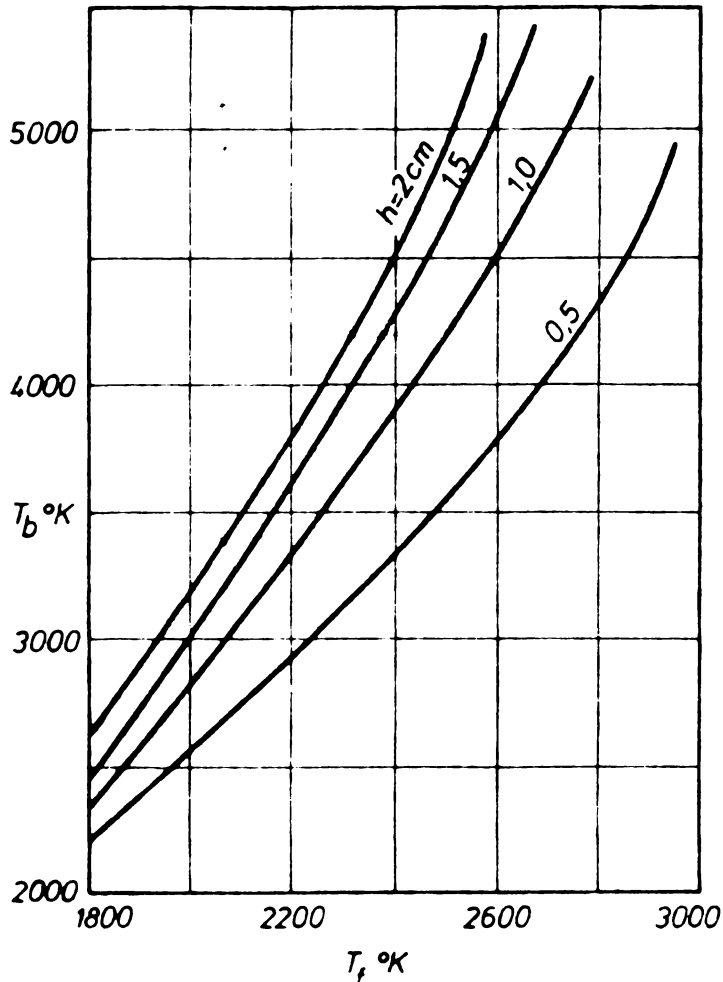


Fig.4.6. Graficul variației temperaturii fundului cavității.

Relația obținută între temperatura fundului cavității T_b și temperatura suprafetei la diferite penetrări pentru fierul pur este dată de graficul din (fig.4.6). [43].

Relația dintre presiunea vaporilor și temperatura lor este [43]

$$P = A e^{-\frac{B}{T}} \quad (4.16)$$

Rezolvarea relației (4.15) a fost făcută de către B.N.Onuf care a dat următoarea expresie diametrului materialului afectat de fascicolul de electroni [21]:

$$d_e^2 = \frac{C \frac{h^2}{d_e^2} - A}{B \frac{h^2}{d_e} \left[\frac{h}{d_e} \operatorname{tg}^{-1} \frac{d_e}{h} + \frac{1}{2} \ln \left(1 + \frac{h^2}{d_e^2} \right) \right]} \quad (4.17)$$

unde :

$$A = a \frac{P_b}{T_b^{1/2}} ; \quad B = b \left(\frac{P_b}{T_b^{1/2}} + \frac{P_f}{T_f^{1/2}} \right) ; \quad C = 2 \frac{P_f}{T_f^{1/2}}$$

h - adîncimea cavității ;

a, b - constanta funcție de calitatea materialului.

De fapt din analizarea în continuare a acțiunii se va arăta că odată cu descreșterea diametrului fascicolului adîncimea penetrării va deveni mai mică.

4.2. Energia în procesul de penetrare.

Energia electronilor, utilizată pentru încălzirea cu fascicol este destul de mică în aşa fel că pentru calcule se poate folosi sistemul clasic de interacțiune. Probabilitatea interacțiunii se stabilește cu expresia [38].

$$\tilde{f}_3 = \frac{\pi e^4}{\omega_e} \frac{d\omega}{\omega_{1-2}^2} \approx \frac{1}{\omega_e \omega_{1-2}^2} \quad (4.18)$$

unde:

ω_{1-2} - energia transmisă de electronii fascicolului, electronilor emisi de material.

Relația (4.18) reprezintă legea de bază a dispersiei și anume: probabilitatea procesului scade cu creșterea energiei fascicolului cît și cu creșterea energiei electronilor secundari. De aici rezultă că la suprafața materialului, unde viteza fascicolului este încă mare, probabilitatea transmiterii energiei electronilor materialului este mai mică, ca la sfîrșitul parcursului, iar numărul electronilor secundari, obținuți ca urmare a ciocnirii, datorită valorii mari a energiei este foarte mic. De fapt se poate spune că fiecare interacțiune a electronului fascicolului poate fi considerată neelastica și doar în cazul în care există pierderi de energie prin radiație sau este o excitație mică a atomilor atunci se poate vorbi de o interacțiune elastică.

Actualmente având în vedere complexitatea și influența reciprocă a unor procese asupra altora, o ecuație generală pentru probabilitatea interacțiunii neelastice, pentru unitatea de parcurs, nu s-a obținut analitic. Ecuatiile diferențiale care dau probabilitatea diferențelor aparții sunt funcție de

electronii fascicolului.

In acest fel fascicolul de electroni penetrind un material provoaca diferite deviatii retelei cristaline. Aceste deviatii duc la o ridicare locala a temperaturii materialului, la emisia de radiații röntgen. Ultimele două efecte scad din valoarea energiei fascicolului scăzind randamentul procesului.

Trebuie să se acorde atenție asupra rolului conductibilității electrice a pieselor ce se supun bombardamentului cu fascicole de electroni. Conform (fig.4.7) fascicolul de electroni cade asupra piesei unde el se divide. O parte a fascicolului i_p trece prin material și se scurge prin pământ iar o altă parte i_{n-k} este îndreptată către peretii camerei. Fluxul în acest al doilea caz este format din electroni secundari și electroni reflectați, iar în cazul temperaturii finale și termoelectroni.

Numărul electronilor secundari și reflectați este funcție de energia electronilor fascicolului, fapt ce s-a transpus în (fig.4.7) [43].

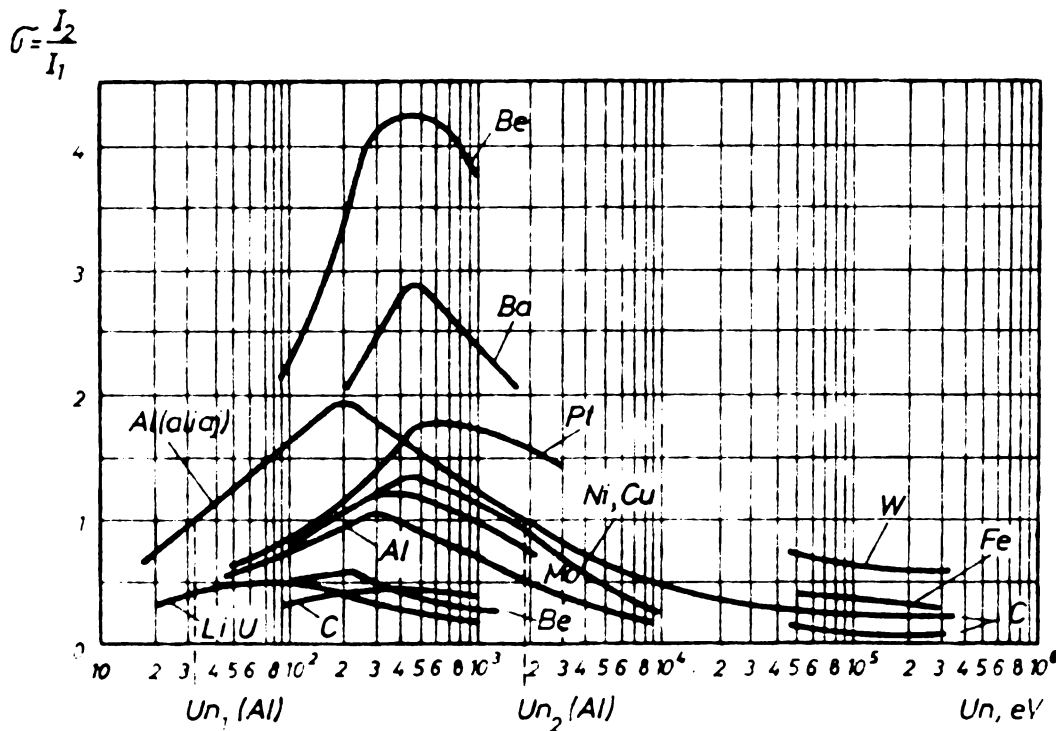


Fig.4.7. Numărul electronilor secundari și reflectați.

Prelucrarea cu fascicol de electroni are loc la diferite energii ale fascicolului. De aceea electronii se introduc destul de ușor în material și coeficientul emisiei secundare de electroni este practic mai mic ca unitatea pentru orice materia-

le. În acest fel fluxul de electroni secundari emisi de suprafața supusă prelucrării este mai mic decât fluxul de electroni din fascicol.

Energia fascicoului, la un moment dat, la atingerea suprafeței de prelucrat va fi:

$$eU_n = (U_a - i_p R_p) e \quad (4.19)$$

unde:

U_a - tensiunea anodică;

i_p - fluxul ce străbate piesa;

R_p - rezistența piesei.

Deoarece în condițiile încălzirii cu fascicol de electroni totdeauna se asigură o emisie secundară și o reflectie atunci se poate scrie:

$$i_p = I_a - i_n - k \quad (4.20)$$

În cazurile obișnuite fluxul de electroni emis de la suprafața piesei către peretei camerei este format de electroni secundari.

$$i_p = I_s - I_2 = I_s (1 - \tilde{\sigma}) \quad (4.21)$$

unde:

$\tilde{\sigma} = \frac{I_2}{I_1}$ - coeficient al emisiei secundare.

Combinând relațiile (4.19) și (4.20) se obține:

$$U_n = U_a - I_s R_p (1 - \tilde{\sigma}) \quad (4.22)$$

Voltajul (U_n) conform relației (4.22) care practic determină energia electronilor diferă de voltajul de accelerare al tunului electronic (U_a).

Apar două cazuri:

- materiale $R_p \approx 0$ în acest caz $U_n \approx U_a$ și nu se face mare greșală dacă se scrie:

$$P_f = I_e \cdot U_a \quad (4.23)$$

$$- dielectrice \quad R_p \gg \frac{U_a}{I_e} \quad (4.24)$$

$$1 - \tilde{\sigma} = \frac{U_a}{I_e \cdot R_p} - \frac{U_n}{I_e \cdot R_p} \quad (4.25)$$

Având în vedere ca $U_n \ll U_a$ se poate spune că se stabilește un asemenea regim la care $\tilde{\sigma} = 1$.

Conform (fig.4.7) pentru fiecare material pe curba $\tilde{\sigma} = f(U_n)$ sunt două asemenea puncte. Deoarece doar unul din punctele unde $\tilde{\sigma} = 1$ asigură stabilirea regimului (unde viteza electronilor fascicolului este mare) atunci la încălzirea materialelor dielectrice sau a obiectelor izolate de pămînt, puterea fascicolului de electroni la contactul cu suprafața piesei trebuie să fie socotită [37] :

$$P_{OB} = I_e \cdot U_{n2} \quad (4.26)$$

unde:

U_{n2} - diferența de potențial corespunzătoare punctului $\tilde{\sigma} = 1$ la viteza mare a electronilor fascicolului.

Impărțirea potențialelor în interiorul camerei la prelucrarea materialelor dielectrice sau a pieselor izolate față de sol se face după cum urmează:

a. Suprafața dielectricului se încarcă negativ față de peretii pămîntați ai camerei și mesei pe care se fixează dielectricul. Diferența de potențial dintre catodul emițător și suprafața dielectricului este U_{n2} .

b. Între suprafețele piesei și peretii camerei apare o diferență de potențial $U_a - U_{n2}$ iar cîmpul format accelerează electronii care părăsesc suprafața piesei și se îndreaptă către peretii camerei.

Puterea fascicolului dată de emițătorul de electroni va fi:

$$P_f = P_{OB} + P_p = I_e U_{n2} + I_e (U_a - U_{n2}) \quad (4.27)$$

unde:

P_p - puterea transmisă peretilor camerei.

Pentru cunoașterea procesului de încălzire prin bombardarea cu fascicol de electroni este absolut necesar să se cunoască cum se descompune energia emisă de tunul electronic.

Descompunerea energiei fascicolului de electroni se

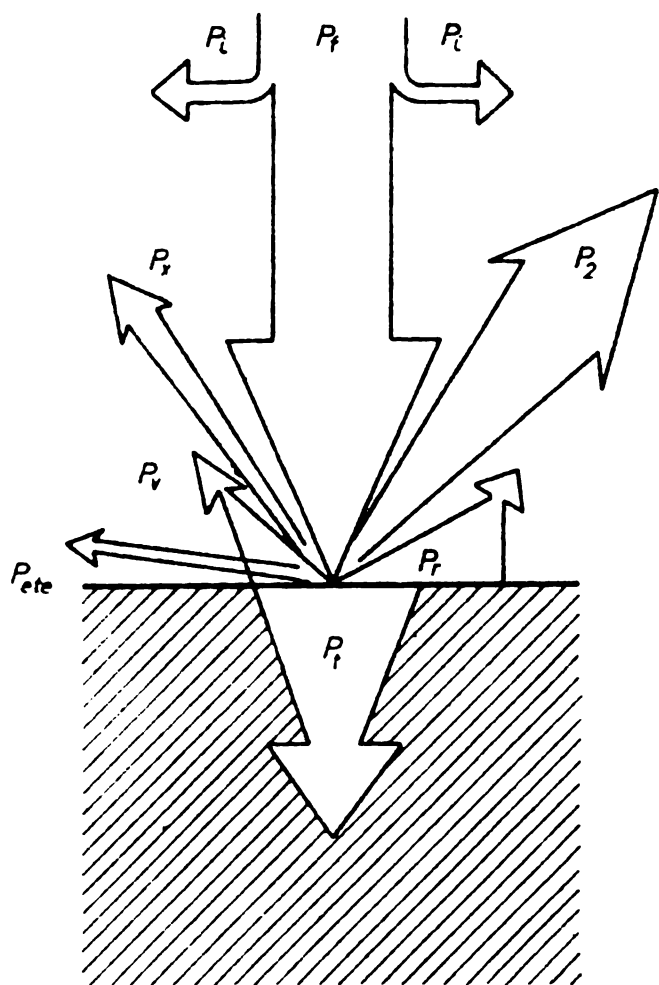


Fig.4.8. Descompunerea energiei fascicolului.

suprafeței de prelucrat.

P_t - puterea electronilor ce pătrunde în material.

La acțiunea fascicolului de electroni asupra suprafeței materialului se mărește numărul de electroni din material și cea mai mare parte a energiei fascicolului se transformă în căldură. Propagarea se face conform conductibilității materialului, apărînd o reacție și o vaporizare a electronilor atomilor și moleculelor.

Modul de calcul al pierderii căldurii și metodele de lucru în condițiile încălzirii în vacuum sunt cunoscute. În unele cazuri procesele tehnologice cer mărirea evacuării căldurii. Astfel la o topire a unui fragment crește artificial eva- cuarea de căldură din blocul obținut pe baza calculului răcirii cu apă a creuzetului.

In afară de răspîndirea căldurii în material mai are

face conform (fig.4.8)

unde s-a notat:

P_f - puterea electronilor fascicolului;

P_i - puterea electronilor ce ionizează atmosfera și vaporii din camera de lucru;

P_x - puterea electronilor ce emit radiații röntgen;

P_2 - puterea electronilor din emisia secundară și a celor reflectați;

P_v - puterea electronilor ce provoacă vaporizarea materialului;

P_{ete} - puterea electronilor ce provoacă emisie termo-electrică;

P_r - puterea electronilor ce provoacă răspîndirea de părți ale

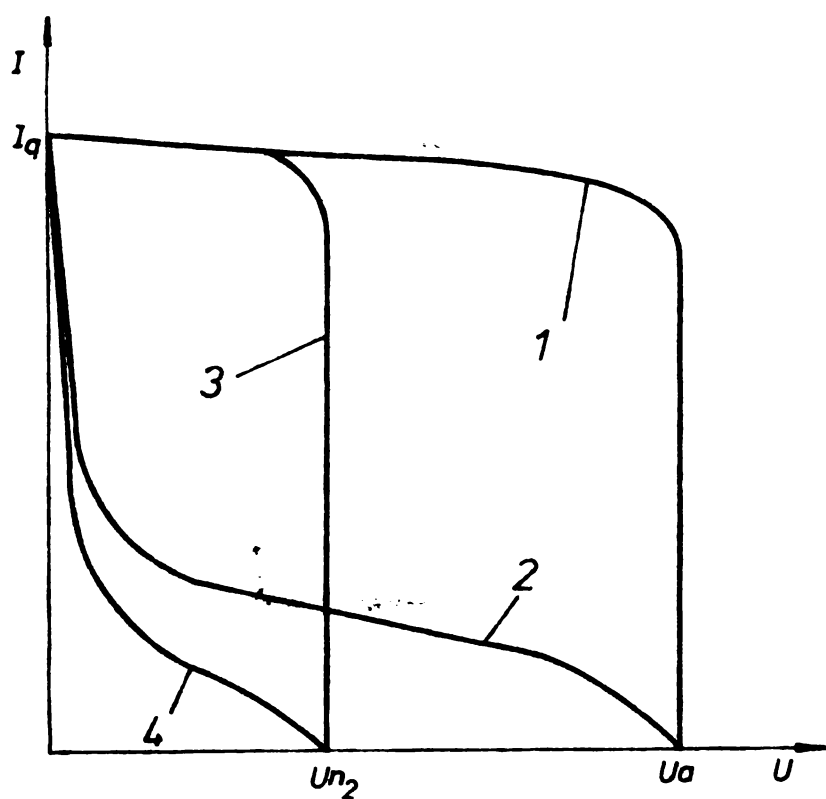


Fig.4.9. Acțiunea fascicolului asupra suprafeței de prelucrat.

zentată sub formă unei suprafețe limitată de curba 1 conform (fig.4.9) [45].

Suprafața cuprinsă sub curba 2 determină pierderile de putere cu emisie secundară și reflectia electronilor conform relației [45]:

$$P_2 = \int_0^{U_n} I_2(U_2) dU_2 = I_n U_n \sigma \int_0^1 \frac{I_2}{I_2 \text{ max.}} d\left(\frac{U_2}{U_n}\right) \quad (4.28)$$

unde: $I_2(U_2)$ - fluxul electronilor secundari și reflectați; U_2 - potențialul ce determină energia electronilor secundari.

În căldură trece, adică apare folositoare puterea determinată de suprafața cuprinsă între curbele 1 și 2.

Urmărind aceea că potențialul suprafeței neconducătoare de curent se deosebește de potențialul anodic al tunului se stabilește un balans prin analogie al puterii și s-a transpus pe figură prin curbele 3 și 4.

De remarcat că puterea conținută de fascicol după

loc o emisie röntgen a electronilor secundari reflectați din zona contactului fascicoului cu piese. Energia consumată de fascicul pentru emisie röntgen atinge valori de ordinul a cîtorva zecimi de procent din puterea totală a fasciculu lui.

Grafic mărimea puterii fascicoului la acțiunea sa asupra suprafeței de prelucrat poate fi repre-

părișirea tunului electronic este proporțională cu suprafața delimitată de curba 1.

Urmare a acțiunii fascicolului asupra suprafeței o parte din puterea proporțională cu suprafața cuprinsă între curbele 1 și 3 se transmite pereților camerei de către electronii secundari accelerati în cîmpul electric format între suprafața de prelucrat și pereții camerei. Mărimea ei P_p se calculează conform relației (4.27). Relația (4.28) determină valoarea maximă a pierderilor de energie datorită emisiei de particole de către suprafața prelucrată. Condiția indispensabilă acesteia este ca toate particolele emise de suprafața piesei (electroni secundari și reflectați) să vînă în contact cu pereții camerei, ceea ce se poate doar în cazul cînd pereții sunt de potențial pozitiv sau cu potențial nul față de piesă. Din această cauză pentru o eficiență a procesului de încălzire cu fascicol de electroni are importanță construcția și schema legării instalației.

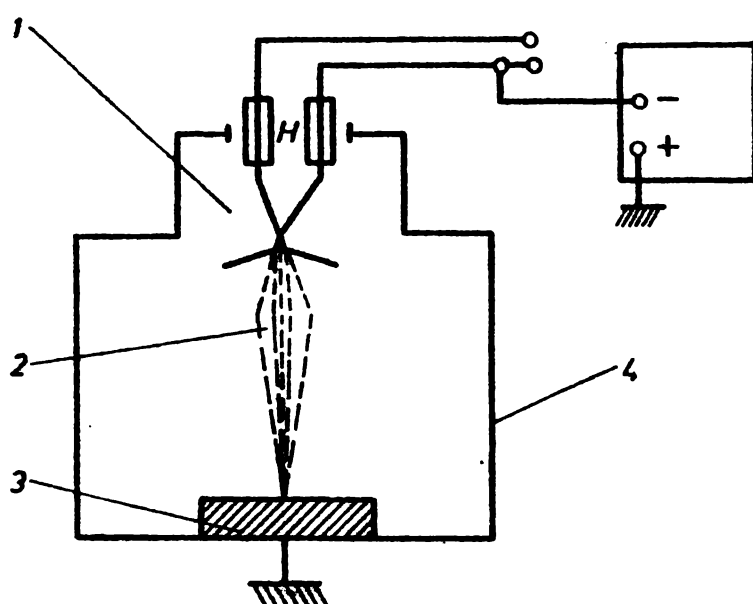


Fig.4.10. Sistem cu piesă anodică.

Tipuri de scheme de instalații care folosesc fascicole de electroni sunt redate în (fig.4.10, 4.12).

In cazul fig.4.10 și 4.11, ca anod apare chiar piesă de prelucrat, iar în fig.4.12 datorită diafragmei anodice, lipsește cîmpul electric din camera de lucru ceea ce face să nu existe obstacole în emisia secundară și reflectia

electronilor pe pereții camerei. In acest ultim caz relația (4.28) este valabilă în totalitate. Pe acest principiu sunt construite marea majoritate a instalațiilor de sudat și topit metale și pentru alte procese.

Dacă piesa de prelucrat este anod atunci electronii emiți de suprafața prelucrată cad într-un cîmp ce îi retine și

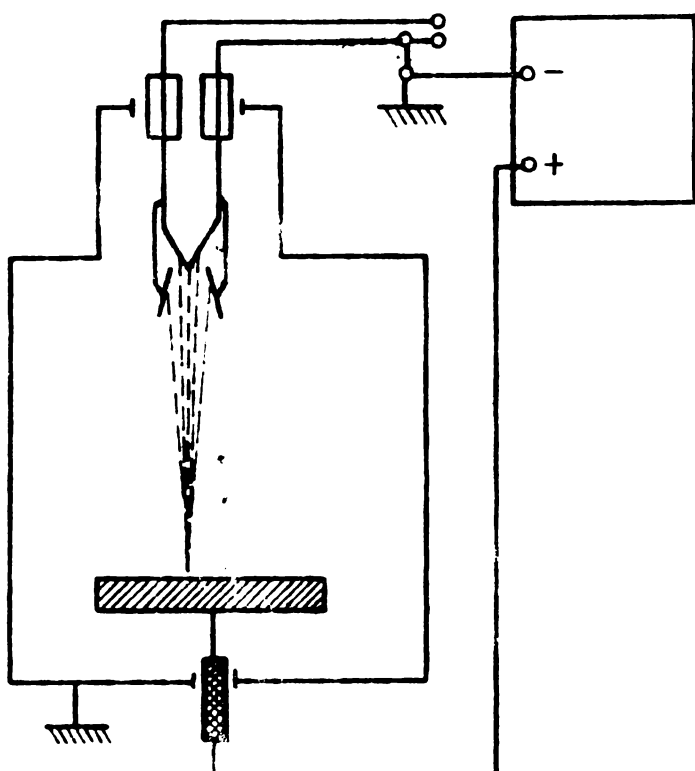


Fig.4.11. Sistem cu piesa anodică izolată față de camera de lucru.

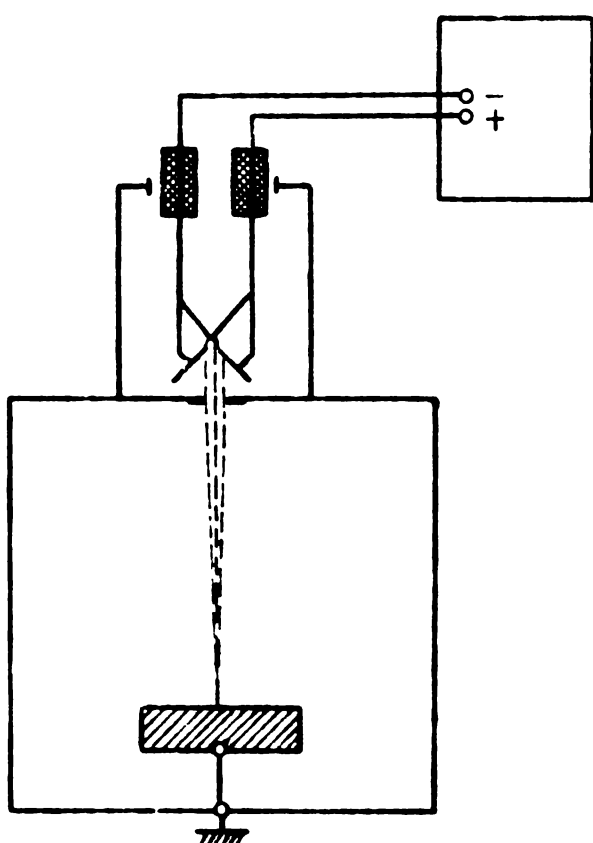


Fig.4.12. Sistem cu piesa legată electric de camera de lucru.

partial conform (fig.4.10) sau în totalitate (fig. 4.11) se întorc la piesa de prelucrat.

In cazul construcți-iei conform (fig.4.12) pierderile prin emisie secundară și reflectia electronilor nu există.

In construcțiile unde sunt pământate și produsele apărînd ca anod, și peretii camerei, o parte din electronii reflec-tați, cei mai rapizi, pără-sesc suprafața de prelu-crat. De sigur pierderile prin emisie secundară ce se exprimă cu relația (4.28) sunt mici dar totuși există. Conform schemelor din (fig. 4.10) și (4.11) s-au construit utilaje pentru topirea meta-lelor cu catod circular, instalații pentru topiri zonale.

De remarcat este faptul că la utilizarea unei instalații conform (fig.4.12) nu se poate asigura încălzirea și prelucrarea materialelor dielectrice, deoarece supus unui bombardament cu electroni face ca suprafața lui să se încarce cu sarcină negativă ajungînd la un moment dat ca potențialul piesei să devină egal cu potențialul fasciculu-lui.

Balansul energetic se modifică dacă suprafața de prelucrat nu este dreaptă, deoarece în acest caz se modifică condițiile emisiei secundare și a electronilor reflectați în vacuum.

In cazul în care fascicolul cade sub un unghiu față de normală atunci emisia secundară crește.

Trebuie neapărat avut în vedere diferența în absorbția energiei de către metale la anumite procese tehnologice în funcție de inclinarea fascicoului.

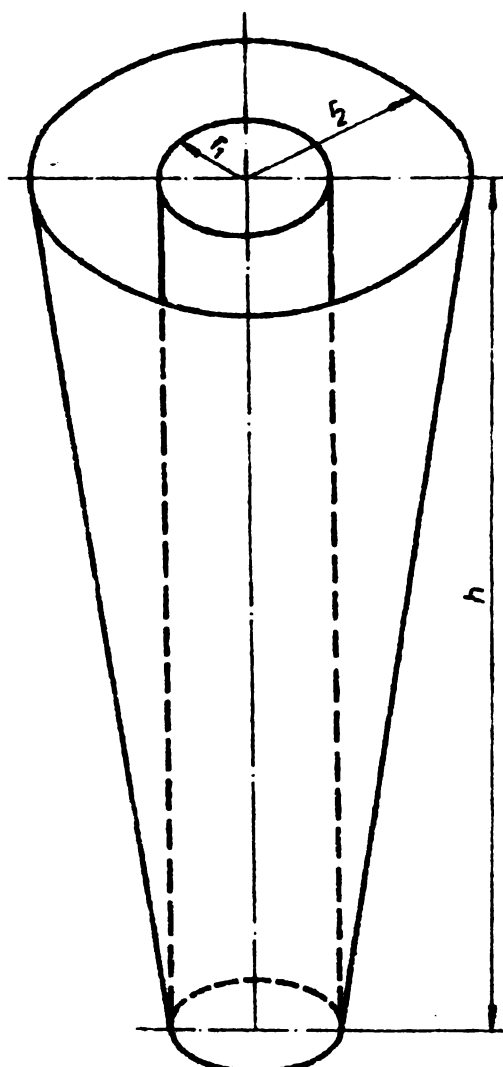


Fig.4.13. Orificiu penetrat de electroni.

prafăță este constant;

- lungimea drumului liber al electronilor este mai mare ca adâncimea orificiului;
- distribuția unghiulară a emisiei secundare și a electronilor reflectați se supune legii cosinusului;
- pereții orificiului absorb în totalitate electronii

Un alt necesar de energie apare în cazul că fascicolul lucrează în adâncimea piesei. Ieșind în vacuum electronii reflectați se depun pe laturile orificiului încălzindu-le suplimentar.

Orificiul pe care îl provoacă un fascicol de electroni are forma unui trunchi de con conform (fig. 4.13).

Raza intrării orificiului " r_2 " este totdeauna mai mare ca raza " r_1 " a fascicoului. Pentru orificiul cilindric $r_1 = r_2$.

Calculul energiei necesare emisiei secundare și a electronilor reflectați, la nivelul inferior trunchiului de con, acolo unde cade fascicolul de electroni, ținând cont de suprafața laterală a orificiului se face impunînd următoarele condiții:

- fluxul de electroni pe su-

ce îi ating.

Pentru a calcula trebuie să se rezolve problema fluxului luminos a cercului de rază "r₁" și a cercului de rază "r₂" care se află la distanță h de primul, situație analizată de Sapoșnicov [39].

Puterea fluxului emisiei secundare și a electronilor reflectați ce trec printr-un crater al orificiului va fi [39].

$$P_{2 \text{ r}_1 - r_2} = \frac{\pi}{2} p_2 \left[r_1^2 + r_2^2 + h^2 - \sqrt{(r_1^2 + r_2^2 + h^2)^2 - 4 r_1^2 r_2^2} \right] \quad (4.29)$$

Pe peretii craterului acționează o parte a puterii.

$$P_{2p} = \frac{\pi}{2} r_1^2 p_2 - \frac{\pi}{2} p_2 \left[r_1^2 + r_2^2 + h^2 - \sqrt{(r_1^2 + r_2^2 + h^2)^2 - 4 r_1^2 r_2^2} \right] \quad (4.30)$$

unde:

$p_2 = \frac{P_2}{\pi r_1^2}$ densitatea energiei consumată de electronii secundari și cei reflectați că urmare a bombardamentului fascicolului.

Valorile coeficienților de corecție a densității electronilor emisiei secundare, pt. raza orificiului de ieșire și adîn- Tabelul 4.3.

n_r	n_h						
	0	1	2	3	5	7	10
1	p_2	$0,38p_2$	$0,18p_2$	$0,1p_2$	$0,05p_2$	-	-
2	p_2	$0,75p_2$	$0,47p_2$	$0,275p_2$	$0,15p_2$	$0,75p_2$	-
3	p_2	$0,875p_2$	$0,65p_2$	$0,45p_2$	$0,275p_2$	$0,155p_2$	$0,085p_2$
5	p_2	$0,965p_2$	$0,86p_2$	$0,72p_2$	$0,455p_2$	$0,32p_2$	$0,15p_2$
7	p_2	$0,975p_2$	$0,925p_2$	$0,83p_2$	$0,65p_2$	$0,425p_2$	$0,35p_2$
10	p_2	p_2	$0,98p_2$	$0,92p_2$	$0,8p_2$	$0,67p_2$	$0,49p_2$

Calculele conform relației (4.29) s-au rezolvat și trecut în tabelul 4.3 ținând cont de raza orificiului de ieșire și adâncimea orificiului luată ca funcție a razei fascico-

lui r_1 :

$$r_2 = n_1 r_1 \text{ și } h = n_h r_1 \quad (4.31)$$

Calculele s-au făcut pentru valori ale lui n_r și n_h de la 1 la 10.

Valorile coeficienților de corecție a razei orificiului și adâncimii de penetrare funcție de emisie secundară și depunerile pe peretii orificiului.

Tabelul 4.4.

n_r	n_h						
	0	1	2	3	5	7	10
1	0	0,67p ₂	0,67p ₂	0,9p ₂	0,95p ₂	p ₂	p ₂
2	0	0,25p ₂	0,53p ₂	0,725p ₂	0,85p ₂	0,925p ₂	p ₂
3	0	0,125p ₂	0,35p ₂	0,55p ₂	0,725p ₂	0,845p ₂	0,915p ₂
5	0	0,025p ₂	0,14p ₂	0,28p ₂	0,545p ₂	0,68p ₂	0,85p ₂
7	0	0,015p ₂	0,075p ₂	0,16p ₂	0,35p ₂	0,575p ₂	0,65p ₂
10	0	0	0,02p ₂	0,08p ₂	0,2p ₂	0,33p ₂	0,56p ₂

Răzolvarea relației (4.30) prin care s-au calculat valorile energiei consumate cu emisie secundară și de electroni reflectați care se detină din peretii orificiului s-a efectuat pentru diferiți parametrii datele fiind trecute în tabelul 4.4 [39].

În (fig.4.14) sunt date curbele $P_{\text{emisie}} - E$, reprezentând dependența între energia electronilor din emisie secundară și căd pe peretii camerei de lucru raportul $n_h = \frac{h}{r_1}$ caracteristic orificiului [39].

Dependența între energia ce cade pe peretii orificiului și raportul $n_h = \frac{h}{r_1}$ caracteristic orificiului este reprezentată în (fig.4.15) [39].

În sfârșit de pierderile de energie calculice laterită închisării cu fascicul de electroni funcție de viteză electronilor într-o instalație deondură, mai apoi pierderi de energie funcție de caracteristicile instalației, se poate veni în primul rînd de pierderile audite din emisie. La multe

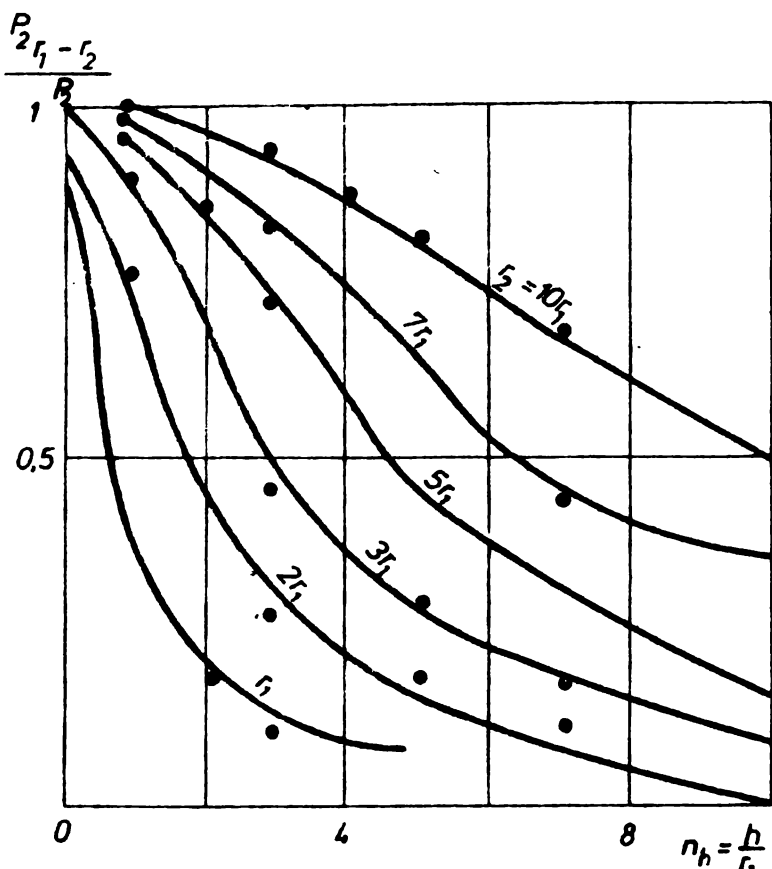


Fig.4.14. Variația lui $P_{2r_1 \rightarrow r_2}$.

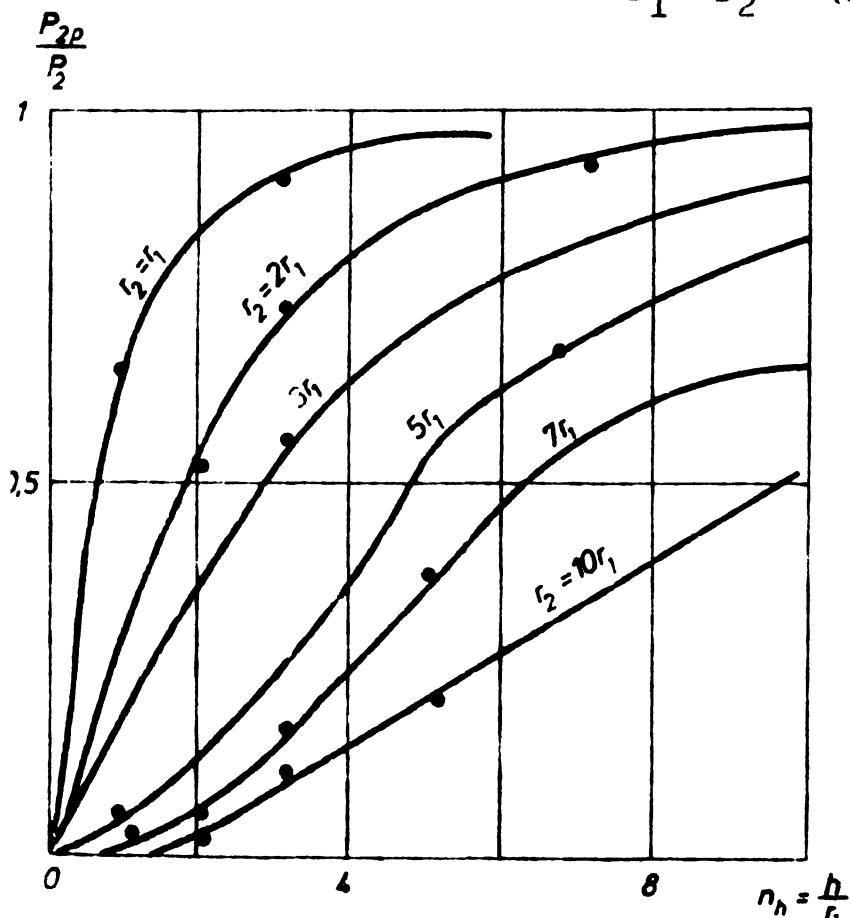


Fig.4.15. Variația P_{2p} .

In condițiile constructive ale tunului cu o diafragmă anodică ce obțurează partea periferică a fascicolului, mări-

instalații emițătorul de electroni se construiește ca un tun care emite un fascicol foarte mic de electroni. Acest fascicol trece în camera de lucru prin diafragma anodică în plus la unele instalații se asigură un vacuum mai mare în camera emițătorului decât în camera de lucru.

In aceste condiții pe marginea diafragmei ajung o parte din electronii fascicolului provocînd o încălzire. Puterea cheltuită pentru încălzirea anodului poate fi exprimată:

$$P_a = I_a \cdot U_a \quad (4.32)$$

unde:

I_a - intensitatea curentului care bombardează diafragma;

U_a - tensiunea anodică a emițătorului.

Valoarea P_a depinde de constructia și perfectiunea execuției și calculului emițătorului reprezentînd cîteva procente din puterea totală.

mea P_a formează o parte importantă a puterii fascicolului dar trebuie arătat, că puterea acestor emițătoare nu depășesc cîțiva zecimi de watt.

La calculul bilanțului energetic al instalației, valoarea P_a contează în primul rînd pentru alegerea materialului și a construcției sistemului de răcire al diafragmei anodice, întrucît această putere care se degajă într-o zonă limitată poate supraîncălzi sau chiar topi anodul emițătorului.

Cu perfecționarea sistemelor electrono-optice și cu mărimea puterii instalațiilor, valoarea relativă a acestui component al puterii fascicolului se micșorează.

O parte importantă a puterii consumate de la sursa de alimentare se pierde pentru accelerarea ionilor ce se formează în camera de lucru și pătrund în spațiul anod-catod al emițătorului. Întrucît în emițător se menține un vacuum mai înalt decât în camera de lucru, formarea ionilor în acest loc este puțin probabilă. În același timp, ionii pozitivi formați în cameră se adună în zona de trecere a fascicolului care are un potențial negativ. Sub influența cîmpului electric ce străbate diafragma anodică în camera de lucru, ei derivă în interiorul emițătorului, se acceleră în cîmpul electric anod-catod bombardind catodul și electrodul de focalizare de lîngă catod, apărind o încălzire și în final o distrugere a acestor ioni. Astfel trecerea ionului prin diafragma anodică în spațiul dintre electrozii emițătorului, provoacă o cheltuială de energie a sursei alimentare la curentul ionic de intensitate I_i , pentru accelerarea tuturor acestor ioni se consumă puterea.

$$P_{ui} = I_i U_a \quad (4.33)$$

In instalațiile cu tunuri cu emisie electronică această parte a puterii în condițiile evaporării intense a substanței nu depășește cîteva procente din puterea totală a fascicolului și depinde în mare măsură de construcția sistemului de legătură prin care fascicolul electronic ajunge din emițător în camera de lucru și de gradul de rarefiere din cameră de lucru.

In instalațiile executate după schemele conform figurilor (4.10) și (4.11) accelerarea ionilor se face în cuțotul altă condiții. Aici, orice ion ce se formează în drumul fascicolului electronic se întreaptă spre anod, absorbind energia de la sursa de alimentare.

Energia ionului ce lovește catodul depinde de repartitia cîmpului în interiorul camerei de la locul formării lui. Pierderile pentru accelerarea ionilor în spațiul dintre electrozi emițătorului nu pot fi determinate cu aparatelor obișnuite cu care sunt dotate, instalațiile cu radiație electronică. Aceste pierderi se pot determina doar prin calcul considerind gradul de ionizare al vaporilor de metal în cameră și fracțiunile acestor ioni care pătrund în emițător. Totuși și această determinare este mai curînd calitativă decît cantitativă.

Randamentul instalațiilor cu radiație electronică este dat de raportul dintre puterea razei care se formează în căldură și puterea totală consumată de emițător de la sursa de alimentare [35].

$$\eta = \frac{P_T}{I_e U_a} \quad (4.34)$$

unde:

I_e - curentul de emisie al catodului tunului.

Considerind toate fenomenele de mai sus se poate scrie:

$$\eta = \frac{P_t + P_r + P_V + P_{et} + P_{top}}{P_a + P_{ui} + P_i + P_x + P_2 + P_t + P_r + P_V + P_{et} + P_{top}} \quad (4.35)$$

unde:

P_{top} - puterea consumată pentru topirea metalului.

Trebuie menționat că aici nu sunt considerate pierderile pentru încălzirea catodului, dar ele trebuie considerate la determinarea randamentului instalației în ansamblu.

Cea mai importantă pierdere de energie o reprezintă consumul pentru respingerea și pentru emisiunea secundară de electroni nu numai ca mărime (comparativ cu alte tipuri de pierdere) ci și pentru că pierderile pentru ionizare și accelerarea ionilor în spațiul anod-catod (P_i și P_{ui}), precum și

pierderile pe seama căderii fascicolului pe diafragma anodică (P_a) se pot micșora prin alegerea rațională a construcției instalației.

Valoarea P_2 este determinată doar de compozitia și proprietățile fizice ale materialului prelucrat. De aceea rădamentul limită la încălzirea electronică se determină cu o precizie de 2-5% din relația (4.32).

Fascicolul de electroni pătrunde direct în interiorul materialului la distanța "fδ", iar după atingerea acestei adâncimi numită adâncime de difuzie, difuzează în toate direcțiile [40].

Adâncimea de difuzie se determină pentru $Z > 6$ cu relația :

$$\frac{f\delta}{f} = \frac{40}{7 \cdot Z} \quad (4.36)$$

iar la $Z \leq 6$ se admite egală cu unitatea.

In cazul că adâncimea de difuzie este mai mică decât "f" partea electronilor ce revin spre suprafață și ies în vacuum, formind fluxul de electroni reflectați se determină conform coeficientului de reflecție:

$$r = \frac{7Z - 80}{14Z - 80} \quad (4.37)$$

Valorile lui "r" determină cu relația (4.37) concordă bine cu datele experimentale la $Z \geq 14$.

Degajarea de căldură pe drumul de propagare al electronilor se determină cu ajutorul teoriei difuziei lui Bethe [46] :

$$\frac{dw_e}{dx} = \frac{2\pi N_o Z e^3}{A U_n} \ln \left(\frac{2e U_n}{U_i} \right) \quad (4.38)$$

unde:

N_o - numărul lui Avogadro;

A - greutatea atomică a moleculelor materiei;

x - lungimea drumului parcurs de electron.

Parcursul electronilor se determină cu ajutorul legii Thomson - Widdington [18]

$$K_T x = U_n^2 - U_x^2 \quad (4.39)$$

$$K_T = \frac{b \gamma Z}{A} \quad (4.40)$$

U_x - potențialul care determină energia electronului în punctul x.

b - parametrul care caracterizează materialul prelucrat, diferă puțin la diferite substanțe și se admite ușual.

$$b = 7,75 \cdot 10^{11} \frac{eV^2 \cdot cm^2}{g} \quad (4.41)$$

Adâncimea de pătrundere "f", unde energia electronului devine practic nulă este:

$$f = \frac{U_n^2}{K_T} \quad (4.42)$$

In (fig.4.16) este redată schema pătrunderii unui fascicol îngust în materialul prelucrat. Volumul în care se produce dispersia căldurii are forma unei sfere de rază "f" cu centrul dispus la adâncimea $f - f\delta$.

Partea din sferă care iese deasupra suprafetei materiei corespunde puterii luate de electronii reflectați.

Raza electronică îngustă care poartă curentul I, interacționează suprafața în punctul A. In punctul x de coordonate "r₁" și "Z₁", unde parcursul total al electronului este egal cu x, densitatea de volum a energiei dP, degajată de elementul de fascicol care ajunge aici se determină cu relația [35]:

$$dP = dj \frac{dU}{dx} \quad (4.43)$$

unde:

dj - densitatea de curent creată în punctul x de fascicolul cu curentul I_f .

Intrucît considerăm că electronii difuzează din

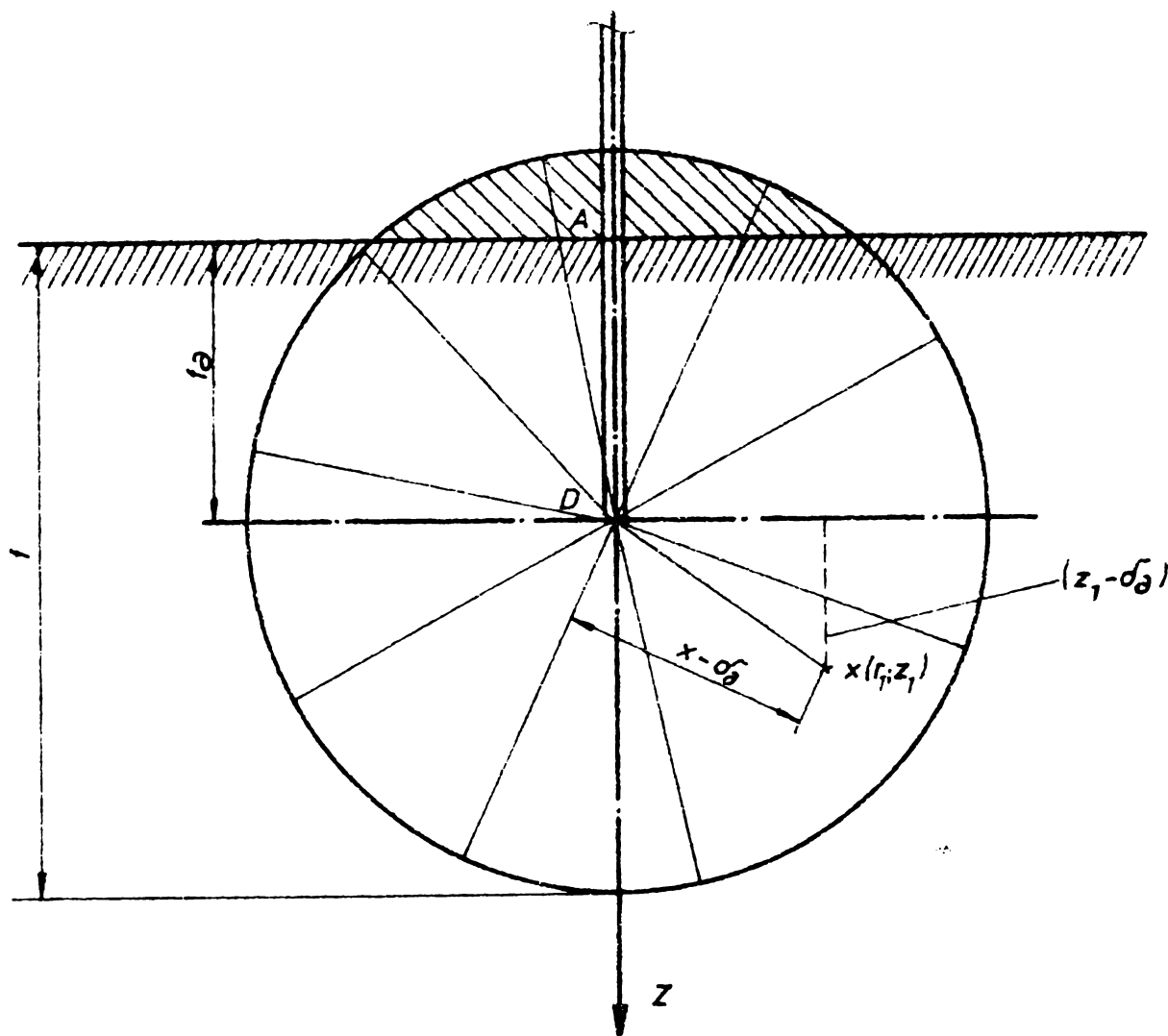


Fig. 4.16. Schema pătrunderii unui fascicol în materialul de prelucrat.

punctul D se exprimă densitatea de curent :

$$d_j = \frac{dI_f}{4\pi(x-f\partial)^2} \quad (4.44)$$

Tinând cont de cele de mai sus se poate da o nouă expresie ecuației (4.43) .

$$dp = \frac{K_T}{8\pi(x-f\partial)^2} \frac{dI_f}{\sqrt{U_n^2 - K_T x}} \quad (4.45)$$

Dacă fascicolul este distribuit, pentru a obține puterea specifică degajată în punctul x de întreg fascicolul, trebuie să se integreze toate elementele dI, care se află în

limitele atingerii de către electroni a acestui punct.

Deoarece fascicolul de electroni are pe acțiune o distribuție Gauss a curentului se poate scrie [58]

$$J = \frac{I_f}{1,44 \pi a^2} \exp\left(-\frac{r^2}{1,44 \cdot a^2}\right) \quad (4.46)$$

unde :

I_f - curentul total în fascicol;

a - raza fascicolului la jumătatea maximului de curent.

Elementul de curent al razei dI_f în relația (4.45) se determină ca "JdS" - element de suprafață al secțiunii fascicolului.

Zona secțiunii fascicolului aflată la limitele "accesibilității" pentru electroni în punctul "x" este limitată într-un cerc pe suprafață cu centrul în punctul cu coordinatele $(r_1, 0)$ și raza

$$\left[(r - r_d)^2 - (z_1 - r_d)^2 \right]^{1/2} \quad (4.47)$$

Până acum s-a considerat că $z_1 > r_d$, dacă însă $z_1 < r_d$ aceasta înseamnă că punctul x se află între suprafață și adâncimea de difuzie ce duce la o sporire suplimentară a densității energiei degajate în elementul "x" datorită fascicolului care trece prin el. Această creștere a lui " dP_i " depinde doar de densitatea curentului razei incidente $r = r_1$ de axa ei. Înlocuind dj cu J în relația (4.43) și făcând schimbările necesare se obține :

$$dP_i = \frac{I_f}{1,44 \pi a^2} \exp\left(-\frac{r_1^2}{1,44 \cdot a^2}\right) \frac{K_T}{2(U_n^2 - K_T x)^{1/2}} \quad (4.48)$$

Stadiul diferitelor procese tehnologice executate cu fascicol de electroni ne permite să concluzionăm că propagarea căldurii în materie se supune unor legi diferite la diferite energii specifice în fascicol.

Astfel dacă $P_f < 10 \text{ kW/cm}^2$ atunci propagarea căldurii în materie se supune cu mare precizie legilor termoconductibilității. La rezolvarea problemei trebuie totuși considerate în

condiția limită legile degajării căldurii în materia care influențează asupra formei izotermelor în zona cea mai apropiată de locul căderii fascicolului pe material.

La energii specifice de $P_f > 10 \text{ kW/cm}^2$ asupra distribuției căldurii în interiorul materiei își manifestă influența eforturile mecanice care acționează pe suprafața materiei în locul căderii fascicolului.

In primul rînd, presiunea căderii atomilor ce se evaporează pe suprafața încălzită, presiunea fascicolului de electroni pe suprafață. Ca exemplu poate servi fenomenul de penetrare a cordonului de sudură datorită topirii anormal de adânci.

Totuși în prezent nu există o imagine destul de precisă a propagării căldurii în materie, considerind acțiunea mecanică asupra băii de material topit cît și comportarea acestei topituri în condițiile de mai sus.

Pentru calculul propagării căldurii, în materialul supus bombardamentului cu fascicol de electroni, prin termoconductibilitatea, cu considerarea legii degajării energiei în materie este elaborată o metodă pentru diferite regimuri de lucru ale fascicolului și diferite procese tehnologice [41];[42]. Totuși în aceste metode nu se iau în considerare variațiile stării de fază și în general variațiile proprietăților termofizice ale substanței cu variația temperaturii.

4.2.1. Încălzirea staționară cu fascicol de electroni.

Distribuția staționară a temperaturii "t" în substanță ca rezultat al acțiunii fascicolului se supune ecuației lui Poisson [42].

In coordonatele cilindrice aceasta are forma [42]:

$$\frac{\partial^2 t}{\partial r^2} + \frac{1}{r} \cdot \frac{\partial t}{\partial r} + \frac{\partial^2 t}{\partial z^2} = - \frac{p(r \cdot z)}{8 \lambda} \quad (4.49)$$

iar în coordonate sferice va fi :

$$\frac{1}{r^2} \frac{\partial}{\partial r} \left(r^2 \frac{\partial t}{\partial r} \right) = \begin{cases} - \frac{p(r)}{8 \lambda} & \text{la } r < \sigma \\ 0 & \text{la } r > \sigma \end{cases} \quad (4.50)$$

unde :

λ - termoconductibilitatea materialelor;
 $p(r, Z)$ sau $p(r)$ - puterea specifică.

Acste calcule s-au făcut considerind pătrunderea profundă a fascicolului și distribuția corespunzătoare a energiei pe adâncime. Pentru ușurința interpretării se stabilește temperatura [42] :

$$\bar{t} = \frac{t}{t_0} \quad (4.51)$$

unde :

t_0 - temperatura în centrul spotului dacă se admite că distribuția puterii în fascicol este de tip Gauss și toată energia se degajă pe suprafața materialului (așa numitul model de încălzire). Problema a fost rezolvată și s-a obținut [47] :

$$t_0 = \frac{0,99 P_f}{a \sqrt{\pi \cdot \lambda}} \quad (4.52)$$

La rezolvarea problemei încălzirea suprafeței materiei s-a folosit condiția fluxului termic nul. La încălzirea în interiorul materiei, se rezolvă metoda cunoscând analitică pentru sursa punctiformă dispusă în originea coordonatelor.

Trebuie considerat că electronii reflectați ies în vacuum micșorind puterea totală a fascicolului. De aceea în loc de P_f în expresia (4.52) trebuie introdusă aceea parte a puterii fascicolului care trece direct în căldură și anume :

$$P_T = P_f - P_2 \quad (4.53)$$

Calculele se fac cu ajutorul calculatoarelor electronice pentru trei parametri variabili K_T , U_n , r_f ultimii doi fiind interdependent, putind fi reduși la o singură variabilă dacă se calculează în unități relative

$$\frac{f_0}{2 r_f} = \frac{f_0}{d_f} \quad (4.54)$$

Astfel ca variabile se aleg K_T și $\frac{U^2}{K_T d_f}$ ultimul parametru fiind adâncimea relativă de pătrundere d_f a electronilor $\frac{f_0}{d_f}$.

După rezultatele calculului s-a obținut curba de

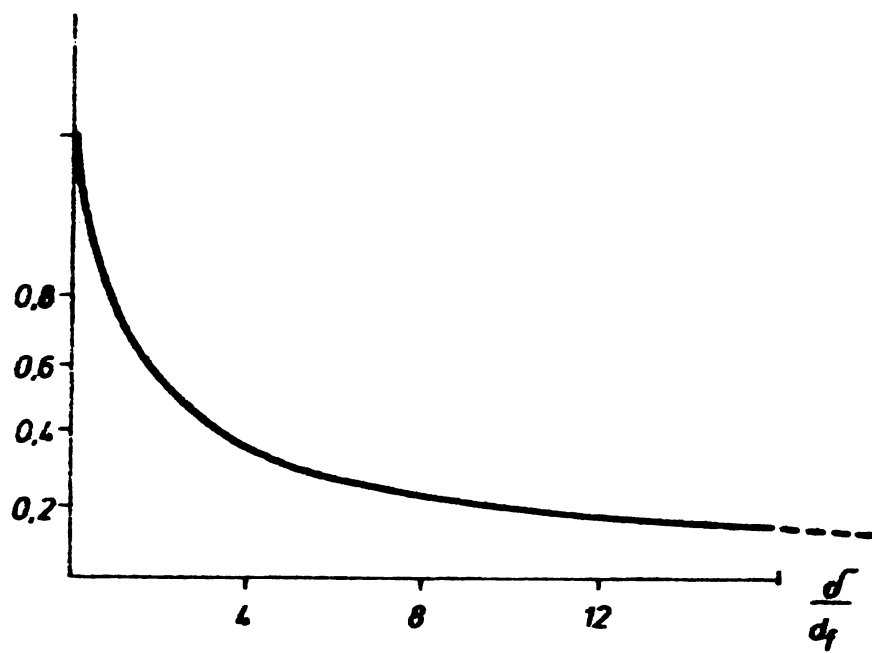
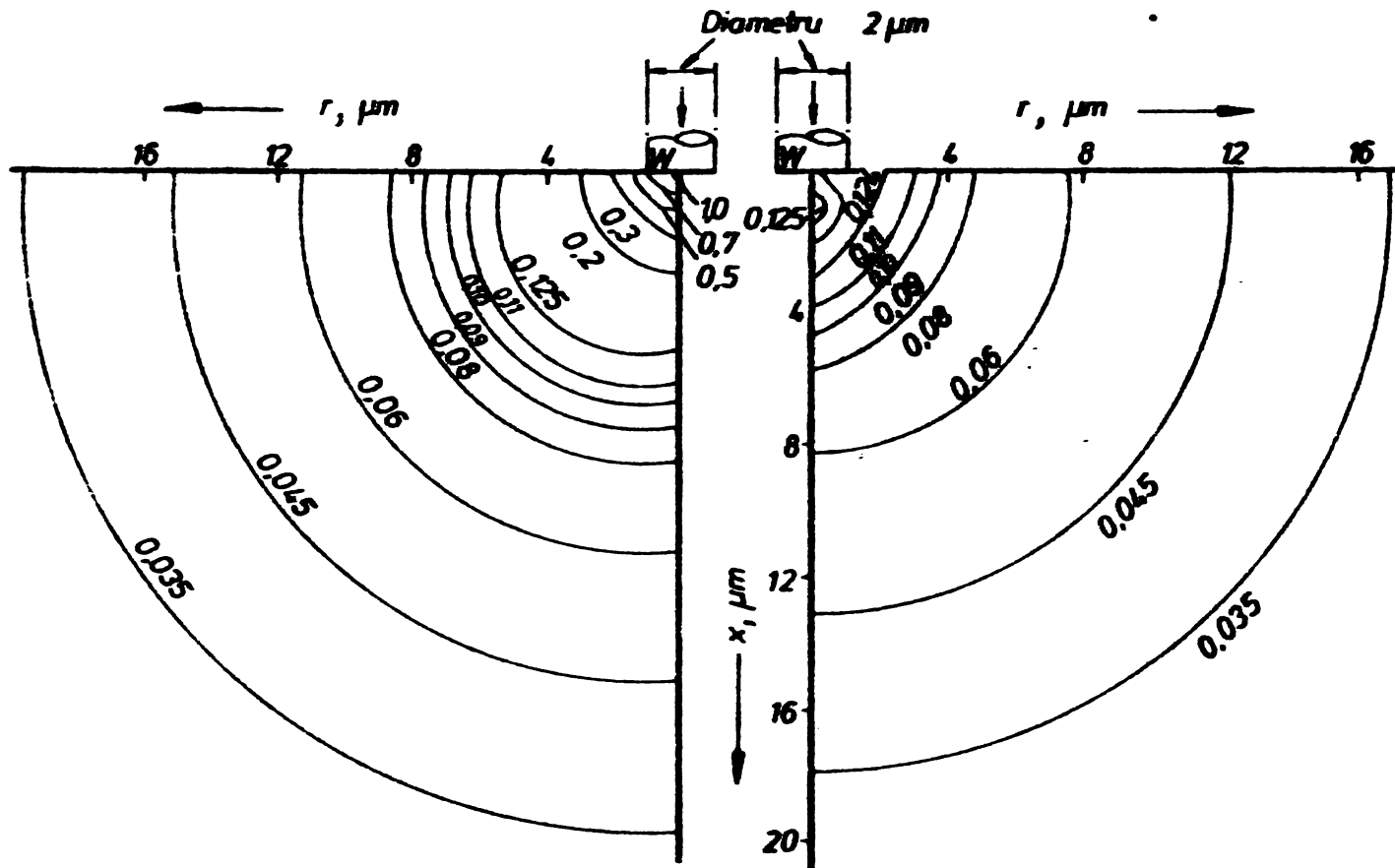


Fig. 4.17. Curba de încălzire a suprafeței în centrul spotului.

încălzire a suprafeței pentru elementele tabloului lui Mendeleev reprezentată în (fig. 4.17).

Calculul s-a făcut cu considerarea pierderilor de energie pentru reflectarea electronilor. În (fig. 4.18) se dău configura-

țiile izotermelor pentru un regim tehnologic concret al fasciculu și izotermele ce se obțin din calculul regimurilor fără a



consideră adîncimea de pătrundere a electronilor. Se vede că la suprafața materiei, modelul disc de calcul dă valori de temperaturi prea ridicate, pe cind în adîncimi și la distanțe de la marginea fascicolului comparabile cu adîncimea de pătrundere a electronilor, izotermele calculate după ambele metode practic coincid.

Problema larg răspândită a prelucrării termice cu fascicol de electroni a unei pelicule metalice depuse pe un suport dielectric este un exemplu de propagare a căldurii în mediul cu două straturi. La pelicule subțiri acțiunea termică a fascicolului asupra peliculei este relativ mică dar poate să aibă loc acțiunea termică asupra suportului. La necesitatea micșorării maxime a acțiunii termice asupra suportului, parametrii fascicolului și ai materiei peliculei trebuie astfel aleși ca încălzirea suportului de către fascicol să fie exclusă sau redusă la minim.

De regulă pelicula metalică pe suportul dielectric introduce următoarele corelații în propagarea căldurii la încălzirea cu fascicol electronic;

- cantitatea de căldură degajată direct în peliculă este foarte mică, întrucât grosimea ei este mult mai mică decât adîncimea de pătrundere a fascicolului;

- răcirea suprafetei ca urmare a termoconductibilității peliculei mășorează mult temperatura, chiar dacă grosimea peliculei nu depășește cîteva sute de angstromi,

- disiparea electronilor în materialul suportului mărește zona de încălzire.

Influența parametrilor suportului asupra distribuției temperaturii în interiorul materialului este arătată în (fig. 4.19) [48].

Temperatura crește cu îndepărtarea de suprafață și atinge maximul în apropierea adîncimii de difuzie limitată f_g .

Existența peliculei reduce brusc temperatura suprafetei. Astfel pelicula groasă de 350 Å reduce temperatura cu 60% iar cea de 700 Å cu 85% [49].

In procesele de prelucrare cu fascicol de electroni mai ales în cazurile cind este necesară evaporarea locală a substanței la o încălzire generală minimă a materialului se

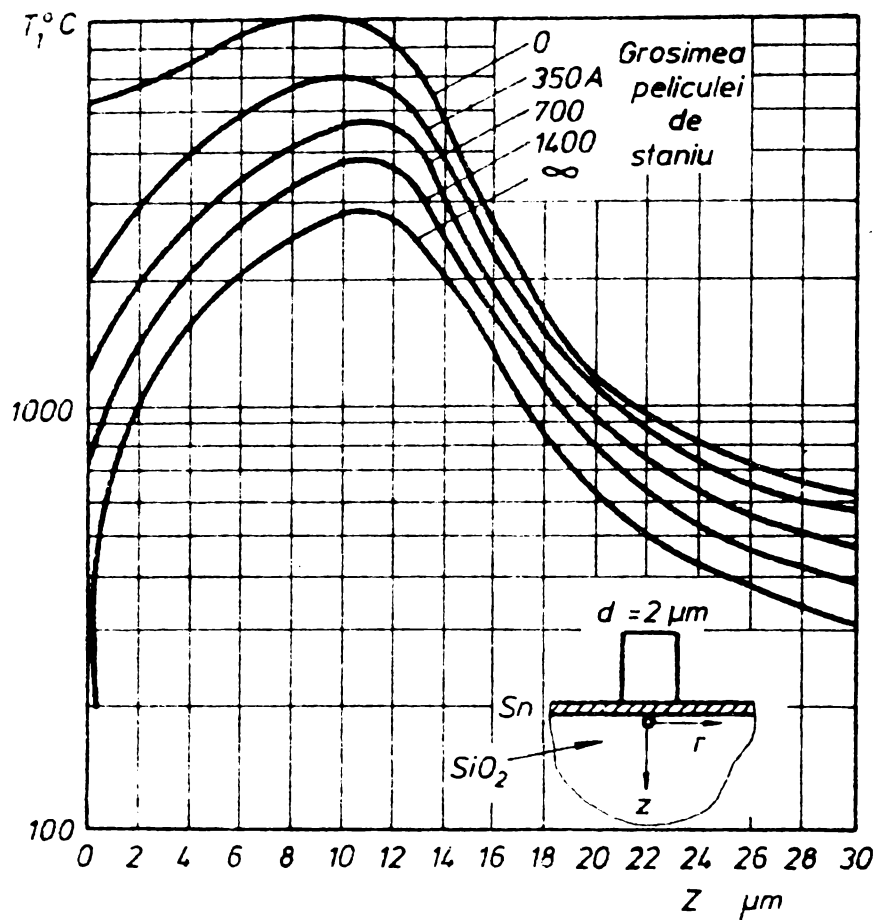


Fig.4.19. Distribuția temperaturii în interiorul materialului.

și marele consum de căldură pentru sublimarea materialului din zona de incidentă a fascicolului.

Pentru determinarea dimensiunilor spotului și densitatea de energie este necesar să se rezolve matematic problema transferului de energie de la fascicol de electroni la piesa de prelucrat. La voltaje de accelerare mari și dimensiuni mici ale spotului această problemă este considerabil complicată datorită mersului electronilor în piesă. La obținerea unei soluții apropriate de realitate este necesar să se rezolve problema fluxului de căldură, fiind necesar să se definească distribuția spațială a propagării energiei în piesă. Dacă acest lucru nu are importanță la sudarea cu fascicolul de electroni, la prelucrarea cu fascicol de electroni, unde se folosesc fascicole cu diametru foarte mic, problema încălzirii piesei, a penetrării fasciculu lui și a pierderilor de energie datorită reflectiei și emisiei de electroni este foarte importantă.

Deoarece diametrul fasciculu lui este mult mai mic

folosește încălzirea prin impuls. O mare putere a fascicoului în impuls permite o încălzire a materialului, în zona de acțiune a fasciculu lui pînă la temperaturi maxime chiar sub acțiunea unui scurt impuls, în pauzele dintre impulsuri căldura se difuzează ceea ce face ca să nu se producă o încălzire puternică a întregii mase a materialului, la aceasta contribue

față de adîncimea de penetrare, degajarea radială de căldură în piesă este esențială în determinarea în spațiul tridimensional a cantității de căldură degajată. Din punct de vedere matematic rezolvarea acestei probleme este destul de dificilă, încercîndu-se o calculare prin metoda Monte-Carlo.

Un model tridimensional a fost studiat de Archard și utilizat de el pentru calcularea coeficientului de reflecție al electronilor [40]. Aplicarea modelului lui Archard pentru evaluarea energiei reflectate și definirea distribuției energiei disipate în piesă este redată mai jos. Folosirea datelor obținute pe această cale în legătură cu problema fluxului de căldură este subliniată și de rezultatele obținute pentru creșterea temperaturilor pentru diferite materiale la o varietate de fascicole.

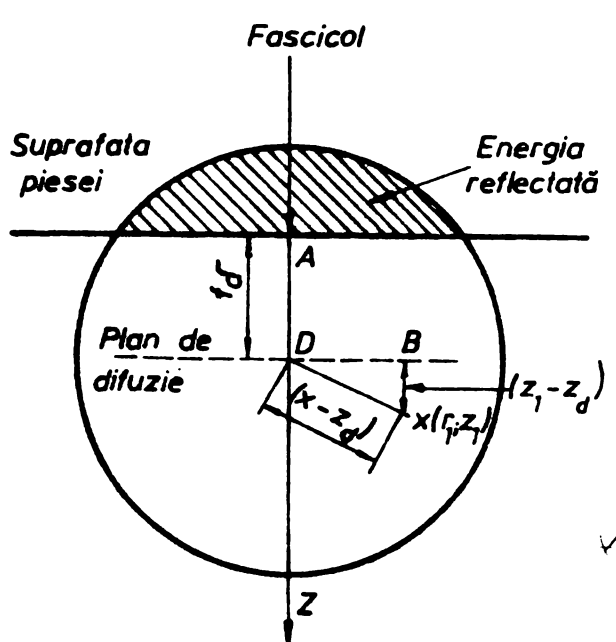


Fig.4.20. Model Archard.

se va disipa în calota sferică și care se poate calcula ușor.

Considerăm energia absorbită de piesă W_b și energia totală $W = W_a + W_b = W_0$.

Pentru evaluarea lui W_b trebuie considerată energia ce se va disipa într-un element de calotă sferică de la raza și de grosime $d\delta$ conform cu (fig.4.21).

Suprafața crustei va fi $2\pi\delta(\xi - f\delta)$ iar curentul va fi :

In conformitate cu modelul lui Archard, electronii reflectați sunt aceia conținuți în conul format de calota sferică (fig.4.20). Archard a folosit volumul conului, divizînd prin aceasta o sferă complexă pentru a deriva coeficientul de reflecție al electronilor. Intr-o asemenea situație se calculează și energia reflectată W_b în watt ce

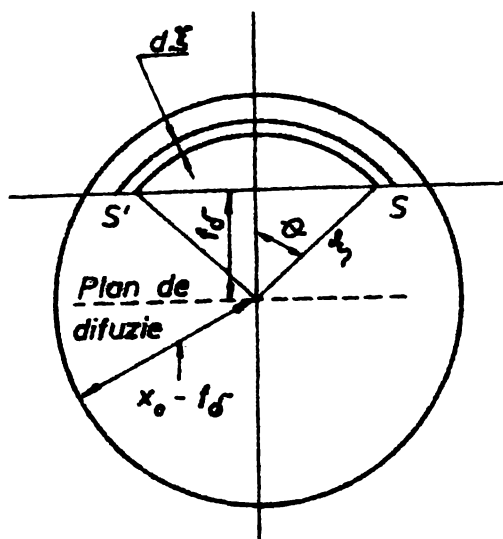


Fig.4.21. Element de calotă sferică.

$$I_b = \frac{I(\mathfrak{f} - f\delta)}{2\mathfrak{f}} \quad (4.55)$$

Energia disipată în crustă va fi:

$$dW_b = - I_b dV \quad (4.56)$$

unde:

dV - scăderea voltajului ce străbate crusta.

Substituind pentru dV valoarea din (4.37) și folosind relațiile (4.38) și (4.56) se obține [28]:

$$dW_b = \frac{W}{4x_0^{1/2}} \cdot \frac{(\mathfrak{f} - f\delta)}{\mathfrak{f}(x_0 - f\delta - \mathfrak{f})^{1/2}} d\mathfrak{f} \quad (4.57)$$

integrînd aceasta în domeniul $f\delta \leq \mathfrak{f} \leq \mathfrak{f} - f\delta$ se obține valoarea totală pentru energia reflectată:

$$W_b = \frac{W}{2} \left[\left(1 - \frac{2f\delta}{x_0}\right)^{1/2} - \frac{\frac{f\delta}{x_0}}{\left(1 - \frac{f\delta}{x_0}\right)^{1/2}} \cdot \operatorname{tg} h^{-1} \left(\frac{1 - \frac{2f\delta}{x_0}}{1 - \frac{f\delta}{x_0}} \right)^{1/2} \right] \quad (4.58)$$

Folosind numărul atomic Z pentru un element dat, valoarea raportului $f\delta/x_0$ se poate obține din (4.34) iar raportul W_b/W este calculat din (4.58).

De mai mare importanță este factorul energiei reținute $P = \frac{W_b}{W} = 1 - \frac{W_b}{W}$.

Din relațiile (4.34) și (4.58) P este funcție doar de Z și este independent de voltaj.

In (fig.4.22) se re-

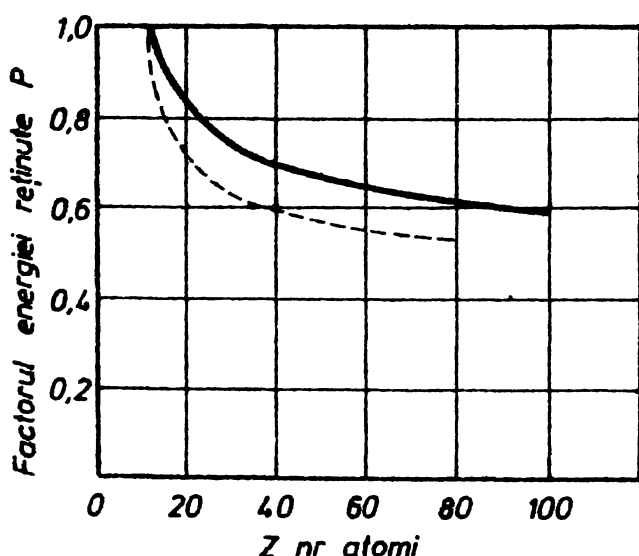


Fig.4.22. Variația factorului de reținere P .

rezintă variația calculată (linie continuă) a lui P funcție de Z.

Ca rezultat al celor de mai sus este că P devine 1 cînd $\frac{fd}{x_0} = 0,5$ ceea ce apare pentru $Z = \frac{80}{7}$.

Relația (4.58) este implicabilă pentru $Z < 12$ ($\frac{fd}{x_0} > 0,5$). Curba din (fig.4.22) este pentru domeniul $Z = 12 \rightarrow 100$, pentru valori mai mari ea devine asimptomă la valoarea de 0,5.

Pentru comparare, curba punctată din (fig.4.22) reprezintă partea de electroni rămași în piesă, după rezultatele lui Archard. Această curbă este sub curba continuă ținînd cont că electronii reflectați cedează o parte din energia lor înainte de a părăsi piesa. La fel ca și mai sus această curbă pornește de la $Z = \frac{80}{7}$ căreia îi corespunde valoarea 1 și tinde asimtotic la valoarea de 0,5 pentru valori mari ale lui Z.

De fapt variabilele care interesează la penetrarea metalului sunt voltajul de accelerare V_0 și diametrul fascicolului $d = 2 \cdot r_1$.

Materialul de prelucrat este caracterizat de coeficientul K_T definit de relația (4.40).

S-au prelucrat rezultatele pentru Aluminiu ($Z=13$), seleniu ($Z=34$) și tungsten ($Z=74$) reprezentînd o bună împrăștiere în cadrul tabelului periodic [50]. Lucrul s-a efectuat cu potențiale de accelerare de 20 și 50 kV. La voltaje mai ridicate aplicarea legii lui Thomson-Whiddinton devine incorectă.

Rezultatele transpusă în tabelul (4.5) în care factorul energiei deținute P este conform relației (4.58). Raza și adîncimea de difuzie sunt date în ochiuri ale rețelei pentru a evidenția problema scalar.

Coloana 5 arată rezultatele obținute pentru o creștere normală a temperaturii U_0 la centrul spotului.

Variația lui n_n în funcție de voltajul de accelerare U_n este dat pentru unele materiale în tabelul 4.6.

Valorile tabelului 4.4 sunt transpusă în reprezentarea din (fig.4.23) sub forma unor curbe a lui U_0 funcție de x/d pentru fiecare din cele 3 materiale măsurate.

Două efecte contribue la neatingerea temperaturilor

Tabelul 4.5.

Material și voltaj	Diame- trul fasci- colu- lui	Raza fasci- col	Adin- cimea de difu- zie	Crește- rea nor- mală de tempe- ratură	Mărime/ dia- metru	Crește- rea nor- mală de tempe- ratură
	m					
Aluminiu 50 kV	8	1.65	4.5	0.294	3.10	0.302
24,8 m $p=0,97$	4	1.19	6.5	0.175	6.20	0.180
	2	0.60	6.5	0.104	12.40	0.107
Aluminiu 20 kV	8	3.45	1.5	0.747	0.50	0.767
	2	2.59	4.5	0.400	2.00	0.410
	1	1.58	6.6	0.244	4.00	0.250
	0.4	0.75	6.5	0.122	10.00	0.125
Seleniu 50 kV	16	1.53	0.5	0.384	0.98	0.530
	8	2.29	1.5	0.323	1.95	0.447
	4	1.15	1.5	0.204	3.90	0.281
	2	0.57	1.5	0.129	7.80	0.178
	1	0.29	1.5	0.068	15.60	0.094
Seleniu 20 kV	4	2.39	0.5	0.459	0.63	0.633
	2	1.19	0.5	0.347	1.25	0.479
	1	1.79	1.5	0.276	2.50	0.381
	0.4	0.72	1.5	0.149	6.25	0.205
Tungsten 50 kV	8	6.25	0.5	0.525	0.52	0.850
	2	1.56	0.5	0.248	2.10	0.386
	1	0.78	0.5	0.154	4.20	0.249
	0.4	0.31	0.5	0.078	10.50	0.126

Rândamentul radiației
röntgen pentru unele
materiale.

Tabelul 4.6

Z	n_r în relație cu U_n	n		
		15	50	100
Fier	26	0,017	0,057	0,11
Wolfram	74	0,05	0,16	0,33
Platină	78	0,05	0,17	0,35
Uraniu	92	0,06	0,2	0,4

indicate de modelul
discului încălzit,
aceste efecte sunt li-
mitarea reflectiei și
dispersia sursei. Dis-
cutind despre reflectie
o parte determinată din
reflectia electronilor
este pierdută, condu-
cind la o reducere pro-
portională a creșterii
temperaturii.

Cînd voltajul de accelerare este suficient de mare
pentru a face o penetrare de o adîncime comparabilă cu diametrul

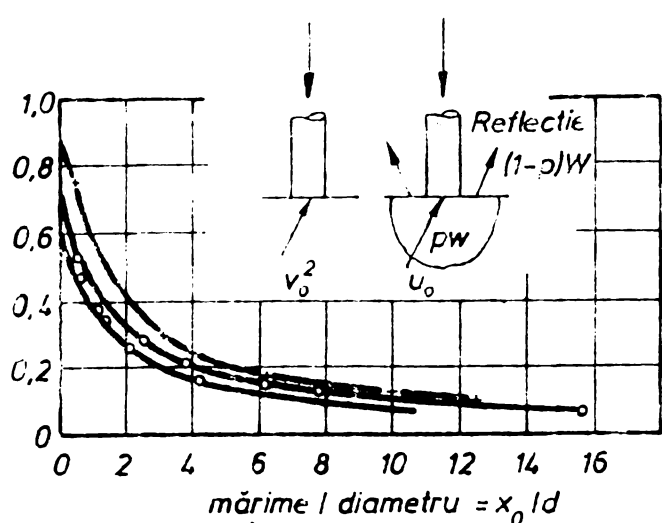


Fig. 4.23. Variatia lui U_0 .

re. Conform celor de mai sus mărimea secțiunii fascicolului poate fi făcută mai bine prin creșterea curentului decât prin ridicarea voltajului.

Efectul sursei de dispersie este în primul rînd dependent de x/d . Aceasta mai poate varia cu materialul piesei deoarece dînd raportul $d\partial/x_0$ se modifică pentru o valoare dată a lui x/d se modifică conform sursei de căldură. Acest efect este mai mic după cum se poate vedea din (fig. 4.23). În această figură sunt transpuse rezultatele arătate în (fig. 4.23)

efectul reflectiei a fost eliminat prin împărțirea lui U_0 cu factorul energiei reținute p (folosind valorile lui \bar{U}_0^* date de coloana 7 a tabelului 4.4).

Figura (4.24) compară temperaturile cu o putere absorbită dată și zici se observă că este o roarte mică diferență între materiale ce se prelucrăză.

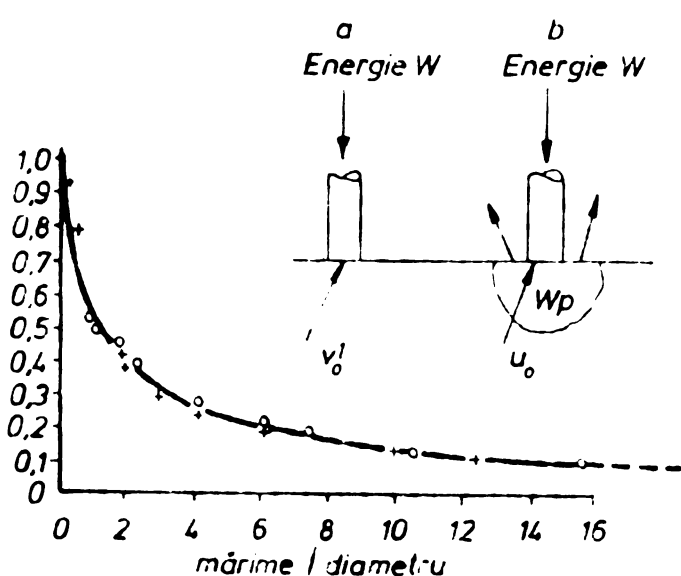


Fig. 4.24. Variatia lui \bar{U}_0^* .

Efectul de dispersie al sursei poate fi considerat ca depinzind de x/d și unica curbă reprezentată în (fig.4.24) poate fi considerată o curbă universală aplicată pentru toate materialele piesei.

Efectele de mai sus, argumentează faptul prin care temperaturile atinse sunt mai mici decât cele arătate de modelul discului de încălzire.

Prima din această reflecție, este doar o funcție a materialului piesei iar reducerea funcțională duce la aproximativ (egală cu p – factorul energiei reținute) valori ce pot fi determinate conform (fig.4.22).

Cel al doilea efect, dispersia cursei, este o funcție de x/d și diametrul de penetrare al fascicolului.

În scopul extinderii curbei din (fig.4.24) pentru valori mai mari ale lui x/d fără condiția calculării pe viitor a efectului dispersiei sursei, acesta a fost determinat analitic.

Rezultatele obținute pînă în prezent au arătat că adîncimea de difuzie este importantă doar pentru determinarea energiei reflectate. La o putere dată $W_a = pW$ absorbită de material se poate simplifica efectul încălzirii punînd condiția că adîncimea de difuzie este zero. În continuare se consideră fascicolul ca o sursă punctiformă la nivelul materialului după care se consideră că se obțin rezultate variabile în funcție de diametru. Problema este astfel exprimată în termenii unui sistem cu o singură coordonată, raza sferică R , distanța dintre cîmpul punctului și sursa punctiformă luată ca origine.

Valoarea distribuției puterii este dată de relația:

$$P(R) = - J \frac{dV}{dR} \quad (4.59)$$

Deoarece se consideră că electronii difuzează radial de la sursa J va avea valoarea $I/2\pi R^2$ pentru distanțe mari.

Luîndu-se :

$$J = \frac{I_a}{a\pi(R^2 + C^2)} \quad (4.60)$$

apoi prin schimbarea

$$c = 0,848 \cdot a_1 = 0,424 \cdot d \quad (4.61)$$

la $R = 0$, se obține densitatea de curent pentru centrul fascicolului repartizat conform curbei lui Gauss. Se înlocuiește și în relația (4.60) se dă valoarea termenului P , legea lui Thomson - Whiddington este destul de neimportantă în acest caz, iar pentru a simplifica analiza se consideră o repartiție uniformă a energiei disipate pe parcursul drumului fascicolului [28].

$$\frac{\partial V}{\partial R} = -k' - \frac{V_o}{x_o} \quad (4.62)$$

unde :

x_o - este mărimea conform legii lui Thomson-Whiddington.

Combinând și integrând valorile (4.59), (4.60) și (4.62) se obține [28]:

$$U = \begin{cases} - \frac{I_a V_o}{8,4 \pi k x_o} \left[\frac{o}{R} \operatorname{tg}^{-1} \frac{R}{c} + \frac{1}{2} \log(R^2 + c^2) + \right. \\ \left. + \frac{c_1}{R} + c_2 \right] & \text{pt } (R < x_o) \\ - \frac{c'_1}{R} & \text{pt } (R > x_o) \end{cases} \quad (4.63)$$

unde: c_1 , c_2 și c'_1 sunt constante de integrare iar soluția pentru $R > x_o$ duce la valori $U \rightarrow 0$ cînd $R \rightarrow \infty$. Deoarece U trebuie să fie finit pentru $R = 0$ este necesar ca $c_1 = 0$. Va trebui să se determine valori rămase ale constantelor de integrare.

Energia reprezentată de acest model va fi :

$$W_a = \int_0^{x_o} 2 \pi R^2 \cdot P \cdot dR \quad (4.64)$$

iar substituind pentru valorile lui P în (4.59); (4.60) și (4.62) se obține :

$$W_a = V \cdot \left(1 - \left(1 - \frac{c}{\pi} \operatorname{tg}^{-1} \frac{R_o}{c} \right) \right) \quad (4.65)$$

Acesta tinde către valoarea $V_0 I_a$ atunci cind $\frac{x_0}{C}$ tinde către infinit. Precizia acestui model se mărește cu creșterea valorii diametrului. Pentru determinarea lui C'_1 se crează W_a energia totală se străbate semisfera de raza $R > \frac{x_0}{C}$ dată de relația (4.63). Astfel :

$$C'_1 = - \frac{W_a}{8,4 \pi K} \quad (4.66)$$

Pentru determinarea lui C_2 la cele două soluții ale relației (4.63) se aplică $R = \frac{x_0}{C}$

$$C_2 = \frac{W_a}{8,4 \pi K x_0} \left[\frac{1 + \frac{1}{2} - \log(\frac{x_0^2}{C^2} + 1)}{1 - \frac{C}{x_0} \operatorname{tg}^{-1} \frac{x_0}{C}} \right] \quad (4.67)$$

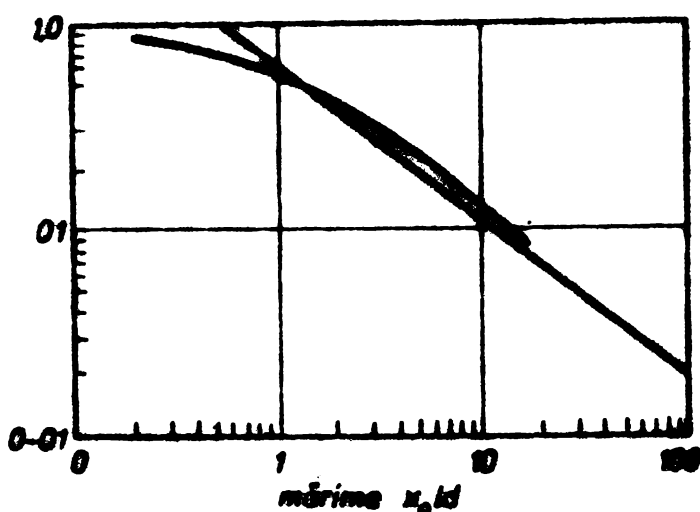


Fig.4.25. Variatia energiilor calculate și determine practic.

Curba rezultată a fost transpusă în (fig. 4.25) reprezentându-se totodată și curba practică.

Concordanța dintre cele două curbe este suficientă pentru a stabili încrederea în curba analitică, care extinde datele la valori pentru adâncimea de penetrare mai mari ca 100 diametre.

Energia necesară obținută într-un fascicol de diametru d se poate scrie :

$$W = V_1 I = 0,34 \rho_c \frac{eV_0^2}{kT} \left(\frac{d}{r_s} \right)^{2/3} \frac{\pi d^2}{4} \quad (4.68)$$

unde :

ρ_c – densitatea curentului catodic;
 k – constanta lui Boltzman;

T - temperatura catodului în $^{\circ}$ K;

c_s - constanta aberației sferice a lentilei de focalizare.

CAPITOLUL 5. INSTALATIA CU FASCICOL DE ELECTRONI UTILIZATA PENTRU EXPERIMENTARI.

5.1. Descrierea schemei de principiu.

S-a utilizat pentru penetrări un tun electronic tip Hamilton-Standard model 1965 a cărui schemă de principiu este redată în (fig.5.1).

Instalația este alimentată cu energie electrică de la rețeaua de curenț alternativ prin bornele 3,12,11,14 și 13.

Prin siguranțele de protecție fuzibile F84 și F85 și întrerupătorul principal se alimentează bobina contactorului K99. La închiderea întrerupătorului principal, bobina contactorului atrage armătura și cu aceasta și partea mobilă cu conțacete, astfel închizind circuitele 50-73, 54-47, 23-45, 25-42.

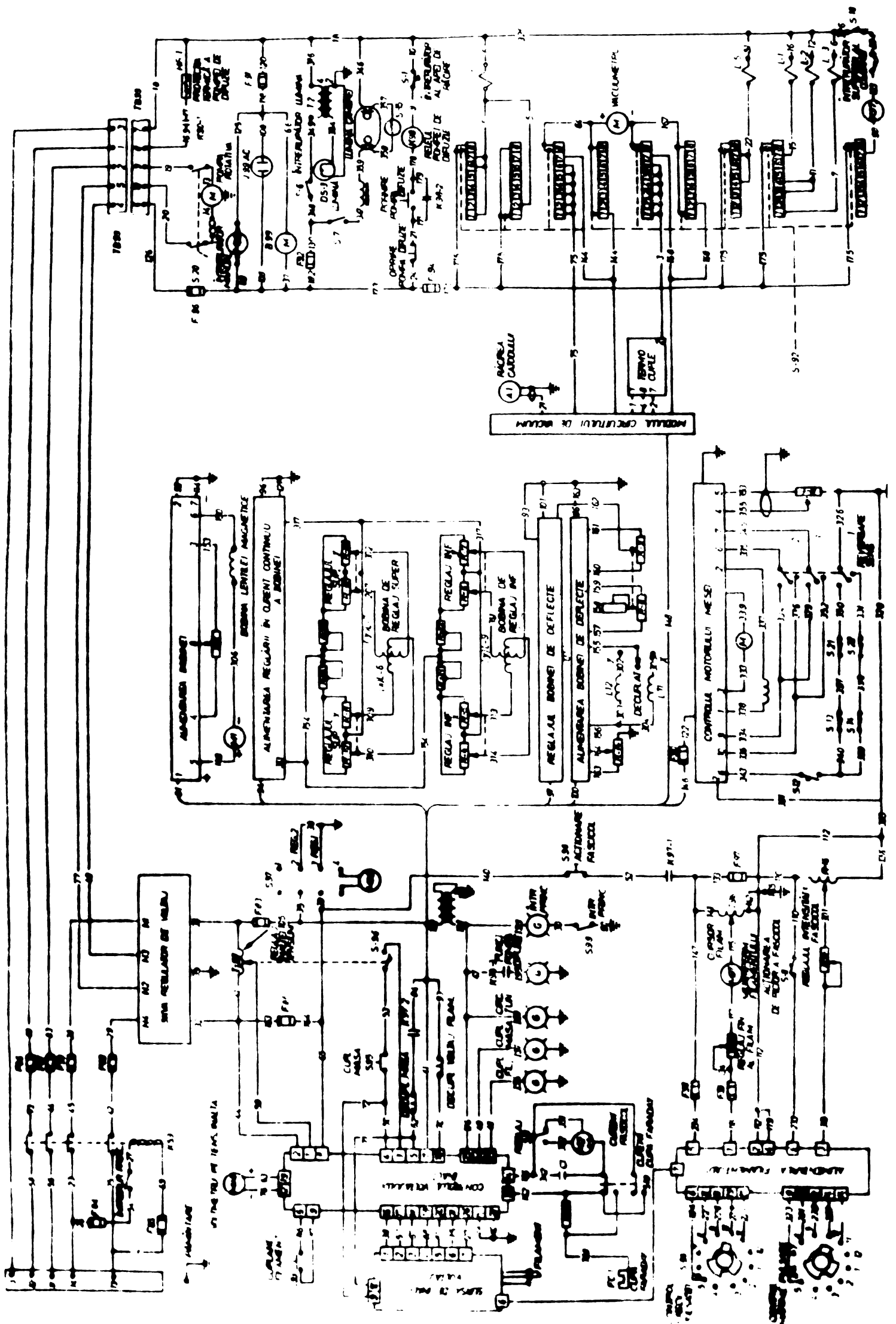
De la bornele contactorului K99, bornele 73,47,45 și 42 circuitul trece prin siguranțele fuzibile F88, F87, F90 și F89, iar de la ieșirea din aceste sigurante, respectiv de la F88 și F87 alimentează direct circuitele auxiliare prin T 899 bornele 1 și 2 iar prin F90 și F89 se alimentează blocul regulator de tensiune.

De la blocul regulator de tensiune pleacă la T 899 bornele 4 și 5 tensiunea de 220 V. Prin intermediul punților care sunt făcute pe T 899, tensiunea de 220 Volti ajunge pe bornele 9 și 10 de unde merge la separatorul S20 pornire manuală iar de aici prin releul de protecție merge la pompa rotativă (prin închiderea lui S20).

Tot de la T 899 bornele 7 și 8 prin intermediul contactelor releului de difuzie se aplică tensiune pe bornele pompei de difuzie (la închiderea acestui releu).

Borna 7 a lui T 899 este comună pentru întreaga instalație auxiliară și este considerată și ca bornă de nul a acestei instalații.

Pe borna 6 (T 899) este inserată siguranța de protecție cu fuzibil F96 de la care tensiunea ajunge la sigurantele cu fuzibil F92 și F94 precum și la sistemul de pornire a pompei de difuzie, motorul ventilatorului, lampa cu neon pentru semne-



lizarea prezenței de tensiune și instrumentul de măsură a tensiunii de intrare.

Sistemul de pornire al pompei de difuzie (releul de pornire) este inserat cu contactele intrerupătorului S1 care supraveghează prezența apei de răcire în circuitul pompei de difuzie. Intrerupătorul se deschide atunci cind lipsește această apă și face ca să dispară tensiunea de pe bobina de acționare a releului de difuzie, care în acest caz va opri pompa.

Pe bobina acestui releu sunt montate (în serie) butoanele de comandă manuală – pornire pompă de difuzie care este șuntat de contactele de automenținere ale acestui releu și butonul de comandă oprire pompa de difuzie.

Prin siguranță cu fuzibil F92 este alimentat iluminatul (tubul cu neon) și T2, astfel de la siguranță prin contactele intrerupătorului S6 se închide circuitul primar al transformatorului T2, de pe secundarul acestui transformator se captează energia pentru filament.

De la siguranță cu fuzibil F94 se alimentează contactele mobile ale etajelor 1,2,7,8 și 9 ale lui S92 selector de vacuum.

De pe una din înfășurările regulatorului de tensiune care are o priză mediană legată la masă iar celelalte două capete în circuitul de alimentare al instalației principale se leagă înfășurarea autotransformatorului T97.

Pe bornele 32 și 38 ale regulatorului de tensiune sunt legate siguranțele cu fuzibil F83 și F86 prin care se alimentează blocul de control de înaltă tensiune la bornele 8 și 7 ale acestui bloc. Pe bornele 1 și 2 ale blocului de control de înaltă tensiune se aplică tensiune variabilă între 0-220 V de la autotransformatorul T 97.

Pe capătul cursei la minimă tensiune are intrerupătorul S96 care fiind inserat cu S95, S96 nu permite conectarea sub tensiune a blocului de control de înaltă tensiune decât cind cursorul autotransformatorului este adus în poziția zero, astfel neputind apărea impulsuri de înaltă tensiune periculoase, străpungeri a unor piese din instalație.

Intre bornele 3 și 4 ale blocului de control de înaltă tensiune se află legat butonul S95 de comandă a conectării blocului sub tensiune care este inseriat cu S96 (contacte de supraveghere împotriva pericolului de străpungere) iar deconectarea acestui bloc o execută fie buton de decuplare fie prin contactele releului K97. Se menționează că punerea sub tensiune a acestui bloc nu se poate realiza decât cind contactele releului K97 din circuitul secundar sunt închise, deci selectorul S92 se află în poziția 7 închis și blocajele din circuitul bobinei acestui releu sunt de asemenea închise.

Tot pe blocul de control de înaltă tensiune se găsesc legat și butonul de comandă pentru punerea sub tensiune a filamentului tunului, butonul S 73 legat de bornele 6 și 9 iar butonul S34 pentru scoaterea filamentului de sub tensiune se află legat la bornele 7 și 10 ale aceluiași bloc.

Tot pe blocul de control al înaltei tensiuni se găsesc legate și lămpile de semnalizare "filament conectat" legate între masa și borna 23, apoi semnalizarea "Conectări înalte tensiuni, tensiune anodică legat la masă și borna 24.

De asemenea pe borna 25 sunt legate lămpile de semnalizare tun electronic precum și funcționarea pompei de difuzie. Prin închiderea contactului releului de funcționare a pompei de difuzie, iar prin închiderea lui S99 se semnalizează și punerea sub tensiune a circuitului de forță.

Pe blocul de control al înaltei tensiuni este legat și aparatul M 96 care prin raportul de transformare ne indică tensiunea anodică. Acest aparat este legat la bornele 12 și 13 iar tensiunea ce apare aici este în curent continuu.

Pe borna 25 este legat și transformatorul T 96 (înăsurare secundară) iar primarul este legat între masă și siguranța F83.

Tot pe blocul de control de înaltă tensiune este legat pe bornele 11 și 14 sistemul de măsurare a curentului fascicoului de electroni cu cupa Faraday și indicat de instrumentul M2 cu două domenii realizate cu comutatorul S 10.

La conectarea întrerupătorului principal se aprinde lampa tun electronic.

Instalația lucrează cu fascicul intermitent și cu

reglare automată a frecvenței precum și a duratei impulsului.

Curentul ce străbate filamentul se reglează prin potențiometrul R99 și T96 și este controlat cu ajutorul M97, reglind astfel și intensitatea fascicolului de electroni prin influența numărului de electroni emisi de catod.

Energia cinetică a fascicolului de electroni se reglează din tensiunea anodică reglată din transformatorul T16 și potențiometrul R19. Conectarea tensiunii anodice se realizează cu ajutorul pedalei S11.

Concentrarea fascicolului de electroni este realizată cu ajutorul cîmpului magnetic (cu lentile magnetice, SOLENOIDE) pe cele două axe X și Y.

Focalizarea fascicolului de electroni se realizează din potențiometrul R₃ și se citește pe instrumentul indicator M₁ care este legat în serie cu bobina L 10.

Comanda focalizării sus și jos se realizează cu ajutorul potențiometrelor R 10, R 11 și R4, R5 pe axa X și R 12, R 13 și R6, R7 pe axa Y cu aceste potențiometre se mărește sau sau se micșorează cîmpul electromagnetic al bobinelor L6, L7 și L8, L9 al lentilelor electro-magnetice.

Focalizarea poate fi deviată cu ajutorul bobinelor L 11 și L 12 pe cele două axe X și Y.

Reglarea curentilor prin aceste două bobine se realizează cu ajutorul potențiometrelor R 14, R8, R9 și R 15 și selectorul de axe pe una din pozițiile X sau Y.

Masa se reglează cu ajutorul blocului CONTROL MOTOR NASA care se comandă cu ajutorul pedalei FOOT și comutatorul DEC 1, DEC 2, DEC 3 iar vitezele de rotire motor se reglează cu ajutorul potențiometrului R₁ și turăția motorului (mesei) se urmărește pe instrumentul "M" B-2.

Cursa deplasării mesei este limitată de limitatoarele de cursă S 13, S 14 și S 21, S 22.

5.2. Funcționarea instalației cu fascicol de electroni.

După conectarea întrerupătorului principal se alimentează regulatorul de tensiune și circuitele auxiliare.

De la blocul regulator de tensiune se alimentează

blocul de control înaltă tensiune prin bornele 2 și 7 pentru circuitul de filament al tunului electronic și la bornele 2 și 1 (2 - bornă comună) pentru circuitul de înaltă tensiune.

Alimentarea pentru tensiune anodică la bornele 1 și 2 se face prin regulatorul de înaltă tensiune (autotransformatorul T 97). Pentru ca să nu fie pornit cu tensiune mare cursorul autotransformatorului are întreținător de "Zero start".

Tot de la blocul regulatorului de tensiune se alimentază și circuitele de semnalizare a blocului prin transformatorul T 96.

. La conectarea întreținătorului principal se aprinde lampa de semnalizare a lui. În altă de acesta mai sunt semnalizate următoarele funcții: filament, pompa de vid prin difuzie, tensiune anodică și tun electronic.

Instalația lucrează cu fascicol intermitent cu reglarea pulsului (durată impulsului) prin blocul filament. Curentul prin filament se reglează prin potențiometrul R 99 și T 96 iar curențul este controlat cu ajutorul instrumentului M 97 reglând astfel și intensitatea fascicoului de electroni emisi de cated. Energia cinetică a fascicoului de electroni se reglează de la tensiunea anodică reglată prin transformatorul T 16 și potențiometrul R 19. Conectarea tensiunii anodice se realizează prin întreținătorul pedală iar focalizarea fascicoului de electroni este realizată prin cîmp magnetic (lentile magnetice solenoide) după cele două axe X și Y. Reglarea focalizării se măsoară cu instrumentul M₁. Comanda focalizării se realizează prin potențiometrele R 10, R 11, R 4 și R 5 pe axa X și R 12, R 13 și R 6, R 7, R 13 și R 27 după axa Y.

Focalizarea se poate devia după axa X sau Y prin bobinele L 11 și L 12 cu mărimea reglată prin potențiometrele R 14 și R 9 și conectând selectorul de axe într-o din pozițiile X sau Y.

Deplasarea mesei este comandată prin potențiometrul R-1 și pedala. Cursa mesei este limitată cu limitatoare de cursă.

Circuitele auxiliare. Intre blocul de vacuum și blocul de control înaltă tensiune există o strânsă legătură de interblocaj. Fascicolul de electroni apare numai după realizarea vidului. Alimentarea circuitelor de protecție și vid este realizată prin T 899.

La prima fază se pornește motorul M al pompei rotative alimentată la 220-230 V c.a.

Prin apăsarea butonului de pornire se conectează contactorul K 96 și se automenține conectind pompa de vid prin difuzie K 96 - 2 și încălzitorul pentru realizarea unui vid înaintat prin (K 96-1). Pompa de difuzie funcționează cu răcire cu apă iar în cazul lipsei de apă este protejat de S-1. Vidul este controlat cu instrumentul M și se realizează de un grad foarte înaintat cu ajutorul selectorului de vacuum S-92, intrerupător cu 9 contacte și 8 poziții fiecare de aici se reglează și conectarea electrovalvelor principale și de ocluire.

Blocul de vid asigură și controlul temperaturii catodului.

Circuitele auxiliare se alimentează prin siguranța F 96 și F 94 și în afară de circuitele descrise mai sus, mai conțin și circuitele de iluminare a camerei de lucru (circuit protejat prin siguranța F 92) precum și contactor K 97 conectat pe poziția 7 a selectorului de interblocaj înaltă tensiune.

CAPITOLUL 6. CONSIDERATIUNI PRIVIND PRELUCRAREA LA
DIMENSIUNE CU FASCICOL DE ELECTRONI,
FUNCTIE DE REGIMURILE DE LUCRU

Pentru analizarea penetrației cu fascicol de electroni și a efectelor ei în vederea determinărilor experimentale s-au pregătit probele după următoarea tehnologie de lucru:

Materialele care au fost supuse bombardamentului cu fascicol de electroni pentru a fi penetrate s-au prelucrat mecanic rectificindu-se și lustruindu-se cîte o suprafață în scopul realizării unei rugozități la circa $R_a=0,012 \mu\text{m}$. Verificarea rugozității suprafetelor prelucrate s-a făcut cu ajutorul microinterferometrului. S-a impus o asemenea calitate la o suprafață a probei, deoarece s-au alăturat cîte 2 părți de material, alăturarea făcîndu-se pe aceste suprafete lustruite, într-o menghină care s-a montat pe masa de lucru a instalației cu fascicol de electroni. Reglîndu-se fascicoul de electroni pe linia de separație dintre cele 2 probe s-au obținut penetrări care după scoaterea probelor din dispozitiv prin deslipirea lor au asigurat secționarea orificiilor. Această metodă s-a adoptat, deoarece pentru secționarea unor diametre de la 0,192 mm pînă la 0,475 mm metodele de prelucrare clasică prin aşchiere ar fi fost foarte migăloase distrugîndu-se prin aşchiere o parte din orificiu iar partea ce ar fi rămas ar fi fost deformată în timpul aşchierii. Asigurarea unei lipiri a acestor probe lustruite datorită strîngerii în menghină cu ajutorul unei chei dinamometricice la o valoare de 1000 daN nu influențează rezultatele obținute față de penetrare a unui material unitar mai ales, că în zona respectivă materialul ajunge pînă la temperaturi de aproape 4400°K .

Avînd în vedere utilajul folosit, - Hamilton-Standard, - s-au executat penetrări cu fascicol de electroni continuu și pulsator lăcrîndu-se cu cele două frecvențe ale mașinii 1000 și 350 cicluri pe secundă.

Timpii de lucru s-au asigurat riguros prin montarea în circuitul de comandă al filamentului a unui cronometru electronic care asigură oprirea precisă conform timpilor pro-

puși întrerupînd circuitul de alimentare al filamentului. Sistemul normal de lucru cu acest utilaj impune prezența operatorului care dirijează procesul de prelucrare cu fascicol de electroni cu ajutorul butonului de închidere a circuitului de alimentare al filamentului, acesta fiind un contact normal deschis care atunci cînd nu este actionat întrerupe circuitul de alimentare al filamentului oprind emisia de electroni.

Datorită gabaritului redus al camerei de lucru lungimea 800 mm lățimea 500 mm și înălțimea de 400 mm, și ținînd mai ales cont de înălțimea menghinei de fixare a probelor cît și a bucătii de cupru pe care se focalizează fascicolul grosimea maximă de penetrat s-a ales 12 mm (bacurile menghinei având această lățime) asigurîndu-se un contact total între probă și menghină.

Prin această alegere s-a avut în vedere ca disipația căldurii din probă să se facă în partea de contact cu menghina pe toată suprafața de sprijin.

Focalizarea s-a făcut la cota +70 mm față de partea inferioară a camerei de vid, poziționarea pieselor făcîndu-se ținînd cont ca pentru grosimea cea mare focalizarea fasciculu lui să se facă în jumătatea inferioară iar pentru grosimea de 3 mm pe suprafața inferioară [58].

S-a ales o focalizare cît mai aproape de partea inferioară a camerei de lucru pentru a se lucrea cu un semiunghi de incidentă al fascicoului \angle_1 cît mai mic posibil pentru această mașină în scopul limitării la maximum a aberației de sfericitate. Practic s-a respectat aceeași distanță focală în cazul tuturor grosimilor, lucrîndu-se cu aceeași focalizare, conform (fig.6.1).

Urmare a penetrărilor cu diferite regimuri de lucru s-a obținut variații ale raportului $\frac{1}{d}$ de la 29,05 la 38,3 pentru grosimea de 12 mm valori care prin aschiera conventionala la asemenea diametre nu se pot obține.

Măsurarea diametrelor la ieșirea fascicoului de electroni s-a făcut înainte de a se desface cele două părți componente ale probei, cu microscopul de atelier avînd precizia de 0,001 mm. Abaterile între diametrele unui orificiu se

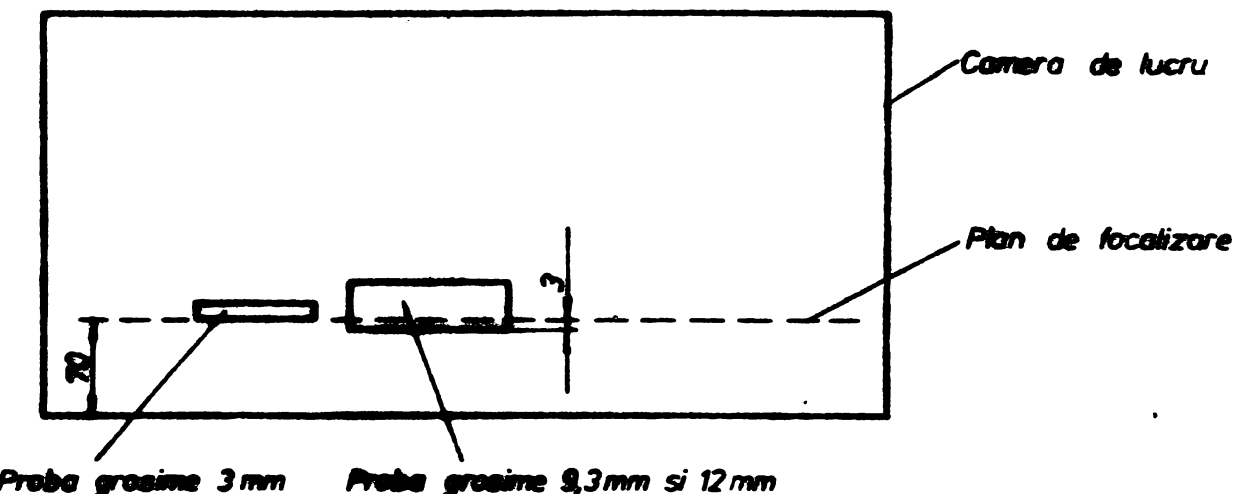


Fig.6.1. Poziționare probe și focalizare.

încadrează în $\pm 1\%$, tabelindu-se valorile maxime ale acestora.

Prelucrarea valorilor experimentale s-a rezumat la determinarea ecuațiilor ce exprimă dependența între durata de timp a interacțiunii fascicolului de electroni cu materialul de prelucrat și diametrul orificiului obținut.

Pentru determinarea ecuației de corelație s-a recurs la metoda celor mai mici pătrate.

Trasarea grafică a mărimilor experimentale a sugerat utilizarea unor ecuații exponentiale de forma:

$$Y = c - \frac{1}{A e^{xB}} \quad (6.1)$$

în care:

c - este o constantă adoptată în cazul fiecărui experiment ca fiind egală cu 105-110% din valoarea diametrului maxim;

A - constantă necunoscută, urmând a fi determinată;

B - exponent necunoscut, urmând a fi determinat în baza prelucrării datelor experimentale;

Y - valoarea măsurată a diametrului penetrării;

x - durata intervalului de timp.

Ecuția (6.1) mai poate fi scrisă și sub forma

$$Y_c = A e^{-xB} \quad (6.2)$$

unde:

$$Y_c = \frac{1}{c-Y} \quad (6.3)$$

Logaritmând ecuația (6.2) se ajunge la forma

$$\ln Y_c = \ln A + Bx \quad (6.4)$$

Necunoscutele A și B urmează a fi determinate în ipoteza că suma pătratelor rezidurilor va fi minimă, înțele-gind prin reziduri diferența între valoarea $\ln Y_c$ și valoarea să dată de ecuația dreptei de cea mai bună aproximatie pentru aceiasă valoare a lui x .

Notând cu S suma pătratelor rezidurilor

$$S = \sum_{r=1}^n (\ln Y_{cr} - \ln A - Bx_r)^2 \quad (6.5)$$

Determinarea necunoscutelor A , și B pentru ca S să fie minim se va determina în baza relațiilor

$$\frac{\partial S}{\partial A} = 0 \quad \text{și} \quad \frac{\partial S}{\partial B} = 0 \quad (6.6)$$

Prin derivare se obține

$$-2 \sum_{r=1}^n (\ln Y_{cr} - \ln A - Bx_r) = 0 \quad (6.7)$$

$$-2 \sum_{r=1}^n x_r (\ln Y_{cr} - \ln A - Bx_r) = 0$$

Acstea 2 ecuații se pot scrie sub forma

$$\sum_{r=1}^n \ln Y_{cr} = n \ln A + B \sum_{r=1}^n x_r \quad (6.8)$$

$$\sum_{r=1}^n x_{cr} \ln Y_{cr} = \ln A \sum_{r=1}^n x_r + B \sum_{r=1}^n x_r^2$$

Rezolvarea acestui sistem de două ecuații cu două necunoscute va indica valorile optime ale lui B și $\ln A$ respectiv A , pentru care se obține ecuația dreptei de cea mai bună apro-

ximătie:

$$A = e^{\frac{\sum_{r=1}^n \ln Y_{cr} \cdot \sum_{r=1}^n x_r^2 - \sum_{r=1}^n x_r \cdot \ln Y_{cr} \sum_{r=1}^n x_r}{n \sum_{r=1}^n x_r^2 - \sum_{r=1}^n x_r \cdot \sum_{r=1}^n x_r}} \quad (6.9)$$

$$B = \frac{\sum_{r=1}^n \ln Y_{cr} \cdot \sum_{r=1}^n x_r - n \sum_{r=1}^n x_r \ln Y_{cr}}{\sum_{r=1}^n x_r \sum_{r=1}^n x_r - n \sum_{r=1}^n x_r^2}$$

In relațiile de mai sus "n" reprezintă numărul de citiri efectuate.

Pentru o prelucrare rapidă și exactă s-a întocmit un program de prelucrare a datelor pe calculator Felix C 256. Programul scris în FORTRAN are organizare conform (fig.6.2).

Ecuatiile de corelație determinate prin utilizarea acestei metode de prelucrare și valorile calculate grafic cîteva din regimurile utilizate sunt trecute în tabelul 6.1.

Conform datelor din tabelul 6.1 se reprezintă cîteva din curbele de varieri a diametrului orificiului funcție de timpul de acționare la un anumit regim dat. (fig.6.3...6.12)

Analizînd datele tabelului 6.1 se concluzionează următoarele:

a - penetrarea materialului cu fascicol de electroni se realizează mult mai bine cu un regim pulsatoriu cu o frecvență mică. Conform teoriei penetrării cu fascicol de electroni microexploziile au loc la intervale de circa 70 microsecunde iar frecvențele sășute apropiate de frecvența microexploziilor realizează orificii mai mari decît frecvențele ridicate.

b - frecvențele mai ridicate asigură bombardarea în exces a piesei de prelucrat îngreunînd exploziile care au loc

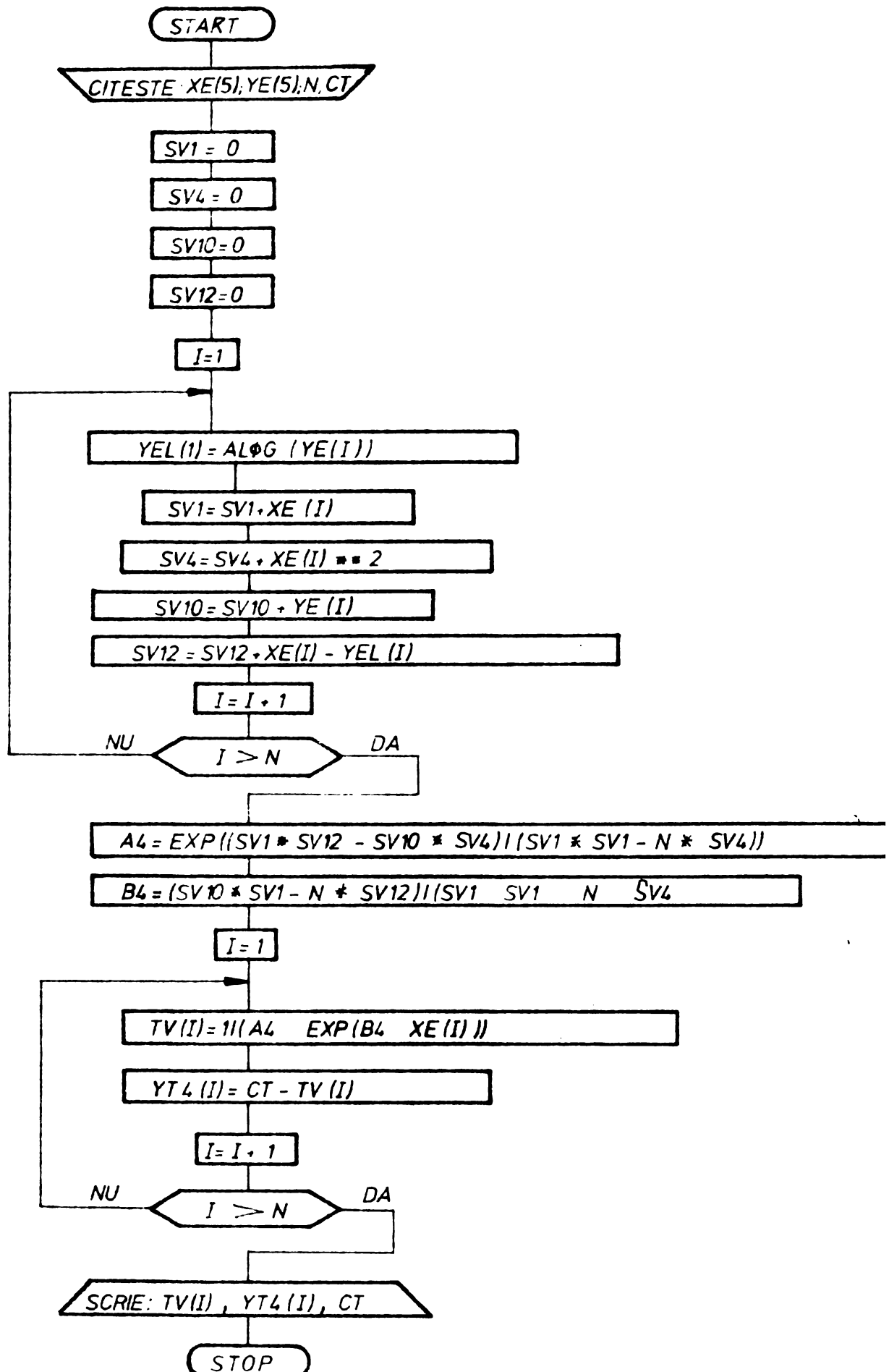


Fig.6.2. Organizarea programului de lucru cu calculatorul Felix C 256

Vaiorile măsurate și calculate.

Tabelul 6.1

Regim de lucru			Timpul de acționare a fascicoulului						Execuția	
Voltaj kV	Ampere mA	frecv. c.p.s.	gros. mm	0, 1,8	2, 4	2, 8	4, 2	8	10	
149	16	1000	9,2	0,202	0,215	0,296	0,350	0,404	0,404	$\underline{Y=0,410 - \frac{1}{2,23 e^0,55x}}$
149	9	1000	9,3	0,239	0,283	0,324	0,354	0,378	0,378	$\underline{Y=0,380 - \frac{1}{2,46 e^0,31x}}$
149	7	1000	9,3	0,266	0,306	0,324	0,359	0,378	0,379	
134	10	1000	9,3	0,202	0,220	0,310	0,322	0,333	0,339	$\underline{Y=0,340 - \frac{1}{12,2 e^0,38x}}$
149	16	25,0	9,3	0,144	0,285	0,306	0,316	0,333	0,341	$\underline{Y=0,342 - \frac{1}{4,34 e^0,78x}}$
149	7	350	9,3	0,256	0,283	0,296	0,310	0,424	0,424	$\underline{Y=0,425 - \frac{1}{1,82 e^0,52x}}$
149	10	1000	6	0,222	0,232	0,255	0,300	0,400	0,411	$\underline{Y=0,365 - \frac{1}{1,49 e^0,62x}}$
149	9	1000	6	0,026	0,296	0,338	0,358	0,394	0,413	$\underline{Y=0,415 - \frac{1}{2,22 e^0,74x}}$
149	7	1000	6	0,194	0,311	0,379	0,382	0,382	0,382	$\underline{Y=0,385 - \frac{1}{1,22 e^0,82x}}$
134	10	1000	6	0,313	0,335	0,352	0,370	0,370	0,370	$\underline{Y=0,372 - \frac{1}{1,48 e^1,03x}}$
134	7	1000	6	0,250	0,311	0,312	0,344	0,344	0,344	$\underline{Y=0,345 - \frac{1}{2,23 e^0,81x}}$
				0,280	0,298	0,330	0,344	0,344	0,344	

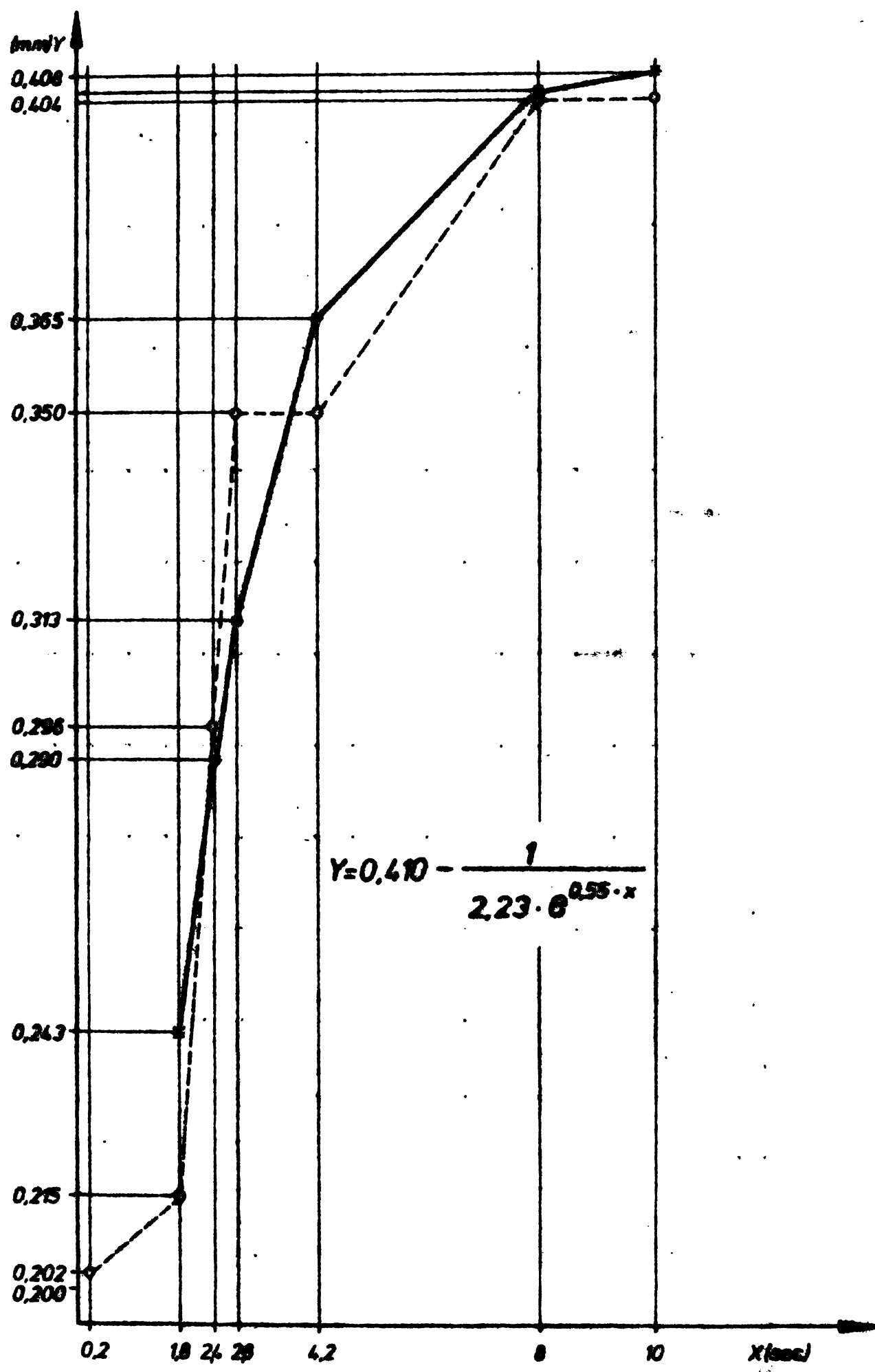


Fig. 1.2. Variatii di membrului penetrantei in conditia regiunilor de penetrare 140 K, 1 m; 1000 c.p.u.; 9,2 cm.

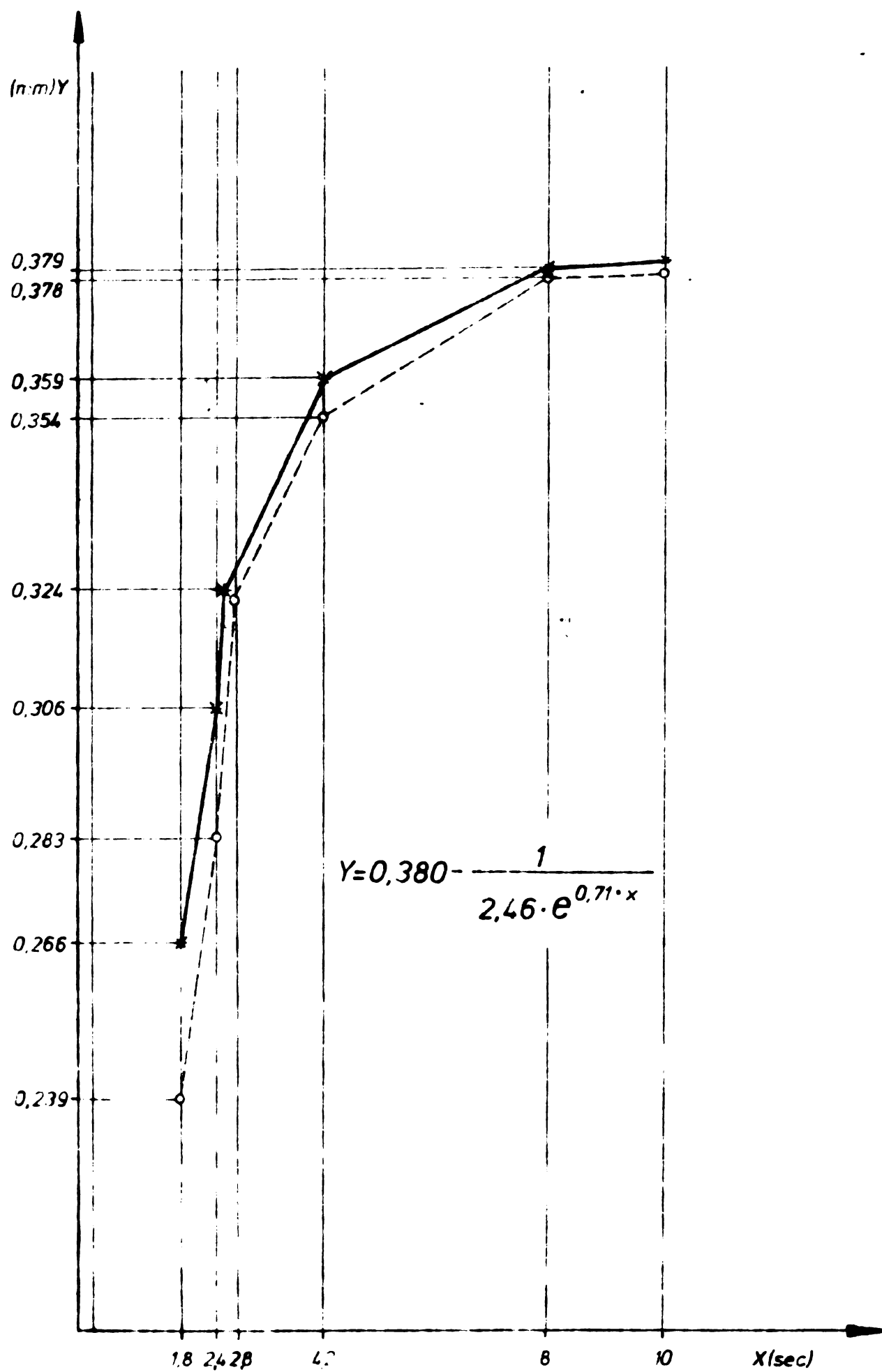


Fig.6.4. Variatia diametrului penetrarii in conditia regimului de penetrare 149 kV; 9 mA; 1000 c.p.s.; 9,3 mm.

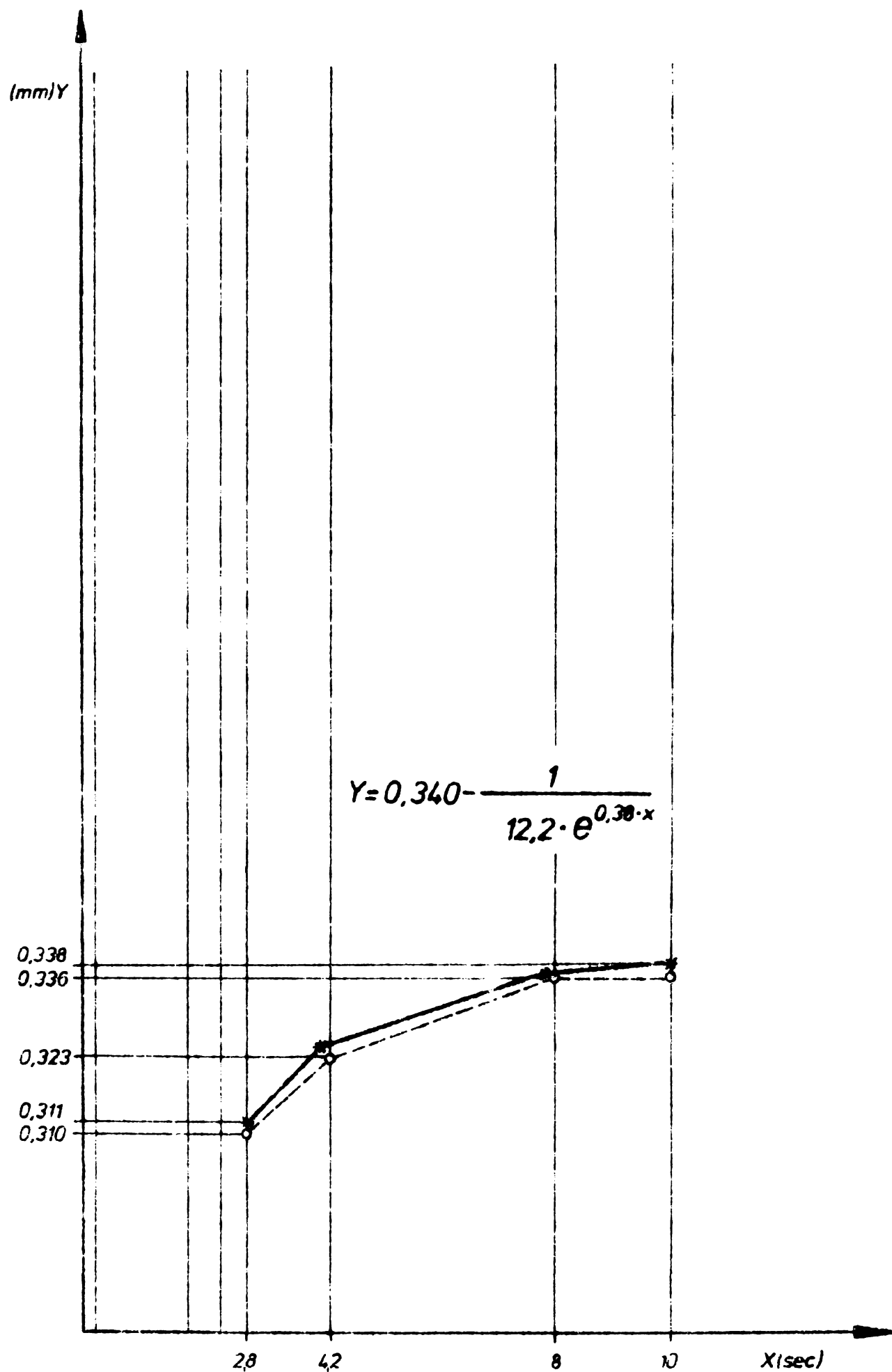


Fig.6.5. Variația diametrului penetrării în condiția regimului de penetrare 149 kV; 7 mA; 1000 c.p.s.; 9,3 mm.

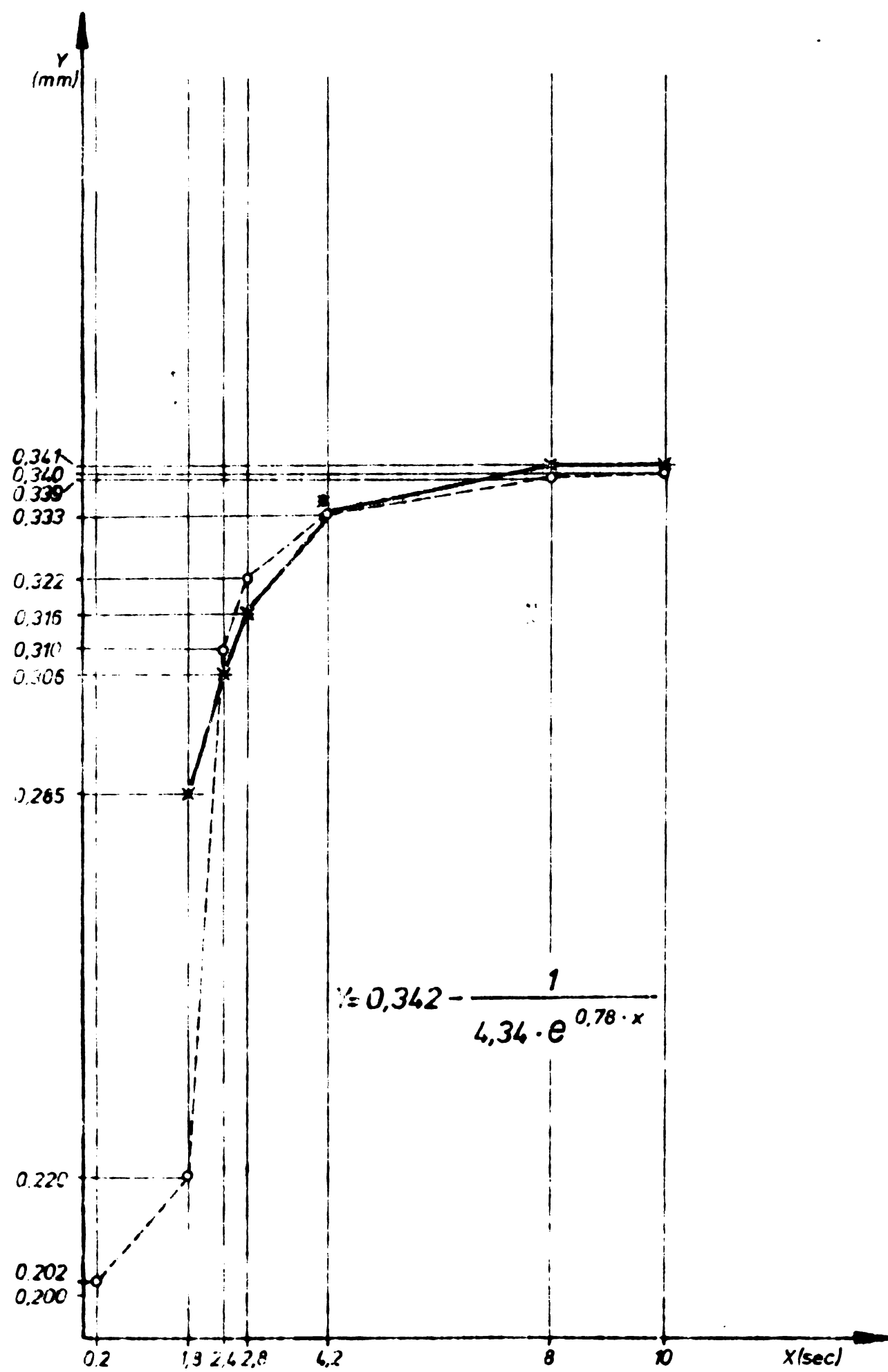


Fig. 6.6. Variația diametrului penetrării în condiția regimului de penetrare 154 kV; 10 mA; 1000 c.p.s.; 9,3 mm.

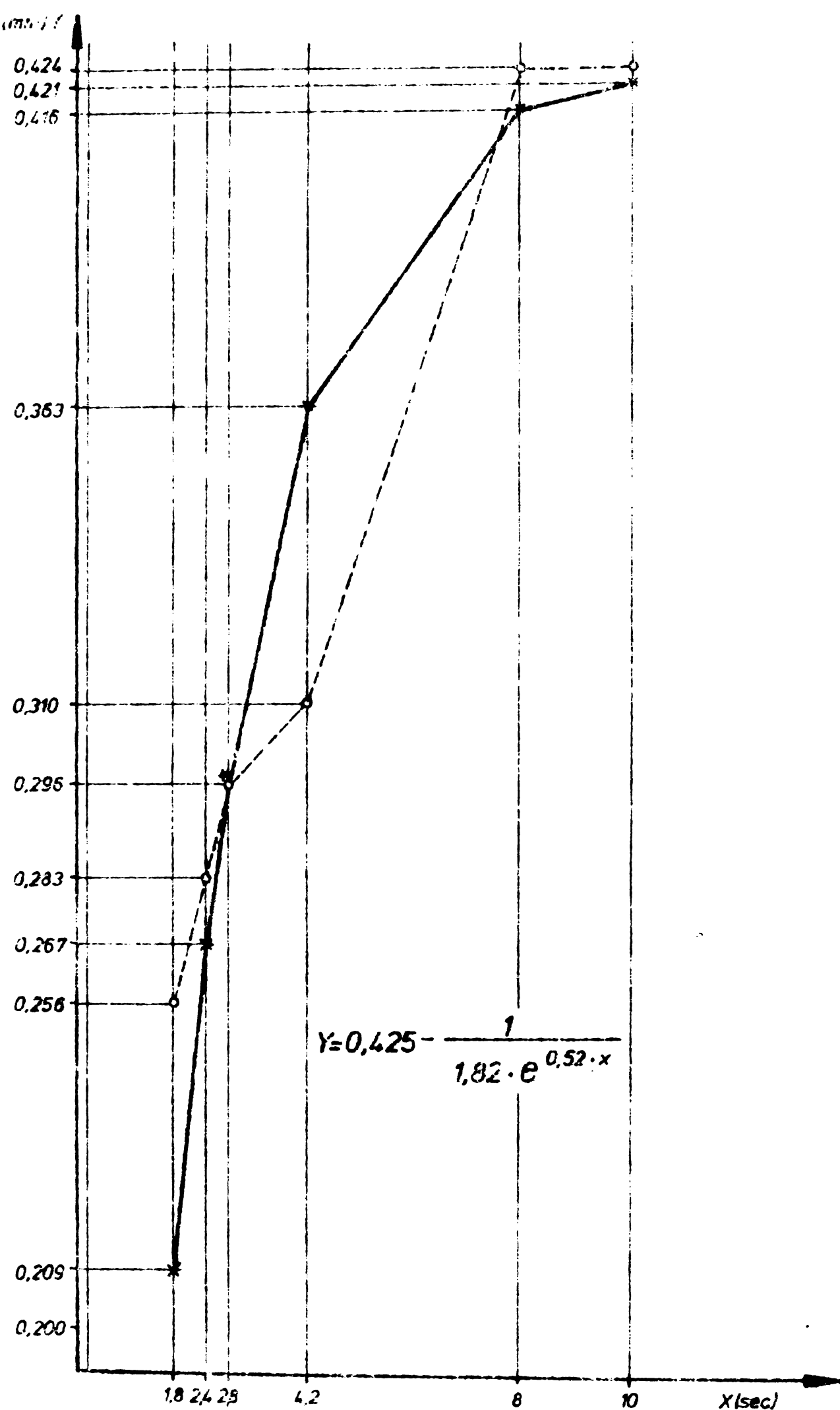


Fig.6.7. Variatia diametrului penetrarii la conditia regimului de penetrare 149 kV; 10 mA; 350 c.p.s.; 9,1 mm.

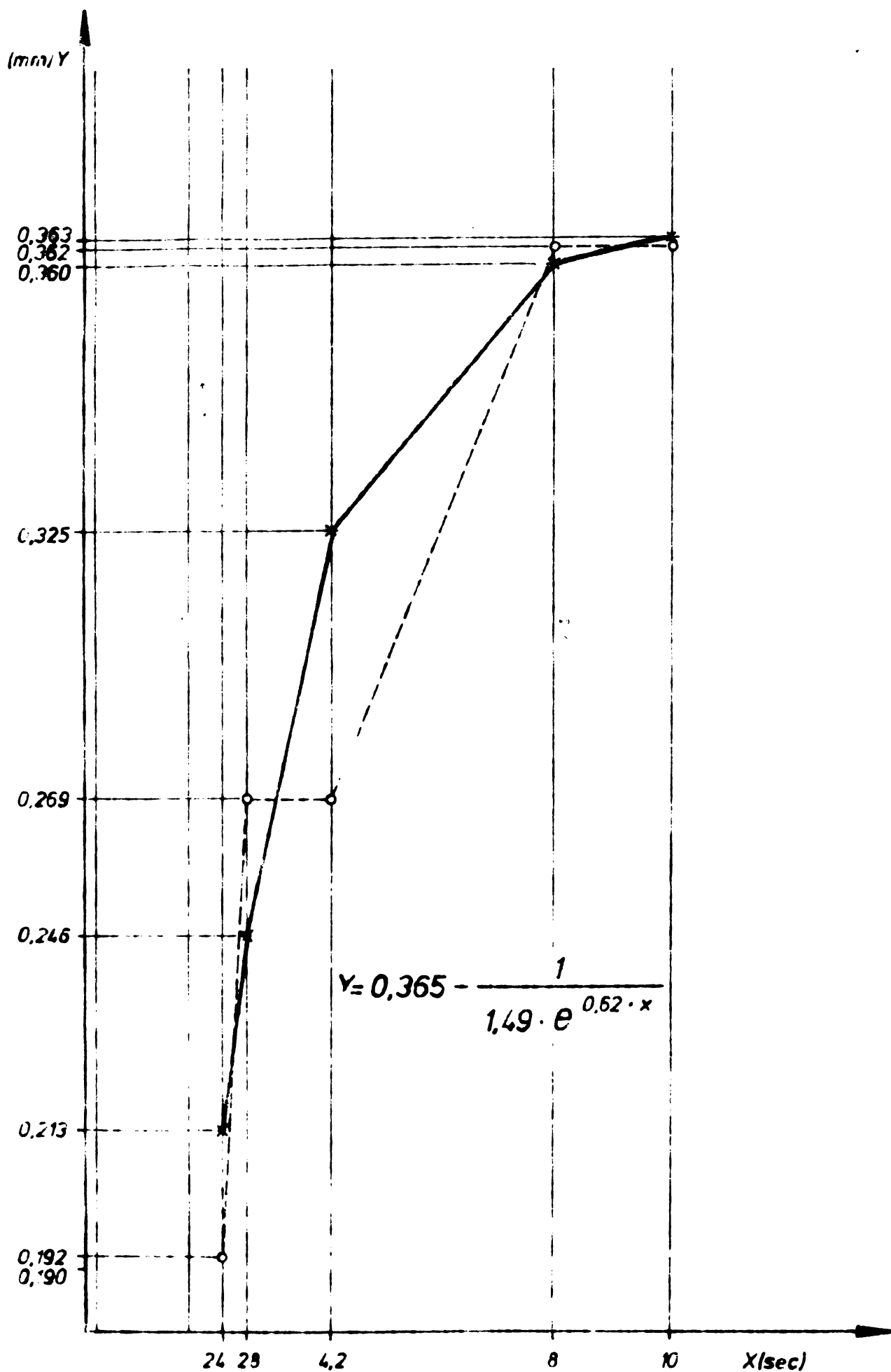


Fig. 6.9. Variatia diametrului penetrarii in conditia regimului de penetrare 149 kV; 7 mA; 350 c.p.s.; 9,3 mm.

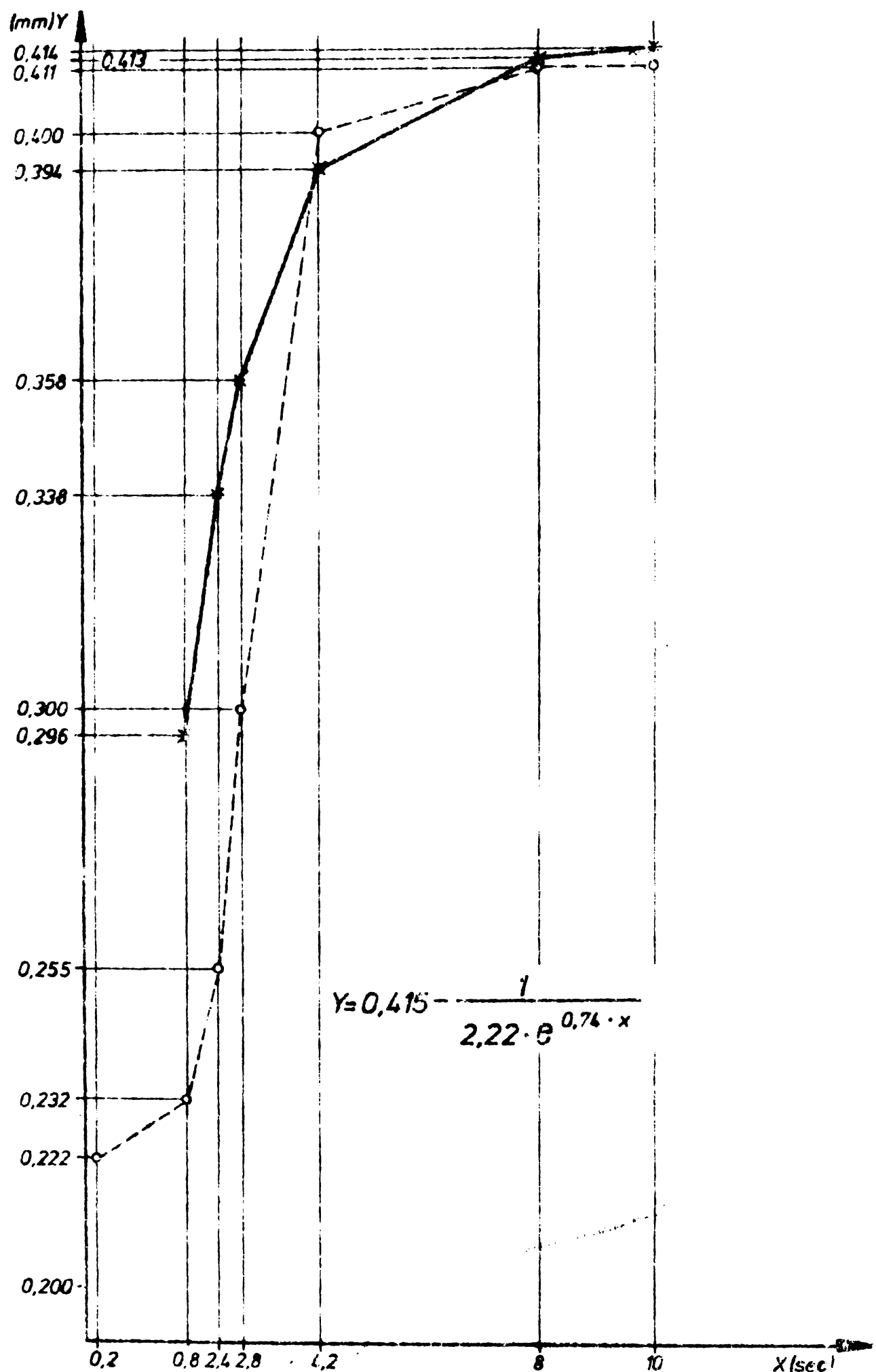


Fig.6.9. Variatia diametrului penetrarii in conditia regimului de penetrare 149 kV; 10 mA; 1000 c.p.s.; 6 mm.

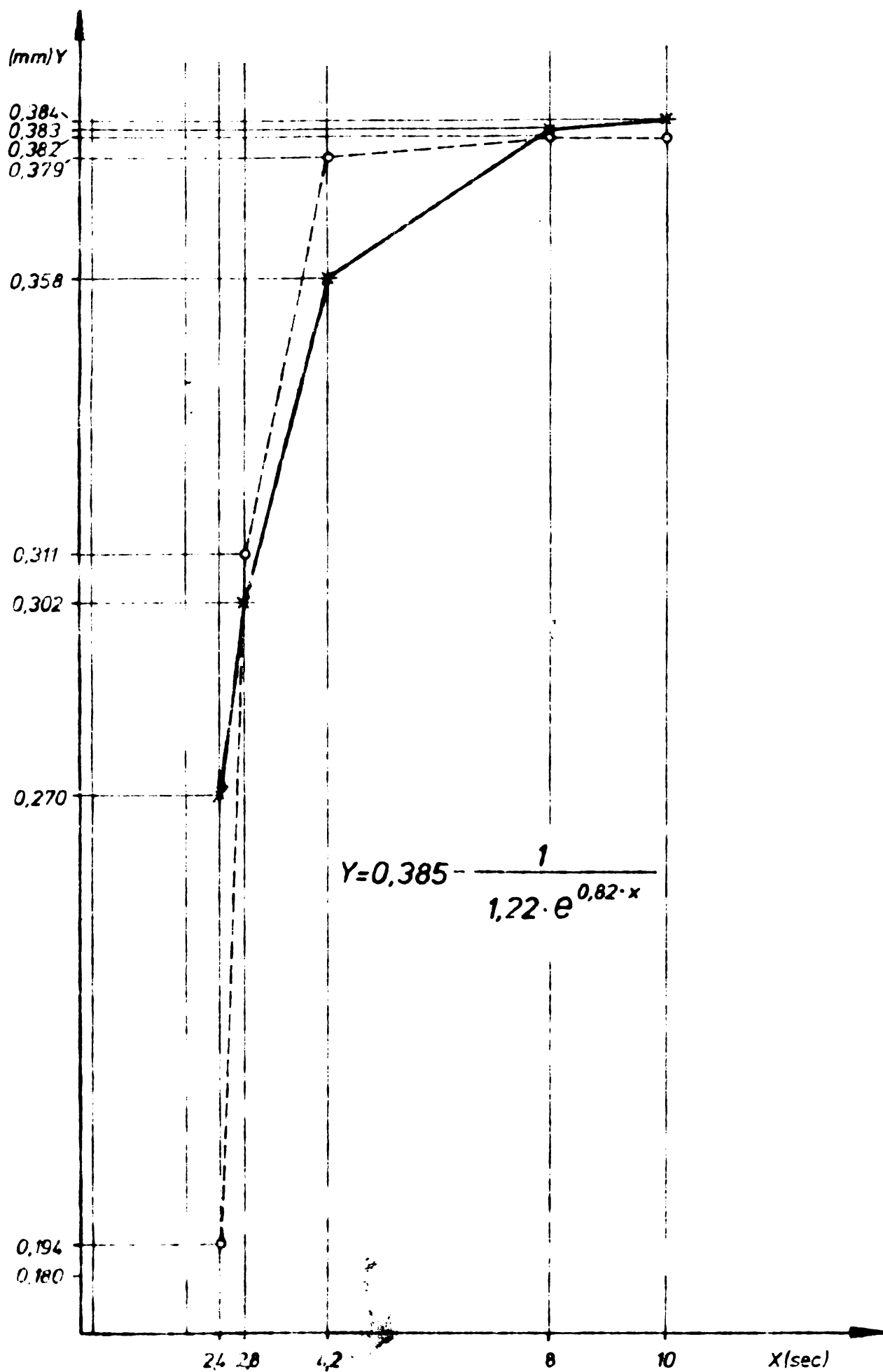


Fig. 6.10. Variația diametrului penetrării în condiția regimului ie penetrare 149 kV; 9 mA; 1000 c.p.s; 6 mm.

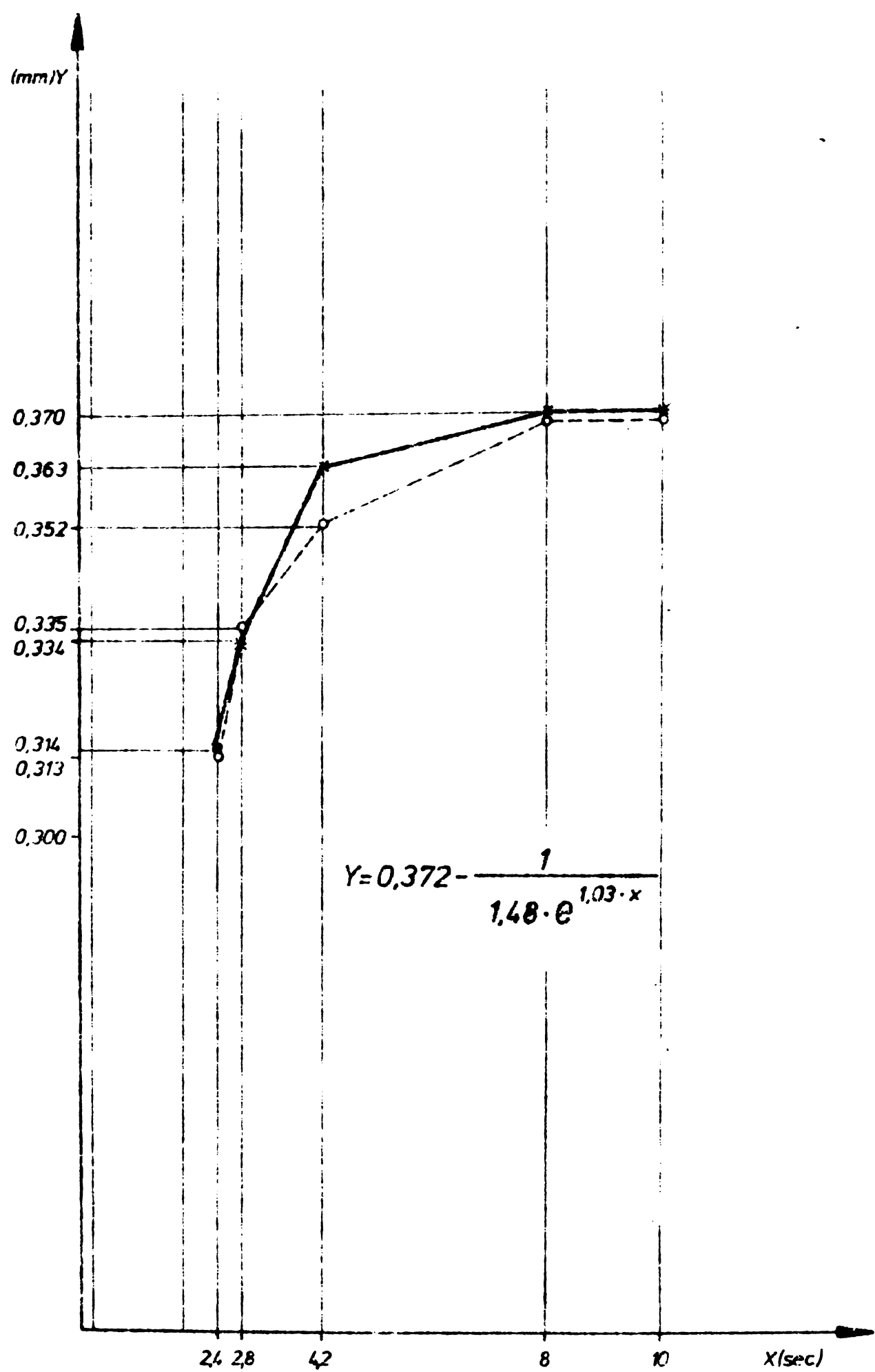


Fig.6.11. Variatia diametrului penetrarii in conditia regimului de penetrare 149 kV; 7 mA; 1000 c.p.s.; 6 mm.

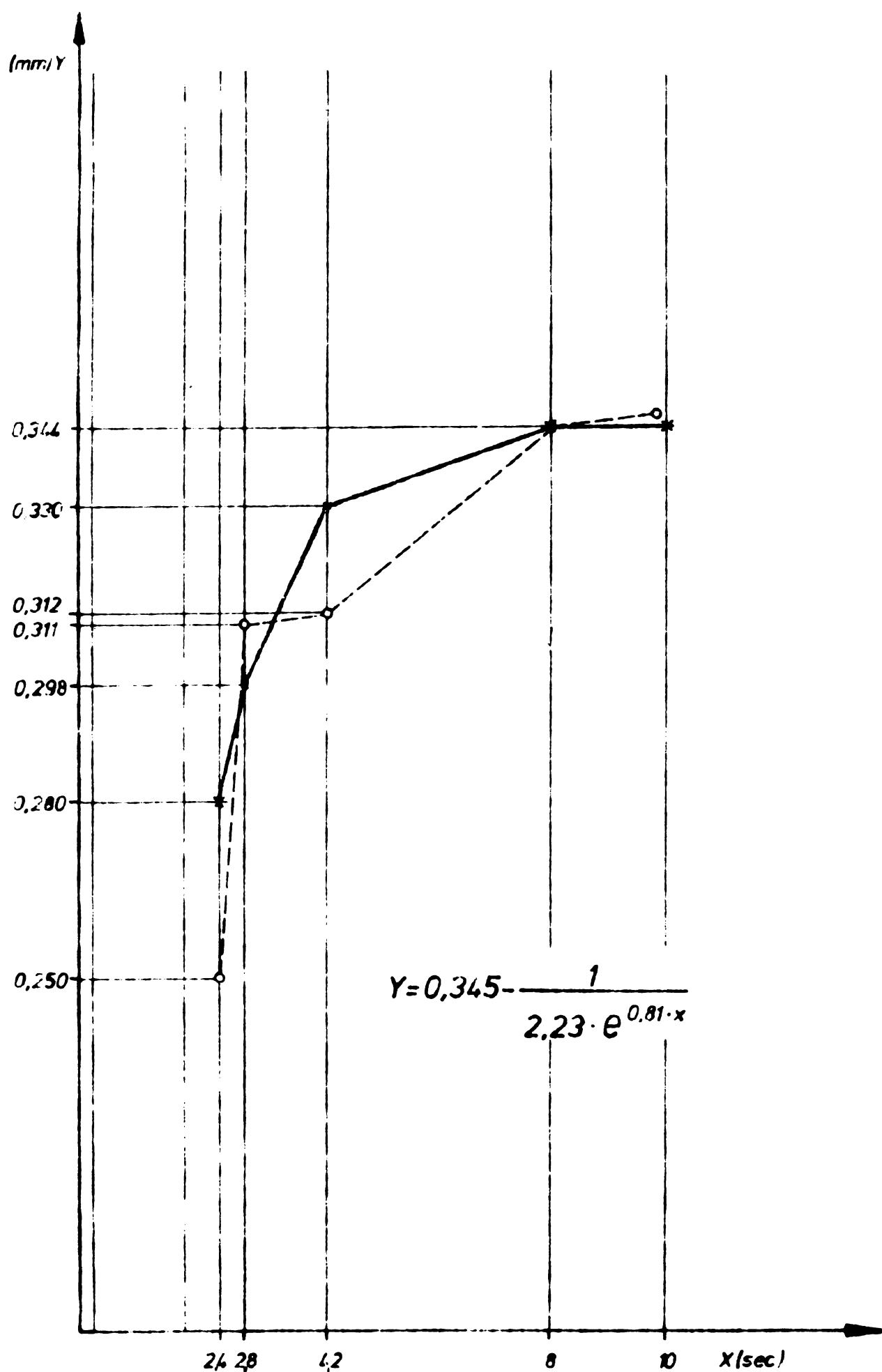


Fig. 6.12. Variatia diametrului penetrarii in conditia regimului de penetrare 134 kV; 10 mA; 1000 c.p.s.; 6 mn.

în material în zona penetrării.

c - durata penetrării este de ordinul secundelor, ea fiind funcție de mărimea voltajului de accelerare, intensitatea fascicolului de electroni și grosimea piesei de prelucrat.

d - ecuația penetrării are forma exponentială având o pantă foarte mare pînă la timpul de penetrare de 4,2 sec după care pantă scade foarte mult

e - pantă ecuației de penetrare este invers proporțională cu frecvența emisiei fascicolului, exemplu regimurile de lucru 149 kV; 10 mA; 1000 c.p.s. și 149 kV; 10 mA; 350 c.p.s. 149 kV; 7 mA; 1000 c.p.s. și 149 kV; 7 mA; 350 c.p.s. la grosimea de 9,3 mm

f - durata mică a penetrării necesită sisteme de reglare foarte rapidă în cazul executării mai multor alezaje cum este cazul filtrelor, filierelor pentru industria textilă sau a orificiilor de răcire, lucru care nu este economic să se realizeze mecanic prin deplasarea piesei. Automatizarea în acest caz se pretează foarte bine prin devierea fascicolului cu ajutorul unor bobine de deflectie montate sub bobina de focalizare și care să asigure devierea fascicolului pe cele două coordinate plane ale mașinii x și y. Aplicarea acestui sistem de deviere se pretează foarte bine la mecanizare cu ajutorul calculatorului, asigurîndu-se și grupări de alezaje conform unui program dorit. Sistemul de deviere al fascicolului asigură precizii dimensionale ridicate d.p.d.v. al distanței dintre alezaje deoarece este eliminată inertie mecanică a sistemului de deplasare a piesei cît și jocurile mecanice ale acestuia, lucru ce este foarte important ținînd cont de dimensiunile ce se prelucră.

g - penetrarea diferitelor alezaje se face prin reglarea diametrului de focalizare al fascicolului eliminîndu-se operația de înlocuire și ascuțire a sculei cum se procedează la sistemele clasice

h - în condițiile același focalizări și reglări a diametrului fascicolului de electroni, mărimea alezajului este direct influențată de intensitatea fascicolului în cazul păstrării unui voltaj de accelerare constant

i - durata penetrării este direct proporțională cu

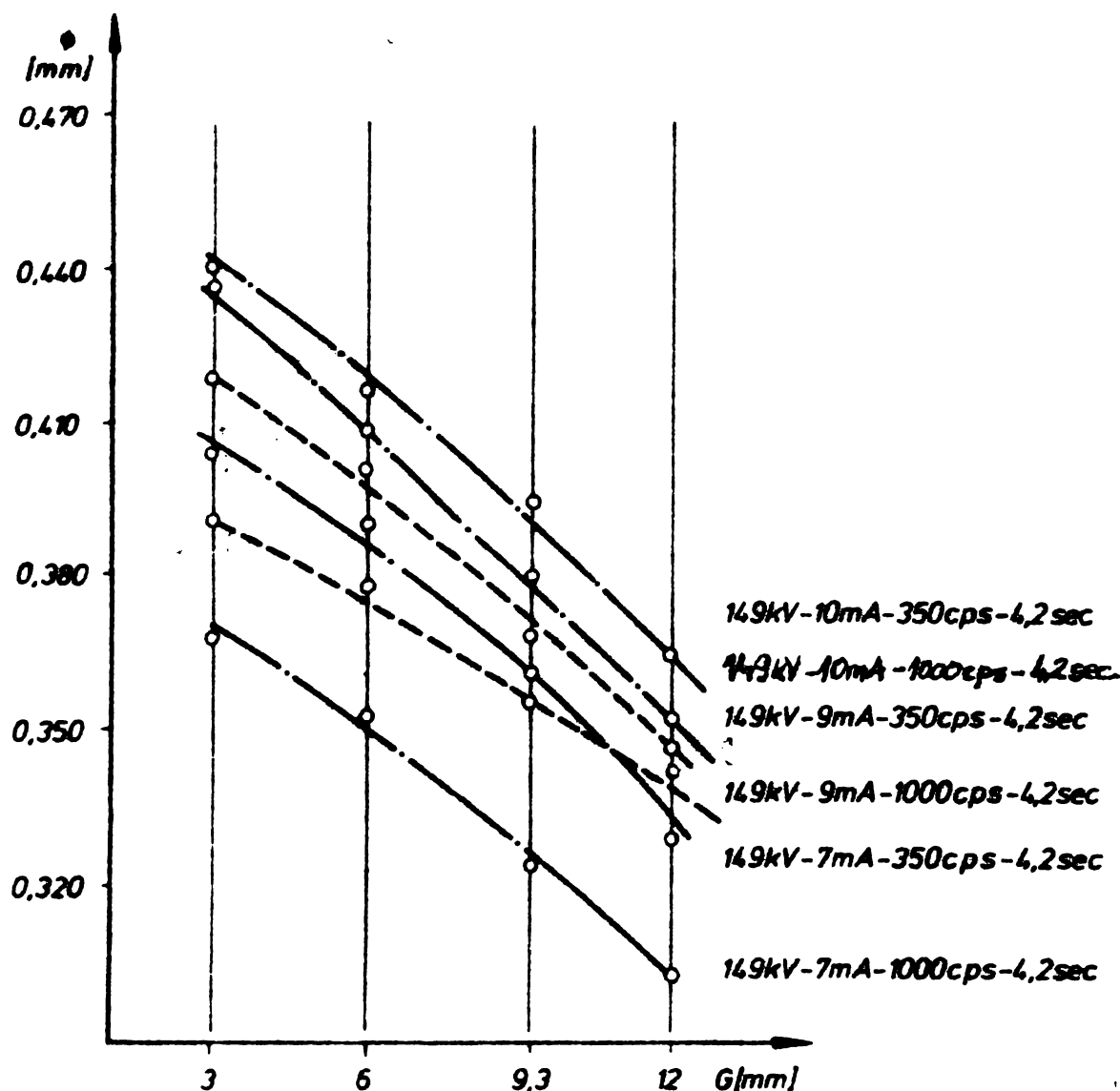


Fig. 6.13. Variatia diametrului orificiului la $t=4,2$ sec.

grosimea piesei de prelucrat

j - în condițiile penetrării cu fascicol de electroni dacă se obține diametrul orificiului apropiat de cel al fascicoului, procesul de penetrare începează imediat, orificiul obținut nu se mai largeste și nici nu se mai încalzește piesa având în vedere că ea practic nu mai este supusă bombardamentului fascicoului de electroni.

k - în condițiile varierii intensității curentului fascicoului la aceiasi tensiune de accelerare și condiții optime la 70% valorile diametrelor obținute scad la 83% față de valorile initiale.

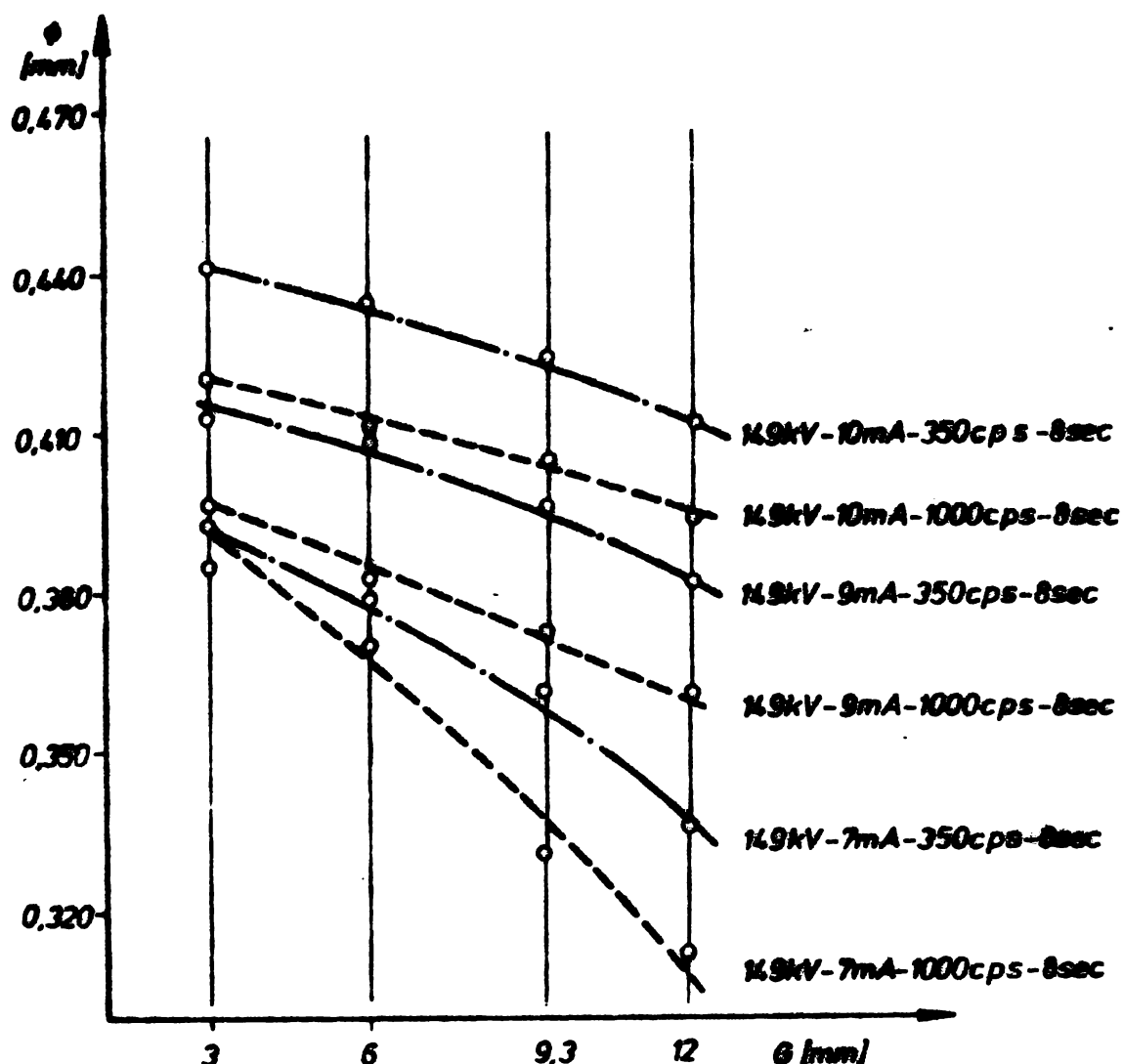


Fig.6.14. Variatia diametrului orificiului la $t=8$ sec.

l - in conditiile varierii tensiunii de accelerare a fascicoului la aceiasi intensitate si conditiile optice la 89,9% valorile diametrelor obtinute scad la 83% fata de valorile initiale

m - in conditiile scaderii si a voltajului de accelerare ca si a intensitatii cu 70% se obtin valori ale diametrului in valoare de 64,9% din diametrele initiale, lucru ce conforma scaderea voltajului de accelerare duce la o scadere mult mai rapida a diametrului alezajului.

Conform tabelului 6.2 se constata

a - in conditiile aceliasi regim si parametrii de lucru variatia diametrului este invers proportionala fata de adincimea de penetrare

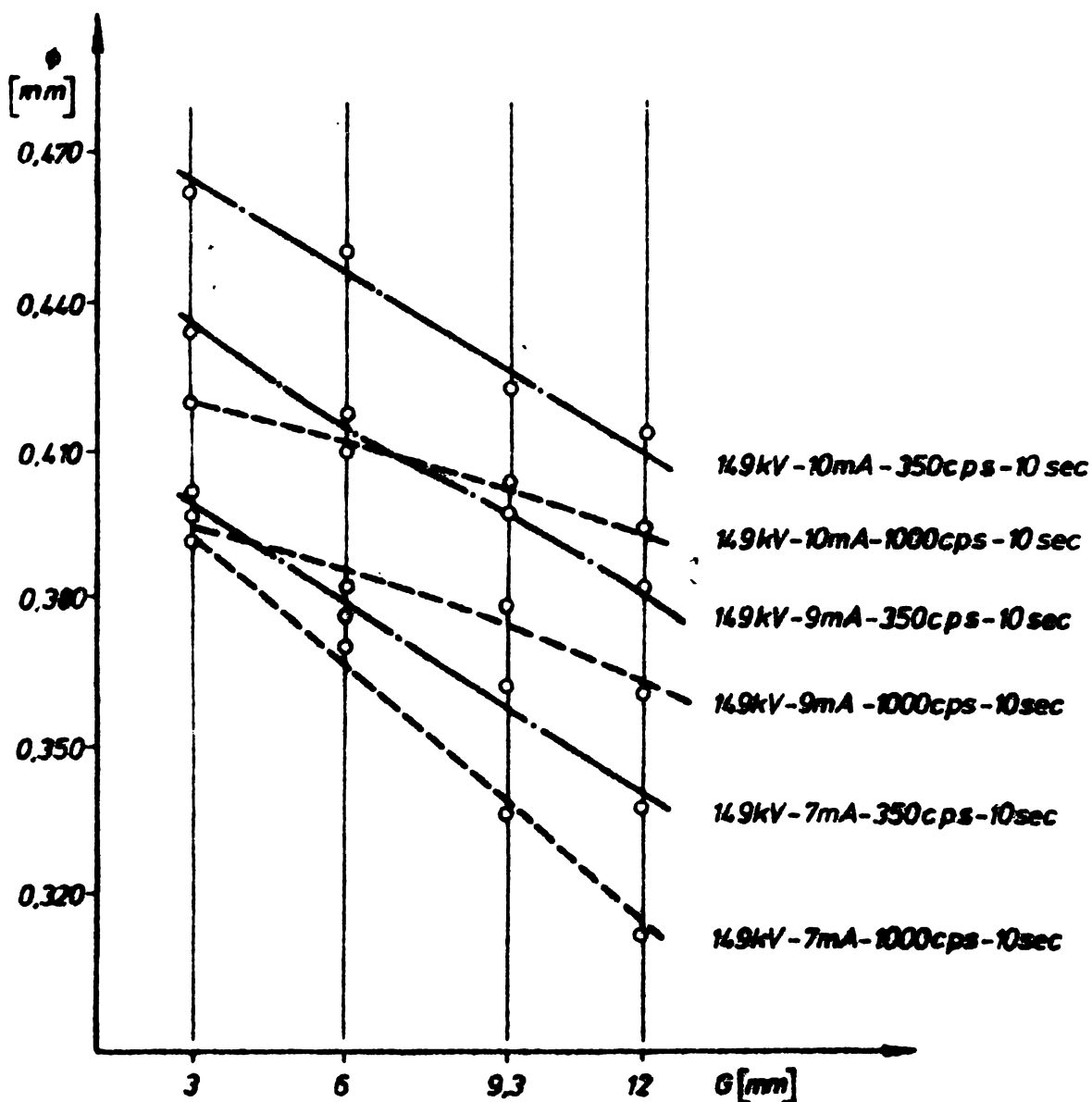


Fig. 15. Variatia diametrului orificiului la $t=10$ sec.

b - variația diametrilor aleajelor este mult mai mare decât în cazul de lucru cu i-mici și devine mult mai mică în cazul de lucru cu i-mari

c - variația diametrilor aleajelor este influențată într-o măsură de lucru cu mașinii.

Variatia diametrului alezajului
functie de grosimea pielei si a
regimului de lucru.

Tabloul 6.2

Diametru alezaj (mm)				Regim de lucru			
3	6	9,3	12	kV	mA	c.p.s.	t sec.
0,402	0,450	0,424	0,420	149	10	350	10
0,452	0,450	0,424	0,420	149	10	350	10
0,424	0,408	0,396	0,380	149	9	350	10
0,400	0,382	0,381	0,388	149	7	350	10
0,438	0,436	0,418	0,412	134	10	350	10
0,426	0,404	0,384	0,372	134	9	350	10
0,386	0,364	0,342	0,322	134	7	350	10
0,420	0,411	0,404	0,394	149	10	1000	10
0,396	0,382	0,378	0,361	149	9	1000	10
0,391	0,370	0,336	0,313	149	7	1000	10
0,352	0,344	0,340	0,328	134	10	1000	10
0,336	0,332	0,326	0,316	134	9	1000	10
0,324	0,319	0,310	0,307	134	7	1000	10
0,412	0,436	0,424	0,412	149	10	350	3
0,410	0,409	0,396	0,382	149	9	350	3
0,393	0,378	0,362	0,342	149	7	350	3
0,420	0,411	0,404	0,394	149	10	1000	3
0,396	0,382	0,378	0,361	149	9	1000	8
0,392	0,370	0,336	0,312	149	7	1000	8
0,440	0,415	0,383	0,365	149	10	350	4,2
0,437	0,410	0,380	0,352	149	9	350	4,2
0,404	0,390	0,360	0,329	149	7	350	4,2
0,416	0,400	0,370	0,348	149	10	1000	4,2
0,391	0,379	0,354	0,342	149	9	1000	4,2

Conform tabelului 6.2 se pot prezenta variatiile
dimensiilor de penetrare functie de grosimea materialului
prin lucru (fig.6.13; 6.14; 6.15).

CĂRTEOLUL 7. STUDIUL ACȚIUNII INFLUENȚEI PARÂMETRILOR DE PRELUCRARE CU UN FASCICOL DE ELECTRONI, ASUPRA MODIFICAȚIILOR DE SPARI ÎN STRATUL MARGINAL

A fost abordat acest studiu deoarece din bibliografia consultată am constatat că s-au studiat mai puțin aceste aspecte, deși pentru comportarea materialului în exploatare aceasta are o importanță deosebită. În acest sens s-au studiat macro și microstructural precum și influența asupra modificării microdurității.

Pentru cercetări au fost admise în limitele considerate valori de putere între 134 kV și 7 mili și 149 kV și 10 mA pulsătii de 350 și 1000 cicluri pe secundă cît și fascicol continuu, acțiunea în timp de la 0,2 sec la 10 sec.

S-a studiat proba de oțel de construcție cu următoare compozitie chimică : C 0,22%, Si...0,25%, Mn...0,5%, ...0,03%, ...P,04%.

7.1. Cercetarea macroscopică.

Prob. 1a au fost pregătite metalografic conform prevederilor STAS 4202-74 și au fost cercetate cu ajutorul unui microscop statoric la mărimea M:1.

7.1.1. Prelucrarea oțelului de construcție cu pulsătia de 350 cicluri pe secundă.

Executând prelucrarea cu aceeași pulsătie 350 cps dar cu oțeluri și tempi de lucru diferenți se obțin diverse calități de suprafață prelucrate după cum se poate constata din macrostructurile prezентate în figurile de mai jos.

În planșele nr.7.1, 7.2 și 7.3 sunt prezентate o parte din microfotografii care din analiza cărora se constată următoarele :

1 - după acțiunea fascicoului de electroni materialul pe direcția fascicoului se topesc, o parte vaporizindu-se îndepărterea făcându-se atât prin vapori cît și microparticule topite în o parte din materialul topit rămâne pe marginile crăpăciului și este format solidificându-se.

- după 0,2 sec. conform fig.7.1.1, se constată că stratul de oțel este parțial lăsat să răstea raportului marș între

MASURATORI DE DURITATE IN DIFERITE ZONE ALE PROBELOR
PRELUCRATE CU DIFERITE ENERGII ALE FLUXULUI DE ELECTRONI

Tabelul nr 7.1

Pulsatii	Putere	Temp	DISTANTA DE LA MARGINEA CANALULUI - mm -															
			0,03			0,18			0,35			ZONA MASURATA						
CPS	kV x mA	s	A	B	C	A	B	C	A	B	C	A	B	C				
350	4,9 x 10	0,2	Val.	366	272	254	357	397	519	376	322	299	348	215	159			
		rate	masu	314	224	272	299	357	503	420	299	330	279	330	222	190		
			medii	283,6	405,3	3410	285,8	292,1	272,8	285	254	299	339	357	272	397		
	14,9 x 10	2,4	Val.	299	285	330	519	473	387	306	285	397	366	330	339	314	366	
		rate	masu	366	397	409	420	387	420	409	397	330	333	314	330	348	397	
			medii	347,6	434,3	354,0	354,0	352,0	352,0	362,0	362,0	343,5	343,5	428,5	428,5	299,3	307,8	
1000	14,9 x 10	2,8	Val.	322	387	348	143	170	228	202	143	238	366	356	322	194	215	
		rate	masu	285	322	272	233	224	224	228	243	285	330	238	233	357	206	
			medii	308,5	199,6	210,8	210,8	210,8	210,8	210,8	210,8	333,8	250,5	233,3	233,3	289,2	261,8	
	14,9 x 10	10	Val.	330	272	314	322	272	254	228	206	194	420	420	366	238	194	
		rate	masu	346	322	330	322	285	219	376	409	339	198	285	238	219	285	
			medii	317,2	303,4	211,7	211,7	211,7	211,7	211,7	211,7	388,3	232,6	232,6	232,6	350,0	238,5	
ct	14,9 x 10	2,4	Val.	322	299	348	322	194	260	219	224	224	330	397	239	357	279	
		rate	masu	243	243	219	219	219	219	177	177	292	292	285	285	275	275	
			medii	303,0	248,7	211,0	211,0	211,0	211,0	329,5	329,5	291,0	291,0	222,0	222,0	312,0	212,7	
	14,9 x 10	2,8	Val.	180	187	183	194	254	260	187	173	183	260	206	173	194	164	
		rate	masu	183	180	215	330	322	206	180	190	190	339	330	206	190	190	
			medii	184,6	262,5	185,8	185,8	185,8	185,8	227,5	227,5	275,6	275,6	197,8	197,8	173	168	
	14,9 x 10	10	Val.	249	228	228	254	215	215	266	215	260	177	260	224	156	295	322
		rate	masu	210	279	266	339	228	266	215	322	228	215	260	292	266	206	143
			medii	243,3	252,8	260,1	260,1	260,1	260,1	226,6	226,6	276,3	276,3	187,0	187,0	328,2	202,2	253,6

PLANSA Nr.7.1

Regimul de lucru: 350 cps; 149 kV, 10 mA

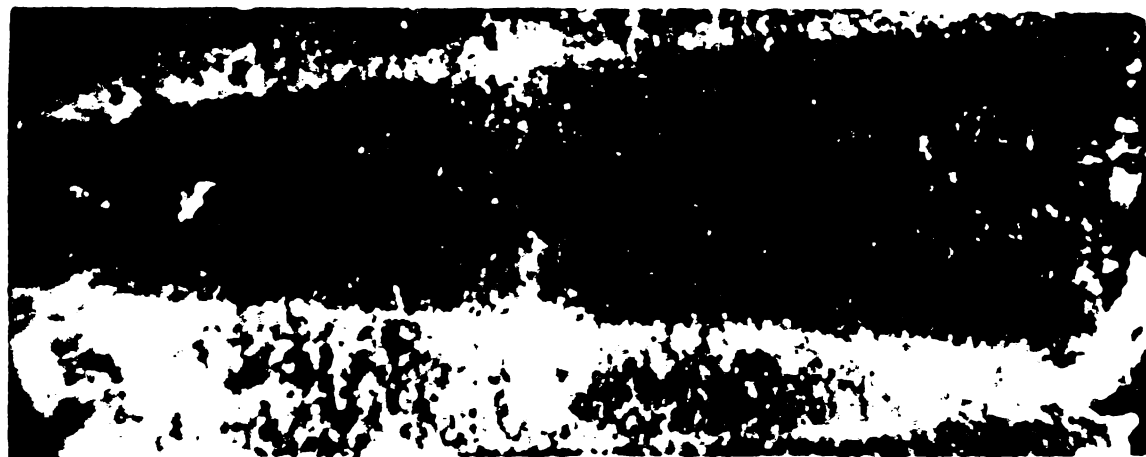


Fig. 7.1.1 t=0,2 sec

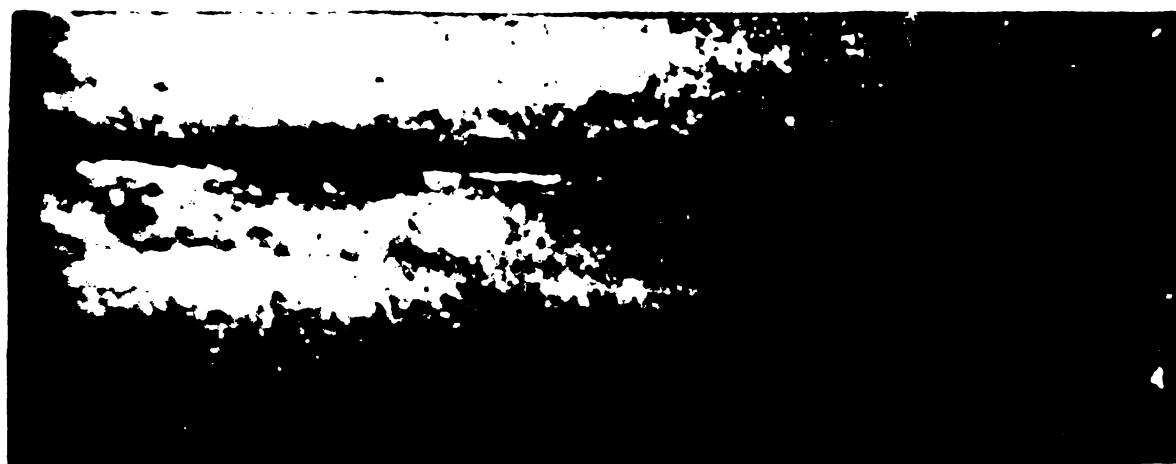


Fig. 7.1.2 t=1,8 sec



Fig. 7.1.3 t=2,4 sec

PLANSA Nr.7.1 (continuare)

Regimul de lucru: 350 cps; 149 kV; 10 mA

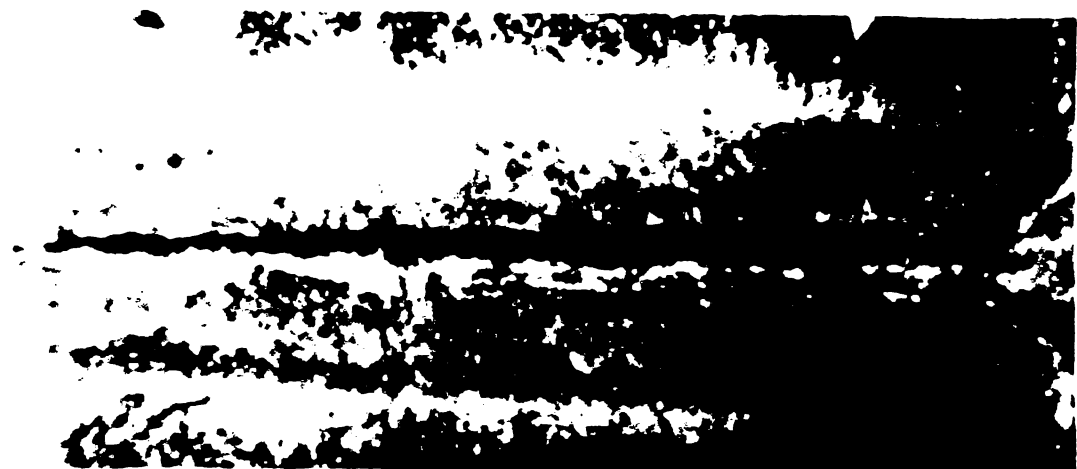


Fig. 7.1.4

$t=2,8$ sec



Fig. 7.1.5

$t=4,2$ sec

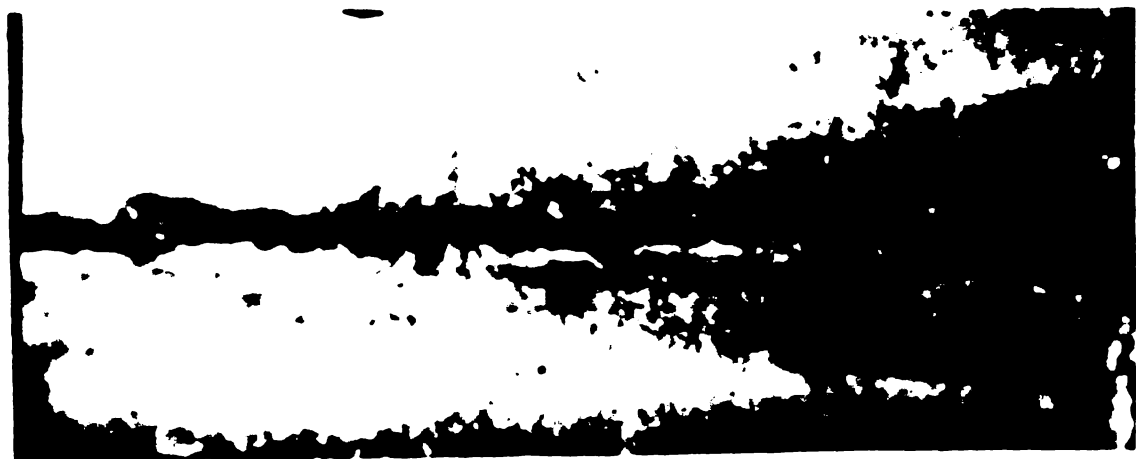


Fig. 7.1.6

$t=8$ sec

PLANSA Nr.7.1 (continuare)

condiții de lucru: 350 cps; 149 kV; 10 mA



Fig.7.1.7

t=10 sec

diametrul orificiului format și grosimea 35,43 nu s-a putut face evacuarea completă a orificiului de către materialul topit, vaporii degajați, aceștia solidificindu-se pe peretii orificiului creindu-se cavități a căror părți inferioare au fost străpuse de fascicol și penetrate. Peretii canalului au în această cauză asperitați mari.

c - cavitățile formate se regăsesc pe partea inferioară a materialului, parte care a venit mai târziu în contact cu fascicoul și datorită forțelor de capilaritate nu a reușit să fie finală de orificiu prelucrat la diametrul urat.

d - orificiul obținut conform fig.7.1.6, corespunzător timpului de lucru de 8 sec are finalizată partea superioară iar microasperitațiile se recue în partea inferioară a canalului.

e - orificiul obținut conform fig.7.1.7, corespunzător timpului de lucru de 10 sec reprezintă un orificiu gata prelucrat cu microasperitați mici cu pereti bine conturați.

În condițiile reducerii puterii fascicoului prin păstrarea voltajului de accelerare și acțierea intensității

FLANSA Nr.7.2

Regimul de lucru: 350 cps; 149 kV; 7 mA



Fig.7.2.1

$t=0,2$ sec

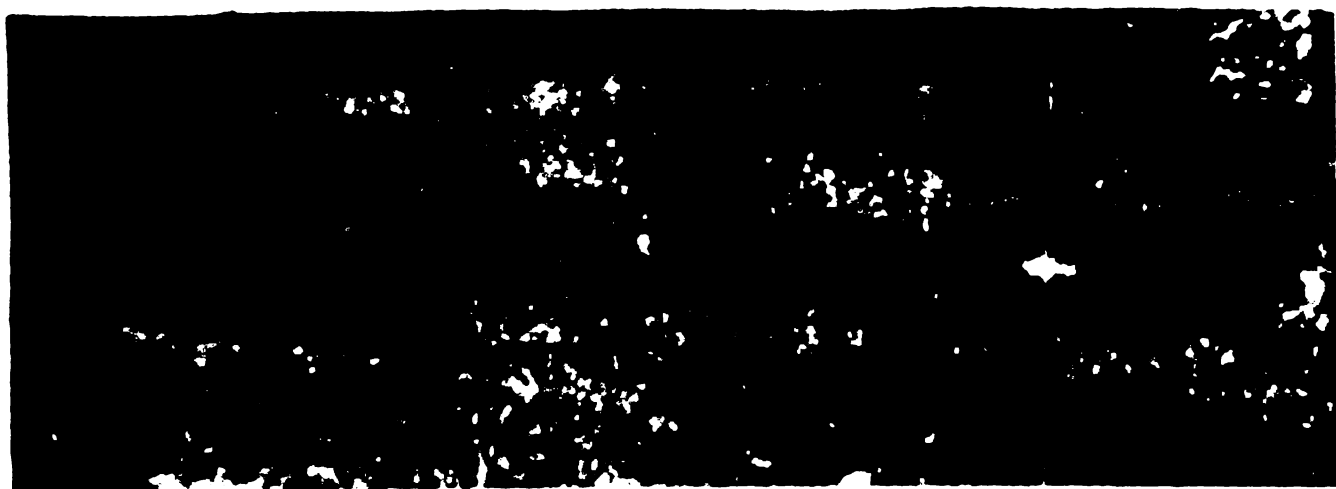


Fig.7.2.2

$t=1,8$ sec

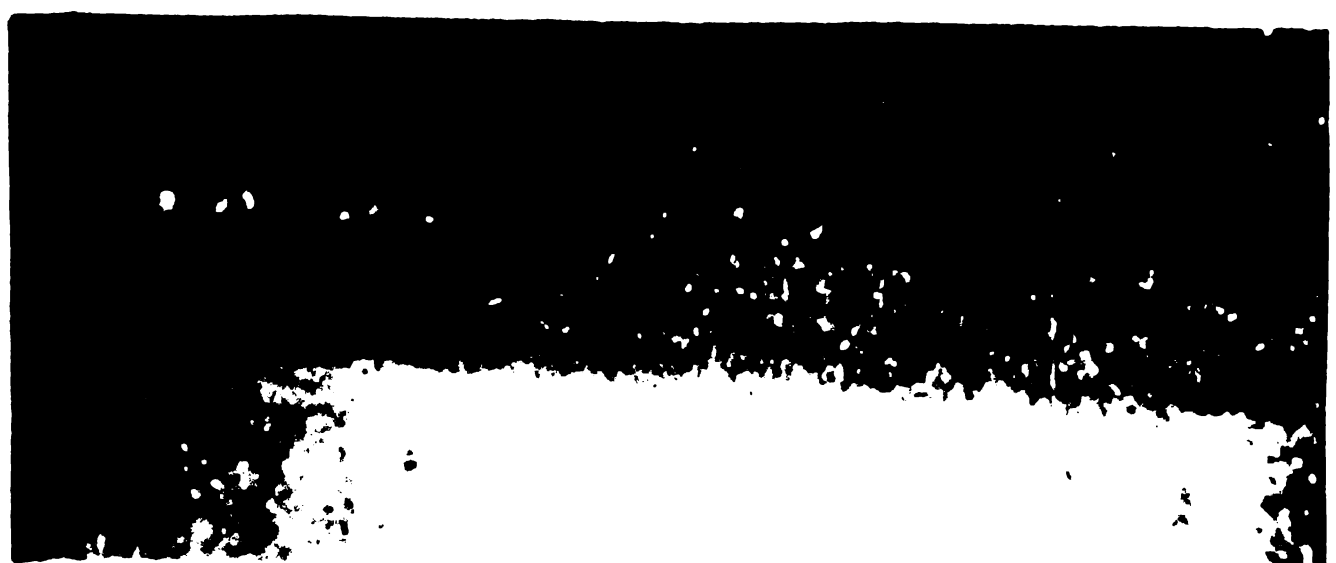


Fig.7.2.3

$t=$, sec

PLANSA Nr.7.2 (continuare)

Regimul de lucru: 350 cps; 149 kV; 7 mA



Fig.7.2.4

$t=2,8$ sec

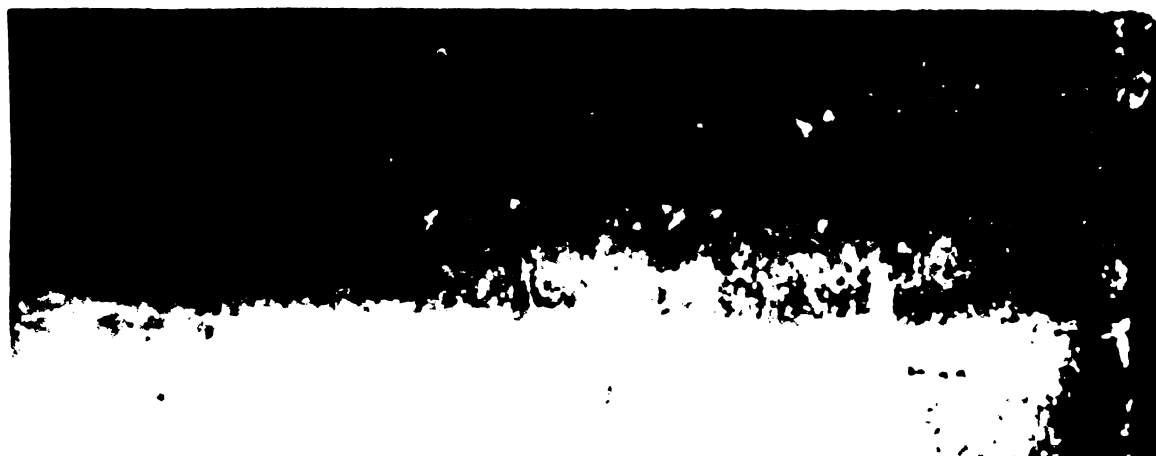


Fig.7.2.5

$t=4,2$ sec

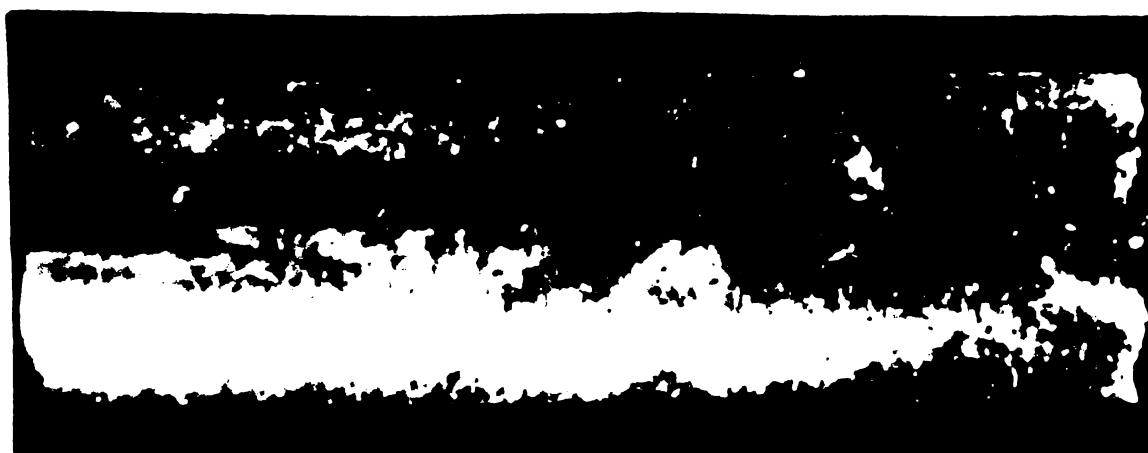


Fig.7.2.6

$t=$ sec

PLANSA Nr.7.2 (continuare)

Regimul de lucru: 350 cps; 149 kV; 7 mA

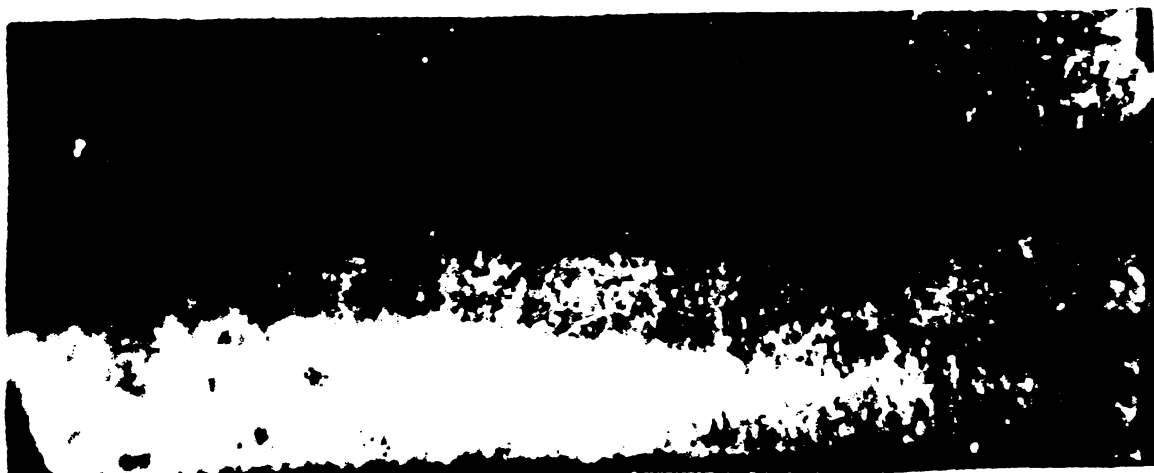


Fig.7.2.7

t=10 sec

fascicolului se desprind următoarele :

a - la timpul de lucru de 0,2 sec conform fig.7.2.1 nu se mai obține o penetrare a materialului ca în fig.7.1.1. Cavitatele formate au forme lunguiete fiind caracterizate prin părți inferioare groase provenite din materialul topit care neputind să părăsească orificiul s-au solidificat și care vor fi în final evacuate parțial sub formă lichidă sau vaporizată.

b - suprafața periferică a canalului are microasperități mult mai mari la aceleași timpuri de lucru ca la regimul prezentat în figurile din planșa 7.1.

c - diametrele cavitațiilor cresc odată cu timpul de lucru, ele fiind o stare tranzitorie pînă la penetrarea finală, fig.7.2.1 comparativ cu fig.7.2.2.

d - orificiul obținut la timpul de prelucrare de 10 sec conform fig.7.2.7, au microasperități pe partea periferică mai mari decît cele din fig.7.1.7, iar diametrul inferior este cu 15% mai mic față de cel precedent.

In condițiile reducerii puterii fascicolului prin păstrarea intensității fascicolului și scăderea tensiunii de accelerare a fascicolului se observă următoarele :

a - se obține penetrare la timpul de lucru de 0,2 sec

PLANSA Nr.7.3

Regimul de lucru: 350 cps; 134 kV; 10 mA



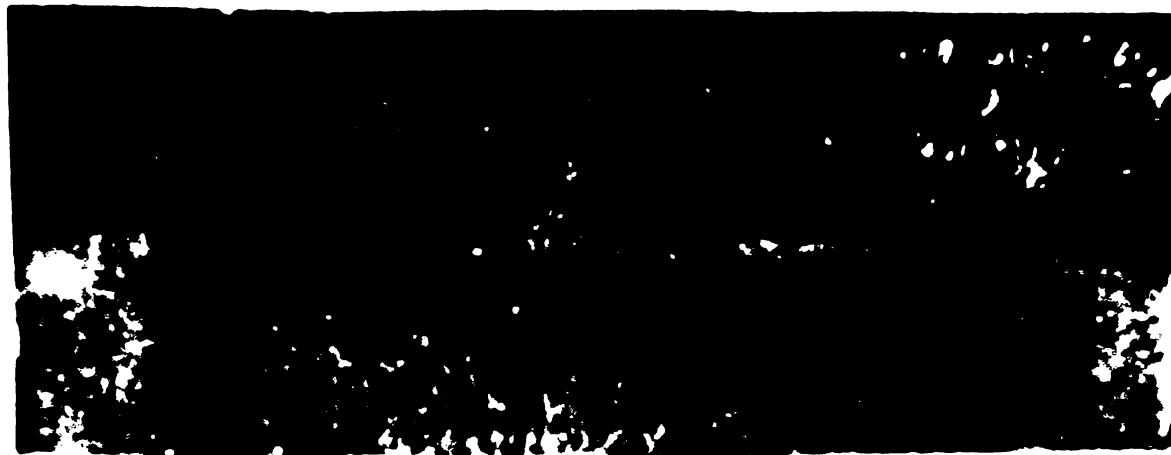
Fig.7.3.1

$t=0,2$ sec.



Fig.7.3.2

$t=1,6$ sec.



$t=1,6$ sec.

PIANSA Nr.7.3 (continuare)

Regimul de lucru: 350 cps; 134 kV; 10 mA

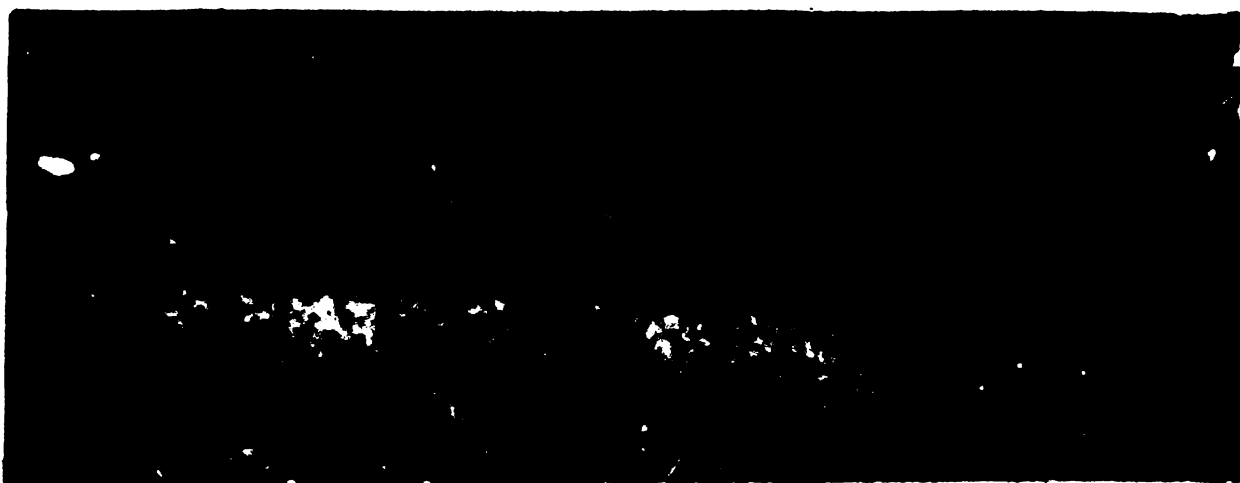


Fig.7.3.4

$t = 2,8 \text{ sec.}$

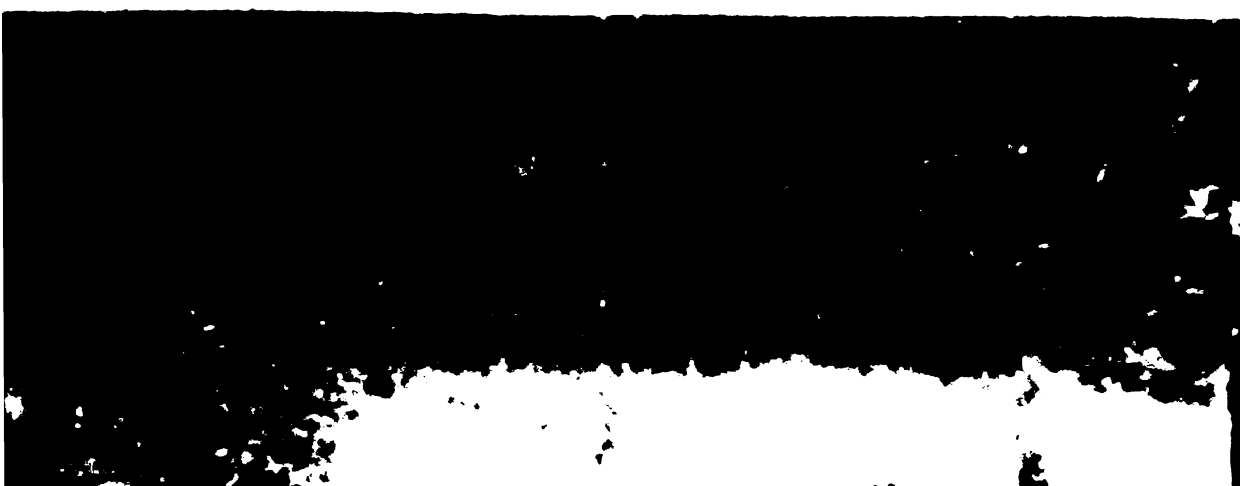


Fig.7.3.5

$t = 4,2 \text{ sec.}$



$t = 8 \text{ sec.}$

2011: 6-20; 17-27; 2-30

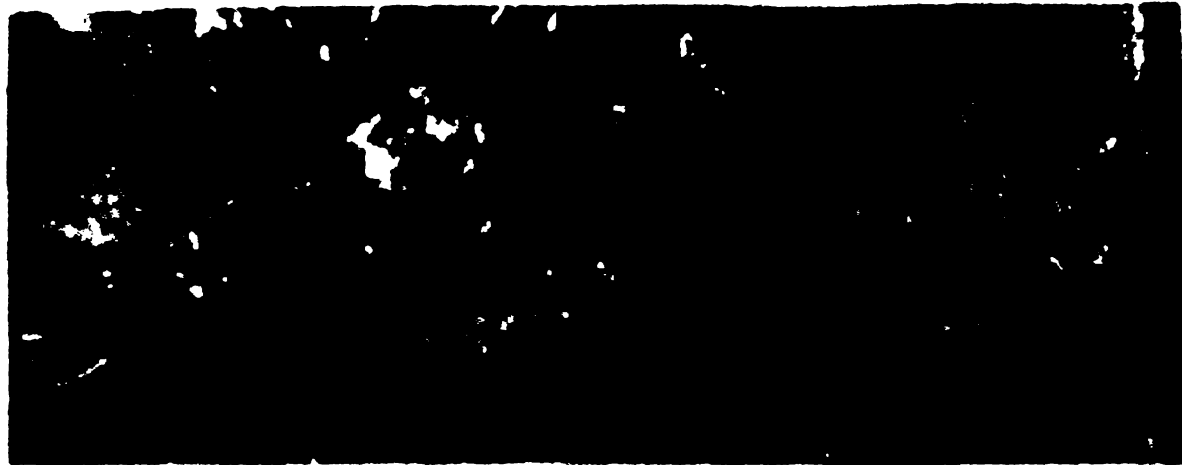


Fig. 7.3.7

t=10 sec.

conform fig.7.3.1 orificiul fiind bine conturat din cavități ce s-au format în material pe drumul parcurs de fascicol

b - materialul topit și solidificat pe pereteii orificiului este mult mai gros comparativ cu cel din figurile planșei 7.1 lucru ceea ce atestă că datorită voltajului mic de accelerare energia cinetică a fascicoului este mai mică și cantitatea de material dizlocată de fascicol se face pe calza tepirii și mai puțin pe cea a vaporizării

c - microasperităile peretilor orificiilor sunt mult mai rare decat în cazul celor corespunzătoare din planșele 7.1

- "Amestrul părții superioare a orificiului este să fie în cazul celor corespunzătoare din planșele , deoarece datorindu-se aglomerării de material
 - ilificat aici
 - patial microasperităților este mult mai mare decât
aceea în planșele 7.1 și 7.2.

de înțeles că nu se poate concluziona că în
cadrul unor flăcări electronice cu o frecvență
conformă cu valoarea limită de setare a

Fig. 7.4.1
Expt. 10 - exp; 170 KV; 1

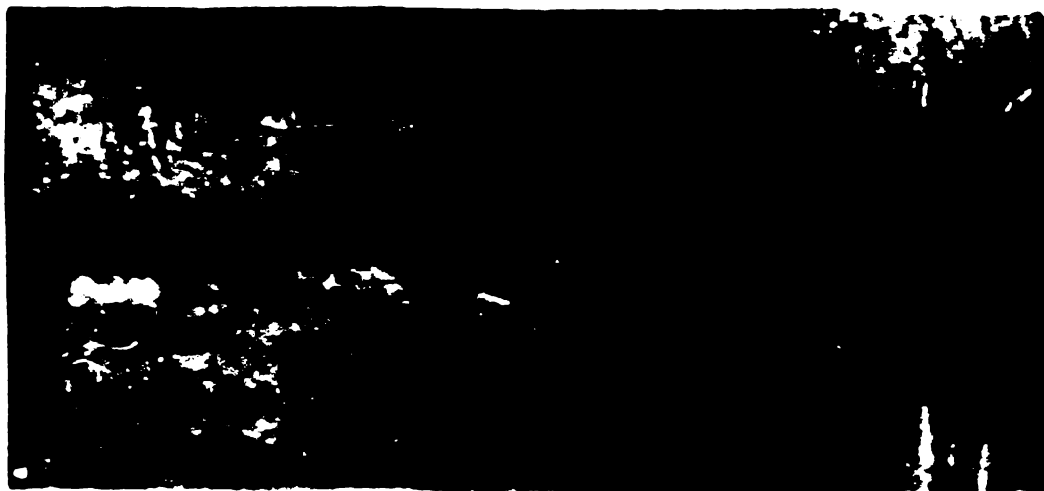


Fig. 7.4.1

$t=2,4$ sec.



Fig. 7.4.2

$t=2,3$ sec.



7.4.4. Variozătăți

Interval de lucru: 1000 cps; 149 kV; 10 m.



Fig.7.4.4

$t=10 \text{ sec}$

Fascicoului diametrul orificiului este funcție de putere, unde mari ale acestuia corespunzând puterilor mari. Tunelul se utilizează puteri mici ale fascicoului și în special ele la care s-a schimbat voltajul de accelerare al fascicoului. Orificiile au diametre mai mici. Calitatea suprafeței orificiului este calitativ superioară la fascicolele de putere mari cu același mare de accelerare. Datorită scăderii voltajului de pe peretele orificiului obținut, stratul de electroni este întotdeauna sărat și s-a solidificat în crăciun. În plus, la instalația generată de fascicul de electroni nu există încălzire.

7.4.5. Variozătăți de construcție și vîlcuri pe secundă.

Variozătăți materialului cu pulsări de lungă durată și tempi diferiți, se constată în urma creșterii numărului modificărilor în metal și pe calea creșterii producătorii pe de altă parte.

Într-o altă treaptă, variații în pulsații sunt realizate prin adăugarea unei cărăuri din fier sau fier.



Fig.2.5.1

$t=0,2$ sec.



Fig.2.5.2

$t=2,4$ sec.





Fig.7.5.4

$t=1,2 \text{ sec.}$

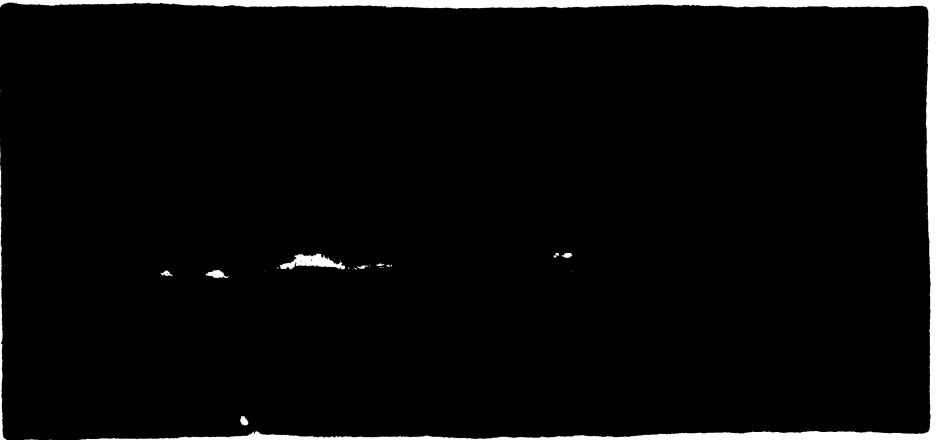


Fig.7.5.5

$t=11 \text{ sec.}$

Prălucrarea orificiului cu un fascicol de 1 strană accelerat de un voltaj de 149 kV și cu o intensitate de 1 mA este caracterizată prin:

a - orificiu conform fig.7.4.1; 7.4.2 și 7.4.3 și nu au penetrat materialul ca urmare a acțiunii fascicoului și microasperități pe perete

b - pasul microasperităților este mic dar uniformitatea lor este mare

c - străutul de material este puțin - 11000 g - rezili orificiul = străut

PLANSA Nr.7.6

Regimul de lucru: 1000 cps; 149 kV; 7 m.

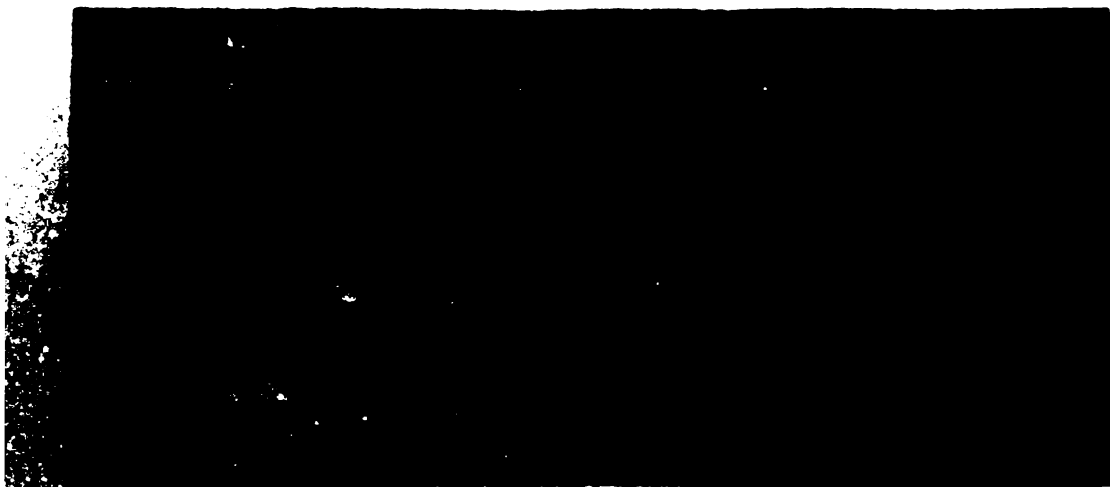


Fig.7.6.1

$t=1,3$ sec.



Fig.7.6.2

$t=7,5$ sec.



Fig.7.6.3

$t=10$ sec.

a - comparativ cu orificiul obținut cu acelaș regim de lucru dar cu frecvență de 350 c.p.s. diametrul inferior este cu 4% mai mic (tabloul 6.1).

b - în condițiile păstrării voltajului de accelerare dar a reducerii intensității fascicoului de electroni se obține:

a - penetrare cu microasperități mari lucru evidentiat de fig.7.5.1; 7.5.4; 7.5.8.

b - stratul de material topit și solidificat în orificiu este mic

c - diametrul inferior al orificiului corespunzând timpului de 10 sec fig.7.5.5 este cu 6% mai mic ceea ce în correspunzător fig.7.4.4 obținut cu regimul de lucru de 149 kV 10 mA și aceeași frecvență.

La consideren în continuare a intensității fascicoului se constată următoarele situații diferite de cele prezente pînă acum la această frecvență.

a - diametrul inferior al orificiului obținut ca urmare a prelucrării cu fascicol de electroni al probei din fig.7.6.2 este mai mic cu 16% față de cel al probei din fig.7.4.4.

Întrind un oțel de construcție cu un fascicol de electroni la care se scade voltajul de accelerare păstrîndu-se intensitatea fascicoului la maxim se constată următoarea situație diferită față de precedentele:

a - diametrul orificiului conform probei din fig. 7.7.4, prelucrat la un timp de 10 sec este cu 21% față de diametrul probei din fig.7.3.7 și cu 15% față de diametrul probei din fig.7.4.4.

Prîlucrarea rezultatelor de mai sus corespunzătoare frecvenței de lucru de 1000 c.p.s. duce la acelaș concluzii că și în cazul frecvenței de lucru de 350 c.p.s. atît doar că în acest caz diametrele sunt mai mici decît cele de la regimul de lucru anterior.

7.1.3. Prîlucrarea oțelului de construcție cu fascicol continuu.

Prîlucrarea materialului este asemănătoare cu cazurile precedente, fapt ilustrat prin fotografiile din următoarele planșe.

Datorită fascicolului continuu care exercită o încălzire uniformă a materialului presiunea fascicolului împiedicând procesul de penetrare, nu se obține perforarea materialului cu toate că se folosesc puteri și tempi mari de prelucrare.

Penetrarea cu fascicol constant de electroni cu voltaj de accelerare și intensitate mari se caracterizează prin următoarele :

a - nu s-au obținut orificii, materialul încălzindu-se dar partea topită a fost în mică măsură expulzată din orificiu.

b - microasperitațiile din partea unde s-a generat orificiul sunt mari și distanțele lăuntru sunt mari.

c - la partea superioară a orificiului s-a depus materialul topit care a fost expulzat din canal.

In condițiile reducerii voltajului de accelerare și a păstrării intensității maxime a fascicolului nu se obțin nici orificiu parțial constatăndu-se următoarele:

a - apar chiar topiri în partea superioară care generează un crater a cărui adâncime crește cu timpul de lucru.

b - sub acțiunea fascicolului de electroni materialul supus bombardamentului este influențat termic pe aceiași suprafață ca și în cazul prelucrării cu fascicol pulsatoriu.

Din compararea planșelor acestui capitol și pe baza măsurătorilor diametrelor din capitolul precedent se evidențiază faptul că din cele 3 regimuri de lucru cel care asigură o penetrare mai optimă este cel cu pulsăție de 350 cicluri pe secundă. Acest regim asigură intermitență necesară ruperii prin explozie a peliculei străbătute de electronii fascicolului. Cu cât crește numărul de cicluri pe secundă mărinindu-se timpul de acțiune a fascicolului asupra piesei, cazul la 1000 cicluri pe secundă sau fascicol continuu nu se asigură timpul necesar ruperii peliculei străpunse, presiunea fascicolului de electroni împiedicând acest lucru.

7.2. Cercetări privind modificări ale structurii otelului de construcție.

Din analiza macroscopică a rezultat că în jurul orificiului executat prin prelucrarea cu fascicol de electroni

Fig. 7.7.1

Regime de lucru: 1000 cps; 134 kV; 10 m.

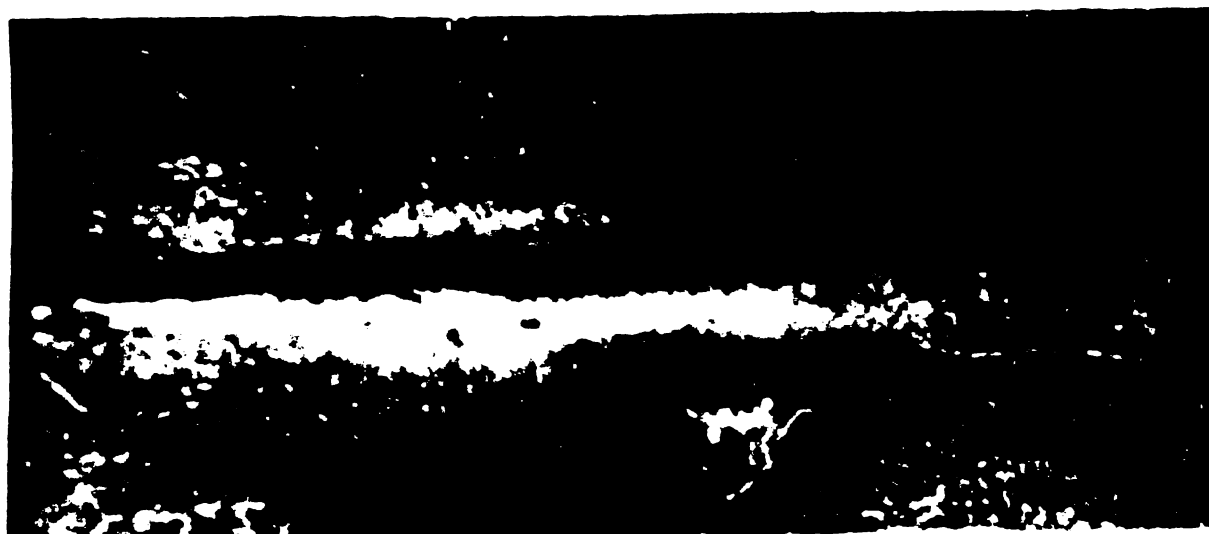


Fig. 7.7.1

t=0,2 sec



Fig. 7.7.2

t=1,8 sec



t=7 ,

FIGURA Nr.7.7 (continuado)

Velocidad de lucro: 1000 esp; 124 KV; 10 m



Fig.7.7.4

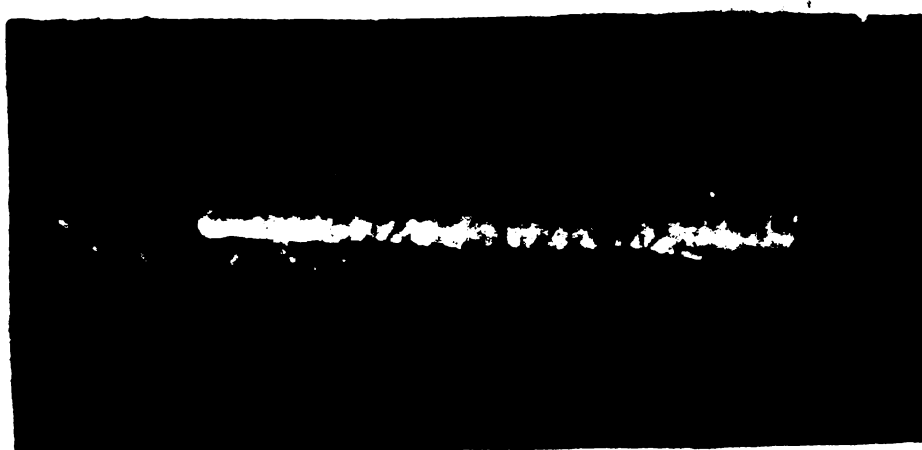
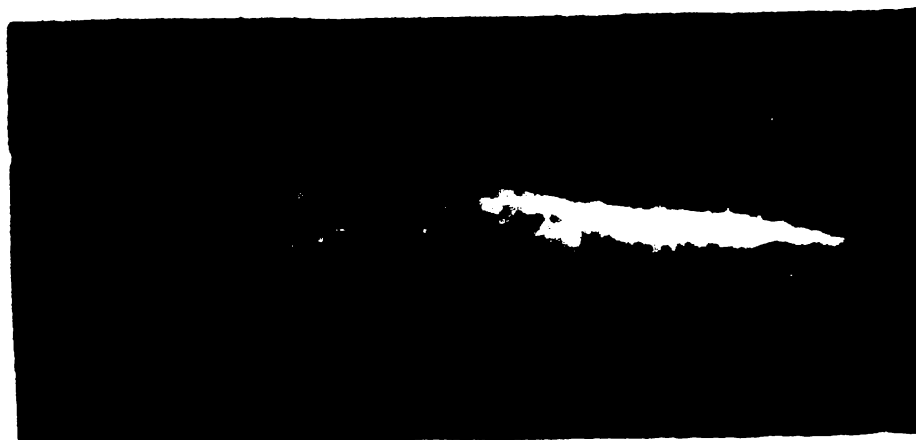


Fig.7.7.5



TM-NM Nr.7.7 (continuare)

Regimul de lucru: 1000 cps; 134 kV; 10 mA



Fig.7.7.7

$t=10 \text{ sec}$

talul a suferit transformări de fază. Cu scopul de a face judecări asupra acestor modificări structurale s-au făcut cercetări metalografice asupra stratului marginal al probelor.

Probele au fost pregătite pentru examinarea metalografică în conformitate cu prevederile STAS 4203-74. Pentru studiu s-a folosit un microscop metalografic cu posibilități fotografiere a microstructurii.

În scopul ilustrării transformărilor structurale din cîmpul orificiului prelucrat, se reproduc cîteva din microstructurile studiate.

În probele conform planșei nr.7.1 la care regimul de lucru a fost 350 c.p.s. și 149 kV 10 mA se prezintă următoarele modificări de structură.

În cîmpul înainte de prelucrare are o structură feritoțită - granulație corespunzătoare punctajului N=8 JIS - 7 (fig.7.10).

Prinindu-se transformările structurale pe cîmpul în cîmpul canalului pe toată lungimea, insistindu-se aproape că în cîmpul pătrundea fascicolul de electroni, zonei de ieșire și asupra zonelor de ieșire a fascicolului pozitivilor se observă cîteva puncte figuri 7.11.

inul + lucer: 0 esp; 115 esp;



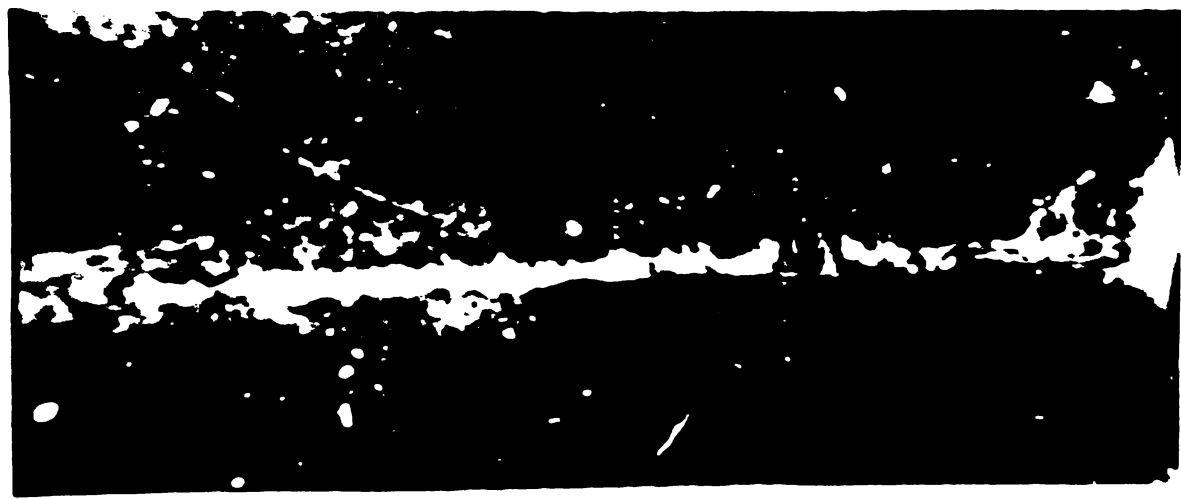


FIGURA Nr.7.8 (continuare)

Regimul de lucru: 10 cps; 149 kV; 10 m

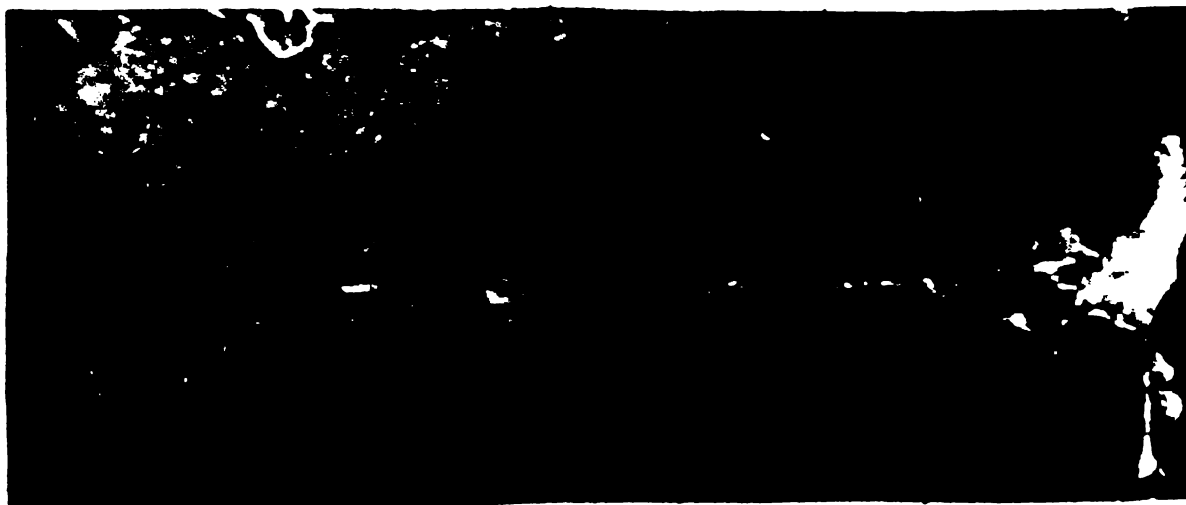


Fig.7.8.7

a. La prelucrarea orificiului timp de 0,2 sec se observă că:

- structura are caracter dendritic în zona înălțimea către fascicolul de electroni (fig.7.12).

În par cratere și fisuri în material. Se observă că craterele sunt formată din sorbită de revenire cu precipitații ferite la limitele foștilor granițe austenitici.

În zona centrală a orificiului se observă clar cratre formate în material și transformarea de tip sorbitic a structurii, nu mai apărând separări de ferită (fig.7.13).

În zona de ieșire a fascicoului de electroni se observă îngrijirea orificiului (zona 1), o ciosire a materialului și apariția structurii sorbitice (fig.7.14).

- la timpul de existență a fascicoului de electroni de 0,2 sec, în zonă 1, se observă următoarele schimbări ale structurii:

– în zonă 1 se observă o ciosire a materialului.

– în zonă 1 se observă o îngrijire a orificiului.

– în zonă 1 se observă o formă de cratere.

– în zonă 1 se observă o formă de cratere.

– în zonă 1 se observă o formă de cratere.

– în zonă 1 se observă o formă de cratere.

PLANCK Nr.7.9

Regimul de lucru: 0 cps; 134 kV; 10 mA

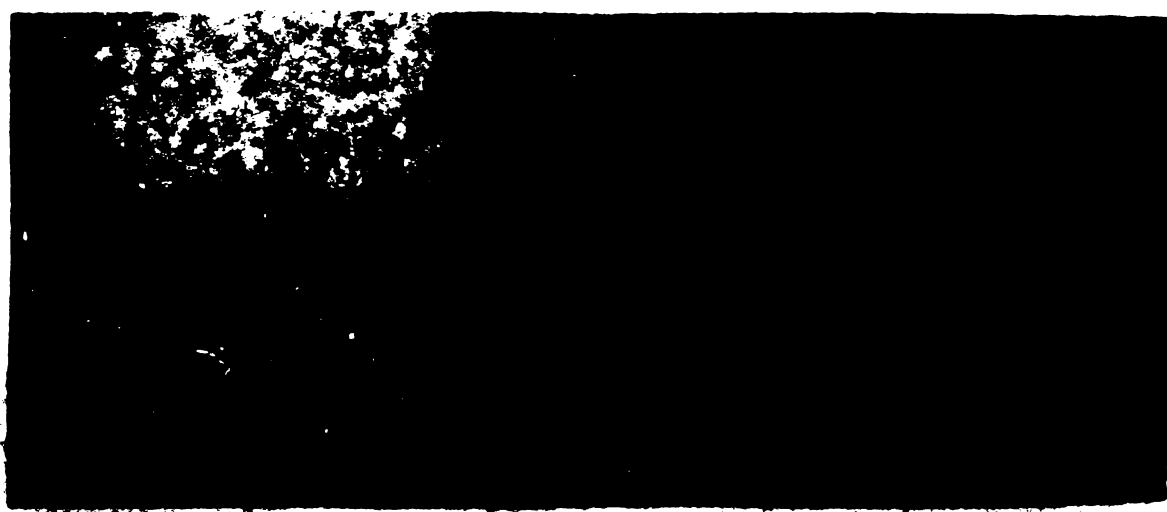


Fig.7.9.1

t=0,2 sec



Fig.7.9.2

t=1,8 sec

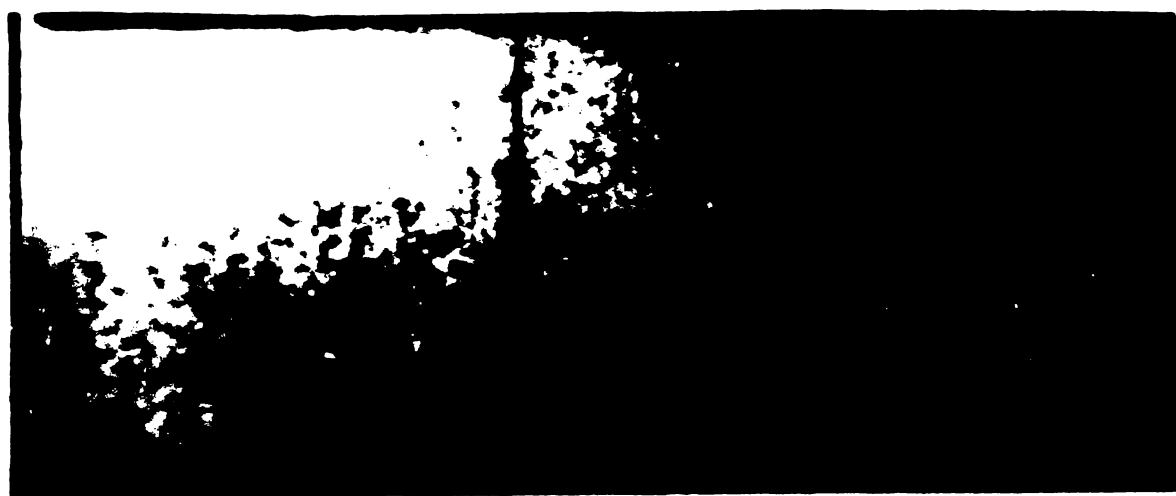


Fig.7.9.3

t=2,2 sec



...
 $t = 1.5 \text{ sec}$



$t = 2.0 \text{ sec}$

$t = 3 \text{ sec}$



...



Fig.7.10. Structura ferito-perlitica
a materialului de bază.

1000

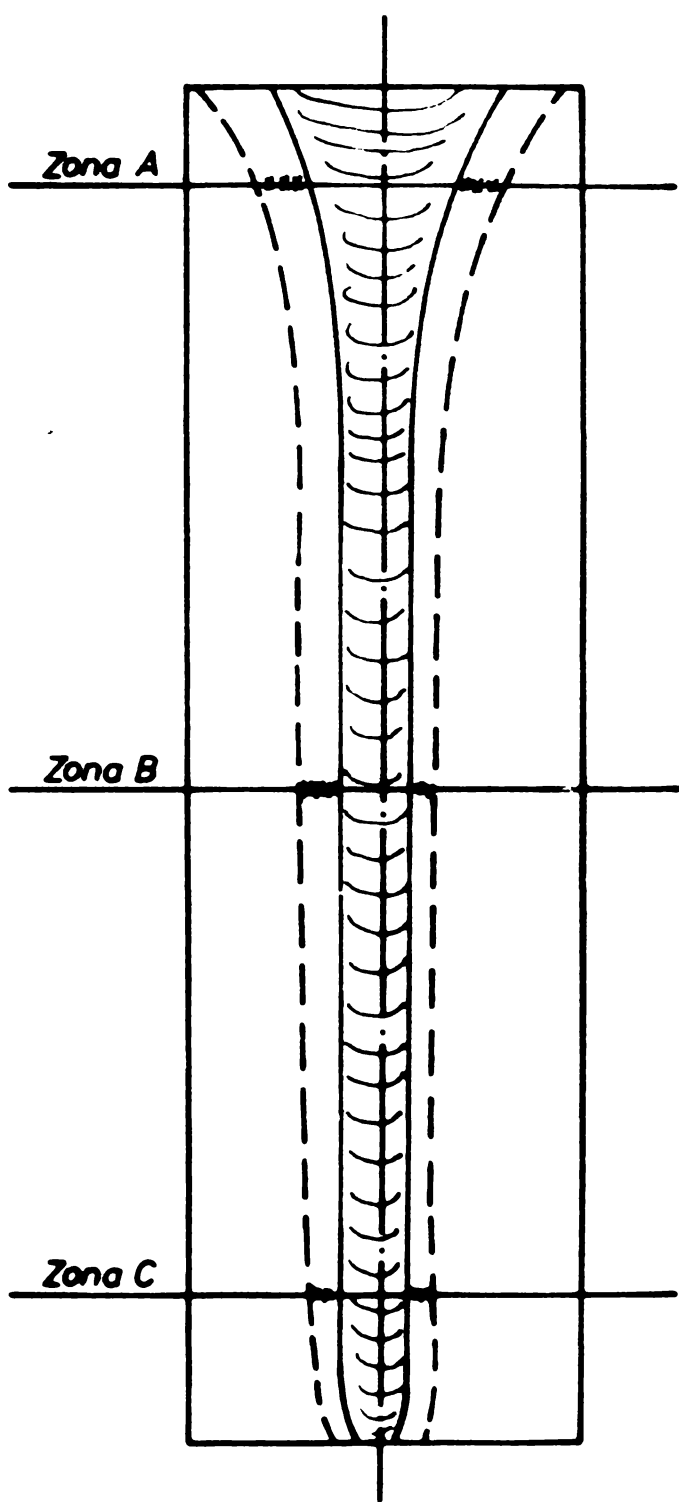


Fig.7.11. Secțiune prin orificiu - zone de măsurare.

Sosități mai mici ale peretelui canalului și structura trede la tip bainitic la troostită de călire (fig.7.16 și 7.17).

In partea finală a orificiului, structura este formă din bainita (fig.7.18).

c. Dacă timpul prelucrării crește la 4,2 sec



Fig. 7.13. Structura tip sorbitic cu separari de ferită în zona centrală a orificiului: 350 cps; 149 KV; 10 mA.

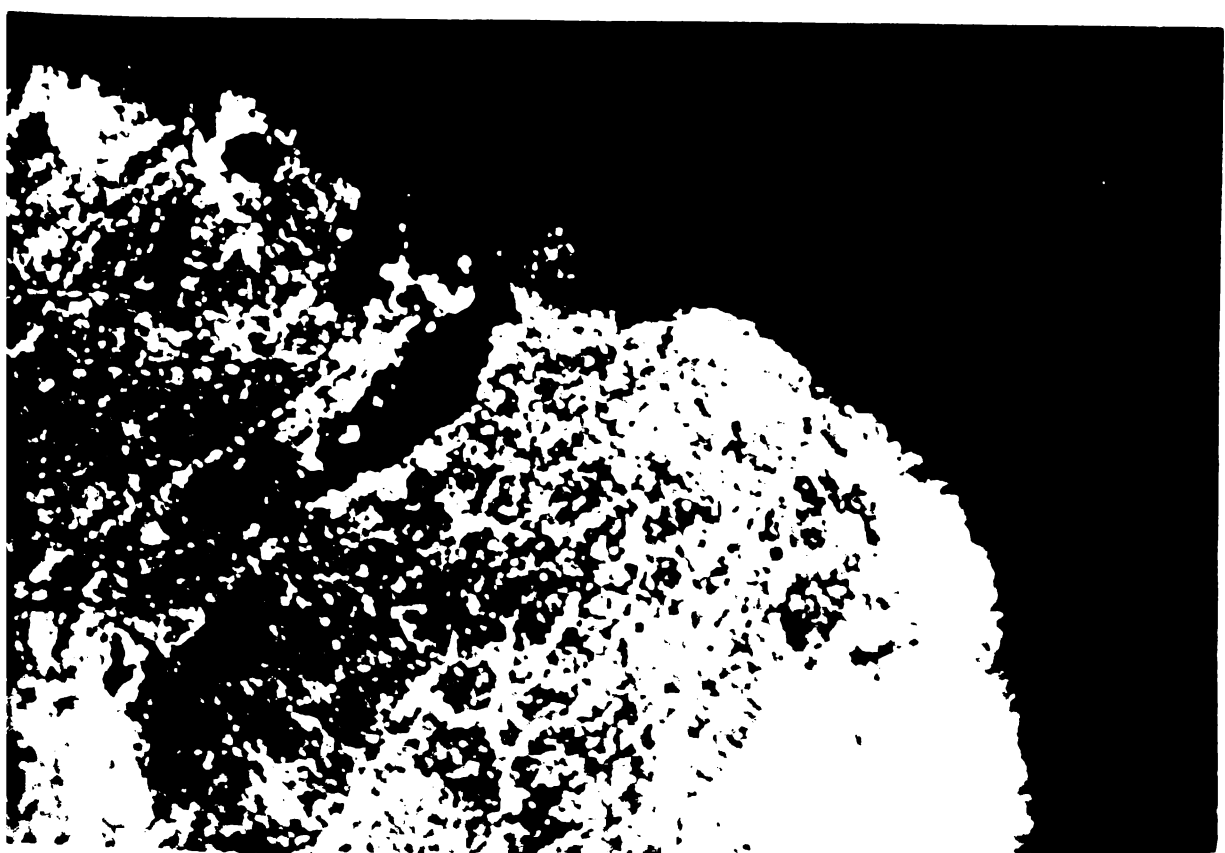


Fig. 7.12. Structura cu caracter lenjiritic în zona de atac a fanoicolului de 350 cps; 149 KV; 10 mA.

FIG. 7.14. Structura sorbitiei in zona de legire a fascicolului din

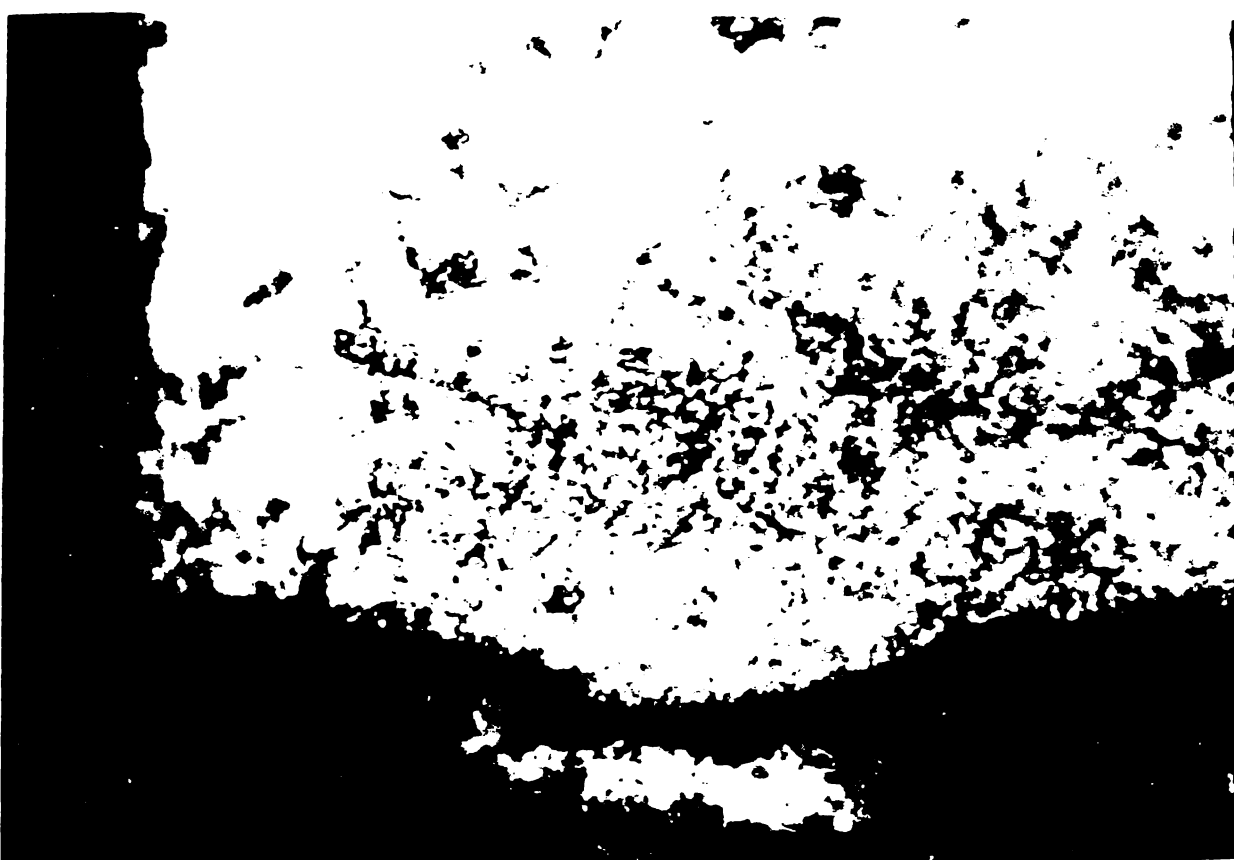


FIG. 7.15. Structura bainitiei in zona de incoperire a preluorarii:



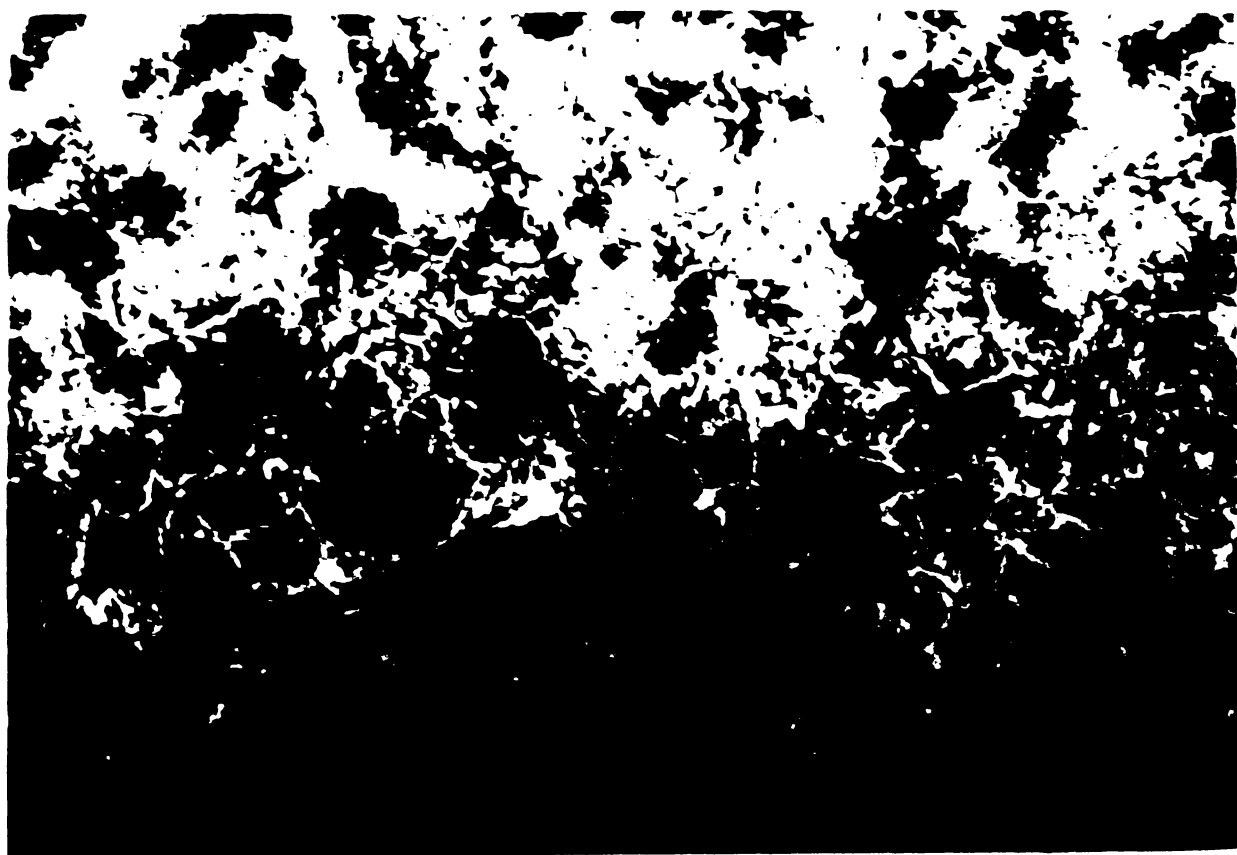


Fig.7.16. Zona de trecere de la structura bainitică la structura troostitică de călire 350 cps; 149 KV; 10 mA.

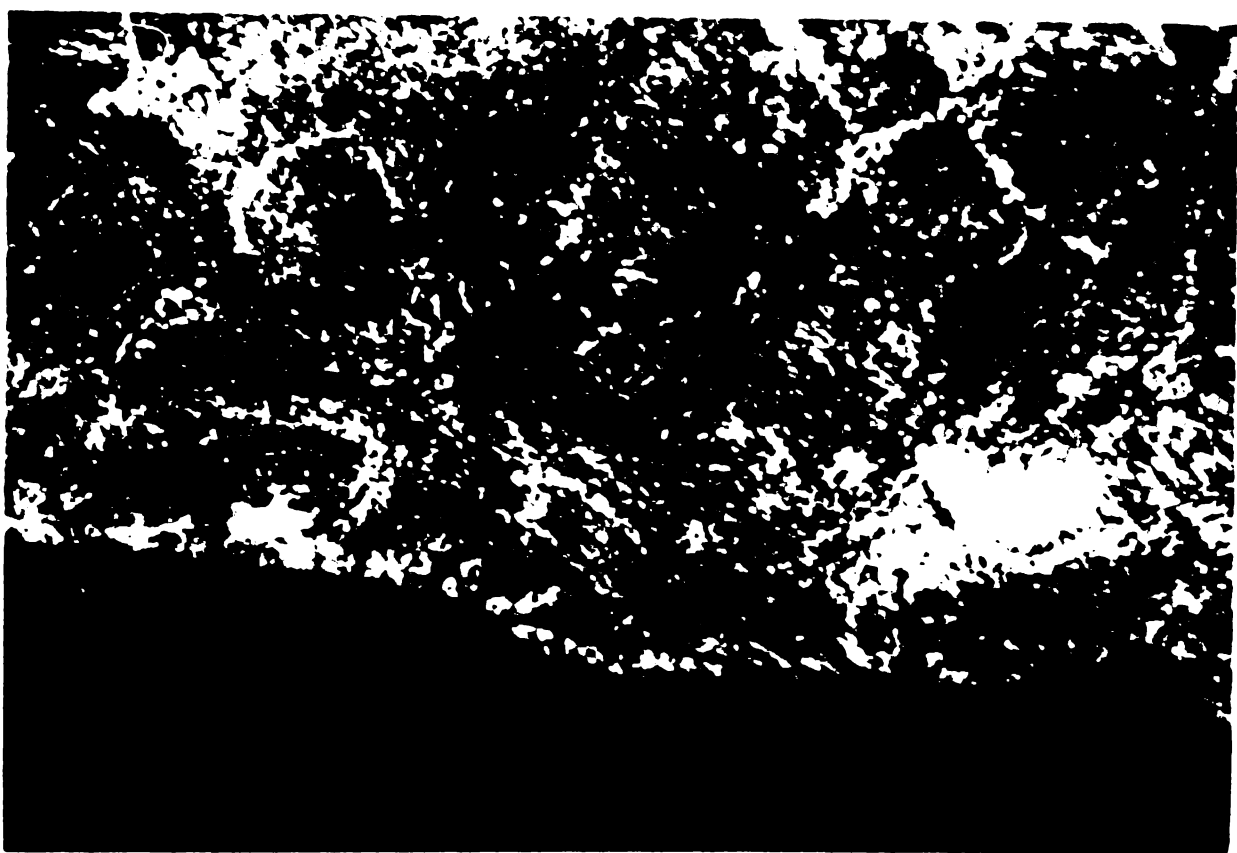


Fig.7.17. Zona de trecere de la structura bainitică la structura troostatică de călire 350 cps; 149 KV; 10 mA.

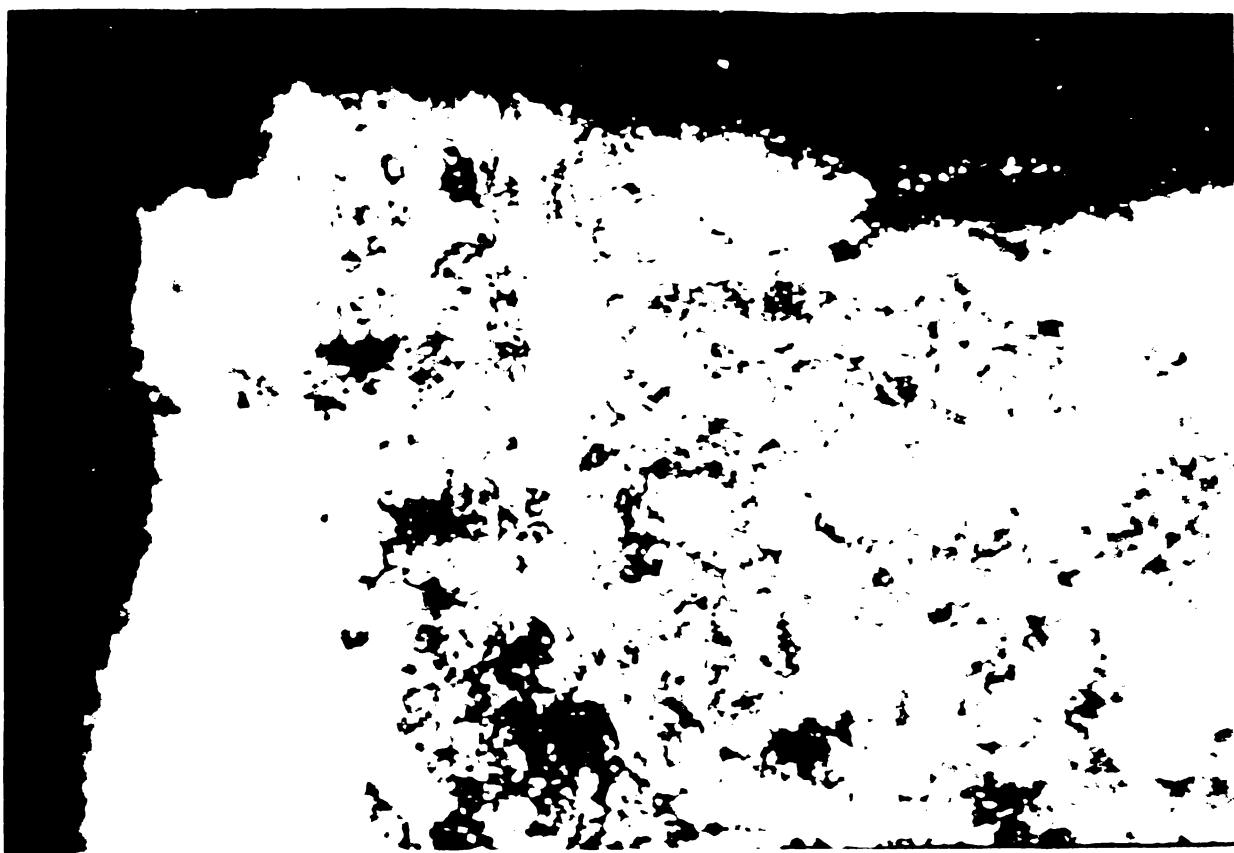


Fig.7.18. Structura bainitică la partea finală a orificiului 350 cps; 149 KV; 10 mA.

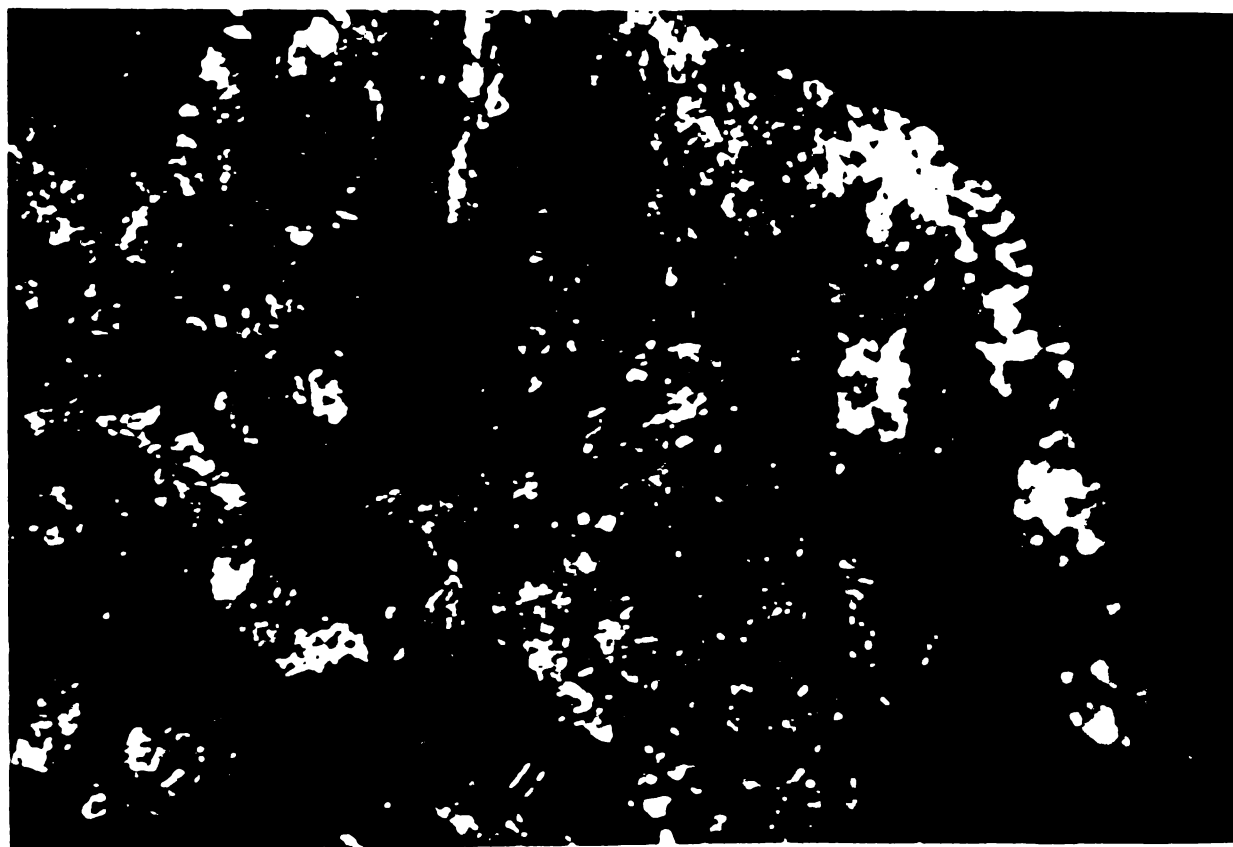
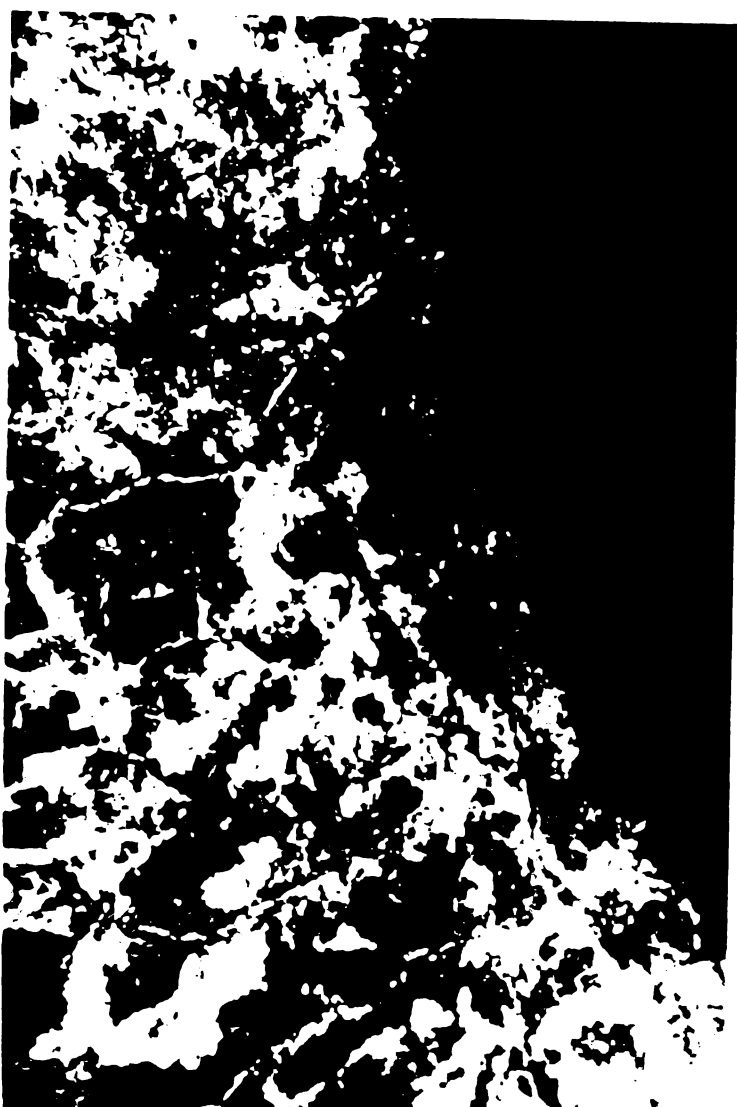
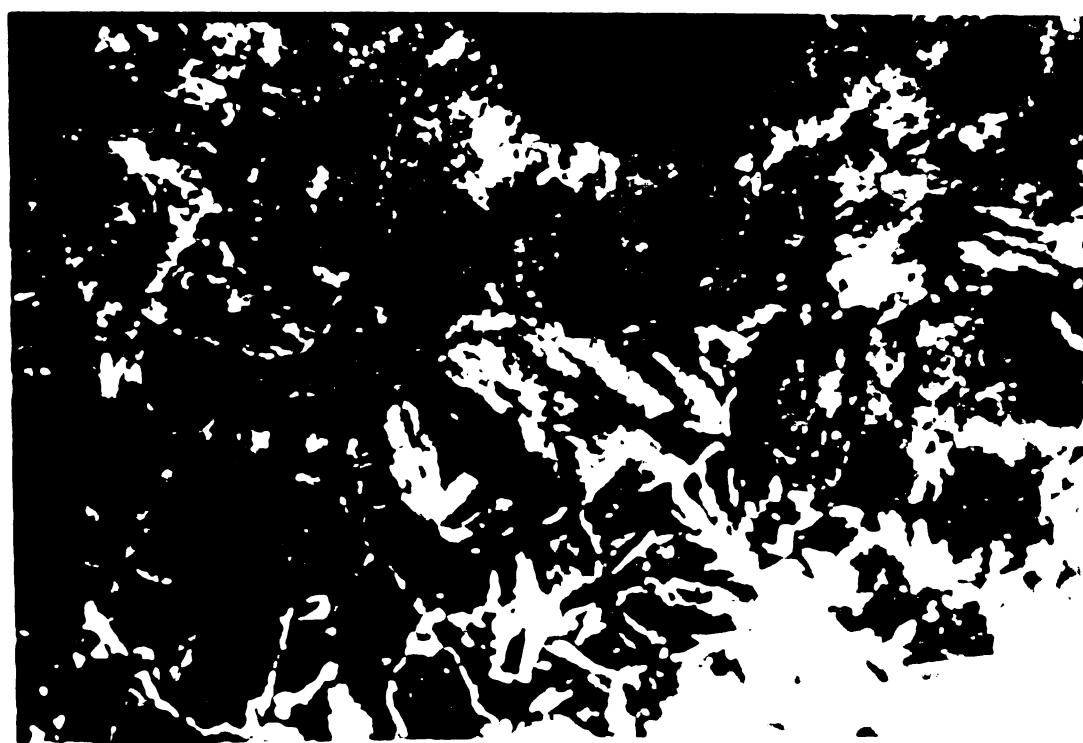


Fig.7.19. Trănstire se călire la zona de început a canalului 350 cps; 149 KV, 10 mA.



PIER. 7.21. Structura de troostite -
widmannstatten la mijlocul orificiului
lui 350 cps; 149 KV; 10 mA; t=0,2 sec.

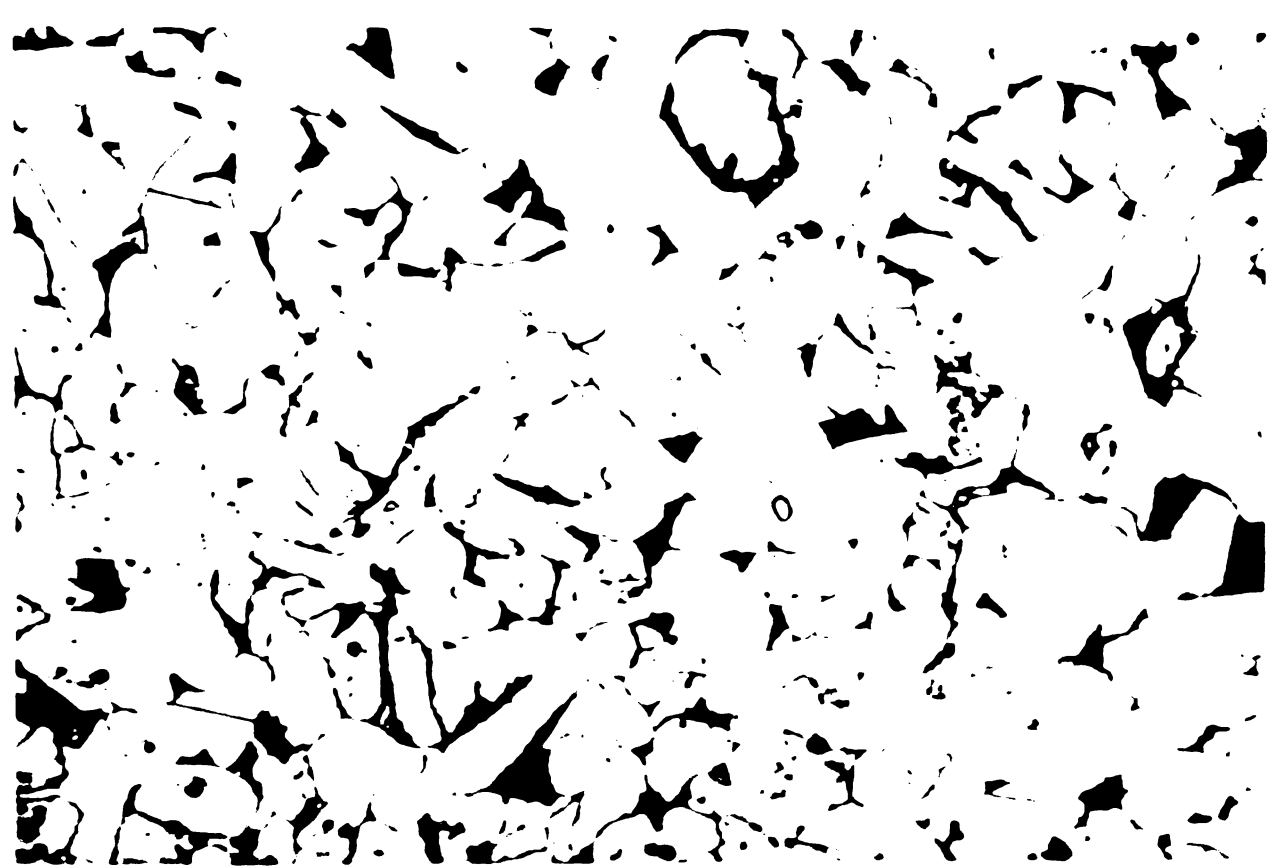


PIER. 7.20. Structura de echilibru tip
widmannstatten din zona la inceput
orificiului (50 cps; 149 KV; 10 mA).



FIG. 7.22. Struatura de troostita - Widmannstätten la mijlocul orificiului 350 cps; 149 KV; 10 mA; t=0,2 sec.

FIG. 7.23. Struatura de tip troostitic de calire si cresterea granulelor otelului la mijlocul orificiului 350 cps; 149 KV; 10 mA; t=0,2 sec.



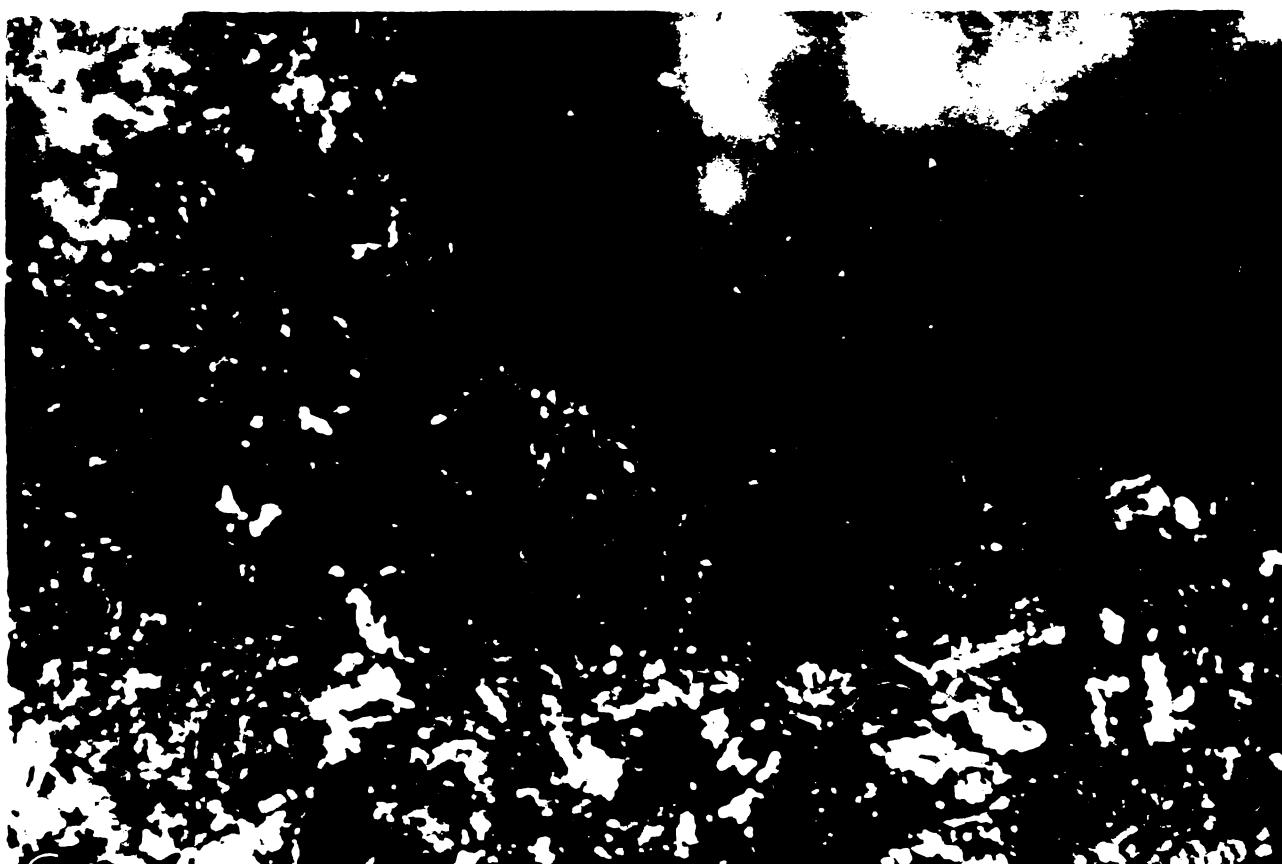


Fig.7.24. Structură tip bainitic la începutul formării orificiului 350 cps; 149 KV; 10 mA,
 $t = 2,8$ sec.

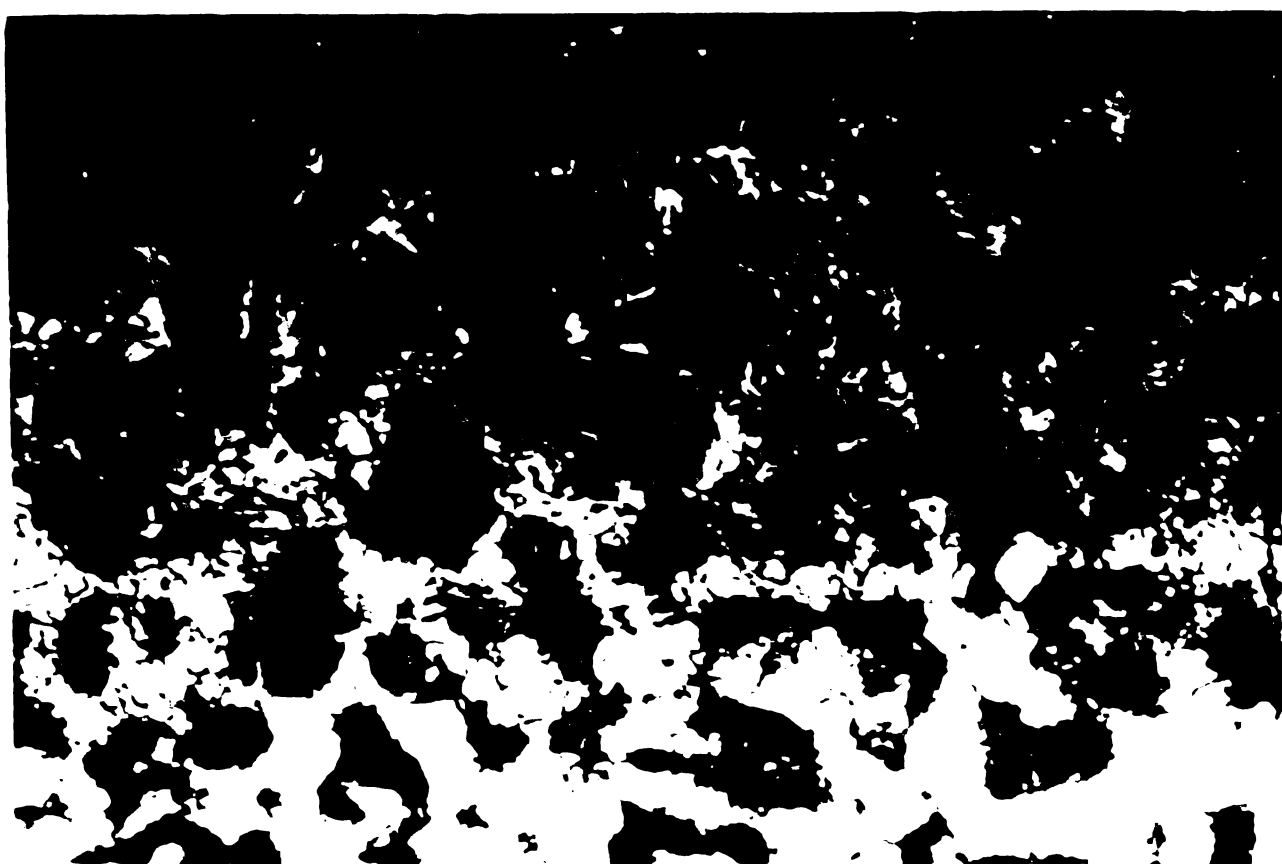


Fig.7.25. Structură de tip bainitic la începutul formării orificiului 350 cps; 149 KV; 10 mA;
 $t = 2,8$ sec.

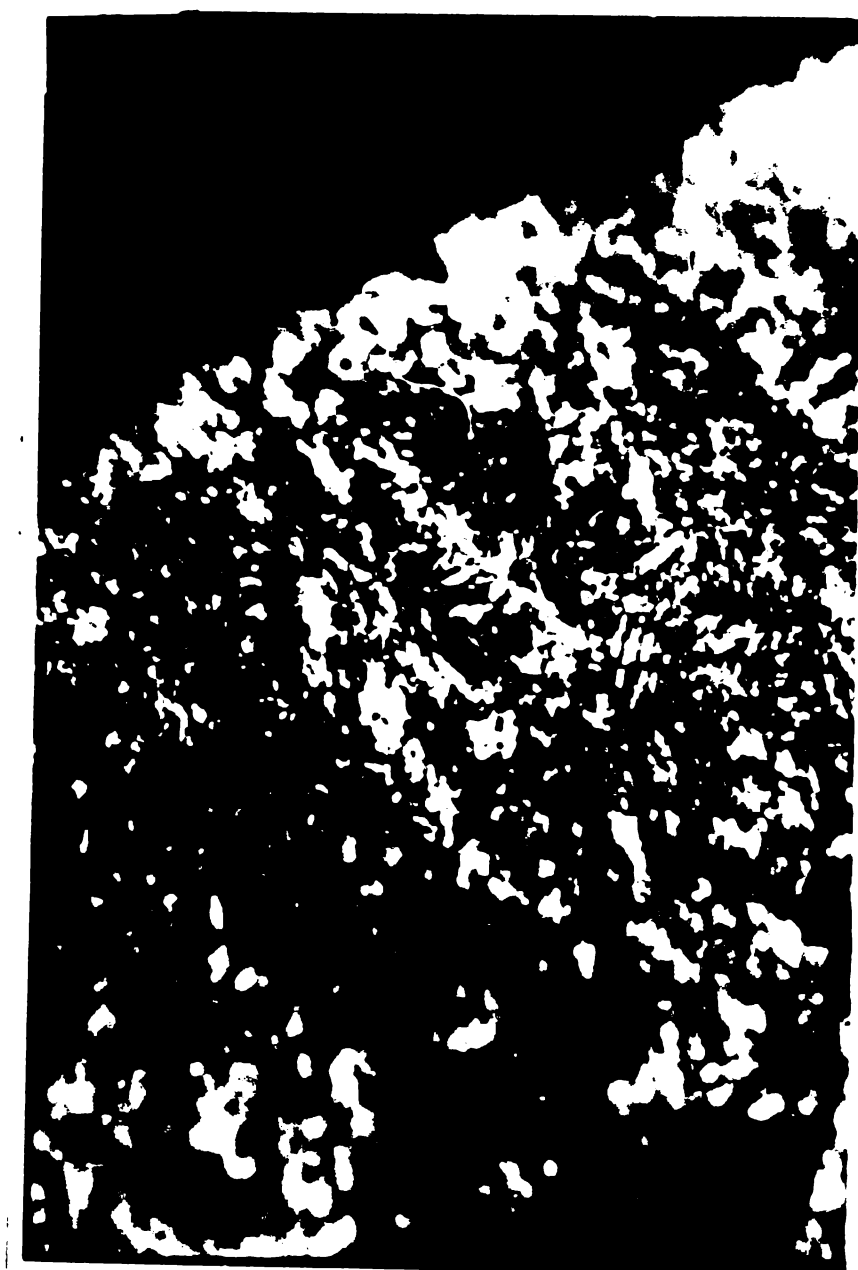


Fig.7.26. Structură tip bainitic - troostitic
în zona mijlocie a orificiului 350 ops; 149 KV;
10 mA, t=2,8 sec.



Fig.7.27. Structură tip bainitic sorbitic în zona de străpungere a orificiului 350 ops; 149 KV; 10 mA, t=2,8 sec.

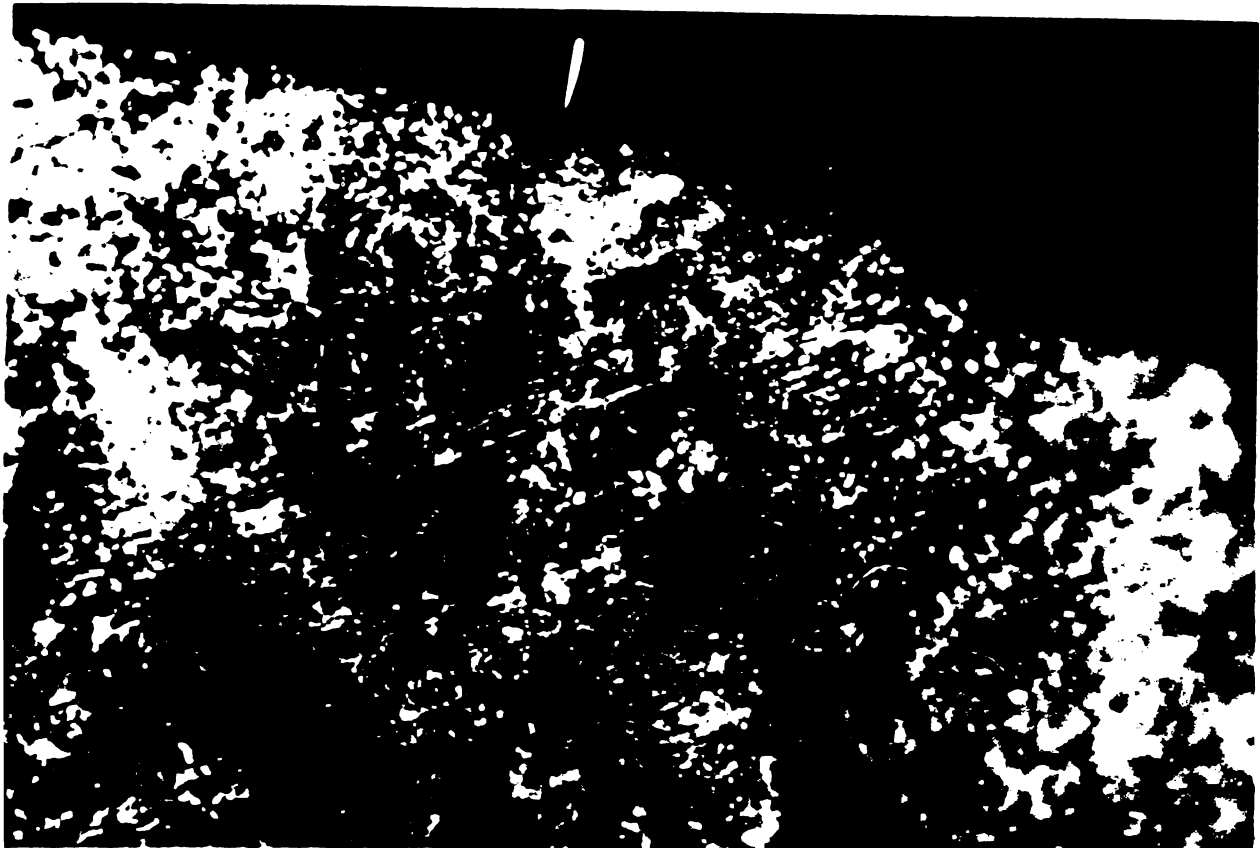


Fig.7.28. Structură sorbito-bainitică în zona de acționare a fascicolului, 0 cps; 149 KV; 10 mA, t = 10 sec.

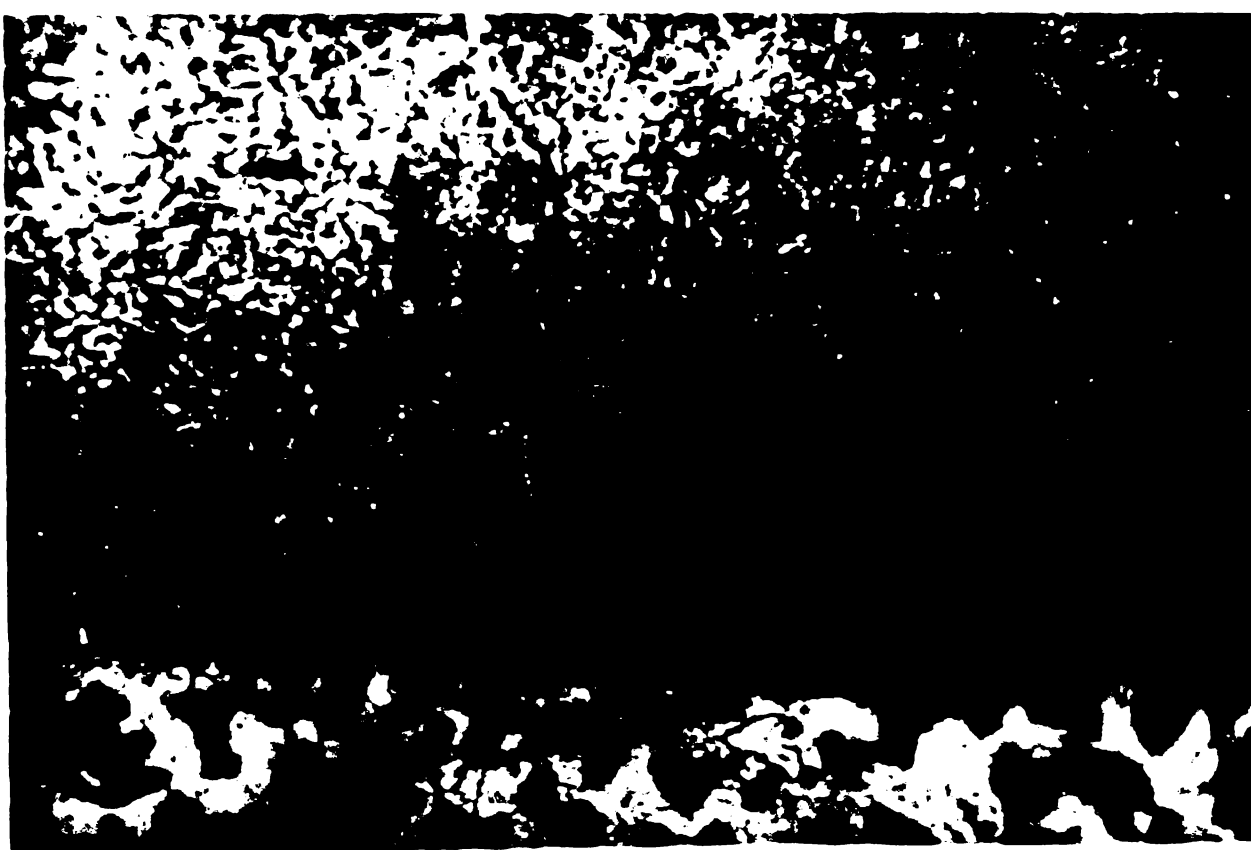


Fig.7.29. Structură sorbito-bainitică în zona de acționare a fascicolului, 0 cps; 149 KV; 10 mA, t = 10 sec.



Fig.7.30. Modificări de structură la penetrare
la orificiul nepătruns 0 cps; 149 KV, 9 mA,
t = 10 sec.

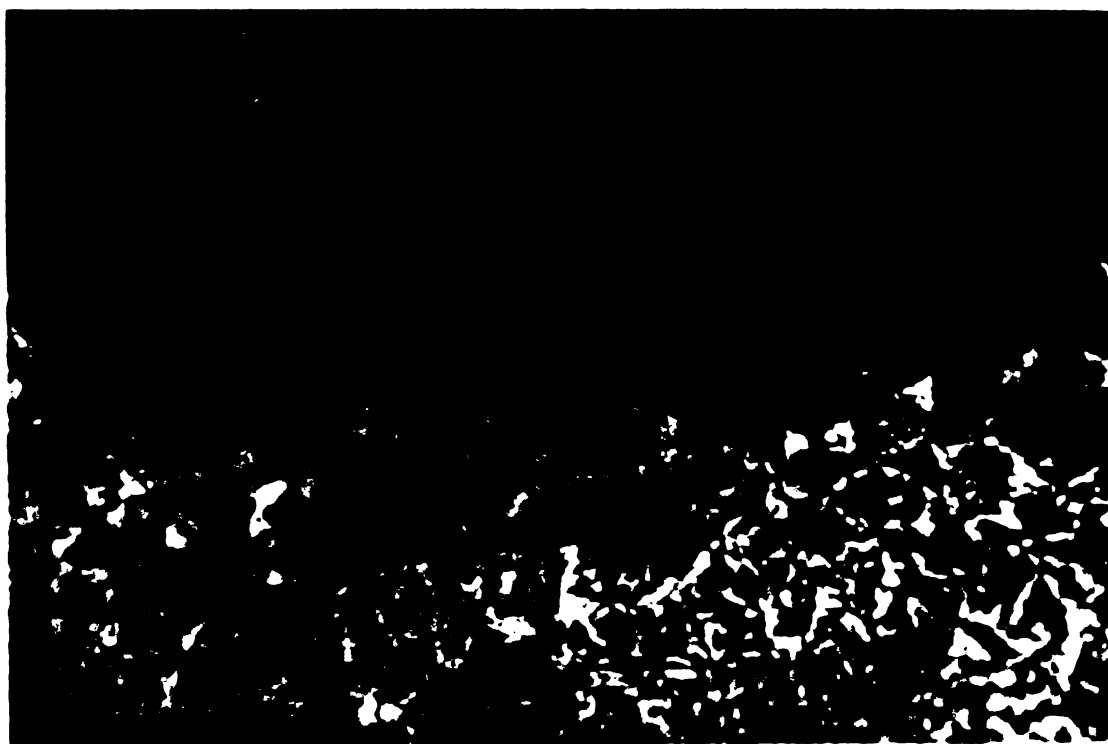


Fig.7.31. Modificări de structură la penetrare
la orificiul nepătruns 0 cps; 149 KV; 9 mA;
t= 10 sec.

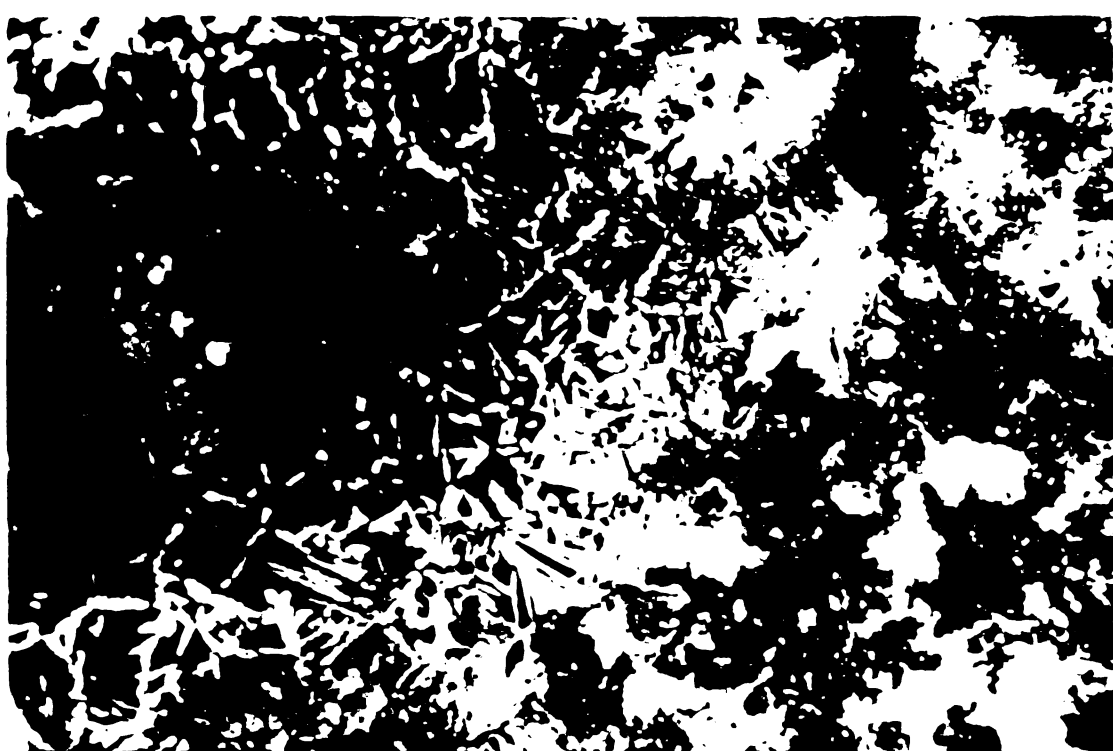


Fig.7.32. Modificări de structură la penetrare la orificiul nepătruns 350 cps; 149 KV, 9 mA,
 $t = 10$ sec.



Fig.7.33. Modificări de structură la penetrare la orificiul nepătruns 450 cps; 149 KV; 9 mA;
 $t = 1^{\circ}$ sec.

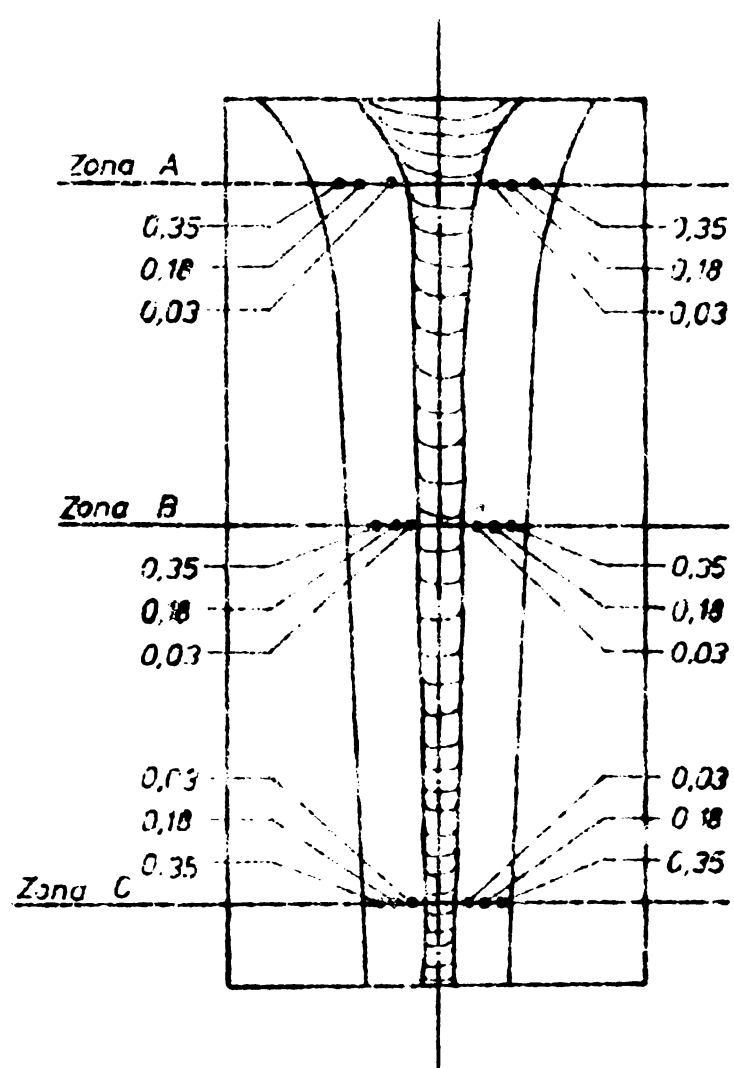


Fig. 7.34. Secțiunea prim orificiu - panotele de măsurare a microdurității.

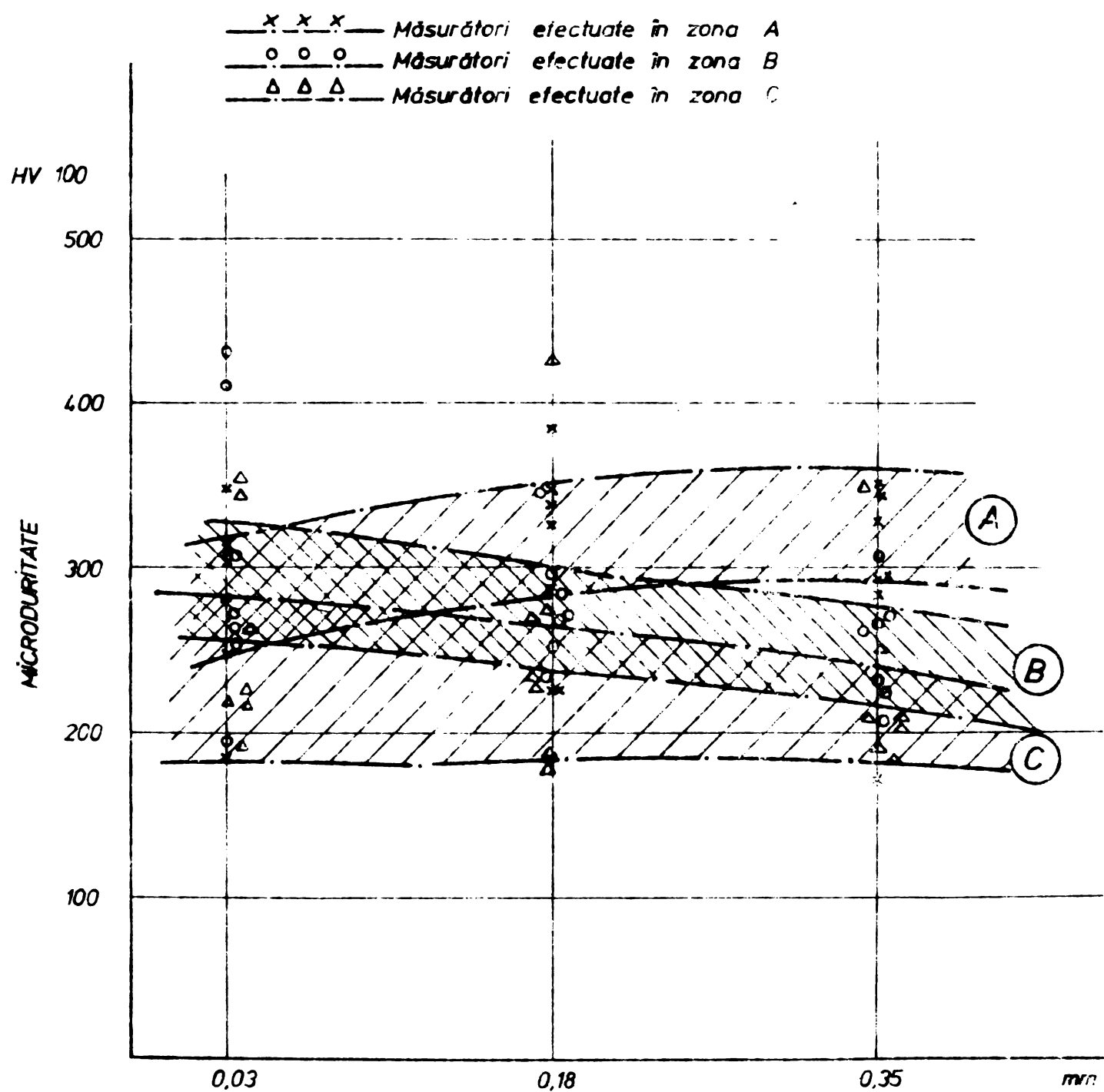
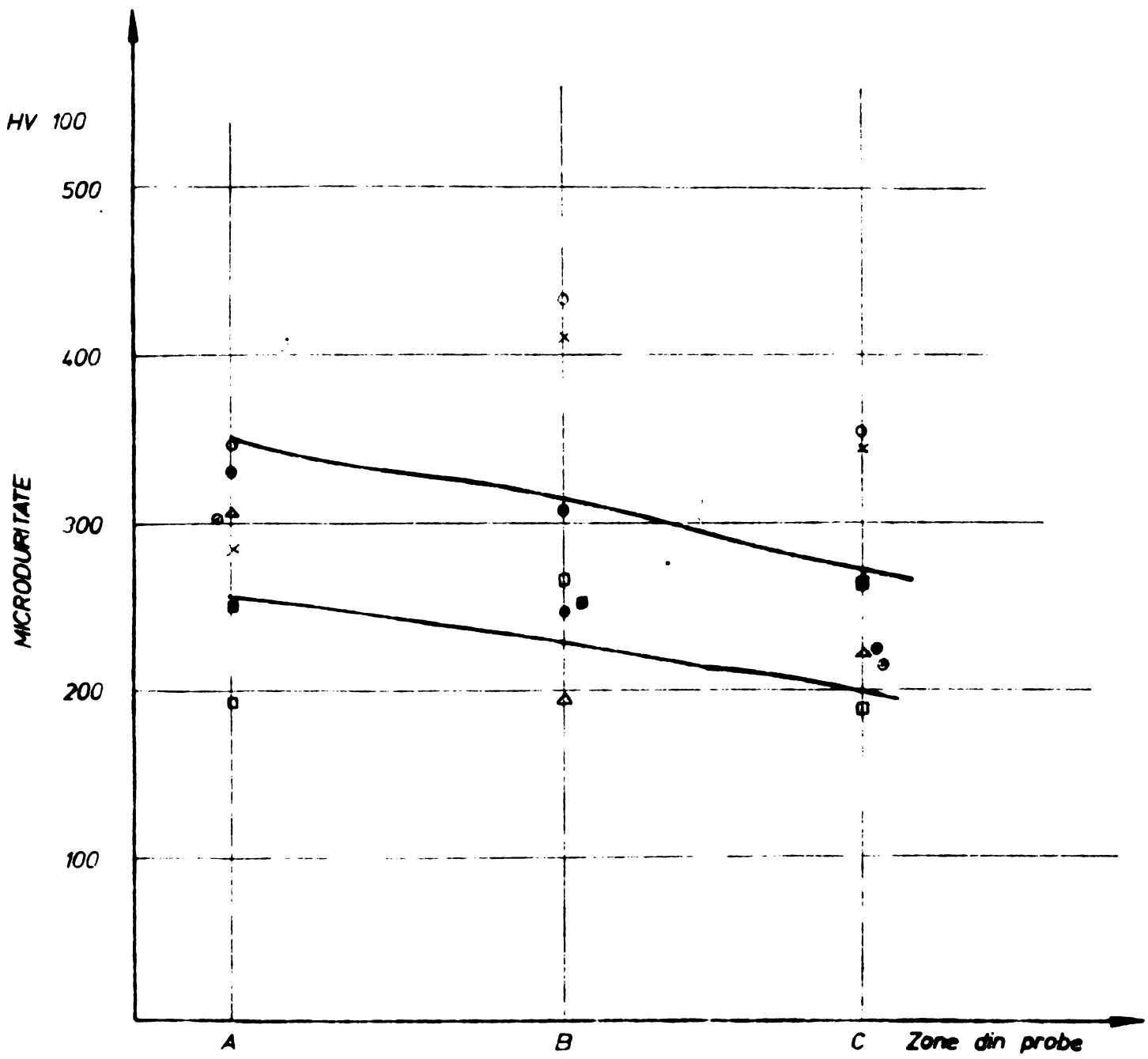
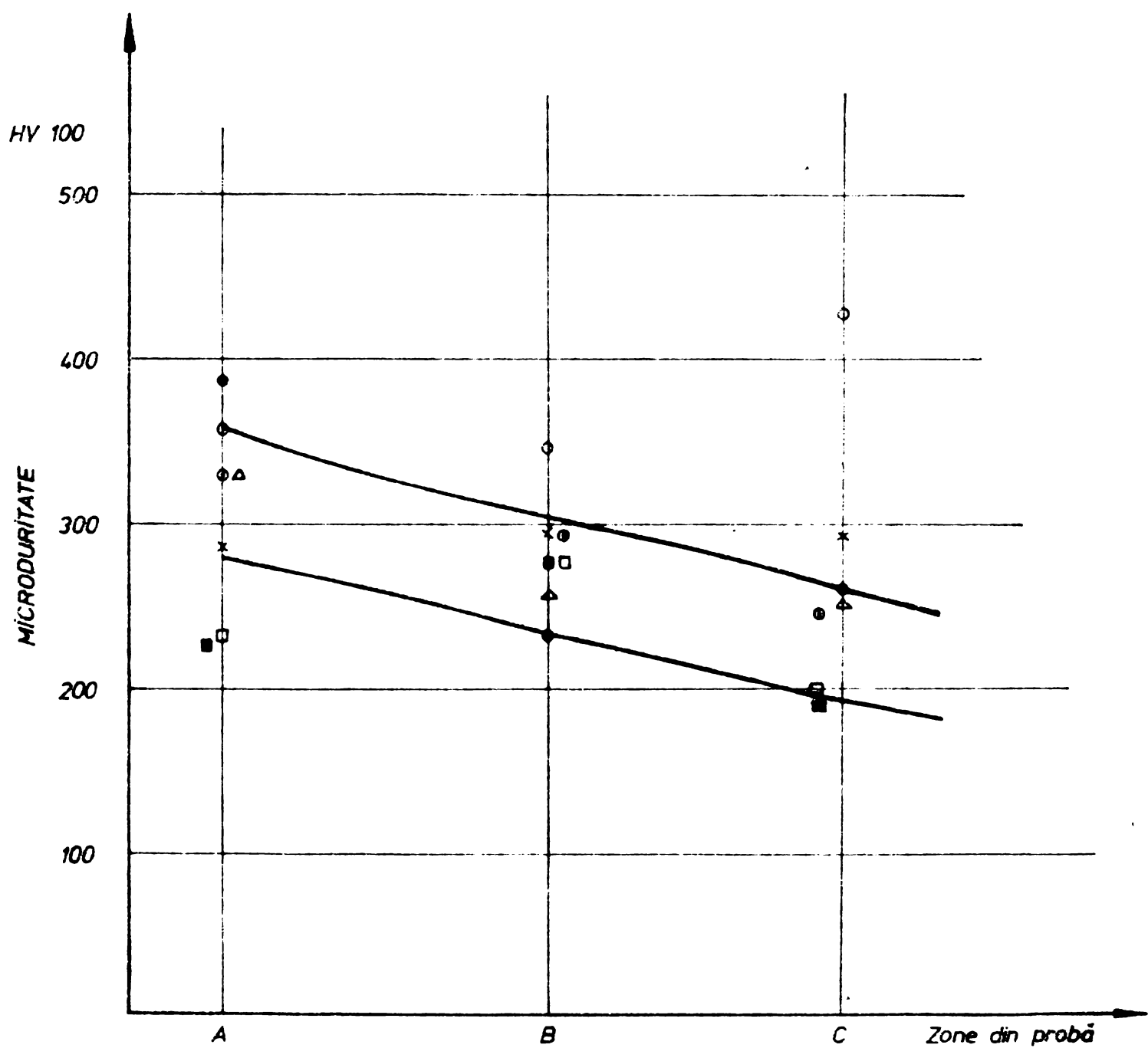


Fig. 7.35. Variația microdurității funcție de adâncimea penetrării.



MĂSURĂTORI EFECTUATE LA DISTANȚA DE 0,03 mm DE MARGINEA CANALULUI

Fig.7.36. Variatia microduritatii la distanta de 0,03 mm de marginea orificiului.



MĂSURĂTORI EFECTUATE LA DISTANȚA DE 0,18 mm DE MARGINEA CANALULUI

Fig. 7.37. Variatia microduritatii la distanta de 0,18 mm de marginea orificiului.

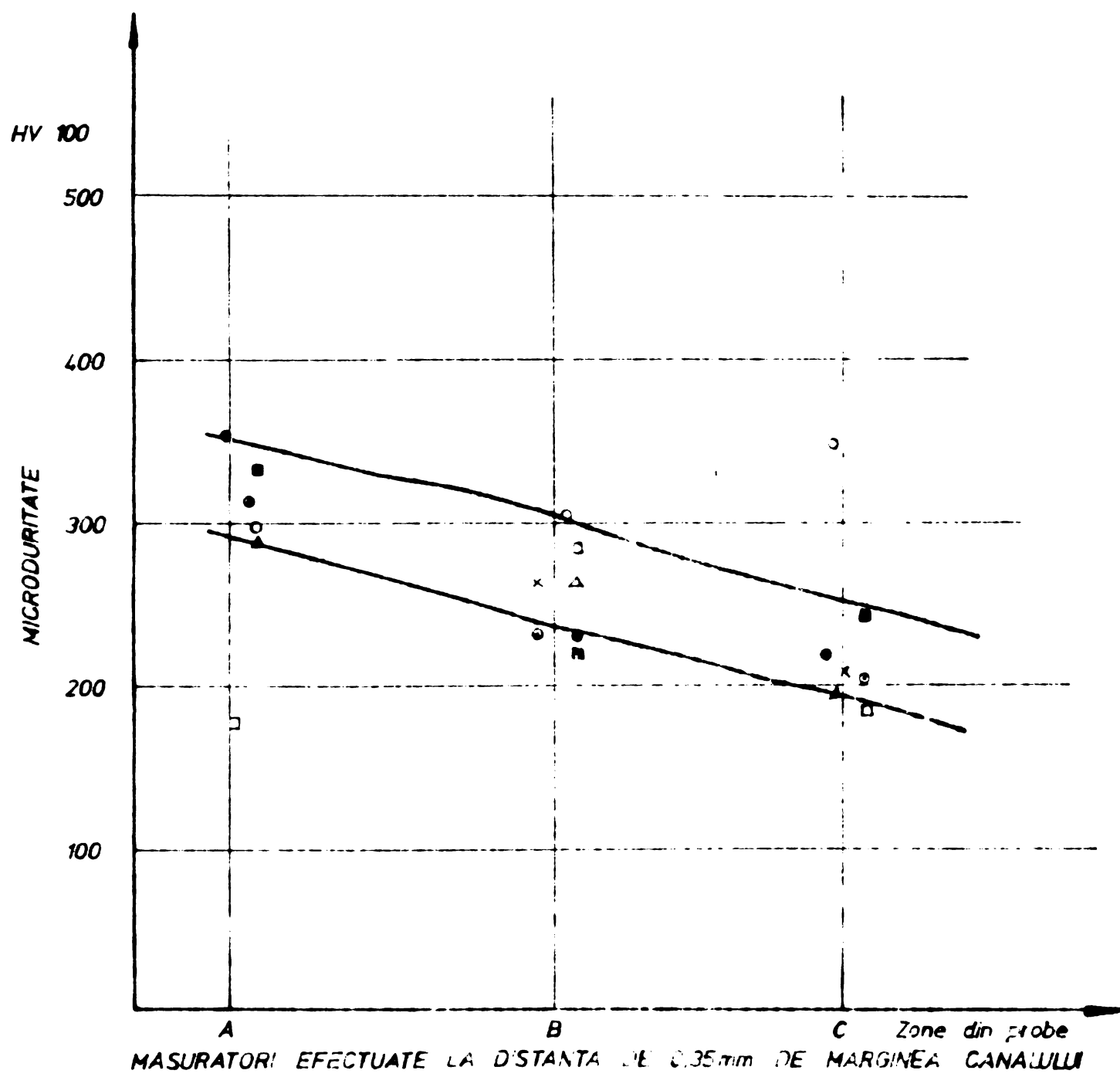


Fig. 7.38. Variatia microhardității la distanță de 0,35 mm de marginea orificiului.

transformările structurale se diferențiază net de precedentele în sensul că :

- la zona de început a canalului structurile tind spre trostite de călare (fig.7.19).

Într-o zonă apără structura de echilibru de tipul Widmannstätten (fig.7.20).

De asemenea la mijlocul canalului apar tot structuri de trostite - Widmannstätten (fig.7.21, fig.7.22).

La sfîrșitul canalului, apar clar structuri de tip troostitic de călare și o creștere a granulației otelului (fig.7.23).

Pentru a vedea influența pulsației fascicoului de electroni asupra transformărilor structurale s-au analizat și probele prelucrate cu fascicol continuu.

Analiza structurală s-a efectuat ca și în cazurile precedente pe același tip de material în diferite zone ale canalului.

a. Acțiunea fascicoului de electroni de 149 kV, 10 mA, timp de 2,8 sec asupra probei provoacă modificări structurale de tipul :

- bainitic la începutul formării canalului (fig.7.24; 7.25).

- bainitic troostitic în zona mijlocie a canalului (fig.7.26).

- bainitic sorbitic în zona de strângere a canalului (fig.7.27).

Se remarcă faptul că are loc o creștere importantă a granulației otelului ca urmare a supraîncalzirii.

b. Dacă timpul de acțiune a fascicoului crește (10 sec) apare o zonă de modificări structurale mai bine centrată.

- la începutul canalului apar structuri sorbito-bainitice în zona de acțiune a fascicoului (fig.2.27, fig.7.29).

- la sfîrșitul canalului (canal nepătruns) apar modificări interesante de la sorbitice pînă la structuri Widmannstätten (fig.7.31, fig.7.32, fig.7.33).

Din (fig.7.30) se vede clar cum fascicoul de electroni are o acțiune importantă de modificări a structurilor.

Din această imagine se desprinde mai clar modul cum acționează fascicolul de electroni asupra prelucrării metalului - se face încălzirea pe o zonă conică (1) și se expulsează particole de material și vapozi din partea superioară.

Din cercetările microstructurilor în stratul marginal al suprafeței prelucrate cu fascicol de electroni se constată așa cum se observă și în figurile prezentate, că sub acțiunea fascicolului de electroni se modifică structura țălurilor prelucrate.

Aceste modificări, destul de accentuate, se produc diferit după modul de acțiune al fascicolului și valoarea parametrilor folosiți la prelucrare.

În perioadele de formare a orificiului apar structuri Widmannstätten care nu sunt de dorit care la acțiuni mai îndelungate ale fascicelului (8, 10 sec) dispar răminind structuri de tip troostitic de călire.

7.3. Cercetări electromecanice.

În completarea examinărilor structurale care se produc sub acțiunea fascicolului de electroni în stratul marginal al suprafeței prelucrate s-a considerat a se arăta și starea acestui strat. În acest sens s-au efectuat măsurări ale duratăii.

Suprafața explorată conform (fig.7.11) are o parte din multitudinea rezultatelor măsurătorilor efectuate, prezентate în tabelul 7.1.

Prelucrând datele tabelului de mai sus se reprezintă în continuare variația duratăii pe lungimea zonei influențată termic a orificiului executat cu diferite puteri, pulsări și la tempi de prelucrare diferenți

- fig.7.34 - Variația duratăii în zonele A,B și C pentru un fascicol de electroni de 149 kV 10 mA 0,2 sec 350 cps.

- fig.7.35 idem 149 kV 10 mA 2,4 sec 350 cps
- fig.7.36 idem 149 kV 10 mA 2,8 sec 1000 cps
- fig.7.37 idem 149 kV 10 mA 10 sec 1000 cps
- fig.7.38 idem 149 kV 10 mA 2,4 sec constant

Reprezentarea variației durității pe secțiunea probelor în zona influențată termic, a orificiului executat cu diferite pulsări.

Din analiza datelor de mai sus se desprind următoarele observații:

- în toate cazurile de prelucrare, duritățile sunt mai mari în zona influențată termic din partea de pătrundere a fascicolului (zona A)

- valorile durității variază între $240-260 \text{ daN/mm}^2$ în zona de pătrundere a fascicolului (zona A) și între $180-280 \text{ daN/mm}^2$ în zona de ieșire a fascicolului (zona C)

- în zona de pătrundere a fascicolului (zona A) duritatea este mai mare la o distanță de 0,35 mm față de marginea orificiului preluorat ($280-360 \text{ daN/mm}^2$) comparativ cu cea măsurată la distanță de 0,03 mm ($240-320 \text{ daN/mm}^2$)

- în zona mijlocie (zona B) și în zona de ieșire a fascicolului (zona C) apar durități mai mici comparativ cu cele de la intrare ($260-330 \text{ daN/mm}^2$ față de $220-280 \text{ daN/mm}^2$).

Din aceste constatări se observă că toate aceste valori ale durității sunt în deplină concordanță cu transformările structurale ce s-au trecut în probă în timpul prelucrării.

CAPITOLUL 8. CONCLUZII GENERALE

Prezenta lucrare inscriindu-se pe linia aplicației ceroestărilor în sprijinul producției tratează și rezolvă dependența variației diametrului orificiilor la penetrarea cu fascicol focalizat de electroni.

Rezolvarea practică a acestei lucrări evidențiază următoarele probleme pe care autorul le-a aplicat reprezentând contribuții originale :

1. S-au studiat din punct de vedere teoretic analizîndu-se problemele legate de penetrarea cu electroni pentru obținerea de orificii propriu zise verificîndu-se ipoteza lui H. Schwartz (22) prin care la aceleasi densități de energie diametrele orificiilor sunt funcție de tensiunea de accelerare a fascicoului fiind direct proporțional cu acestea.

2. Utilizarea fascicoului pulsator este indicată pentru penetrări, pulsatia optimă fiind în cazul treptelor mașinii de 350 cicluri pe secundă pentru care se obțin cele mai mari penetrări. Conform teoriei penetrării cu fascicol de electroni microexploziile au loc la intervale de circa 70 microsecunde iar frecvențele scăzute apropiate de frecvența microexploziilor realizează orificii mai mari decît frecvențe ridicate.

3. S-au stabilit ecuațiile penetrării care au forma exponentialei avînd o pantă foarte mare pînă la timpul de 4,2 sec după care pantă soade foarte mult.

4. Conform ecuațiilor de penetrare verificate practic se constată că în condițiile aceluiși focalizări și reglări a diametrului fascicoului de electroni, mărimea alezajului este direct influențată de intensitatea fascicoului în cazul păstrării unui voltaj de accelerare constant.

5. Durata penetrării este direct proporțională cu grosimea piesei de prelucrat.

6. La obținerea diametrului alezajului apropiat de cel al fascicoului penetrarea însoțea orificiul nu se mai largeste și nici nu se mai încalzește piesa avînd în vedere că ea nu mai este supus practic bombardamentului fascicoului de electroni. Acest lucru este foarte important din punct de

vedere al posibilității automatizării procesului neexistând pericolul încălzirilor exagerate pe măsură ce crește numărul de penetrări în piesă.

7. În condițiile varierii intensității fasciculu lui la aceeași tensiune de accelerare și condiții optime la 70% valorile obținute scad la 83% față de valorile inițiale.

8. Variind tensiunea de accelerare a fasciculu lui la aceeași intensitate și condiții optice la 89,9% valorile diametrelor obținute scad la 83% față de valorile inițiale.

9. Scăderea voltajului de accelerare duce la o scădere mult mai rapidă a diametrului alezajului decât în cazul scăderii intensității fasciculu lui.

10. În condițiile aceluiaș regim și parametrii de lucru variația diametrului este invers proporțională față de adâncimea de penetrare.

11. Variația diametrelor alezajelor este mult mai mare în cazul timpilor de lucru mai mici și devine mult mai mică în cazul celor mari.

12. Variația diametrelor alezajelor este influențată de lucru a mașinii.

13. În toate cazurile de prelucrare, densitățile sunt mai mari în zona influențată termic din partea de pătrundere a fasciculu lui.

14. Valorile durității variază între 240-260 daN/mm² în zona de pătrundere a fasciculu lui și între 180-280 daN/mm² în zona de ieșire a fasciculu lui.

15. În zona de pătrundere a fasciculu lui duritatea este mai mare la o distanță de 0,35 mm față de marginea orificiului prelucrat (280-360 daN/mm²) comparativ cu cea măsurată la distanță de 0,03 mm (240-320 daN/mm²).

16. La acțiunile îndelungate ale fasciculu lui (8-10 secunde) în cazul penetrării rămân structuri de tip troostitic de cărire.

17. Valorile obținute în condițiile penetrării oțelului de construcție se pot generaliza la toate oțelurile avind în vedere că temperaturile la penetrare sunt peste 2500°K.

18. S-a utilizat ca metodă de lucru sistemul de lustruirea suprafețelor probelor la $R_a = 0,012$ m, penetrarea

făcindu-se pe linia de contact a 2 suprafețe ale probelor astfel prelucrate și prinse în menghina din interiorul camerei de lucru a tunului cu fascicol de electroni. Prin acest sistem s-au putut obține orificiile de diametre de la 0,202 mm pînă la 0,424 mm secționate.

19. S-au stabilit ecuațiile de variație ale diametrului orificiului obținut pe baza metodei celor mai mici pătrate întocmîndu-se programul, scris în FORTRAN, de prelucrare a datelor pe calculator Felix C 256.

Din studiul efectuat reiese că procesul de prelucrare cu fascicol de electroni se poate aplica la prelucrarea orificiilor de diametru variind între 0,1 și 0,4 mm la grosimi de material între 3 și 12 mm în condițiile stabilite prin mărimile experimentale efectuate.

Starea materialului nu este influențată decît pe o adîncime foarte redusă ceea ce face ca procesul să poată fi aplicat în toate oazurile în care alte procedee prezintă dificultăți tehnico-economice.

Îmi exprim mulțumirea și recunoștiința față de Partidul și Statul nostru care mi-au creat condiții de a putea efectua aceste lucrări și a mă specializa într-un domeniu necesar economiei naționale.

B I B L I O G R A F I E

1. David E.Langmuir - Theoretical limitations of cathode-ray tubes; Proceedings of the Institute of Radio Engineers volum 25, number 8 august 1937 - USA
2. M.Knoll - "Electron optics in television technique" Zeit für Techn.Phys.vol.17 p.604(1936) Germania
3. D.W.Epstein - "Electron optical system of two cylinders as applied to cathoderay tubes" Proc.I.R.E.vol.24 pp.1095-1139 august 1936 USA
4. R.R.Iaw - "About electron optics" Proc.IRE vol. 24 pp.954-976 august 1936 USA
5. O.Scherzer - "The problem of theoretical electron optics" Zeit für Techn.Phys.vol.17 p.593(1936) Germany
6. W.Gässer - "Theory of image defects in an electron microscope" Zeit für Techn.Phys. vol.97 pp.177 octombrie 1935 Germania
7. E.Brüche și O.Scherzer - "Geometrische Elektronoptik" Springer Berlin(1934) Germania
8. Steigerwald K.H. - Phys.Verh.nr.4 par.123(1953) W.Germany
9. E.B.Bas und G.Cremosnik - Vakuum-Technik 8,18(1957) W.Germany
10. M.H.Hablanian - Proc.Third Symposium on Electron Beam Technology p.42 Alloyd Corp. Boston(1961) USA
11. M.von Ardenne - Naturwiss.26 562(1938) Germania

12. J.A.Stohr - Fuel Element Conference, Paris,
November 1957 TID 7546 Book I
pp 9-17 US Atomic Energy
Commission USA
- * 13. K.H.Steigerwald - 4-th Internat, Congress for
Electronmicroscopy Berlin 1958,
p.276 W.Germany
14. Howard A.Jones,
Irving Langmuir and
G.M.Mackay - The rates of evaporation and
the vapor pressures of tungsten,
molybdenum, platinum, nickel, iron
cooper and silver. Physical review
august 1927 volume 30 USA
15. R.Bekish - Electron and Ion beam science
and technology, april 1966,
New York USA
16. R.Whiddington - Proc.Roy.Soc.(London) A. 89 554
(1914)
17. M.I.Druyvesteyn and
F.M.Penning - Rev.Mod.Phys. 12 87 (1940)
USA
18. I.Holland - Vacuum Deposition of Thin Films
(Chapman & Hall,Ltd.London 1958)
19. E.R.Onuf - Private communication, Rensselaer
Polytechnic Institute, Hartford
Graduate Center 1968, USA
- * 20. H.Schwarz - "Electron Beam Processes at
Different Voltages-Hamilton
Standard Publication T.P 61-03
(1961) USA
21. I.Dosse und
G.Mierdel - Der Elektrische Strom im
Hochvakuum und in Gasen p.46
Leipzig(1945) Germany
22. G.Sepold - Dissertation Technical University
Hannover, West Germany 1968
23. D.I.Sandstrom,
I.E.Buchen și
G.S.Hanks - "On the Measurement and Interpre-
tation and Application of Parame-
ters Important to Electron Beam
Welding"
-supplement to the welding
journal July 1970 USA

24. H.Tong and W.H.Giedt - "A Dynamiy interpretation of electron beam Welding"
- supplement to the welding journal July 1970 USA
25. L.N.Sayer and T.E.Burns - "Practical aspects of electron beam welding"- British Welding journal April 1964.
26. J.W.Schwartz - "Space charge limitation on the focus of electron beams" RCA review -march 1957 USA.
27. L.P.Smith and P.L.Hartmann - " J.Appl.Phys.11.220 (1940) USA
28. Pierce J.R. von Nostrand - Theory and Design of Electron Beams New York 1954 USA
29. Spangenberg K.R. - Vacuum tubes,Mc.Graw-Hill,New York 1943 USA
30. Thompson B.J.and Headrick L.B. - Proc.I.R.E. July 1940 USA
31. Holloway D.L. - Electronics February 16,1962 USA
32. Haine M.E. - The electron microscope Spon London 1961 England
33. V.V.Hasenkov - Koeffitient poleznogo deistvia elektronnulucevoi obrabotki metalov -Electronnaia obrabotka materialov 1965 №.5-6
34. L.P.Smith and L.P.Hartman - I.Appl.Phys. 11.page.220 1940, USA
35. Dobretsov L.N. si Gomoiunova M.V. - Emissionnaia electronica izdatelstvo "Nauko" 1966,URSS
36. Vorobiev A.A.si Kononov B.A. - Prohojdenie electronovt cerez vazeestvo.Tomsc,Tomsci pos.un-t 1966, URSS
37. Saposhnikov F.A. - Teoreticennaia fotometria. Gosenergoizdat 1960 URSS.

38. Archard G.D.
Mulvey T. - The present state of quantitative
X-ray microanalysis- Brit.J.
Appl.Phys.1963, 14 England
39. P.Bakşin - Electrono i ionolucevaiia
tehnologija Metalurgija 1968, URSS
40. Proceeding of Simposium on Electron
Beam Techniques for Microelectronics -
Microelectronics and Reliability 1965,
4, No.1
41. H.Schwarz - J.Appl.Phys.33 B 464(1962)USA
42. Langmuir D.B. - Proc.I.R.E.August 1937 USA
43. R.E.Koth and
R.F.Bratkovich - "Characteristics and strength Data
of electron beam welds in four
representative materials"
American welding society
presentation: fall meeting sept.
1961
44. Wells O.C. - Calculations of the Heat-Affected
Zone During Pulsed Electron-beam
Machining - I.E.E.E. Trans of
Electron Devices 1965 No.4
45. Proceedings of Symposium on Electron Beam
Techniques for Microelectronics - Micro-
electronics and Reliability 1966,8, No.4
46. Pittaway L.G. - The temperature distribution in
thin foil and semiinfinite targets
bombarded by an electron beam
- Brit.J.Appl.Phys.1964.15.
47. Vine I.Einstein P.A. - Heating effect on an electron
beam impinging on a solid surface,
allowing for penetration- Proc.
I.E.E. 1964 -111 - 5
48. E.F.Nippers and
E.W.Emmerich - "Heat Affected Zone study of an
Eutectoid Ultra-High Strength
Steel" Welding Journal Research
Supplement Der 1963 USA

49. J.W.Meier - 1-st International Conference on Electron Beam Science and Technology
Toronto Canada 1964
50. I.Lempert,
I.Lowry,
F.Seman and
C.Williams - Proc.Electron and Laser Beam Symposium edited by A.B.El-Kareh,Penn State University 1965, USA
51. F.R.Schollhammer - Records of IEEE 9-th Annual Symposium on Electron,Ion and Laser Beam Technology Berkeley Cal.1967, USA
52. Brown G. and Nichols GK - Journ. of Mat.Sci.1; 1966 USA
53. B.S.Blum and R.H.Witt - "Tungsten Arc Welding of H-11 Steel Sheet " Welding Journal Research Supplement, June 1962 USA
54. J.R.Dyar and N.F.Bretkovich - "Reliable Weld Joint Design for High Strength Rocket Motor Cases" Welding Journal Research Supplement March 1963 USA
55. E.F.Nippers and W.E.Emmerich - "Heat Affected Zone Study of an Eutectoid Ultra-High Strength Steel" Welding Journal Research Supplement Dec.1963 USA
- * 56. A.Sanderson,
AMCST LTD - "Electron beam delineation and penetration" Britich welding journal oct.1963 United Kingdom
57. G.R.Brewer - "A Review of Electron and Ion Beams for Microelectronics Applications", In British R.(Ed) Electron and Ion Beam Science and Technology,Fourth Int.Conf.12/o,Los Angeles California p.449-480.
58. F.Schleich - "Electron Beam Machining" Paper submitted to the 2 nd Electron Beam Processing Seminar.June 1972.Frankfurt/M., published as under 23 p.7f1-7f85
- * 59. Trusciulescu V. - "Studii de tehnici Editura Didactica si Pedagogica" Bucuresti-1977

60. Mantea St.s.a. - Metallurgie fizică Bucuresti, Editura tehnica 1973
61. Alpirin R.S. - Electropulsevaja rezmnenaia obrabotka materialov."Electronnaja obrabotka materialov" Nr.5-6, 1965
62. Prădicăi Gh. - Metodii aplicate de prelucrare a materialelor Bucuresti Editura tehnica 1965
63. Sober M.I. - Electron-beam and integrated circuits Laser Focus Nr.21 1967
64. v.Delfs - "Hybridorschaltungen, Abgleichverfahren fuer Tidetstaende" Int.Electron Rdsch 25(1971) No.3 p.125-129
65. Pilertsch, S.Panzer - "Untersuchung an einer Elektronenstrahlbelichtung supraleitender Schichten." 1972.
66. S.Schiller, U.Heisig, F.Lenk - "Theory and Development of Electron Heat Sources" Paper submitted to the 2nd Electron Beam Processing Seminar, June 1972, Frankfurt/M., published by Universal Technology Corporation, 1956 Mardon Drive, Dayton, Ohio 45432 p.161-167.
67. S.Schiller, U.Heisig, S.Panzer, I.Henneberger - "Advances of Thermal Electron Beam Machining of Thin Films" In: Bakish R. (Ed) Electron and Ion Beam Science and Technology; Proc. Fifth Int. Conf. Houston, N.1.1972 p.171-180.
68. N.N. - "Teradyne" Firmenprospekt 1972
69. D.R.Whitehouse, R.W.Illgenfritz - "Laser Beam Technology for the Microelectronic Industry, Solid State Technology(1972) July p.32-36
70. Einstein P. g.s. - Electron-beam operation on materials. London. Machinability. Iron and Steel Industrie 1967.
71. Aurel Nănu - Tehnologia materialelor Editura Didactică și Pedagogică Bucuresti 1977

- ✓ 72. Popovici C., Gh. Savii, V. Killman - "Tehnologia Construcției de Mașini" Editura Didactică și Pedagogică București 1967.
- ✓ 73. Gavrilăș Ionel s.a. - "Prelucrarea prin electroeroziune și electropolitic abraziv" vol. 1. și vol. 2 Editura Tehnică București 1980

C U P R I N S

Pag.

CAPITOLUL 1.

INTRODUCERE

1.1. Scurt istoric	3
------------------------------	---

CAPITOLUL 2.

SISTEME DE PRELUCRAT CU FASCICOL DE

ELECTRONI CONCENTRAT

2.1. Principiul de lucru al sistemelor de încălzire cu fascicol de electroni	3
--	---

2.2. Interacțiunea dintre fascicolul de electroni și materialul de prelucrat	12
--	----

2.3. Probleme energetice ale deplasării fascicolului de electroni prin camera de lucru	16
--	----

2.4. Repartitia energiei fascicolului în material	19
---	----

2.4.1. Formarea fascicolului în interiorul materiei	19
---	----

2.4.1.1. Încălzirea superficială . .	20
--------------------------------------	----

2.4.1.2. Încălzirea în profunzime .	20
-------------------------------------	----

2.4.2. Degajarea energiei din fascicolul de electroni în materia supusă bombardamentului	21
--	----

2.5. Mechanismul penetrării fascicolului de electroni	21
---	----

CAPITOLUL 3.

INFLUENȚA PARAMETRILOR DE LUCRU ASUPRA

PRELUCRARII LA DIMENSIUNE

3.1. Probleme ale aplicării opticii electronicii la tunurile emisjonoare de electroni	26
---	----

3.2. Limitarea densității de energie ca urmare a efectului vitezei termice.	33
3.3. Limitarea densității de energie ca urmare a efectului interacțiunii dintre electronii fascicolului	34
3.4. Influența aberației de stericitate asupra sistemului electrono-optic al turului electronic.	36
3.5. Limitarea diametrului spotului de către parametrii electrici ai tunului electronic.	38

CAPITOLUL 4.

UNELE CONSIDERATII PRIVIND ADINCIMEA DE PENETRARE

4.1. Aspecte ale penetrării cu electroni	48
4.2. Energia în procesul de penetrare.	62
4.2.1. Încălzirea stăționară cu fascicol de electroni	80

CAPITOLUL 5.

INSTALATIA CU FASCICOL DE ELECTRONI UTILIZATA PENTRU EXPERIMENTARI

5.1. Descrierea schemei de principiu	94
5.2. Funcționarea instalației cu fascicol de electroni.	98

CAPITOLUL 6.

CONSIDERATIUNI PRIVIND PRELUCRAREA LA DIMENSIUNI CU FASCICOL DE ELECTRONI FUNCTIE DE REGIMURILE DE LUCRU	101
---	-----

CAPITOLUL 7.

STUDIUL ASUPRA INFLUENȚEI PARAMETRILOR DE PRELUCRARE CU UN FASCICOL DE ELECTRONI ASUPRA MODIFICARILOR DE STARE IN STRATUL MATGINAL.	123
---	-----

7.1. Cercetarea microscopică	123
7.1.1. Prelucrarea obiectului de construcție cu pulsăția de 350 de cicluri pe secundă . . .	123
7.1.2. Prelucrarea obiectului de construcție cu pulsăția de 1000 cicluri pe secundă . . .	135
7.1.3. Prelucrarea obiectului de construcție cu fascicol continuu.	139
7.2. Cercetări privind modificări al structurii obiectului de construcție	140
7.3. Cercetări electromecanice	169
 CAPITOLUL 8.	
CONCLUZII GENERALE	171
 CAPITOLUL 9.	
BIBLIOGRAFIE	174